



การศึกษาและสภาพของตลิ่งคลองอู่ตะเภา จังหวัดสงขลา

Stability Study of U - Tapao Riverbank, Songkhla Province

สุรัติ เส็มหมัด

Surat Semmad

วิทยานิพนธ์นี้เป็นส่วนหนึ่งของการศึกษาตามหลักสูตรปริญญา

วิศวกรรมศาสตรมหาบัณฑิต สาขาวิชาวิศวกรรมโยธา

มหาวิทยาลัยสงขลานครินทร์

**A Thesis Submitted in Partial Fulfillment of the Requirements for the Degree of
Master of Engineering in Civil Engineering
Prince of Songkla University**

2554

ลิขสิทธิ์ของมหาวิทยาลัยสงขลานครินทร์

(1)

ชื่อวิทยานิพนธ์

การศึกษาเสถียรภาพของตั้งคลองอู่ตะเภา จังหวัดสangkhla

ผู้เขียน

นายสุรัติ เส็งหมัด

สาขาวิชา

วิศวกรรมโยธา

อาจารย์ที่ปรึกษาวิทยานิพนธ์หลัก

คณะกรรมการสอบ

(รองศาสตราจารย์ ดร.ธนิต เนลิมยานนท์)

.....ประธานกรรมการ
(ดร.ธนันท์ ชุบอุปการ)

.....กรรมการ
(รองศาสตราจารย์ ดร.ธนิต เนลิมยานนท์)

.....กรรมการ
(ผู้ช่วยศาสตราจารย์ ดร.ธนาดล คงสมบูรณ์)

บัณฑิตวิทยาลัย มหาวิทยาลัยสงขลานครินทร์ อนุมัติให้นับวิทยานิพนธ์ฉบับนี้
เป็นส่วนหนึ่งของการศึกษา ตามหลักสูตรปริญญาวิศวกรรมศาสตรมหาบัณฑิต สาขาวิชาวิศวกรรม
โยธา

.....
(ศาสตราจารย์ ดร.อมรรัตน์ พงศ์คุรา)

คณบดีบัณฑิตวิทยาลัย

ชื่อวิทยานิพนธ์	การศึกษาเสถียรภาพของตลิ่งคลองอู่ตะเภา จังหวัดสงขลา
ผู้เขียน	นายสุรัติ เส็มหมัด
สาขาวิชา	วิศวกรรมโยธา
ปีการศึกษา	2553

บทคัดย่อ

ตลิ่งคลองอู่ตะเภาในเขตอ้าวหาดใหญ่มักจะเกิดการพังทลายเนื่องจากภารกัดเซาะของน้ำโดยเฉพาะในช่วงฤดูฝนของทุกปี ในการศึกษานี้มีวัตถุประสงค์เพื่อศึกษาคุณสมบัติทางกายภาพและวิศวกรรมของดินบริเวณริมตลิ่ง ประมาณค่าความต้านทานหน่วยแรงเฉือนวิกฤต (ϑ_c) และสัมประสิทธิ์การกัดเซาะ (k_d) ของดินริมตลิ่ง โดยใช้วิธีการคำนวณย้อนกลับ วิเคราะห์เสถียรภาพและการพิบัติของตลิ่ง โดยใช้แบบจำลองเสถียรภาพของตลิ่งและการกัดเซาะ (Bank stability and toe erosion model) และกำหนดแนวทางป้องกันการพิบัติของตลิ่ง

ผลการจำแนกชนิดของดินพบว่า ดินริมตลิ่งคลองอู่ตะเภาประกอบไปด้วย ดินเหนียวที่มีความความเป็นพลาสติกต่ำ (CL), ดินตะกอนทรายที่มีความความเป็นพลาสติกต่ำ (ML), ดินทรายปนดินเหนียว (SC), ดินทรายปนตะกอนทราย (SM) และทรายที่มีขนาดคละไม่ติด (SP) ซึ่งตลิ่งในพื้นที่ศึกษาสามารถจำแนกเป็นตลิ่งจำพวก Composite และ Cohesive riverbank ผลการทดสอบค่ากำลังรับแรงเฉือนโดยวิธี Multi – stage direct shear test พบว่ากำลังรับแรงเฉือนของดินที่ระดับความชื้นอิ่มตัวด้วยน้ำ ลดลงประมาณ 36 – 98% จากระดับความชื้นธรรมชาติ

ผลการประเมินค่า ϑ_c และ k_d โดยวิธีคำนวณย้อนกลับพบว่า ตัวอย่างดิน CL และ ML มีค่าอยู่ในช่วง 0.758 – 11.06 Pa และ 0.045 – 0.115 $\text{cm}^3/\text{N.s}$ ตามลำดับ ซึ่งจัดเป็นดินประเภทที่มีความต้านทานต่อการกัดเซาะปานกลางถึงดินที่มีความต้านทานต่อการกัดเซาะ (Moderately resistant – Resistant) ซึ่งปริมาณดินเหนียวและดัชนีความเหนียวของดินมีนัยสำคัญต่อค่าพารามิเตอร์ทั้งสอง ตัวอย่างดิน SC, SM และ SP มีค่า ϑ_c และค่า k_d อยู่ในช่วง 0.027 – 0.110 Pa และ 0.302 - 0.609 $\text{cm}^3/\text{N.s}$ ซึ่งจำแนกอยู่ในจำพวกดินประเภทที่มีความต้านทานต่อการกัดเซาะน้อย (Erodible)

ผลการวิเคราะห์การกัดเซาะและเสถียรภาพของคลื่นบ่ัง嗤ีว่า คลื่นเกิดการพิบัติเนื่องจากการลดลงของระดับน้ำทันทีทันใด (Rapid drawdown) ระดับน้ำลดลงประมาณ 0.381 ถึง 0.655 เมตร จากระดับน้ำเต็มคลื่นหรือระดับน้ำสูงสุด ผลการศึกษาแนวทางการป้องกันคลื่นพบว่า วิธีการปรับความลาดของคลื่นประกอบกับการใช้หินเรียงเป็นวิธีที่เหมาะสมในการป้องกันการกัดเซาะและการพิบัติของคลื่น

คำหลัก : คลื่นคลองคู่ตະເກາ, เสถียรภาพของคลื่น, หน่วยแรงเฉือนวิกฤตของดิน, สัมประสิทธิ์การกัดเซาะ

Thesis Title	Stability Study of U – Tapao Riverbank, Songkhla Province
Author	Mr. Surat Semmad
Major Program	Civil Engineering
Academic Year	2010

ABSTRACT

Banks of the U-Tapao river in the vicinity areas of Hat Yai District are usually experiencing stability problems due to erosion, particularly in the rainy season. Objectives of this study were to determine the index properties and engineering properties of soil samples, to estimate critical shear stress and erodibility coefficient using back analysis method, and to analyze riverbank stability using a bank stability-toe erosion model. In addition, appropriate bank stabilization methods were also studied.

Classification results revealed that soil samples taken from U – Tapao riverbank were: low plasticity clay (CL), low plasticity silt (ML), clayey sand (SC), silty sand (SM) and poorly-graded sand (SP). The banks in the study area were classified either as composite or cohesive riverbank. Shear strength of soil samples for saturated water content condition decreased about 36.00 to 98.56 % from those of natural water content condition.

For cohesive soils (i.e., CL and ML), the critical shear stress and erodibility coefficient obtained from back-analysis method depended significantly on the clay content and plasticity index and ranged from 0.758 to 11.06 Pa and 0.045 to 0.115 $\text{cm}^3/\text{N.s}$, respectively. The cohesive soils of U – Tapao riverbank were classified as moderately resistant to erosion. For cohesionless soil, the critical shear stress and erodibility coefficient ranged from 0.027 to 0.110 Pa and 0.302 to 0.609 $\text{cm}^3/\text{N.s}$, respectively, which indicated that they were erodible soils.

Analytical results indicated that the U – Tapao riverbank in the study area were failed while water level decreased approximately 0.381 to 0.655 meters from bankfull level. Riprap installation and bank slope flattening were appropriated method for bank stabilization.

Keywords : U – Tapao riverbank, Bank stability, Critical shear stress, Erodibility coefficient

หน้า	
สารบัญ	
สารบัญ	(7)
รายการตาราง	(9)
รายการภาพประกอบ	(10)
บทที่	
1 บทนำ	
1.1 ความสำคัญและที่มาของการวิจัย	1
1.2 สถานที่ที่ทำการวิจัย	1
1.3 วัตถุประสงค์ของการวิจัย	2
1.4 ขอบเขตของงานวิจัย	2
1.5 ประโยชน์ที่คาดว่าจะได้รับ	3
2 การทบทวนเอกสาร	
2.1 กำลังของดิน	4
2.2 เสถียรภาพของคลื่นและการกัดเซาะ	16
2.3 การหาค่าระดับน้ำโดยวิธี Backwater analysis	24
2.4 งานวิจัยที่เกี่ยวข้อง	26
3 วิธีการดำเนินงานวิจัย	
3.1 การสำรวจพื้นที่และภาพตัดขวางของคลื่น	30
3.2 การเก็บตัวอย่างดินแบบแบ่งสภาพและการทดสอบคุณสมบัติทางกายภาพของดิน	33
3.3 การเก็บตัวอย่างดินแบบคงสภาพและการทดสอบคุณสมบัติทางวิศวกรรมของดิน	35
3.4 การจำลองการพิบัติของคลื่น	38
3.5 การวิเคราะห์ค่าระดับน้ำโดยวิธี Backwater analysis	41
3.6 การประเมินค่าความต้านทานหน่วยแรงเฉือนวิกฤตของดินโดยวิธีการคำนวณ ย้อนกลับ	42
3.7 การกำหนดแนวทางการป้องกันคลื่น	46
4 ผลการดำเนินงานวิจัย	
4.1 สภาพทั่วไปและภาพตัดขวางของคลื่นในพื้นที่ศึกษา	49
4.2 ผลการทดสอบคุณสมบัติทางกายภาพของดินริมคลื่น	57

สารบัญ (ต่อ)	หน้า
4.3 ผลการทดสอบคุณสมบัติทางวิศวกรรมของดินริมคลื่ง	64
4.4 ผลการจำลองการพิบัติของคลื่ง	68
4.5 ผลการวิเคราะห์ค่าระดับน้ำคลองอู่ตะเภาโดยวิธี Backwater analysis	72
4.6 ผลการประเมินค่าความต้านทานหน่วยแรงเฉือนวิกฤตของดิน โดยวิธีการคำนวณ ชื่อนกลับ	77
4.7 แนวทางป้องกันคลื่นจากการพิบัติและการกัดเซาะ	82
5 สรุปผลการศึกษาและข้อเสนอแนะ	
5.1 สรุปผลการศึกษา	89
5.2 ข้อเสนอแนะ	90
บรรณานุกรม	92
ภาคผนวก ก	98
ภาคผนวก ข	101
ภาคผนวก ค	107
ภาคผนวก ง	112
การเผยแพร่ผลงานวิทยานิพนธ์	150
ประวัติผู้เขียน	163

รายการตาราง

ตารางที่	หน้า
3.1 ชนิดและมาตรฐานการทดสอบคุณสมบัติดัชนีของดิน	33
4.1 คุณสมบัติดัชนีของดินริมคลื่ง Section 1	57
4.2 คุณสมบัติดัชนีของดินริมคลื่ง Section 2	59
4.3 คุณสมบัติดัชนีของดินริมคลื่ง Section 3	60
4.4 คุณสมบัติดัชนีของดินริมคลื่ง Section 4	62
4.5 คุณสมบัติดัชนีของดินริมคลื่ง Section 5	63
4.6 คุณสมบัติทางวิศวกรรมของดินริมคลื่ง Section 1	65
4.7 คุณสมบัติทางวิศวกรรมของดินริมคลื่ง Section 2	66
4.8 คุณสมบัติทางวิศวกรรมของดินริมคลื่ง Section 3	66
4.9 คุณสมบัติทางวิศวกรรมของดินริมคลื่ง Section 4	67
4.10 คุณสมบัติทางวิศวกรรมของดินริมคลื่ง Section 5	68
4.11 ค่า Critical shear stress ใช้ในการวิเคราะห์การกัดเซาะของคลื่ง Section 1	69
4.12 ผลการวิเคราะห์ระดับน้ำโดยวิธี Backwater analysis	73
4.13 ค่า ϑ_c และ k_d ของดินริมคลื่ง Section 1 จากผลของ Back analysis	78
4.14 ค่า ϑ_c และ k_d ของดินริมคลื่ง Section 2 จากผลของ Back analysis	78
4.15 ค่า ϑ_c และ k_d ของดินริมคลื่ง Section 3 จากผลของ Back analysis	78
4.16 ค่า ϑ_c และ k_d ของดินริมคลื่ง Section 4 จากผลของ Back analysis	79
4.17 ค่า ϑ_c และ k_d ของดินริมคลื่ง Section 5 จากผลของ Back analysis	79
4.18 แนวทางการเพิ่มเสถียรภาพและการป้องกันการกัดเซาะของคลื่ง	88

รายการภาพประกอบ

รูปที่	หน้า
1.1 แนวตั้งของคลองอู่ตะเภาที่กีดการกัดเซาะ	2
2.1 ลักษณะเส้นระดับน้ำของชั้นดินทั่วไป (Fredlund and Rahardjo, 1993)	7
2.2 ดินสกัดไม่มีอิมตัว (Unsaturated Soil) (นานา, 2541)	7
2.3 การกระจายตัวของน้ำในดิน (Olson and Langfelder, 1973)	9
2.4 เส้นขอบเขตการพิบัติ Mohr-Coulomb (Fredlund and Rahardjo, 1993)	10
2.5 ขนาดรัศมีของส่วนโถงผิวน้ำที่มีผลต่อแรงดูด (Jenssen and Dempsey, 1980)	10
2.6 การเปลี่ยนแปลงอัตราส่วนความปลดปล่อย (F.S) ที่ระยะเวลาต่างๆ (Price, 2006)	12
2.7 อิทธิพลความชื้นและการเปลี่ยนแปลงของระดับน้ำได้ดินที่มีต่อสศีรภาพของคลองดิน (Janbu, 1983)	13
2.8 รูปแบบการพิบัติของตลิ่ง	16
2.9 การแบ่งพื้นที่การไหลของน้ำสำหรับใช้คำนวณ Hydraulic radius (Langendoen 2000)	19
2.10 การพิบัติแบบ Planar failure	22
2.11 การพิบัติแบบ Cantilever failure	24
2.12 การไหลแบบเปลี่ยนแปลงน้อย (Gradual varied flow)	25
2.13 Schematic of submerged jet apparatus (Hanson 1997)	28
2.14 Classification of erodibility (Hanson and Simon 2001)	29
3.1 Flow chart และขั้นตอนการดำเนินงานวิจัย	31
3.2 การวัดรูปตัดของตลิ่งของส่วนที่อยู่เหนือระดับน้ำ	32
3.3 Hand auger	34
3.4 การเก็บตัวอย่างดินโดยใช้ Hand auger	34
3.5 ตัวอย่างดินแบบแปลงสภาพ	34
3.6 กระบวนการเก็บตัวอย่าง KU – Miniature Sampler (วรากรและคณะ 2546, 2548)	36
3.7 ชุดเก็บตัวอย่างดินที่ดัดแปลงมาใช้สำหรับการเก็บตัวอย่างดินบริเวณตลิ่งคลองอู่ตะเภา	36
3.8 การเก็บตัวอย่างดินแบบคงสภาพ	37
3.9 การทดสอบการเขื่อนโดยตรง	39

รายการภาพประกอบ (ต่อ)

รูปที่	หน้า
3.10 ภาพตัดขวางของตลิ่ง Section 1 ในปี พ.ศ 2549	40
3.11 ตำแหน่งของสถานีวัดระดับน้ำในพื้นที่ศึกษา	42
3.12 ขั้นตอนการประเมินค่า β_c และ k_d โดยวิธี Back-analysis	43
3.13 ภาพตัดขวางก่อนและหลังพิบัติของตลิ่งเพื่อใช้ในการประมาณค่า β_c โดยวิธี Back analysis	44
3.14 การปรับปรุงตลิ่งเพื่อเพิ่มเสถียรภาพ	47
4.1 แผนที่ในพื้นที่ศึกษา	49
4.2 ภาพถ่ายทางอากาศของตำแหน่งตลิ่ง, ประตุระบายน้ำอุตสาหกรรมและสถานีโทรมาตรบ้านบางคลาน (X.90)	50
4.3 สภาพทั่วไปของตลิ่งคลองอุตสาหกรรมที่ทำการศึกษา	51
4.4 ลักษณะของตลิ่ง Section 1	52
4.5 ลักษณะของตลิ่ง Section 2	53
4.6 ลักษณะของตลิ่ง Section 3	54
4.7 ลักษณะของตลิ่ง Section 4	55
4.8 ลักษณะของตลิ่ง Section 5	56
4.9 Grain size distribution ของตัวอย่างดินริมตลิ่ง Section 1	58
4.10 ลักษณะชั้นดินริมตลิ่ง Section 1	58
4.11 Grain size distribution ของตัวอย่างดินริมตลิ่ง Section 2	59
4.12 ลักษณะชั้นดินริมตลิ่ง Section 2	60
4.13 Grain size distribution ของตัวอย่างดินริมตลิ่ง Section 3	61
4.14 ลักษณะชั้นดินริมตลิ่ง Section 3	61
4.15 Grain size distribution ของตัวอย่างดินริมตลิ่ง Section 4	62
4.16 ลักษณะชั้นดินริมตลิ่ง Section 4	63
4.17 Grain size distribution ของตัวอย่างดินริมตลิ่ง Section 5	64
4.18 ลักษณะชั้นดินริมตลิ่ง Section 5	64

รายการภาพประกอบ (ต่อ)

รูปที่	หน้า
4.19 ระยะการกัดเซาะของคลิงที่ระยะเวลาต่างๆ เมื่อค่า Critical shear stress คำนวณจากสมการที่ 2.6 – 2.9	70
4.20 อัตราส่วนความปลดล็อกภัยของคลิงนี้องจากการกัดเซาะ	70
4.21 ภาพตัดของคลิง Section 1 ที่สูญเสียเต็มรากพเนื่องจากการกัดเซาะของคลิงที่ระดับน้ำเฉลี่ย	71
4.22 อัตราส่วนความปลดล็อกภัยของคลิง Section 1 กรณีนำท่อมและระดับน้ำลดลงทันทีทันใด	72
4.23 ลักษณะการพิบัติของคลิง Section 1 ในกรณี Rapid drawdown	72
4.24 Classification of soil erodibility ของดินริมคลองอุ้ตตะเภา (ตาม Hanson and Simon, 2001)	80
4.25 ความสัมพันธ์ระหว่างความต้านทานหน่วยแรงเฉือนวิกฤตของดินและปริมาณดินเหนียวของดิน CL	81
4.26 ความสัมพันธ์ระหว่างความต้านทานหน่วยแรงเฉือนวิกฤตของดินและดัชนีพลาสติกของดิน CL	82
4.27 การเปลี่ยนแปลงภาพตัดของคลิง Section 1 เมื่อระยะเวลาผ่านไปจนเกิดการพิบัติ	83
4.28 อัตราส่วนความปลดล็อกภัยของคลิง Section 1 ที่ทำการปรับความลาด เมื่อระยะเวลาผ่านไปจนเกิดการพิบัติ	83
4.29 การเปลี่ยนแปลงภาพตัดของคลิง Section 2 เมื่อระยะเวลาผ่านไป 1 ปี	84
4.30 อัตราส่วนความปลดล็อกภัยของคลิง Section 2 ที่ทำการปรับความลาด เมื่อระยะเวลาผ่านไป 1 ปี	84
4.31 การเปลี่ยนแปลงภาพตัดของคลิง Section 3 เมื่อระยะเวลาผ่านไปจนเกิดการพิบัติ	85
4.32 อัตราส่วนความปลดล็อกภัยของคลิง Section 3 ที่ทำการปรับความลาด เมื่อระยะเวลาผ่านไปจนเกิดการพิบัติ	85
4.33 การเปลี่ยนแปลงภาพตัดของคลิง Section 4 เมื่อระยะเวลาผ่านไป 1 ปี	86

รายการภาพประกอบ (ต่อ)

รูปที่	หน้า
4.34 อัตราส่วนความปลอดภัยของตั้ง Section 4 ที่ทำการปรับความลาด เมื่อระยะเวลาผ่านไป 1 ปี	86
4.35 การเปลี่ยนแปลงภาพตัดขวางของตั้ง Section 5 เมื่อระยะเวลาผ่านไปจนเกิดการพิบัติ	87
4.36 อัตราส่วนความปลอดภัยของตั้ง Section 5 ที่ทำการปรับความลาด เมื่อระยะเวลาผ่านไปจนเกิดการพิบัติ	87

บทที่ 1

บทนำ

1.1 ความสำคัญและที่มาของการวิจัย

อุ่มน้ำอุตุะเกา เป็นอุ่มน้ำอยของอุ่มน้ำทะเลสาบสงขลา จัดได้ว่าเป็นอุ่มน้ำที่ใหญ่ที่สุดในจังหวัดสงขลา มีพื้นที่ประมาณ 2,584 ตารางกิโลเมตร ครอบคลุมพื้นที่ 7 อำเภอ 35 ตำบล 252 หมู่บ้าน 7 เทศบาล มีความยาวทั้งสิ้นประมาณ 130 กิโลเมตร อุ่มน้ำอุตุะเกาได้รับน้ำจากสันปันน้ำที่สำคัญสามแห่งล่างคือ เทือกเขา น้ำค้าง เทือกเขางекว และ เทือกเขาย้อย ๆ ในเขต อำเภอสะเดา อำเภอหาดใหญ่ อำเภอหาดทิ没能 และ อำเภอจะนะ ซึ่งมีปริมาณน้ำ ที่ไหลลงสู่ทะเลสาบสงขลา เนื่อยรายปีประมาณ 837 ล้านลูกบาศก์เมตร (ชาคริตและเทพกิตติ์, 2549)

คลองอุตุะเกาในพื้นที่ศึกษาเป็นสันทางระบายน้ำสายหลักในอุ่มน้ำหาดใหญ่ มีความสูงของคลองล่างประมาณ 6 – 11 เมตร (จากห้องคลองถึงขอบบนของคลอง) กว้างประมาณ 43 – 63 เมตร (จากขอบคลองทั้งสองฝั่ง) คลองแห่งนี้ประสบปัญหาการพินาศของคลอง เนื่องจากคลองส่วนมาก มีความชันสูงถึง 90° ดังรูปที่ 1.1 รวมทั้งปัญหาการกัดเซาะเนื่องจากอัตราการ ไหลของน้ำสูงในช่วง ฤดูฝน ซึ่งนำไปสู่การสูญเสียความสามารถในการระบายน้ำและคุณภาพชีวิตของผู้คนที่พักอาศัย แนวแม่น้ำ รวมไปถึงการสูญเสียที่ดินและสวนยางของชาวบ้านในละแวกนั้น จุดมุ่งหมายของ งานวิจัยนี้เพื่อศึกษาปัจจัยที่มีผลต่อการกัดเซาะและเสถียรภาพของคลอง วิเคราะห์การกัดเซาะและ เสถียรภาพของคลอง ศึกษาคุณสมบัติทางวิศวกรรมที่มีผลต่อเสถียรภาพของคลอง รวมถึงเสนอแนวทาง การปรับปรุงเสถียรภาพของคลอง

1.2 สถานที่ทำวิจัย

พื้นที่ริมคลองอุตุะเกา จากประชาระบายน้ำคลองอุตุะเกาขึ้นไปยังด้านน้ำทางทิศ ใต้เป็นระยะทางประมาณ 3 กม. และห้องปฏิบัติการวิจัยธนีเทคนิค ภาควิชาวิศวกรรมโยธา ม. สงขลานครินทร์



รูปที่ 1.1 แนวตั้งของคลองอู่ตะเภาที่เกิดการกัดเซาะ

1.3 วัตถุประสงค์ของการวิจัย

- 1.3.1 ศึกษาคุณสมบัติดัชนีและวิศวกรรมของดินบริเวณริมตลิ่งคลองอู่ตะเภาในพื้นที่ศึกษา
- 1.3.2 ศึกษาระบบการไหลของน้ำในคลองอู่ตะเภา
- 1.3.3 ศึกษาเสถียรภาพและการกัดเซาะของตลิ่งคลองอู่ตะเภา โดยใช้ Bank Stability and Toe Erosion Model Program (BSTEM 5.2)
- 1.3.4 ประมาณค่าพารามิเตอร์ที่เกี่ยวข้องกับการกัดเซาะ
- 1.3.5 ศึกษาและกำหนดแนวทางป้องกันการกัดเซาะและการพิบัติของตลิ่ง

1.4 ขอบเขตของงานวิจัย

- 1.4.1 เลือกศึกษาเฉพาะตลิ่งที่มีการพิบัติจำนวน 5 จุด
- 1.4.2 ข้อมูลระดับน้ำใช้ข้อมูลในเดือน มกราคม – ธันวาคม 2552 และข้อมูลทางกายภาพของตลิ่ง ใช้ข้อมูลในเดือน กันยายน 2552 – มกราคม 2553
- 1.4.3 กำหนดลักษณะการพิบัติที่ใช้เป็นแบบ Planar failure และ Cantilever failure
- 1.4.2 พิจารณาเฉพาะกัดเซาะทางข้าง (Lateral erosion)
- 1.4.3 ไม่พิจารณา Sediment transportation

1.5 ประโยชน์ที่คาดว่าจะได้รับ

- 1.5.1 ได้ข้อมูลคุณสมบัติชนีและวิศวกรรมของชั้นดินบริเวณริมคลองอู่ตะเภา
- 1.5.2 สามารถวิเคราะห์และตรวจสอบเสถียรภาพของคลองอู่ตะเภาได้
- 1.5.2 สามารถวิเคราะห์และออกแบบเพื่อปรับปรุงเสถียรภาพของคลังได้ เพื่อนำไปใช้เป็นแนวทางในการออกแบบการปรับปรุงเสถียรภาพของคลังได้

บทที่ 2

ทบทวนเอกสาร

การวิเคราะห์เสถียรภาพของตลิ่งแต่ก่อต่างกับการวิเคราะห์เสถียรภาพของลาดคินทั่วไป การวิเคราะห์เสถียรภาพของตลิ่งต้องพิจารณาการกัดเซาะเนื่องจากการไหลของน้ำ อีกทั้งการเพิ่มขึ้นและลดลงของดับน้ำในตลิ่ง ดังนั้นในการวิเคราะห์ต้องมีความเข้าใจทางชลศาสตร์เพิ่มเติม อีกด้วย การศึกษาครั้งนี้ได้รวมรวมทฤษฎีและข้อมูลที่เกี่ยวข้องแบ่งออกเป็น 4 หัวข้อหลักประกอบไปด้วย กำลังของคิน (Strength of Soil) เสถียรภาพของตลิ่งและการกัดเซาะ (Bank Stability and Toe Erosion) การวิเคราะห์ระดับน้ำย้อนกลับ (Backwater analysis) และงานวิจัยที่เกี่ยวข้อง (Related paper)

2.1 กำลังของคิน (Strength of Soil)

โดยทั่วไปแล้วถ้ากล่าวถึงกำลังของคิน เราจะหมายถึงกำลังรับแรงเฉือนของคินมากกว่ากำลังของคินในแบบอื่นๆ เนื่องจากพฤติกรรมการรับแรงของคินจะมีค่าน้อยสุดในรูปแบบของการรับแรงเฉือนมากกว่าแบบอื่นๆ โดยที่กำลังรับแรงเฉือนหรือค่าความต้านทานแรงเฉือนของคิน (Shearing resistance) ขึ้นอยู่กับองค์ประกอบที่สำคัญ 2 ประการคือ มุมเสียดทานภายในระหว่างเม็ดคิน (Internal friction) และการขีดเคาะกันระหว่างเม็ดคิน (Cohesion) โดยสัดส่วนของกำลังเฉือนของมวลคินดังกล่าว จะแบร์ผันตรงกับปริมาณร้อยละของเม็ดคินหลาย และเม็ดคินจะเอื้อต่อการรับแรงเฉือนของคิน

สำหรับคินเม็ดหายน้ำที่ไม่มีการขีดเคาะกัน (Cohesionless soil) เช่น กรวด ทราย ค่ากำลังเฉือนของคินขึ้นอยู่กับมุมเสียดทานภายในระหว่างเม็ดคินและความหนาแน่นของมวลคิน ซึ่งขึ้นอยู่กับน้ำหนักกดที่กระทำตั้งจากกับระนาบของแรงเฉือน สำหรับคินเม็ดจะเอื้อต่อการขีดเคาะกัน (Cohesive soil) เช่น ดินเหนียว ค่ากำลังเฉือนจะขึ้นอยู่กับการขีดเคาะกันระหว่างเม็ดคิน ซึ่งขึ้นอยู่กับปริมาณน้ำ แรงกระแทกในมวลคินและความหนาแน่นของมวลคิน

ในปี ค.ศ. 1773 นักวิทยาศาสตร์ชาวฝรั่งเศสชื่อ คูลอมบ์ (Coulomb) ได้คิดความสัมพันธ์ระหว่างหน่วยแรงเฉือนกับหน่วยแรงตึงจากกับผิวสัมผัสที่ระบนาบไดๆ ของมวลดินในรูปสมการเส้นตรงเรียกว่า สมการมอร์-คูลอมบ์ ซึ่งใช้หาค่าแรงเฉือนของดินที่จุดพิบัติ คือ

$$\vartheta = c + \omega \tan \lambda \quad (2.1)$$

โดยที่	ϑ	= หน่วยแรงเฉือนที่จุดพิบัติหรือ ค่ากำลังเฉือนของดิน (Shear strength of soil)
	ω	= หน่วยแรงตึงจากบนระบนาบแรงเฉือน (Normal stress)
	c	= การยึดเกาะกันของเม็ดดิน (Cohesion)
	λ	= มนุษย์สืดทานภายในของเม็ดดิน (Internal friction angle)

และสามารถเขียนในเทอมของหน่วยแรงประสิทธิผลได้ดังนี้

$$\vartheta = c' + \omega' \tan \lambda' \quad (2.2)$$

โดยที่	ω'	= หน่วยแรงตึงจากประสิทธิผลบนระบนาบแรงเฉือน = $\omega - u$
	u	= แรงดันน้ำ (Pore water pressure)
	c'	= การยึดเกาะกันประสิทธิผลของเม็ดดิน (Effective cohesion)
	λ'	= มนุษย์สืดทานภายในประสิทธิผลของเม็ดดิน

การเลือกใช้ค่ากำลังของดินจากการทดสอบสำหรับการวิเคราะห์เสถียรภาพของลักษณะดินต้องพิจารณาถึงลักษณะของหน่วยแรงที่นำมาใช้ในการวิเคราะห์ คือหน่วยแรงรวม (Total stress analysis) และหน่วยแรงประสิทธิผล (Effective stress analysis) ซึ่งหน่วยแรงที่นำมาวิเคราะห์ควรเป็นลักษณะที่สอดคล้องกับสภาพวิกฤติของลักษณะดินนั้น ทั้งนี้เนื่องจากดินมักจะมีความชื้นอยู่ภายในมวลดินเสมอ ดังนั้นมือเกิดการเปลี่ยนแปลงของหน่วยแรงขึ้นในมวลดินก็อาจทำให้เกิดการเพิ่มหรือลดแรงดันน้ำในมวลดินขึ้น ได้ ซึ่งส่งผลต่อกำลังของมวลดิน ตามสมการมอร์-คูลอมบ์

วรารถ (2542) อธิบายว่า หลักการของหน่วยแรงรวมและหน่วยแรงประสิทธิผลในทางปฏิกลศาสตร์ ถ้าการเปลี่ยนแปลงหน่วยแรงในมวลดินเกิดขึ้นแล้วจะมีแรงดันน้ำ (Pore pressure, u) เกิดขึ้นในมวลดินด้วย ถ้าสามารถวัดค่าของแรงดันน้ำได้แน่นอน การคำนวณมักจะแยกหน่วยแรงที่เกิดจากความดันน้ำออกไปก่อน คงเหลือแต่หน่วยแรงที่ส่งผ่านระหว่างเม็ดดิน

เท่านั้น ซึ่งเรียกว่า หน่วยแรงประสิทธิผล (Effective stress, ω') ทั้งนี้เพาะแรงดันน้ำในมวลดินไม่ก่อให้เกิดกำลังเพรากการยึดเกาะกันและมุมเสียดทานของน้ำเป็นศูนย์ ดังนั้นจึงมีเฉพาะหน่วยแรงประสิทธิผลเท่านั้นที่ทำให้ดินมีกำลังรับน้ำหนักได้ แต่ในทางปฏิบัติบางครั้งทำได้ยากมากที่จะคำนวณค่าแรงดันน้ำให้ถูกต้อง ดังนั้นในบางกรณีที่ไม่สามารถทราบค่าความดันน้ำได้ชัดเจน เช่น การบรรทุกน้ำหนักโดยเรือ มวลดินไม่อิ่มตัว แรงดันน้ำเกิดจากการบดอัดเป็นต้น จึงมักจะรวมแรงดันน้ำที่เกิดขึ้นเข้าไปในกำลังของดินด้วย ซึ่งเรียกว่า หน่วยแรงรวม (Total stress, ω) ซึ่งจะต้องทำการทดสอบใหม่ๆ ให้มีความชื้นอิ่มตัวแล้ว แล้วนำค่ามาลบกับแรงดันน้ำที่เกิดขึ้นในการก่อสร้างจริง และคาดว่าความดันน้ำที่ควรจะเกิดขึ้นในตัวอย่างดินที่ทดสอบใกล้เคียงกับสภาพที่จะเกิดขึ้นจริงในสนาม ซึ่งจะปลดหน่วยแรงประสิทธิผลไปโดยอัตโนมัติ โดยไม่จำเป็นต้องทราบค่าความดันน้ำที่เกิดขึ้นในมวลดินแต่อย่างใด สำหรับค่ากำลังของมวลดินที่ใช้ในการวิเคราะห์สถิติรากพของลาดดินจะแบ่งเป็น 3 ลักษณะคือ

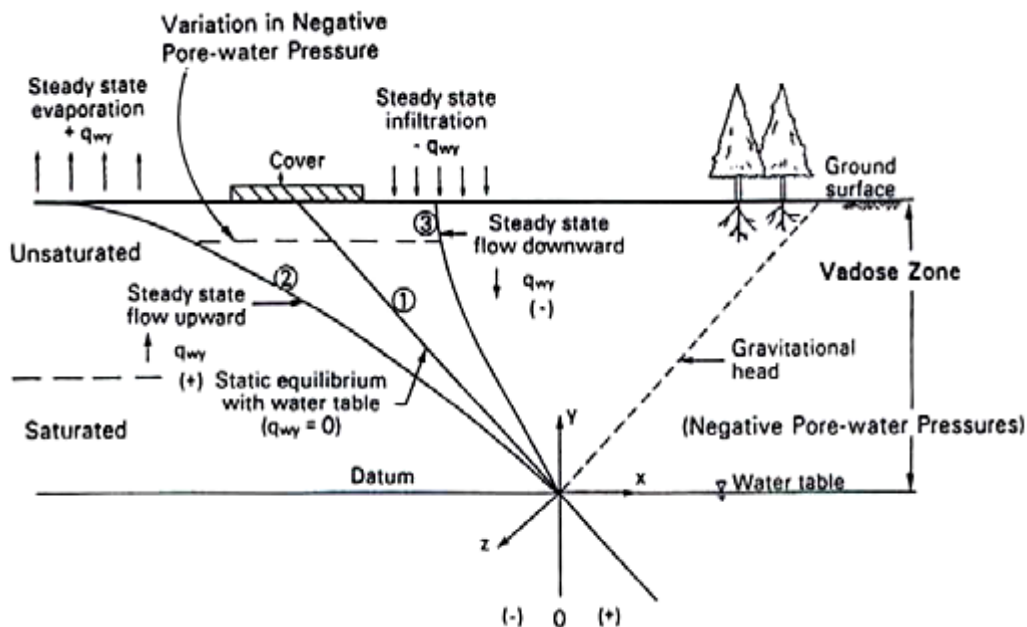
1. S_u หรือ Undrained shear strength สำหรับดินเหนียวอิ่มตัวและมีการก่อสร้างโดยเรือ ($\lambda = 0$ Condition)

2. c_u , λ_u หรือ Total strength สำหรับดินชื้นไม่อิ่มตัว และไม่ทราบความดันน้ำชัดเจน เช่น ดินบดอัดในขณะก่อสร้างเนื่องหรือคันดิน

3. c' , λ' หรือ Effective strength สำหรับดินอิ่มตัวและสามารถทราบความดันน้ำชัดเจน เช่น ก่อสร้างเสร็จนานแล้วกำลังใช้งาน และมีความดันน้ำเข้าสู่สภาพสมดุล หรือมีน้ำไหลผ่านคงที่

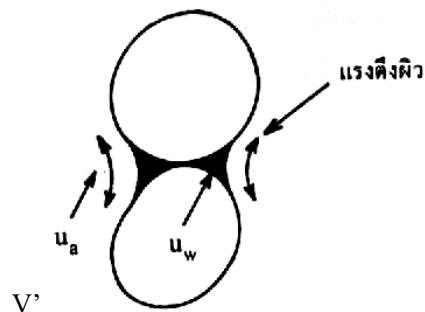
2.1.1 ทฤษฎีกำลังของดินไม่อิ่มตัวด้วยน้ำ (Unsaturated Soil)

มวลดินในสภาพธรรมชาติประกอบด้วยชั้นดินต่างๆ ที่ตอกตะกอนทับกัน และมีระดับน้ำใต้ดิน (Groundwater table) อยู่ด้วย ซึ่งปกติจะอยู่ต่ำกว่าระดับพื้นผิวดิน (Ground level) ภายในช่องระหว่างเม็ดดินที่อยู่ใต้ระดับน้ำใต้ดินจะมีน้ำอยู่เต็ม นั่นคือเป็นมวลดินอิ่มตัวด้วยน้ำ (Saturated soil) ส่วนมวลดินที่อยู่เหนือระดับน้ำใต้ดิน (Vadose zone) จะประกอบทั้งดินอิ่มตัว (Capillary saturated zone) และดินที่ไม่อิ่มตัว (Unsaturated zone) ดังรูปที่ 2.1 หากไม่มีน้ำไหลซึมลงมาหรือระเหยขึ้นไปจากผิวดินและระดับน้ำใต้ดินคงที่แล้วเส้นแรงดันน้ำจะสมดุลที่เส้น (1) ในขณะที่เส้น (2) และ (3) หมายถึงมีการระเหยในคดูแฉลงและมีน้ำซึมลงในคดูfonตามลำดับ ทั้งสามกรณีจะมีความดันในโพรงที่เป็นลบ (Negative pore pressure) ทั้งสิ้น



รูปที่ 2.1 ลักษณะเส้นระดับน้ำของชั้นดินทั่วไป (Fredlund and Rahardjo, 1993)

นานะ (2541) อธิบายว่า ดินสภาคไม่อิ่มตัวด้วยน้ำจะมีอากาศสอดแทรกในช่องว่างระหว่างอนุภาคของเม็ดดิน ลักษณะน้ำในมวลดินจะไม่ต่อเนื่อง แรงตึงผิวเกิดจากผลต่างของแรงดันน้ำและแรงดันอากาศในมวลดิน ดังรูปที่ 2.2



รูปที่ 2.2 ดินสภาคไม่อิ่มตัว (Unsaturated Soil) (นานะ, 2541)

Olson and Langfelder (1973) อธิบายว่า ที่ระดับความอิ่มตัวของน้ำต่ำๆ ค่าแรงดันน้ำจะมีค่าติดลบสูง การกระจายตัวของน้ำในดินเหนือระดับน้ำใต้ดินแบ่งเป็นเขตต่างๆ ดังนี้คือ เขตอิ่มน้ำ (Saturation zone), เขตอิ่มตัวให้ระดับน้ำใต้ดิน (Capillary saturation zone) และเขตอิ่มอากาศ (Aeration zone) ดังแสดงในรูปที่ 2.3

Fredlund and Rahardjo (1993) กล่าวว่า ลาดต้นตามธรรมชาติที่อยู่เหนือระดับน้ำใต้ดิน อยู่ในสภาพที่ไม่มีอิ่มตัว มีแรงดันน้ำด้านลบ (Negative pore pressure) ทำให้หน่วยแรงประสีทิพลดเพิ่มขึ้นเนื่องจากแรงตึงผิวของส่วนที่สัมผัสระหว่างอากาศกับน้ำที่เรียกว่าผิวสัมผัสแรงตึง (Contractile Skin) ลาดต้นเหล่านี้ในทฤษฎีแล้วมีเสถียรภาพมั่นคงอยู่ได้ แต่เมื่อมีฝนตกหรือระดับน้ำใต้ดินสูงขึ้นแรงดันในโพรงที่เป็นลบค่อยๆ หายไป กลายเป็นแรงดันน้ำด้านบวก (Positive pore pressure) กำลังของคินก์ลดลงตามลำดับ ทำให้ลาดต้นดังกล่าวอาจเกิดการพิบัติได้

Abramson et al. (2001) อธิบายว่า เบทของแรงดันน้ำด้านลบ จะอยู่เหนือเส้นระดับน้ำใต้ดินขึ้นไป ภายในเขตที่แรงดันน้ำในช่องว่างน้อยกว่าแรงดันบรรยายกาศ ขนาดของแรงดันน้ำด้านลบบางที่เรียกว่า แรงดูดของดิน (Soil suction) ควบคุมโดยแรงตึงผิว (Surface tension) ที่รอบๆ ขอบผิวอากาศและน้ำภายในช่องว่าง และขึ้นกับขนาดของเม็ดดิน โดยทั่วไปเม็ดดินที่มีขนาดเล็กกว่าจะมีแรงดันน้ำด้านลบที่มากกว่า แรงดันน้ำด้านลบเป็นตัวเพิ่มหน่วยแรงประสีทิพภายนอกดิน และช่วยปรับปรุงเสถียรภาพของลาดต้น Ho and Fredlund (1982) แนะนำว่า การเพิ่มขึ้นของกำลังเฉือนของดินเนื่องจากแรงดันโพรงติดลบแสดงได้ดังสมการที่ 2.3

$$c | c \mathfrak{R} (u_a 4 u_w) \tan \lambda_b \quad (2.3)$$

โดยที่

c = การยึดเกาะกันของดินทั้งหมด (Total cohesion)

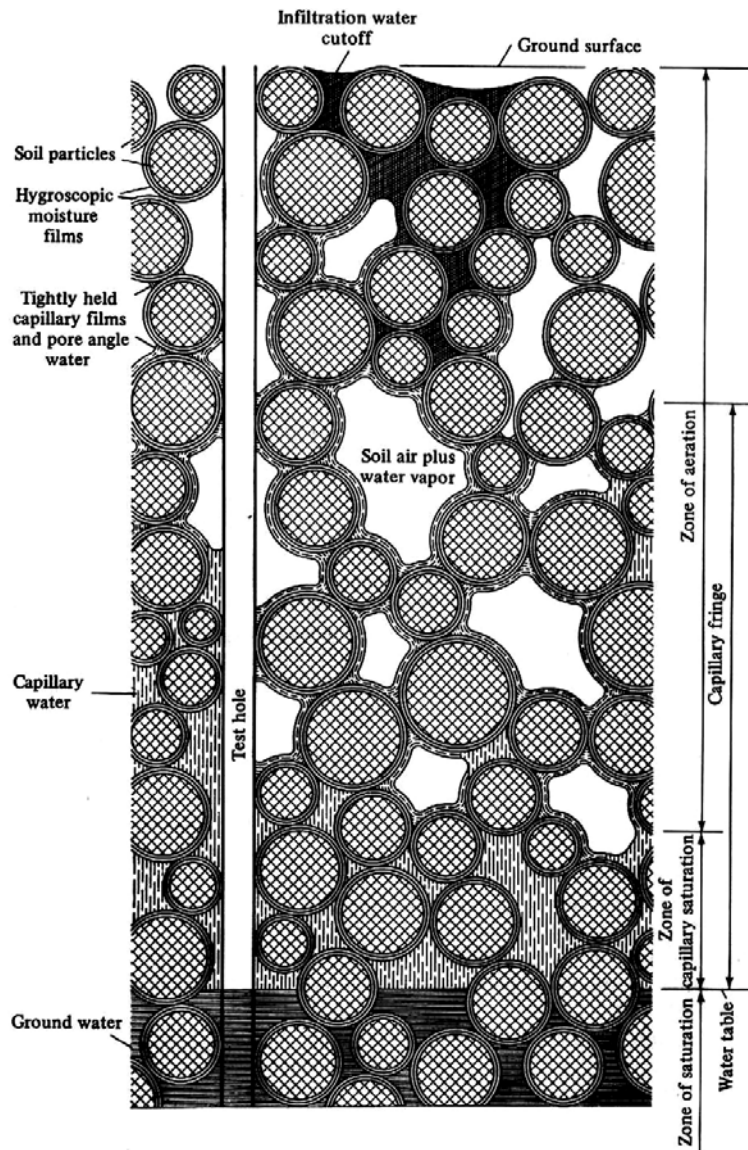
$c \mathfrak{R}$ = การยึดเกาะกันประสีทิพลด (Effective cohesion)

$(u_a 4 u_w)$ = แรงดูดเมทริกซ์ (Matrix suction)

λ_b = ความชันของกราฟตามแนวแกนแรงดูดเมทริกซ์ เมื่อ $\omega 4 u_a$ เป็นค่าคงที่

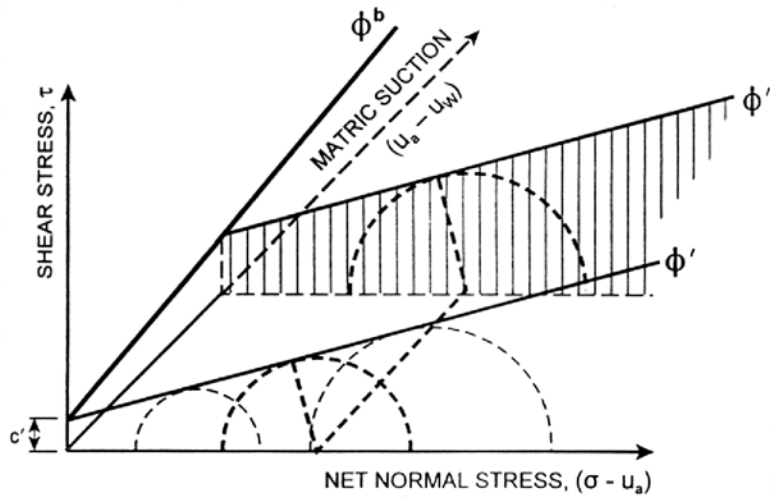
จากสมการแรงดูดเมทริกซ์ ($u_a 4 u_w$) เป็นตัวเพิ่มกำลังเฉือนในเทอมของ $(u_a 4 u_w) \tan \lambda_b$ การเพิ่มขึ้นของกำลังของดินสามารถแทนด้วยกราฟสามมิติโดยใช้ตัวแปร $\omega 4 u_a$, ϑ และ $(u_a 4 u_w)$ ดังแสดงในรูปที่ 2.4

สุทธิศักดิ์ และคณะ (2550) อธิบายว่า แรงดูดเมทริกซ์ (Matric suction) เป็นค่าที่แสดงถึงความสามารถในการดูดน้ำเข้าหาตัวเม็ดดิน หรือแรงดึงที่ยึดกันไว้กับเม็ดดิน เช่นเดียวกับน้ำในหลอดคาปีลารี แรงดูดเมทริกซ์มีหน่วยเดียวกับแรงดัน (เช่น kPa หรือ Bar) แต่ต่างจากแรงดันเนื่องจากมีค่าเป็นลบ แรงดูดเมทริกซ์นี้มีผลกระทบกับปริมาณความชื้นในดิน เรียกว่า Soil-Water Characteristic Curve (SWCC)



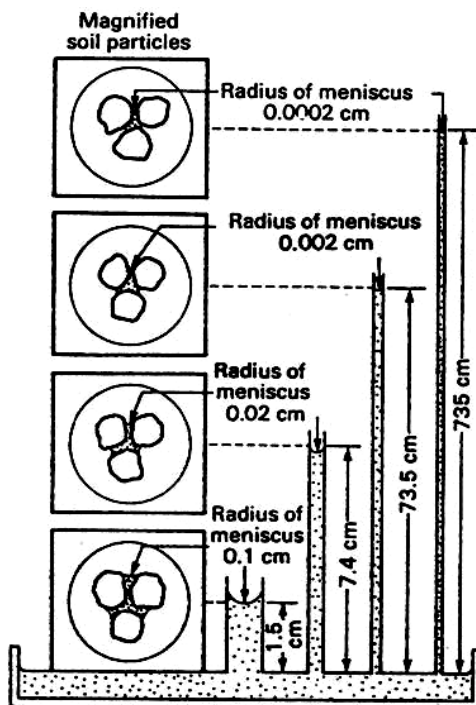
รูปที่ 2.3 การกระจายตัวของน้ำในดิน (Olson and Langfelder, 1973)

Aitchison (1965) อธิบายว่า แรงดันนำด้านลบในมวลดิน ก่อให้เกิดเป็นแรงดูด (Suction) ค่าแรงดูดในดินมีความสัมพันธ์กับค่าความชื้นซึ่งเรียกว่า แรงดูดโดยรวม (Total suction) ประกอบด้วยพลังงานอิสระของแรงดูด 2 ส่วน คือ แรงดูดเมทริกซ์ (Matrix suction) หรือ แรงดูดของรูเล็ก (Capillary suction) ซึ่งเป็นแรงดูดที่เกิดเนื่องจากแรงตึงผิวดองน้ำในดินและแรงดูดอสโนมติก (Osmotic suction) ซึ่งเป็นแรงดูดเนื่องจากสารละลายน้ำในดิน Krahm and Fredlund (1972) ได้เสนอว่าแรงดูดอสโนมติก เป็นผลจากสารละลายน้ำที่จืดจางในน้ำในดิน (ส่วนมากเป็นเกลือ) ทำให้เกิดแรงดูดชนิดนี้



รูปที่ 2.4 เส้นข้อมูลการพิบัติ Mohr-Coulomb (Fredlund and Rahardjo, 1993)

Jenssen and Dempsey (1980) อธิบายถึงค่าแรงดูดเมทริกซ์ว่า เป็นแรงที่เกิดจาก การดึงดูดของสภาพรูปลักษณ์ (Capillarity) จากค่าแรงดึงผิวของน้ำในช่องว่างระหว่างเม็ดดิน เป็น สัดส่วนผกผันกับขนาดช่องว่างระหว่างเม็ดดิน ดังแสดงเป็นความสัมพันธ์ในรูปที่ 2.5 ดังนั้นมวล ดินเม็ดละเอียดซึ่งมีอัตราส่วนช่องว่างระหว่างเม็ดดินน้อยจะสามารถดึงดูดน้ำเข้าไปได้สูงกว่ามวล ดินเม็ดหิน ความดันของน้ำที่ระดับที่ถูกดูดเข้าไปจากแรงดูดนี้มีค่าต่ำกว่าความดันของบรรยายกาศ



รูปที่ 2.5 ขนาดรัศมีของส่วนโถงผิวน้ำที่มีผลต่อแรงดูด (Jenssen and Dempsey, 1980)

2.1.2 การลดลงของกำลังเฉือนต่อเสถียรภาพของอาคารดิน

ปริมาณน้ำหรือความชื้นที่เพิ่มขึ้นในมวลดินที่ไม่อิ่มน้ำทำให้กำลังเฉือนของดินลดลง ส่งผลโดยตรงกับเสถียรภาพของอาคารดิน ตัวอย่างที่เห็นได้ชัดคือ การพิบัติของอาคารจะไม่เกิดขึ้นในช่วงฤดูแล้ง ซึ่งดินมีความชื้นน้อยกำลังเฉือนของดินสูงแต่จะพิบัติในช่วงฤดูฝน ในขณะที่ฝนตกทำให้ความชื้นในอาคารเพิ่มขึ้น ส่งผลให้กำลังเฉือนของดินลดลงตามปริมาณความชื้นที่เพิ่มขึ้นเรื่อยๆ หากช่วงเวลาไหนที่ปริมาณน้ำฝนมากก็จะทำให้กำลังเฉือนของดินไม่อาจต้านทานแรงที่กระทำก่อให้เกิดการพิบัติของอาคารได้ ดังนั้นในการวิเคราะห์เสถียรภาพของอาคาร จำเป็นต้องทำการทดสอบดินทั้งในสภาพเดิมในความชื้นธรรมชาติและความชื้นอิ่มน้ำด้วยน้ำ

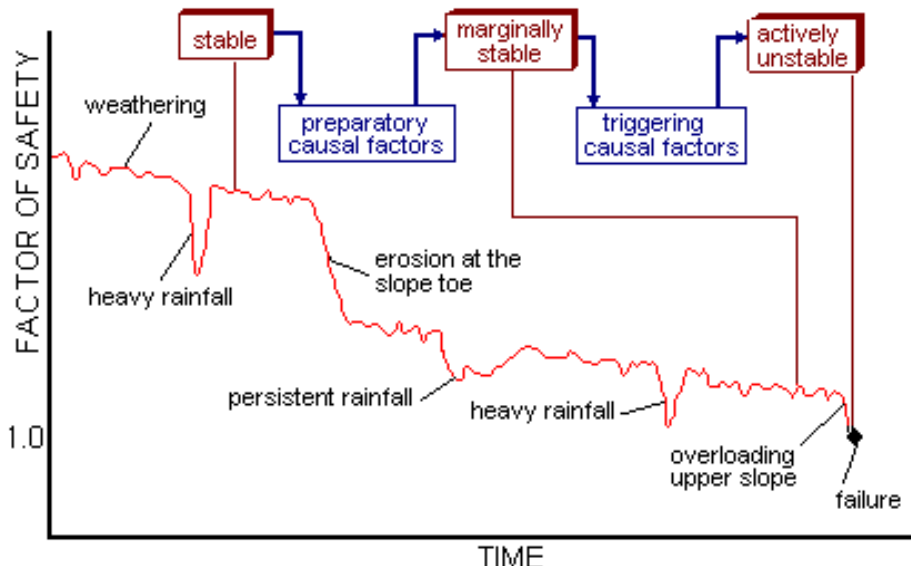
เสถียรภาพอาคารทางวิศวกรรมอยู่ในรูปแบบอัตราส่วนความปลอดภัย (Factor of safety) เป็นสัดส่วนของแรงต้านทาน (Resisting force) ต่อแรงขับ (Driving force) ที่กระทำกับมวลดิน ค่าเสถียรภาพลดลงเมื่อแรงขับมากขึ้นหรือแรงต้านลดลง จนเมื่อแรงขับมากกว่าแรงต้านก็ทำให้เกิดการพิบัติของอาคาร การลดลงของกำลังเฉือนในดิน (Shear strength reduction) เป็นปัจจัยสำคัญที่ทำให้แรงต้านทานลดน้อยลงเกิดการพิบัติของอาคาร กำลังเฉือนของดินที่ลดลงสามารถแบ่งได้เป็น 2 ลักษณะคือ

1. กำลังเฉือนที่ลดลงช้าๆ สาเหตุมาจากการเพิ่มขึ้นของความชื้นในดิน ซึ่งเกี่ยวเนื่องกับสภาพที่ฝนตกและระดับน้ำใต้ดินที่สูงขึ้น ปริมาณความชื้นหรือน้ำที่เพิ่มขึ้นทำให้การยึดเกาะกันในดินลดลง เพราะน้ำได้เข้าไปทำลายแรงตึงผิวของอากาศในดินและระดับน้ำใต้ดินที่สูงขึ้นทำให้หน่วยแรงตึงอากาศในดินลดลงเนื่องมาจากแรงลอยตัว (Uplift pressure) ทำให้กำลังเฉือนจากแรงเลี้ยงทานในดินลดลง โดยกำลังเฉือนที่ลดลงตามความชื้นที่เพิ่มขึ้น แต่จะกลับมาเพิ่มขึ้นอีกเมื่อความชื้นในดินลดน้อยลงตามลำดับ

2. กำลังเฉือนที่ลดลงรวด เนื่องจากแรงเฉือนกระทำเพิ่มขึ้นเรื่อยๆ จนเกินกำลังต้านทานสูงสุด (Peak Strength) เกิดการเลื่อนตัวของดินในระนาบพิบัติ ค่ากำลังเฉือนของดินจะลดลงเรื่อยๆ ในขณะที่อาคารเกิดการเลื่อนตัวในระนาบพิบัติ จนกระทั่งเหลือแรงต้านทานที่น้อยที่สุด แรงต้านทานที่น้อยสุดนั้นเกิดจากการที่โครงสร้างเดิมของดินถูกทำลายเนื่องจากการเลื่อนตัวของอาคารในระนาบพิบัติ เมื่อดินเกิดการเรียงตัวกันใหม่ ทำให้กำลังเฉือนของดินลดลง

Price (2006) อธิบายว่า การเปลี่ยนแปลงของค่าอัตราส่วนความปลอดภัย (FS) ที่ช่วงระยะเวลาสั้นๆ (Short term) มักจะเกิดขึ้นเนื่องจากการเปลี่ยนแปลงของปริมาณความชื้นในดิน

และระดับน้ำใต้ดินที่เปลี่ยนแปลงไปตามฤดูกาล โดยเฉพาะในช่วงที่ฝนตกหนัก (Heavy rainfall) จะทำให้ค่าอัตราส่วนความปลดภัยลดลงมาก แต่เมื่อปริมาณความชื้นและระดับน้ำใต้ดินได้ลดลงแล้ว อัตราส่วนความปลดภัยก็กลับมาเพิ่มขึ้นได้อีก แต่การเปลี่ยนแปลงอัตราส่วนปลดภัยที่เกิดจากการกัดเซาะที่ตีนของลาดต้น (Slope toe) ทำให้อัตราส่วนความปลดภัยลดลงและไม่อาจกลับเพิ่มขึ้นได้ ดังแสดงในรูปที่ 2.6



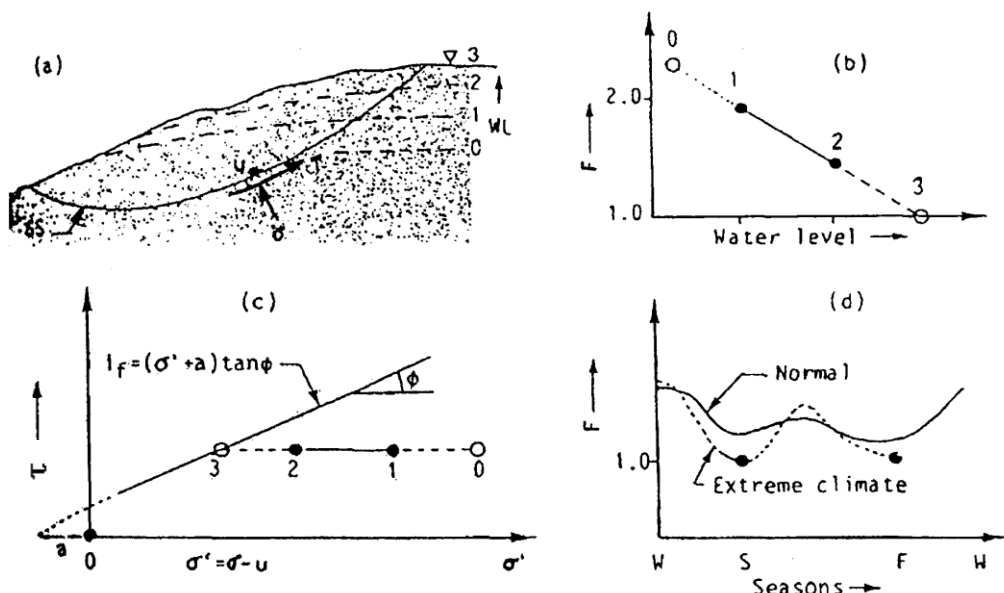
รูปที่ 2.6 การเปลี่ยนแปลงอัตราส่วนความปลดภัย (F.S) ที่ระยะเวลาต่างๆ (Price, 2006)

2.1.3 ความสัมพันธ์ระหว่างสภาพแวดล้อมทางธรรมชาติและระดับน้ำใต้ดินต่อการพิบัติของลาดต้น

น้ำฝนเป็นปัจจัยสำคัญที่กระตุ้นให้เกิดการพิบัติของลาดต้น เมื่อน้ำฝนไหลซึมลงดินทำให้แรงดันน้ำในดินเปลี่ยนไป จากเดิมที่แรงดันน้ำในลาดต้นเป็นลบก็จะเพิ่มขึ้นเรื่อยๆ จนถึงจุดเป็นศูนย์ และเปลี่ยนเป็นแรงดันน้ำด้านบน การเปลี่ยนแปลงสภาพแวดล้อมน้ำดังกล่าวทำให้กำลังเฉือนในดินลดน้อยลงตามลำดับ จนกระทั่งกำลังเฉือนของดินน้อยกว่าแรงที่กระทำต่อมวลดิน ลาดต้นก็เกิดการพิบัติ Fredlund and Rehardsjo (1993) พบร่องลาดต้นที่พิบัติส่วนมากมีสาเหตุมาจาก การไหลซึมของน้ำฝนลงสู่ลาดต้น

วรากร และคณะ (2542) ระบุว่าลาดต้นตามธรรมชาติ (Natural slopes) อาจไม่เกิดการพิบัติในช่วงที่มีความชื้นในมวลดินต่ำ ทั้งนี้เพราะมวลดินยังไม่อิ่มตัว ความชื้นในมวลดินจะเกิดแรงตึงผิวที่ส่งผลให้เกิดแรงดูด (Suction) ที่ช่วยยึดเกาะให้มวลดินแข็งแรงขึ้น หรือเกิดแรงดันน้ำด้านลบ (Negative pore pressure) ซึ่งทำให้ค่ากำลังประสิทธิภาพของดินสูงขึ้น ตามสมการมอร์-คู

ลอนม์ เมื่อลาดดินได้รับอิทธิพลของการเปลี่ยนแปลงของสภาพภูมิอากาศที่เปลี่ยนแปลงไปตามฤดูกาล เช่น ในฤดูที่มีฝนตกชุกทำให้ระดับน้ำใต้ดินสูงขึ้น ดินมีความชื้นมากขึ้น ทำให้แรงตึงผิวในดินถูกทำลาย และค่าแรงดันน้ำในดินเป็นบวก หน่วยแรงประดิษฐ์ผลของดินก็จะลดลงจนถึงจุดวิกฤติที่เกิดการพังทลายของลาดดินได้ ดังแสดงในรูปที่ 2.7 แสดงให้เห็นถึงการเปลี่ยนแปลงของค่าอัตราส่วนความปลดภัยของลาดดินตามฤดูกาลต่างๆ ในช่วงปีหนึ่งๆ ตามสภาพความชื้นที่มีในดิน



รูปที่ 2.7 อิทธิพลความชื้นและการเปลี่ยนแปลงของระดับน้ำใต้ดินที่มีต่อเสถียรภาพของลาดดิน (Janbu, 1983)

เมื่อฝนตกน้ำจะไหลแบ่งออกเป็น 2 ส่วน ส่วนแรกคือน้ำที่ไหลซึมลงในชั้นดิน (Infiltration) และผ่านลงสู่ระดับน้ำใต้ดินหรือเขตอิมตัวที่อยู่ลึกลงไป และอีกส่วนคือน้ำไหลไปบนผิวดิน (Surface run off) น้ำใต้ดินจะไหลต่อไปยังที่ต่ำกว่าไปยังจุดที่สามารถไหลออกได้ เช่น ตาน้ำ (Spring) แม่น้ำ หรือทะเล เป็นต้น ปริมาณน้ำที่ไหลซึมลงดินและนำที่ไหลบนผิวดินจะถูกควบคุมโดยอัตราการซึมผ่านของน้ำในดิน (Permeability) ในระหว่างการไหลซึมจะเป็นการเพิ่มความชื้นให้กับมวลดินเปรียบเสมือนเป็นระดับน้ำจากผิวดิน (Perched water table) เคลื่อนตัวต่ำลงไปถึงระดับน้ำใต้ดินรวมกันทำให้ระดับน้ำใต้ดินสูงขึ้นเรื่อยๆ ในกรณีที่เม็ดดินมีความชื้นเดินน้อยมาก อัตราการไหลซึมลงในดินจะสูงมากเนื่องจากค่าแรงดูดหรือแรงดันน้ำด้านลบมีค่ามาก แต่เมื่อแรงดูดในดินลดลง อัตราการไหลซึมของน้ำจะลดลงตามลำดับ น้ำที่ไหลบนผิวดินทำให้เกิดการกัด

เซาะ (Erosion) หน้าดิน การกัดเซาะมีผลทำให้ลักษณะดินมีความซันเพิ่มขึ้น ที่เกิดขึ้นชัดเจนในกรณีของตลิ่งในแม่น้ำ ปริมาณการกัดเซาะหน้าดินนั้นขึ้นกับอัตราการไหลของน้ำ

Fukuoka (1979) อธิบายว่า ความเข้มของฝนและปริมาณน้ำฝนมีความสัมพันธ์กับการพิบัติของลักษณะดิน น้ำฝนมีผลกระทบกับเสถียรภาพลักษณะดินคือ เป็นการเพิ่มน้ำหนักของดินซึ่งเป็นเสมือนการเพิ่มแรงกระทำกับลักษณะดินและทำให้กำลังเฉือนของดินลดลง กำลังเฉือนที่ลดลงแบ่งได้เป็น 2 สาเหตุคือ

1. ปริมาณน้ำในดินเพิ่มขึ้นจากน้ำที่ไหลซึมผ่านผิวดินลงสู่ชั้นดินค้านล่างทำให้ดินมีกำลังเฉือนน้อยลง

2. ระดับน้ำใต้ดินเพิ่มสูงขึ้นจากน้ำที่ไหลซึมลงมา ดินที่จมอยู่ใต้ระดับน้ำใต้ดินเกิดแรงดึงดูด (Uplift pressure) ทำให้ค่าหน่วยดึงดูดลดลง สร้างให้กำลังเฉือนของดินลดลง

สันติ (2550) อธิบายว่า การที่ฝนตกที่ความเข้มสูงๆ ไม่ได้หมายความว่าความชื้นในมวลดินจะเพิ่มขึ้นจนเกิดการพิบัติของลักษณะดินเสมอไป ในบางครั้งฝนที่ตกนานาทางก็อาจก่อให้เกิดการพิบัติของลักษณะดินได้ ทั้งนี้เนื่องจากสภาพแวดล้อมเริ่มต้น (Initial condition) ซึ่งเป็นผลมาจากการฝนก่อนหน้า (Antecedent rainfall) ทำให้ระดับความชื้นเริ่มต้นสูง เมื่อฝนตกลงมาเพียงเล็กน้อยก็สามารถทำให้เกิดการพิบัติของลักษณะดินได้ นอกจากนี้รูปแบบของฝนที่ตกก็มีอิทธิพลเช่นกัน ฝนที่ตกในช่วงเวลาและมีความเข้มรวมเท่ากัน แต่ความเข้มไม่คงที่มากบ้างน้อยบ้างในแต่ละช่วงเวลา ทำให้เกิดความไม่แน่นอนในการประมาณความชื้นที่เกิดขึ้น ซึ่งส่งผลต่อการวิเคราะห์โอกาสเกิดการพิบัติของลักษณะดิน

Kasim et al. (1998) อธิบายว่า ความสัมพันธ์ระหว่างสภาพแวดล้อมที่เกี่ยวข้องกับตัวแปรมากมาย เช่น ความเข้มของฝน, ระยะเวลาที่ฝนตก, ความชื้นของดินก่อนฝนตก, สมบัติของดิน, รูปทรงลักษณะดิน และการแปรปรวนของสภาพภูมิอากาศ กลไกของลักษณะดินที่เกิดการพิบัติจากสภาพแวดล้อมต่างๆ สาเหตุจากน้ำที่ไหลซึมลงในดิน ไปลดแรงดูดเมทริกซ์ (Matric suction) ในดินที่ไม่อิ่มตัว ทำให้กำลังของดินลดลงจนเกิดการพิบัติ

Gavin and Xue (2007) อธิบายว่า ในขณะฝนตก น้ำไหลซึมจากผิวดินลงสู่ชั้นดิน และกระจายตัวในเขตดินไม่อิ่มตัว ลักษณะการกระจายขึ้นกับความชื้นของดิน, แรงดันน้ำ, ลักษณะภูมิประเทศของลักษณะดินและความสามารถในการไหลซึม ซึ่งแปรเปลี่ยนตลอดในขณะที่ฝนตก

ในขณะการไหลซึมกำลังต่อเนื่อง แรงดูดและความสามารถในการไหลซึมจะลดลง อัตราที่น้ำไหลซึมเข้าสู่ลักษณะดิน โดยทั่วไปเท่ากับหรือน้อยกว่าความเข้มฝน (Rainfall intensity)

Terzaghi (1950) อธิบายว่า หนึ่งในสาเหตุหลักที่ทำให้เกิดการพิบัติของลักษณะดิน คือแรงดันน้ำในโพรงคิน ซึ่งเกี่ยวข้องกับระดับน้ำใต้ดินและน้ำฝน ในคืนเม็ดละอิคปริมาณความชื้นที่เพิ่มขึ้นจากน้ำฝนทำให้แรงดูดเมทริกซ์ (Matrix suction) ลดลง เป็นผลให้การยึดเกาะกัน (Cohesion) ลดลงและระดับน้ำใต้ดินที่เพิ่มขึ้นทำให้แรงเสียดทานในมวลดินลดลง ซึ่งเป็นผลจากแรงลอยตัวทำให้หน่วยแรงตั้งคลาดคลลง

Timothy et al. (2005) อธิบายว่า ในการวิเคราะห์เสถียรภาพของลักษณะดิน ตัวแปรที่ไม่แน่นอนมากที่สุดคือ ขนาดของแรงดันน้ำในโพรงและกำลังเนื้อนของดิน เพราะเกี่ยวข้องกับปริมาณน้ำในคืนที่มาจากการภาวะที่ฝนตก ขนาดของแรงดันน้ำในโพรงจะเป็นค่าเฉพาะสถานที่ (Site - specific) และเฉพาะเวลา (Time - specific)

นงลักษณ์ (2547) ได้ศึกษาถึงพฤติกรรมการพิบัติของลักษณะดินในลุ่มน้ำก้อ จังหวัดจันทบุรี โดยได้เก็บตัวอย่างแบบคงสภาพมาทดสอบกำลังเฉือนที่ค่าระดับความชื้นต่างๆ แล้วนำไปวิเคราะห์เสถียรภาพลักษณะดินที่เปลี่ยนแปลงตามปริมาณน้ำฝน พบว่าเมื่อระดับความชื้นในคืนมากขึ้น กำลังเฉือนจะมีค่าลดลง และอธิบายว่า การเปลี่ยนแปลงความชื้นและระดับน้ำใต้ดินของลักษณะดิน ขึ้นอยู่กับรูปแบบของฝน ซึ่งส่งผลโดยตรงต่อเสถียรภาพของลักษณะดิน

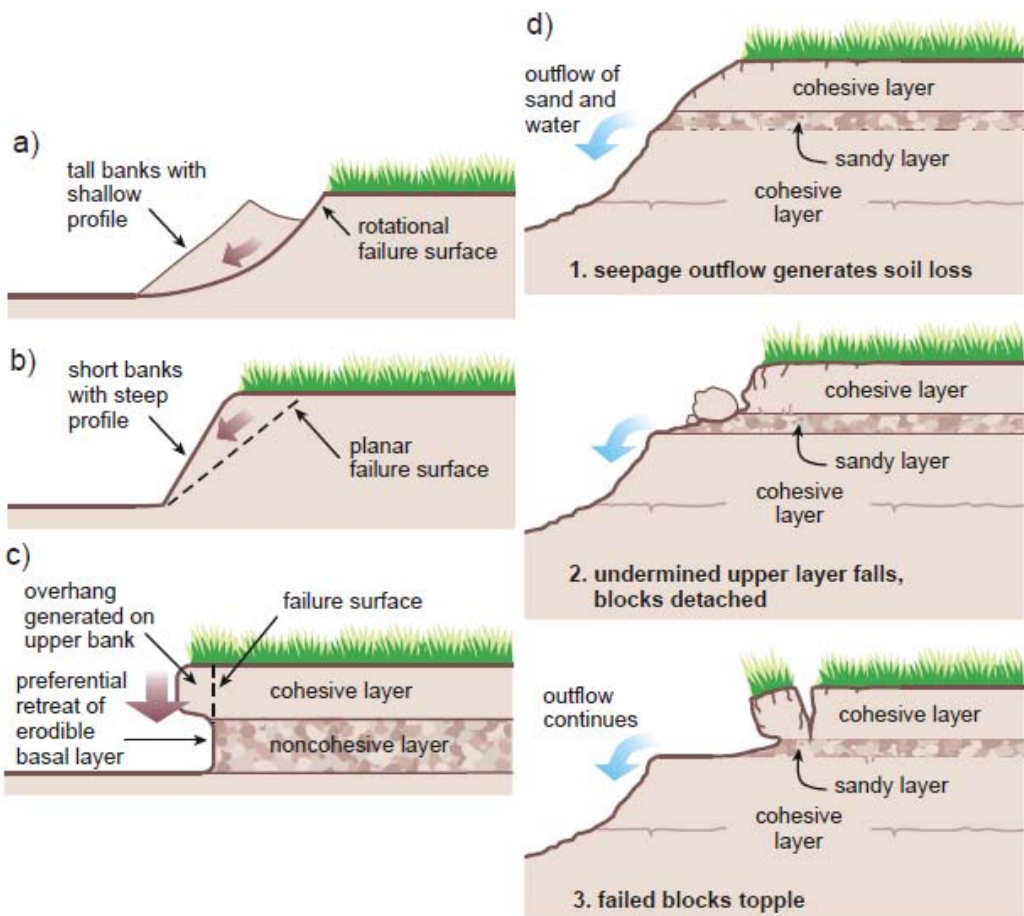
บรรพต (2548) ได้ศึกษาถึงพฤติกรรมการพิบัติของลักษณะดินในพื้นที่ต้นน้ำของลุ่มน้ำย่อยแม่น้ำจันทบุรี พบว่ากำลังเฉือนของดินเปลี่ยนผันผวนค่าความอิ่มตัวของน้ำในมวลดินรูปแบบของฝนที่ต่างกันมีอิทธิพลต่อการพิบัติของลักษณะดิน ค่าความชื้นผ่านได้และค่าความชื้นที่สภาวะเริ่มต้นมีผลต่อปริมาณน้ำที่ไหลซึมสู่ชั้นดิน ซึ่งเป็นปัจจัยสำคัญในการวิเคราะห์การไหลซึมของน้ำฝนสู่ลักษณะดิน ช่วงเวลาที่ฝนตกมีผลต่อการเปลี่ยนแปลงระดับน้ำใต้ดิน และค่าอัตราส่วนความปลอดภัย (Factor of safety) น้อยสุดเกิดในช่วงท้ายของฝนที่มีความเข้มมากในช่วงเวลาที่ฝนตก

Brain and Dobroslav (2004) ได้ศึกษาการวิเคราะห์เสถียรภาพของลักษณะดินที่พิบัติเนื่องมาจากฝนตก และอธิบายหลักการไหลซึมลงในคืนของน้ำฝนว่า การวิเคราะห์เสถียรภาพของลักษณะดินในกรณีเลวร้ายสุด (Worst - Case) มักจะสมมุติให้ระดับน้ำใต้ดินอยู่ที่ระดับพิวของลักษณะดิน

และคาดเดนว่ามีลักษณะอิ่มตัวเต็มที่ สำหรับคาดเดนที่มีลักษณะอิ่มตัวนี้ จะไม่มีการไหลซึมลงในดิน เพิ่มขึ้นอีก ดังนั้นมีอีกหนึ่งอย่างที่ไม่มีผลกระทบต่อเสถียรภาพของลาดเดนอีก

2.2 เสถียรภาพของต่ำและภัยคุกคาม (Bank Stability and Toe Erosion)

รูปแบบการพิบัติของแนวต่ำ มีหลายประเภทดังแสดงในรูปที่ 2.8 ประกอบด้วย a) Rotation slumping b) Wedge failure c) Cantilever failure และ d) Toppling of vertically arranged slabs (Thorne et al., 1981) ซึ่งรูปแบบของการพิบัติจะสะท้อนถึงระดับของการกัดเซาะของกระแสน้ำ หรือกลไกอื่นๆ รวมทั้งคุณสมบัติของชั้นดินของต่ำ



รูปที่ 2.8 รูปแบบการพิบัติของต่ำ a) Rotational failure b) Planar failure c) Cantilever failure และ d) Seepage erosion

รูปแบบการพิบัติจริงในสนามของต่ำขึ้นอยู่กับลักษณะชั้นดินบริเวณนั้น เช่น การพิบัติในรูปแบบ Rotation slumping ดังแสดงในรูปที่ 2.8a และ Wedge failure ดังแสดงในรูปที่ 2.8b

มักจะเกิดขึ้นกับตลิ่งที่มีชั้นดินเป็นดินเหนียว (Cohesive riverbank) เนื่องจากดินเหนียวมีความต้านทานการกัดเซาะมาก ทำให้การกัดเซาะเกิดขึ้นน้อย แต่ก็ต่างกับตลิ่งที่มีชั้นดินเป็นดินเหนียว สลับกับดินทราย ซึ่งในส่วนดินทรายจะโคนการกัดเซาะได้ง่าย รูปแบบการพิบัติจะเป็น Cantilever failure ดังแสดงในรูปที่ 2.8c กระบวนการที่ก่อให้เกิดการพิบัติในสนา�นอกเหนือไปการกัดเซาะเนื่องจากการไหลของน้ำแล้วยังมีการกัดเซาะเนื่องจากการไหลซึม (Seepage erosion) ของน้ำได้ดินอิกด้วย การกัดเซาะเนื่องจากการไหลซึมมักจะเกิดขึ้นกับชั้นดินทรายแทรกอยู่ระหว่างชั้นดินเหนียวสองชั้น (Composite riverbank) ดังแสดงในรูปที่ 2.8d ซึ่งการพิบัติทั้งหมดที่ได้กล่าวมาจะก่อให้เกิดการเปลี่ยนแปลงรูปร่างของตลิ่งที่แตกต่างกันไป

แบบจำลองเสถียรภาพของตลิ่งและการกัดเซาะในการวิจัยครั้งนี้ ใช้รูปแบบของ CONCEPTS-Conservational Channel Evolution and Pollutant Transport System ที่พัฒนาโดย Langendon (2000) มีส่วนประกอบที่สำคัญ 2 ส่วน ได้แก่ การกัดเซาะที่ตีนตลิ่งและเสถียรภาพของตลิ่ง โดยมีรายละเอียดดังต่อไปนี้

2.2.1 การกัดเซาะที่ตีนตลิ่ง (Toe Erosion)

การพังทลายของตลิ่งในธรรมชาติ โดยทั่วไปแล้วจะเกิดการกัดเซาะที่ตีนตลิ่ง (Toe erosion) ก่อน ในกรณีที่มีอัตราการไหลของน้ำสูง หน่วยแรงเฉือนเนื่องจากการไหลของน้ำบริเวณตีนตลิ่งมีค่าสูงตาม และอาจจะมากพอที่จะทำให้การกัดเซาะเกิดขึ้น ซึ่งระยะการกัดเซาะสามารถคำนวณได้จากสมการที่ 2.4

$$\kappa | k_d \div t(\vartheta_o 4 \vartheta_c) \quad (2.4)$$

โดยที่	K	=	ระยะการกัดเซาะ (Erosion distances, m)
	k_d	=	สัมประสิทธิ์การกัดเซาะ (Erodibility coefficient, $\text{m}^3/\text{N.s}$)
	$\div t$	=	ช่วงเวลาของการกัดเซาะ (Duration, s)
	ϑ_o	=	หน่วยแรงเฉือนเนื่องจากการไหลของน้ำ
			(Average boundary shear stress, Pa)
	ϑ_c	=	ความต้านทานหน่วยแรงเฉือนวิกฤตของดิน
			(Critical shear stress, Pa)

ระยะการกัดเซาะจากสมการที่ 2.4 เป็นที่รู้จักและใช้กันอย่างแพร่หลาย (Hutchinson, 1972; Foster et al., 1977; Dillaha and Beasley, 1983; Temple, 1985; Hanson, 1989; Stein and Nett, 1997) เกิดจากผลต่างระหว่างหน่วยแรงเฉือนเนื่องจากการไหลของน้ำ (ϑ_o) ที่เป็นแรงกระทำกับค่าความต้านทานหน่วยแรงเฉือนวิกฤตของดิน (ϑ_c) ที่เป็นตัวต้านแรงกระทำอยู่ในรูปแบบหน่วยแรงเฉือนส่วนเกิน (Excess shear equation, $\vartheta_o - \vartheta_c$) โดยที่

$$\begin{aligned} \text{การกัดเซาะเกิดขึ้นเมื่อ } \vartheta_o &> \vartheta_c \\ \text{การกัดเซาะไม่เกิดขึ้นเมื่อ } \vartheta_o &< \vartheta_c \end{aligned}$$

2.2.1.1 หน่วยแรงเฉือนเนื่องจากการไหลของน้ำ (Boundary shear stress, ϑ_o)

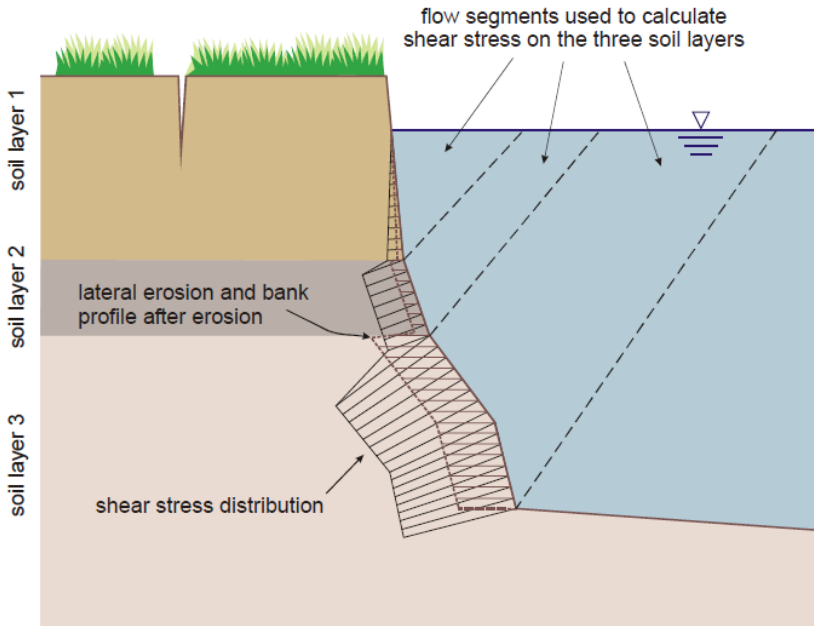
ค่าเฉลี่ยหน่วยแรงเฉือนเนื่องจากการไหลของน้ำ (ϑ_o) เป็นหน่วยแรงกระทำที่ทำให้เกิดการกัดเซาะขึ้นอยู่กับอัตราการไหลของน้ำ โดยที่หน่วยแรงเฉือนเนื่องจากการไหลของน้ำที่กระทำบนชุดใดๆ ของตลิ่ง คำนวณได้โดยคิดพื้นที่การไหลที่มีผลต่อจุดนั้นๆ (รูปที่ 2.9) ดังสมการที่

2.5

$$\vartheta_o = v_w R S_f \quad (2.5)$$

เมื่อ	v_w	= หน่วยน้ำหนักของน้ำ (Water unit weight, kN/m ³)
	R	= Hydraulic radius (m)
	S_f	ความลาดชันเนื่องจากการสูญเสียพลังงาน (Friction slope, m/m) ได้จากการวิเคราะห์ระดับน้ำข้อนกลับ (Backwater analysis) ซึ่งแสดงในหัวข้อ 2.3

โดยที่ R, S_f มีความสัมพันธ์กับถักณะภาพตัดขวางของตลิ่งและระดับน้ำ แบ่งผันตรงกับอัตราการไหลของน้ำดังสมการการไหลสม่ำเสมอในทางน้ำเปิดคงรูปของ Manning ในบางครั้งค่า S_f ดังสมการที่ 2.5 จะถูกแทนด้วย Channel slope (S_0) ทั้งนี้ขึ้นอยู่กับข้อมูลที่เกี่ยวข้องในการหาค่าตัวแปรทั้งสอง



รูปที่ 2.9 การแบ่งพื้นที่การไหลของน้ำสำหรับใช้คำนวณ Hydraulic radius (Langendoen 2000)

2.2.1.2 ความต้านทานหน่วยแรงเฉือนวิกฤตและสัมประสิทธิ์การกัดเซาะของดิน

ความต้านทานหน่วยแรงเฉือนวิกฤตและสัมประสิทธิ์การกัดเซาะของดินเป็นพารามิเตอร์ที่สำคัญในการวิเคราะห์เสถียรภาพและการกัดเซาะตลึ่ง ในช่วงแรกได้มีการศึกษาความสัมพันธ์ระหว่างพารามิเตอร์ทั้งสองกับค่า Index properties เช่น Plasticity index, Clay content (Smerdon and Beasley 1959), Mean diameter (Simon 2006), Silt – clay content (Julian and Torres, 2006) ดังแสดงในสมการที่ 2.6, 2.7, 2.8, 2.9 ตามลำดับ อีกทั้งยังมีการศึกษาความสัมพันธ์ระหว่างพารามิเตอร์ทั้งสองกับค่าคุณสมบัติทางวิศวกรรมเช่น Unconfined Compressive Strength, Vane Shear Strength (Kamphius and Hell, 1983) ดังแสดงในสมการที่ 2.10, 2.11 ตามลำดับ

$$\vartheta_c \mid 0.16(PI)^{0.84}, \text{ Pa} \quad (2.6)$$

$$\vartheta_c \mid 0.493 \Delta 10^{0.0182P_c}, \text{ Pa} \quad (2.7)$$

$$\vartheta_c \mid 0.06/\psi_s 4 \psi_w \lg D_{50}, \text{ Pa} \quad (2.8)$$

$$\vartheta_c \mid 0.12 0.1779/SC02 0.0028/SC\emptyset 4 2.3E 4 5/SC\emptyset \quad (2.9)$$

$$\vartheta_c \mid 7.12 \cdot 0.145 \frac{\Omega q_u}{\Omega M^3} \Bigg\}, \text{ Pa} \quad \text{for } 20 \Omega q_u \Omega 80 \text{ kPa \quad (2.10)}$$

$$\vartheta_c \mid 3.82 \cdot 0.55 \frac{\Omega S_v}{\Omega M^3} \Bigg\}, \text{ Pa} \quad \text{for } 5 \Omega S_v \Omega 25 \text{ kPa \quad (2.11)}$$

สมการทั้งหมดนี้เป็นสมการที่ใช้ได้เฉพาะดินบริเวณที่ทำการทดสอบเท่านั้น เนื่องจากไม่มีการปรับเทียบกับดินบริเวณอื่น ในปัจจุบันวิธีการทดสอบที่น่าเชื่อถือมากที่สุดคือ การทดสอบการไหลของทางน้ำเปิดขนาดใหญ่ (Large open channel flow test) ที่ควบคุมอัตราการไหลของน้ำได้ ซึ่งเป็นการทดสอบในสนาม แต่กระบวนการในการทดสอบจะมีปัญหาหลายอย่าง

วิธีการทดสอบหาความต้านทานหน่วยแรงเฉือนวิกฤตและสัมประสิทธิ์การกัดเซาะของดินในปัจจุบันมี 3 วิธีคือ 1. Hole erosion test, HET (Wan and Fell, 2004) ซึ่งเป็นวิธีทดสอบการกัดเซาะเนื่องจากการไหลซึมของน้ำ (Seepage erosion) ซึ่งเหมาะสมสำหรับการวิเคราะห์การกัดเซาะของดิน 2. Erosion Function Apparatus, EFA (Briaud et al. 2001) เป็นการทดสอบการกัดเซาะที่ฐาน (Streambed erosion) 3. Submerged jet test (Hanson, 1991, Hanson and Cook 2004) เหมาะสำหรับทั้งการกัดเซาะที่ฐานและการกัดเซาะที่ขอบตัว (Lateral erosion) เป็นวิธีการทดสอบที่ได้รับการบรรจุเป็นมาตรฐาน ASTM Standard D5852 (2003)

Hanson and Simon (2001) ได้ใช้เครื่องมือ Submerged jet test ทำการทดสอบหาความสัมพันธ์ระหว่างความต้านทานหน่วยแรงเฉือนวิกฤตของดินกับสัมประสิทธิ์การกัดเซาะของตัวอย่างแห่งใน USA ได้ความสัมพันธ์ดังแสดงในสมการที่ 2.12 ซึ่งสอดคล้องกับผลการทดสอบของ Arulanandan et al. (1980) ซึ่งใช้การทดสอบการไหลของร่องน้ำเปิดในห้องปฏิบัติการ (Flume testing) โดยใช้ดินในบริเวณที่ใกล้เคียงกัน

$$k_d \left(\frac{cm^3}{N.s} \right) \mid 0.1 \vartheta_c^{40.5} \quad (2.12)$$

ความสัมพันธ์ระหว่างพารามิเตอร์ทั้งสอง จากการทดสอบในสนามของ Hanson and Simon (2001) บางครั้งพบว่าค่าคงที่ (0.1) ในสมการที่ 2.12 อาจจะมีค่าเป็น 0.2

2.2.2 เสถียรภาพของตลิ่ง (Bank Stability Analysis)

การวิเคราะห์เสถียรภาพของตลิ่งใช้วิธีที่พัฒนามาจากการวิเคราะห์ Slope และ Embankment ของผู้วิจัยหลายท่านเช่น Bishop (1955), Morgenstern and Price (1965), Terzaghi and Peck (1967) และ Fredlund and Krahn (1977) ซึ่งวิธีทั้งหมดนี้เป็นการวิเคราะห์แบบ Limit equilibrium โดยใช้สมดุลของแรงและโมเมนต์

Simon et al. (1999) ได้ดัดแปลงวิธีการนี้ให้เหมาะสมกับการวิเคราะห์เสถียรภาพของตลิ่ง โดยการแบ่งชั้นดินหลายชั้น (Horizontal layer) รวมถึงพิจารณา Pore-water pressure และ Confining pressure แต่การคำนวณเสถียรภาพจะไม่พิจารณาแรงเฉือนภายในแต่ละชั้นดิน

Langendoen (2000) ได้พัฒนาวิธีการนี้ต่อโดยพิจารณาแรงภายในชั้นส่วน โดยการแบ่งเป็นชั้นส่วน (Slices) และชั้นส่วนย่อยในแนวคิ่ง (Subslices) หลายชั้นส่วนเพื่อคำนวณหน่วยแรงต่างๆที่เกิดขึ้น อัตราส่วนความปลดภัยคำนวณได้โดยการใช้สมดุลของแรงทั้งในแนวราบและแนวคิ่ง ซึ่งจะกล่าวในรายละเอียดดังต่อไปนี้

2.2.2.1 การพิบัติของตลิ่งแบบระนาบ (Planar failure)

การคำนวณอัตราส่วนความปลดภัยของตลิ่งแบบ Planar failure คำนวณได้โดยการแบ่ง Slices และ Subslices ในแนวคิ่ง ดังแสดงในรูปที่ 2.10 เพื่อประเมินหาหน่วยแรงต่างๆที่ใช้ในการคำนวณหาอัตราส่วนความปลดภัยต่อไป เช่น หน่วยแรงเฉือนและตั้งฉากบนระนาบพิบัติ หน่วยแรงเฉือนและตั้งฉากภายในแต่ละ Slices โดยการคำนวณอัตราส่วนความปลดภัยมีขั้นตอนดังต่อไปนี้

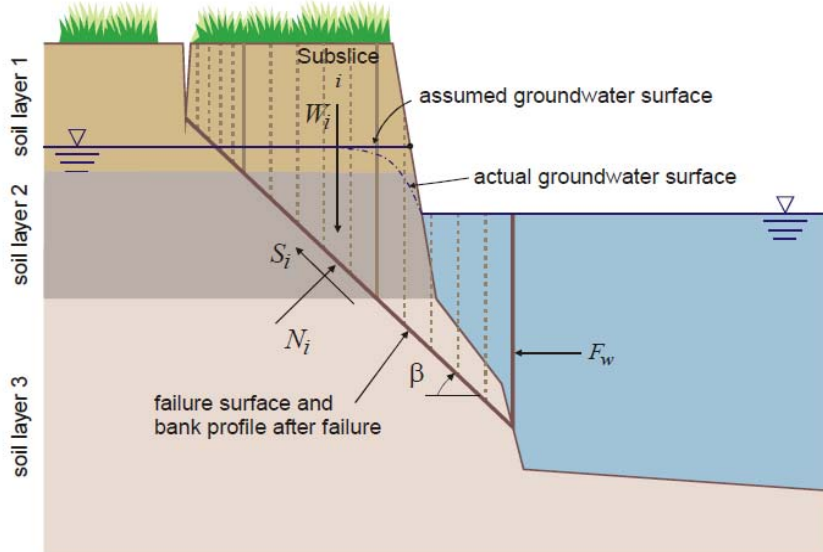
1. คำนวณแรงตั้งฉากบนระนาบพิบัติ N_j คำนวณจากสมการที่ 2.13 (รูปที่ 2.10a)

$$N_i \mid \frac{W_i}{\cos \eta} \quad (2.13)$$

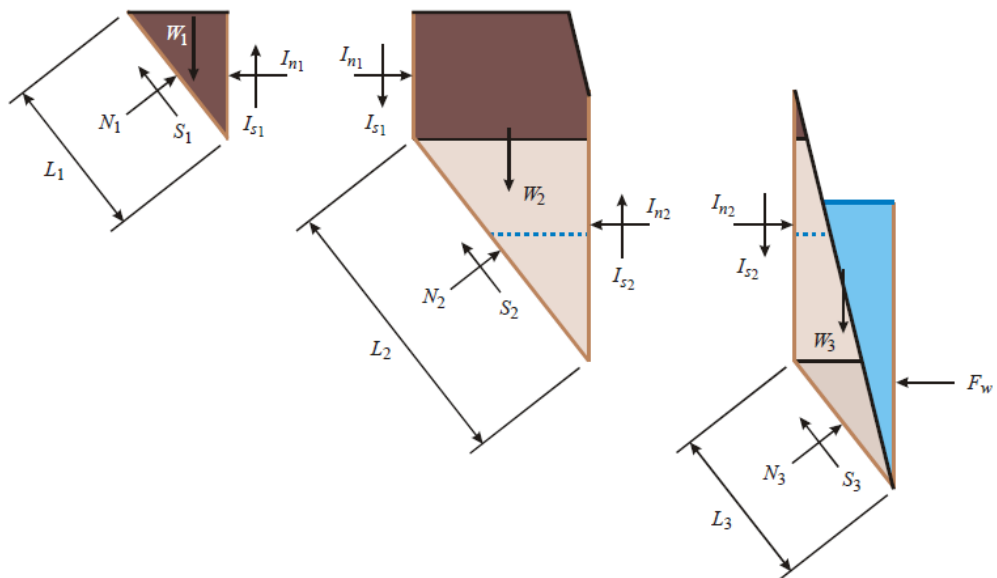
โดย W_i คือหนักของ Slice i

2. คำนวณแรงตั้งฉากและแรงเฉือนระหว่าง Slices, I_{n_j} , I_{s_j} ตามลำดับจากสมการที่ 2.14 และ 2.15 ตามลำดับ ค่า FS ที่ใช้ในสมการที่ 2.14 เริ่มต้นจากการสมมุติโดยยึด

พิจารณาความเป็นไปได้ในการพิบัติ เช่น พิจารณาจาก แนวพิบัติ (Failure Plane) ระดับนำในตลิ่ง เป็นต้น



(a) ลักษณะการพิบัติแบบ Planar failure



(b) การแบ่ง Slices เพื่อคำนวณหน่วยแรงภายในของแต่ละ Slice

รูปที่ 2.10 การพิบัติแบบ Planar failure a) ลักษณะการพิบัติแบบ Planar failure b) การแบ่ง Slices เพื่อคำนวณหน่วยแรงภายในของแต่ละ Slice (Langendon, 2000)

$$I_{ni} \mid I_{n_{i41}} 4/c_i L_i 2/\sigma_a 4 \sigma_w 0 L_i \tan \lambda_i^b 4 \sigma_{a_i} L_i \tan \lambda_i^c \left[\frac{\cos \eta}{FS} 2 N_i \sin \eta 4 \frac{\cos \eta \tan \lambda_i^d}{FS} \right] \quad (2.14)$$

$$I_{s_i} \mid 0.4 I_{n_i} \sin \left[\frac{\phi L_i}{L_i} \right] \quad (2.15)$$

3. หลังจากนั้นคำนวณแรงตึงจากบนระนาบพิบัติโดยคิดผลของแรงตึงจากและแรงเฉือนระหว่าง Slices ดังสมการที่ 2.16

$$N_i \mid \frac{W_i 2 I_{s_{i41}} 4 I_{s_i} 4 \sin \eta \left[\frac{\cos c_i L_i 2 / \sigma_a 4 \sigma_w 0 L_i \tan \lambda_i^b 4 \sigma_{a_i} L_i \tan \lambda_i^c}{FS} \right]}{\cos \eta 2 \frac{\tan \lambda_i^d \sin \eta}{FS}} \quad (2.16)$$

4. ค่าอัตราส่วนความปลดภัยดังแสดงในสมการที่ 2.17 คำนวณได้จากสมดุลของแรงตึงในแนวตั้งและแนวราบทองแต่ละ Slice โดยคำนวณขึ้นจากสมการที่ 2.13 - 2.16 จนกระทั่งได้ค่าอัตราส่วนความปลดภัยเท่ากันกับการคำนวณครั้งก่อน

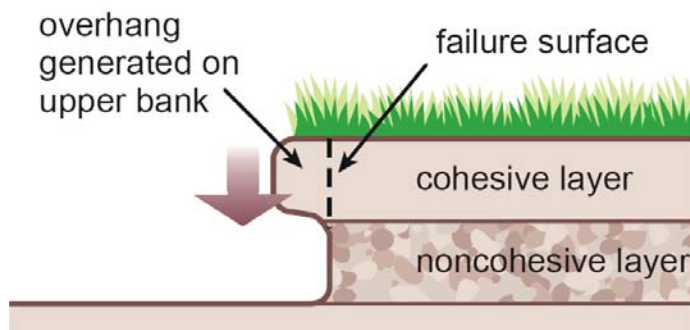
$$FS \mid \frac{\cos \eta \left[c_i L_i 2 / \sigma_a 4 \sigma_w 0 L_i \tan \lambda_i^b 2 \Psi_i 4 \sigma_{a_i} L_i \beta \tan \lambda_i^c \right]}{\sin \eta \left[N_i 4 F_w \right]} \quad (2.17)$$

โดยที่	η	=	มุมของระนาบพิบัติ
	c_i	=	แรงยึดเหนี่ยวประสีทชิพลดของ Slice j
	σ_{a_i}	=	แรงดันอากาศของ Slice i
	σ_{w_i}	=	แรงดันน้ำของ Slice i
	L_i	=	ความยาวระนาบพิบัติของ Slice i
	W_i	=	น้ำหนักของ Slice i
	N_i	=	หน่วยแรงตึงจากบนระนาบพิบัติของ Slice i
	F_w	=	แรงภายในออกเนื่องจากระดับน้ำของ Slice i
	λ_i^b	=	มุมที่บ่งบอกถึงการเพิ่มขึ้นของหน่วยแรงเฉือนจาก Matrix suction
	λ_i^c	=	มุมเสียดทานภายในเม็ดคินประสีทชิพลดของ Slice i

2.2.2.1 การพิบัติแบบคานยื่น (Cantilever failure)

การพิบัติแบบคานยื่นเกิดขึ้นได้เมื่อตลิ่งถูกกัดขาดที่ต้นตลิ่ง โดยเฉพาะอย่างยิ่ง Cohesionless soil นำไปสู่การเปลี่ยนแปลงลักษณะ (Geometry) ของตลิ่งดังแสดงในรูปที่ 2.11 ค่าอัตราส่วนความปลดภัยในรูปแบบ Cantilever failure คือ สัดส่วนของกำลังเฉือนของคินต่อ น้ำหนักของส่วนที่ยื่นดังแสดงในสมการที่ 2.18

$$FS = \frac{\frac{i}{i+1} c_i L_i 2 / \sigma_a 4 \sigma_w 0_i L_i \tan \lambda_i^b 2 \Psi_w \sin \zeta 4 \sigma_{a_i} L_i \beta \tan \lambda_i^c 0}{\frac{i}{i+1} W_i 2 F_w \cos \zeta 0} \quad (2.18)$$



รูปที่ 2.11 การพิบัติแบบ Cantilever failure

2.3 การหาค่าระดับน้ำโดยวิธี Backwater Analysis

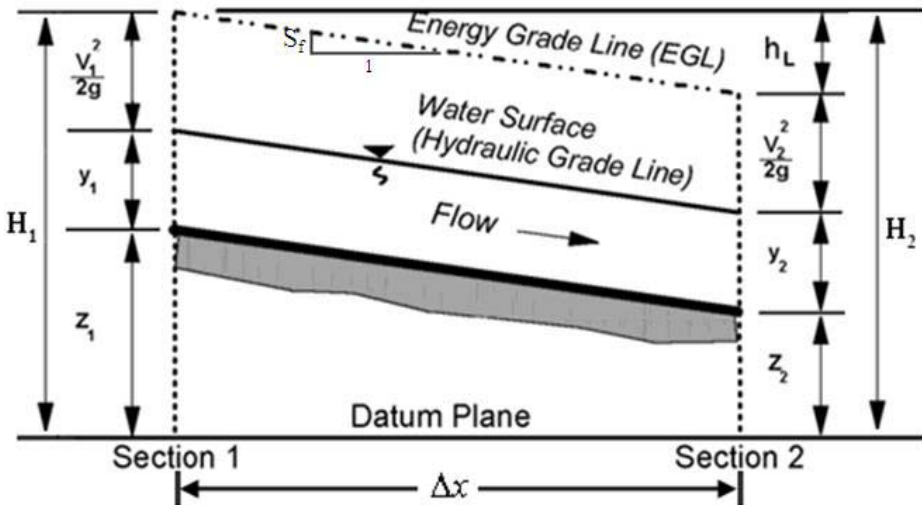
การไหลของน้ำในแม่น้ำตามธรรมชาติเป็นการไหลเปลี่ยนแปลงน้อย (Gradual varied flow) เป็นการไหลที่มีการเปลี่ยนแปลงความลึกน้อยๆ ตามระยะทางที่มาก ซึ่งการคำนวณระดับน้ำทำได้โดยอาศัยสมการพลังงาน สมการการไหลต่อเนื่อง และสมการการไหลสมมูละ ในทางน้ำเปิดคงรูป เช่น สมการของ Manning เป็นต้น วิธีการคำนวณมีอยู่เป็นจำนวนมากและมีความเหมาะสมในการใช้งานแตกต่างกันออกไป แต่ในการวิจัยครั้งนี้ใช้คำนวณโดยใช้วิธีขั้นตอนมาตรฐาน (Standard step method) ซึ่งเป็นวิธีที่ใช้งานได้ทั่วไปสำหรับทางน้ำเปิดทุกชนิด

การคำนวณค่าระดับน้ำโดยวิธี Backwater analysis เริ่มต้นจากการพิจารณา พลังงานการไหลในทางน้ำเปิดจากหน้าตัดที่ 1 ถึง 2 โดยอ้างอิงจากระดับ Datum plane ดังแสดงในรูปที่ 2.12 จะได้สมการพลังงานคือ

$$H_1 \mid H_2$$

$$z_1 + y_1 + \frac{V_1^2}{2g} = z_2 + y_2 + \frac{V_2^2}{2g} + h_L \quad (2.19)$$

โดยที่ $h_L \mid S_f \cdot \Delta x$ (2.20)



รูปที่ 2.12 การไหลแบบเปลี่ยนแปลงชลอ (Gradual varied flow)

$$S_f \mid \frac{S_{f_1} + S_{f_2}}{2} \quad (2.21)$$

จากสมการของ Manning $S_{f_i} \mid \left[\frac{n V_i}{R_i^{2/3}} \right]^2 \text{ ในหน่วย SI}$ (2.22)

โดยที่	z	=	ระดับท้องน้ำจากระดับอ้างอิง
	y	=	ความลึกในการไหลของทางน้ำ
	V	=	ความเร็วของน้ำ ($V \mid Q/A$)
	Q	=	อัตราการไหลของน้ำ
	A	=	พื้นที่การไหลของน้ำ
	h_L	=	Head เนื่องจากการสูญเสียพลังงาน
	S_f	=	ความลาดชันพลังงาน (ความชันของเส้น Energy grade line)
	n	=	Manning's roughness coefficient
	R	=	ความชันชลศาสตร์ (Hydraulic radius, $R \mid A/P$)
	P	=	เส้นขอบปีกของพื้นที่หน้าตัดคำน้ำ (Perimeter)

โดยทั่วไปแล้ว การคำนวณค่าระดับน้ำโดยวิธีนี้ ต้องทราบค่าระดับน้ำของคลัง 1 ตำแหน่ง (y_1 ดังรูปที่ 2.12) จึงคำนวณค่าระดับน้ำของที่ตำแหน่งถัดไป (y_2) ได้ ค่าระดับน้ำมีผลกระทบต่อค่าพารามิเตอร์ต่างๆ ดังแสดงในสมการที่ 2.19 – 2.22 ได้แก่ ค่า A และ P ซึ่งเป็นค่าที่ไม่คงที่ ขึ้นอยู่กับค่าระดับน้ำ ดังนั้นในการคำนวณค่า y_2 ต้องทำการ Trial ค่า y_2 จนกระทั่งสมการที่ 2.19 เป็นจริง มีขั้นตอนในการคำนวณดังต่อไปนี้

1. เมื่อทราบค่า z , y และ V ของลำน้ำตำแหน่งที่ 1 คำนวณพลังงานรวมเหนือห้องน้ำตำแหน่งที่ 1 และความลาดชันพลังงานตำแหน่งที่ 1

$$H_1 \mid z_1 2 y_1 2 \frac{V^2}{2g}$$

$$S_{f_1} \mid \left| \frac{\oplus n V_1}{\oplus R_1^{2/3}} \right|^2$$

2. สมมุติค่า y_2 คำนวณความลาดชันพลังงานจุดที่ 2 และความลาดชันพลังงานเฉลี่ยจากสมการที่ 2.21 แล้วคำนวณพลังงานรวมเหนือห้องน้ำตำแหน่งที่ 2

$$S_{f_2} \mid \left| \frac{\oplus n V_2}{\oplus R_2^{2/3}} \right|^2$$

$$H_2 \mid z_2 2 y_2 2 \frac{V^2}{2g} 2 h_L$$

4. ตรวจสอบค่า $H_1 \mid H_2$ ถ้าเป็นจริงแสดงว่าสมมุติค่าความลึกของทางน้ำ y_2 ได้ถูกต้อง

2.4 งานวิจัยที่เกี่ยวข้อง

Springer (1981) ได้ประเมินเสถียรภาพของคลังที่มีชั้นดินประกอบ Cohesive และ Sandy – silt ของ Ohio River เนื่องจากการลดลงของระดับน้ำอย่างรวดเร็ว (Rapid drawdown) ดินที่ทำการศึกษาเป็นชั้นที่อ่อนไหวต่อการเปลี่ยนแปลง Cohesion และ Unit weight ของดิน และยังก่อให้เกิด Tension crack เมื่อมีการเปลี่ยนแปลงความชื้นในชั้นดิน คลังที่ทำการศึกษาเกิดการพิบัติหลังระดับน้ำลดลงอย่างรวดเร็ว

Hagerty et al. (1983) ได้สังเกตพฤติกรรมการกัดเซาะของคลิงที่ประกอบไปด้วยดินทราย (Sandy riverbank) และคลิงที่ประกอบไปด้วยดินเหนียว (Clayey riverbank) ของ Ohio River พบว่าสถานที่ที่สำคัญเป็นอย่างมากต่อการกัดเซาะคือขนาดของเม็ดดิน โดยคลิงที่มีทรายเป็นองค์ประกอบจะอ่อนไหวต่อการกัดเซาะมาก การกัดเซาะเกิดขึ้นระหว่างที่ระดับน้ำสูง เนื่องจากฝนตกระหว่างฝนตกเกิดการไหลซึมของน้ำที่เป็นตัวละลายเม็ดดินขนาดเล็กออก (Seepage erosion) ซึ่งเป็นสาเหตุหนึ่งที่ทำให้คลิงพิบัติ

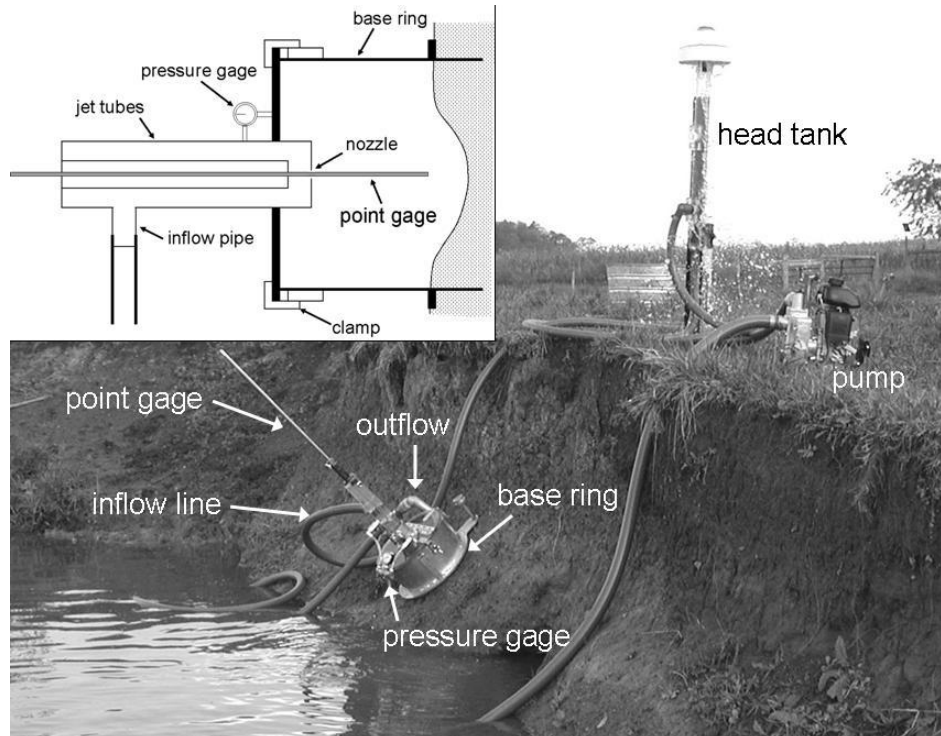
Rinaldi and Casagli (1999) ได้ทำการศึกษาผลกระทบของแรงดันน้ำด้านลับที่มีผลต่อเสถียรภาพของคลิงใน Sieve River, Italy คลิงทั้งหมดประกอบไปด้วย Gravel บริเวณส่วนล่างของคลิง, Silty อยู่บริเวณส่วนบนของคลิง ในสภาพปกติ แรงดันน้ำด้านลับเป็นตัวช่วยเพิ่มกำลังของดินในส่วนของดินที่ไม่อิ่มตัว ทำให้คลิงมีเสถียรภาพสูง ใส่ภาวะนี้คลิงจะมีความชันสูงกว่ามุมเสียดทานภายในของเม็ดดิน (Internal friction angle) หลังจากฝนตกทำให้น้ำเต็มคลิง แรงดันน้ำด้านลับนี้จะกลับกลายเป็นแรงดันน้ำด้านบาก แต่เสถียรภาพของคลิงยังสูงอยู่เนื่องจากมีผลของ Hydrostatic confining pressure ของน้ำในแม่น้ำ เสถียรภาพของคลิงในแม่น้ำลดลงเมื่อระดับน้ำลดลงหลังฝนตก ผลการศึกษาเป็นไปตามท่านองเดียวกันกับการศึกษาคลิงที่อื่นเช่น Clayey – silt riverbanks, Goodwin creek, USA (Simon et al. 2000), Steep cohesive riverbanks, Missouri riverbank, USA (Darby et al. 2000)

Hanson and Simon (2001) ได้ใช้ Submerged jet test ดังแสดงในรูปที่ 2.13 ทำการประเมินค่าความต้านทานหน่วยแรงเฉือนวิกฤตของดิน (ϑ_c) และสัมประสิทธิ์การกัดเซาะของดิน (k_d) ของคลิงใน Midwestern, USA ชั้นดินของคลิงเป็น Cohesive soil โดยมีปริมาณของ Silt ประมาณ 50 – 80 % ค่า ϑ_c อยู่ในช่วง 0 – 400 Pa และ k_d อยู่ในช่วง 0.001 – 3.75 cm³/N.s ผู้วิจัยได้ทำการรวบรวมข้อมูลพารามิเตอร์ทั้งสองของคลิงหลายแห่งที่ได้ทำการศึกษามาก่อนหน้านี้เช่น Goodwin creek, Missouri, USA มาทำการจำแนกประเภทดินทางด้านความต้านทานต่อการกัดเซาะ (Classification of erodibility) โดยแบ่งออกเป็น 5 กลุ่มดังแสดงในรูปที่ 2.14

Thoman and Niezgoda (2009) ได้ใช้ Submerged jet test ทำการประเมินค่า ϑ_c และ k_d ของคลิงใน Powder river basin ซึ่งเป็นคลิงประเภท Cohesive riverbank พร้อมทั้งหาความสัมพันธ์ของ ϑ_c กับคุณสมบัติต่างๆ ของดิน เช่น Activity of clay (A), Dispersion ratio (DR), Specific gravity (G_s), Potential of hydrogen ion (pH), Water content (w) จากการศึกษาพบว่าชั้นดินของคลิงเป็นดินประเภท Erodible – Moderately resistant clays ค่า ϑ_c อยู่ในช่วง 0.11 – 15.35

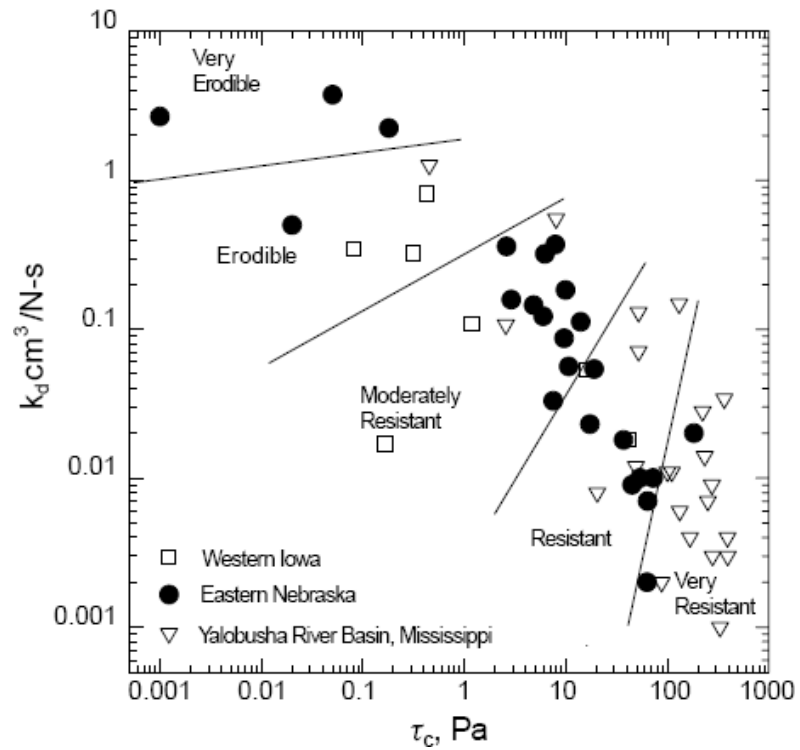
Pa และค่า k_d อยู่ในช่วง $0.27 - 2.38 \text{ cm}^3/\text{N.s}$ ได้ความสัมพันธ์ของ กับคุณสมบัติต่างๆ ดังแสดงในสมการที่ 2.23 โดยสมการนี้มีค่าความน่าเชื่อถือในรูป $R^2 = 0.72$

$$\vartheta_c = 77.28 + 2.20(\text{Act}) + 0.26(\text{DR}) - 13.49(\text{SG}) - 6.4(\text{pH}) + 0.12(w) \quad (2.23)$$



รูปที่ 2.13 Schematic of submerged jet apparatus (Hanson 1997)

Ramirez – Arila (2010) ได้ทำการประเมินการกัดเซาะตลิ่งใน Southeastern Plains Ecoregion ทำการติดตามการกัดเซาะของตลิ่ง โดยการติดตั้ง Erosion pins พร้อมห้องทดสอบดินเพื่อประเมินค่า ϑ_c และ k_d โดยใช้ Submerged jet test จากการศึกษาพบว่าตลิ่งถูกกัดเซาะประมาณ 1 – 560 mm ทั้งนี้เนื่องจากตลิ่งพินบติในช่วงฝนตก ค่า ϑ_c และ k_d มีค่าอยู่ในช่วงที่กว้างมากขึ้นอยู่กับดินแต่ละชนิดและแต่ละตำแหน่ง เมื่อพิจารณาค่า ϑ_c และ k_d กับระบบการกัดเซาะที่เกิดขึ้นแล้วพบว่ามีความสอดคล้องกัน



§11.2.14 Classification of Erodibility (Hanson and Simon 2001)

บทที่ 3

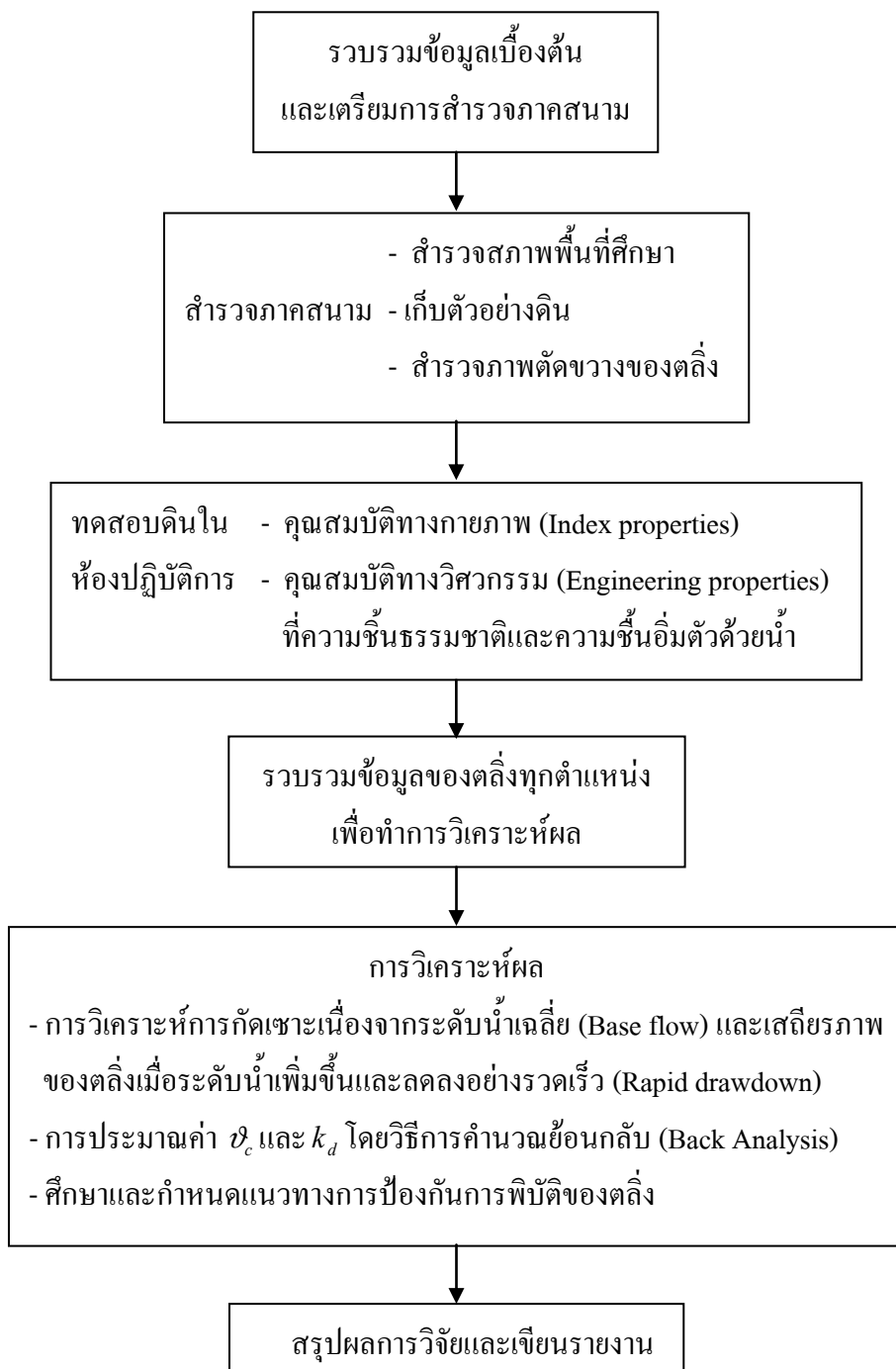
วิธีการดำเนินงานวิจัย

การดำเนินงานวิจัยครั้งนี้เริ่มต้นตั้งแต่การสำรวจแนวตั้งในพื้นที่ศึกษาเบื้องต้น การสำรวจร่องรอยของการพิบัติในอดีต รวบรวมข้อมูลของพื้นที่ศึกษา เช่น ระดับน้ำ อัตราการไหล ของน้ำ จากนั้น ได้ทำการเก็บตัวอย่างมาทดสอบในห้องปฏิบัติการ เพื่อทดสอบหาคุณสมบัติทางกายภาพ (Index properties) และคุณสมบัติทางวิศวกรรม (Engineering properties) ของดิน รวมไปถึงการตรวจสอบการพิบัติของคลิ่งและทำการสำรวจภาพตัดขวางของคลิ่งก่อนและหลังพิบัติ แล้วนำข้อมูลที่ได้ทั้งหมดมาทำการวิเคราะห์เสถียรภาพและการกัดเซาะของคลิ่ง ไปจนถึงการกำหนดแนวทางการป้องกันการพิบัติของคลิ่ง ซึ่งการดำเนินงานจะแบ่งเป็นขั้นตอนดังแสดงในภาพที่ 3.1

3.1 การสำรวจพื้นที่และภาพตัดขวางของคลิ่ง

3.1.1 การสำรวจพื้นที่

การออกสำรวจพื้นที่ศึกษาได้รับความอนุเคราะห์เรือเป็นพาหนะในการสำรวจจากสำนักชลประทานที่ 16 เนื่องจากพื้นที่ศึกษาอยู่ห่างจากประตูระบายน้ำอุ่ตະເກາเป็นระยะทางประมาณ 3 กิโลเมตรลงมาทางทิศใต้ ในการสำรวจพื้นที่ได้ทำการเลือกตำแหน่งของคลิ่งที่จะทำการศึกษา โดยพิจารณาจากร่องรอยการพิบัติในอดีต และคาดว่าจะเกิดการพิบัติอีกในอนาคต ค่าระดับน้ำรายวันในพื้นที่ศึกษาได้ข้อมูลจากประตูระบายน้ำอุ่ตະເກາและสถานีโทรมาตรบ้านบางคลา (X.90) ซึ่งสำนักชลประทานที่ 16 โดยมีข้อมูลรายวันจากปี 2549-2552



รูปที่ 3.1 Flow chart แสดงขั้นตอนการดำเนินงานวิจัย

3.1.2 การสำรวจภาพตัดขวางของคลื่ง

การสำรวจภาพตัดขวางของคลื่ง ในเบื้องต้นได้ทำการสำรวจโดยใช้กล้องประมวลผลรวม (Total station) ตั้งกล้องสำรวจบนตลิ่งแล้วนำเป้าปริซึมไปหยิ่งที่ตำแหน่งต่างๆ ในตลิ่งที่ต้องการวัดค่า ผลปรากฏว่ากล้องสำรวจสามารถค่าไม่ได้เนื่องจากเรือไม่ได้อยู่นิ่ง ดังนั้นได้ทำการเปลี่ยนวิธีเป็นการใช้เชือก โดยผูกเชือกกับต้นไม้ทั้งสองฝั่งของตลิ่ง ใช้ไม้สักตัวฟัวัดระดับน้ำจากห้องคลองถึงผิวน้ำทุกระยะ 3 – 5 เมตร ส่วนของตลิ่งที่อยู่เหนือน้ำได้ทำการวัดระยะและความลึกเทียบกับขอบนนของตลิ่งดังแสดงดังรูปที่ 3.2 ใน การสำรวจภาพตัดขวางของตลิ่ง ได้ทำการดำเนินการ 3 ครั้ง ซึ่งเป็นการสำรวจภาพตัดขวางของตลิ่งทั้งก่อนและหลังพิบัติที่เกิดขึ้น ตลิ่งก่อนเกิดการพิบัติจะเรียกว่า Initial profile และตลิ่งหลังเกิดการพิบัติจะเรียกว่า Measured eroded profile

ครั้งที่ 1 วันที่ 23 – 24 กันยายน 2552 (ตลิ่งก่อนเกิดการพิบัติ)

ครั้งที่ 2 วันที่ 12 – 13 พฤษภาคม 2552 (ตลิ่งหลังเกิดการพิบัติ)

ครั้งที่ 3 วันที่ 20 – 21 มกราคม 2553 (ตลิ่งหลังเกิดการพิบัติ)



รูปที่ 3.2 การวัดรูปตัดขวางของตลิ่งของส่วนที่อยู่เหนือน้ำระดับน้ำ

3.2 การเก็บตัวอย่างดินแบบแบ่งสภาพและการทดสอบคุณสมบัติทางกายภาพของดิน

การเก็บตัวอย่างดินแบบแบ่งสภาพ (Disturbed samples) เพื่อต้องการหาคุณสมบัติทางกายภาพของดิน และทราบการเปลี่ยนแปลงลักษณะของชั้นดินตามความลึกของคลังในการเก็บตัวอย่างดินแบบแบ่งสภาพได้ทำการเก็บทุกๆระดับความลึก 1 เมตร ไปจนถึงชั้นดินที่เปียกน้ำ เนื่องจากเก็บต่ำไม่ได้ ซึ่งการเก็บตัวอย่างจึงต้องทำในช่วงที่คลังมีระดับน้ำต่ำสุดเท่าที่จะเป็นไปได้ จากการสำรวจลิ่งในบางตำแหน่งเป็นคลังที่มีความสูงมาก จึงได้ทำการเก็บตัวอย่างหน้าคลังในส่วนของตัวอย่างดินที่ความลึก 4 – 5 เมตร เนื่องจากความสูงของคลังแต่ละตำแหน่งมีความสูงไม่เท่ากัน ดังนั้นจำนวนตัวอย่างในแต่ละตำแหน่งอาจจะไม่เท่ากัน จำนวนตัวอย่างดินของคลังแต่ละตำแหน่งที่เก็บได้มากสุดอยู่ที่ความลึกประมาณ 5 เมตร ได้จำนวนตัวอย่าง 5 ตัวอย่าง

เครื่องมือที่ใช้เก็บตัวอย่างดินแบบแบ่งสภาพคือ Hand auger ดังแสดงในรูปที่ 3.3 ในการเก็บตัวอย่างจะทำการเจาะดินด้วย Hand auger ไปจนถึงระดับที่ต้องการเก็บ จากนั้นทำการเก็บตัวอย่างแล้วบรรจุใส่ถุงพร้อมทั้งระบุตำแหน่งของคลังและความลึกที่ทำการเก็บดังแสดงในรูปที่ 3.4 ตัวอย่างดินแบบแบ่งสภาพ (รูปที่ 3.5) ทั้งหมดจะนำมาทดสอบหาคุณสมบัติทางกายภาพของดินในห้องปฏิบัติการ ซึ่งมีรายละเอียดดังแสดงในตารางที่ 3.1

ตารางที่ 3.1 ชนิดและมาตรฐานการทดสอบคุณสมบัติทางกายภาพของดิน

ชนิดของการทดสอบ	มาตรฐาน ASTM
การทดสอบหาปริมาณความชื้นในมวลดิน (Water content, w)	ASTM D 2216
การทดสอบหาค่าพิกัดเหลว (Liquid limit, LL) และค่าพิกัดพลาสติก (Plastic limit, PL)	ASTM D 4318
การทดสอบหาค่าความถ่วงจำเพาะของดิน (Specific gravity, G_s)	ASTM D 854-02
การวิเคราะห์หาน้ำดเม็ดดินด้วยตะแกรง (Sieve analysis)	ASTM D 421
การวิเคราะห์หาน้ำดเม็ดดินด้วยไฮดรอมิเตอร์ (Hydrometer analysis)	ASTM D 422 – 63
การจำแนกดินแบบ USCS (Unified soil classification system)	ASTM D 2487



รูปที่ 3.3 Hand auger



รูปที่ 3.4 การเก็บตัวอย่างดินโดยใช้ Hand auger



รูปที่ 3.5 ตัวอย่างดินแบบแบล็คสเปร์บ

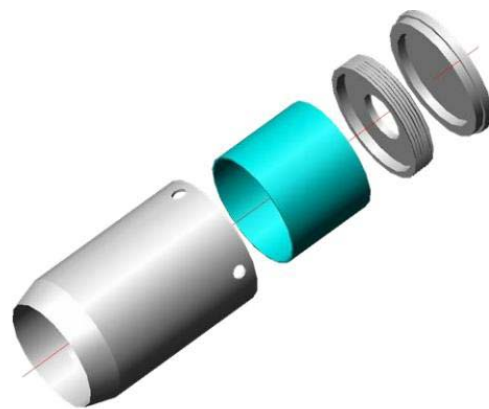
3.3 การเก็บตัวอย่างดินแบบคงสภาพและการทดสอบคุณสมบัติทางวิศวกรรมของดิน

สำหรับการทดสอบคุณสมบัติทางวิศวกรรมของดิน จำเป็นต้องเก็บตัวอย่างดินในพื้นที่ศึกษาเพื่อนำมาทดสอบในห้องปฏิบัติการ ซึ่งในการเก็บตัวอย่างดินที่จะนำมาทดสอบนั้น จะต้องเป็นตัวอย่างดินแบบคงสภาพ เพื่อให้ได้ค่าคุณสมบัติทางวิศวกรรมของดินถูกต้อง และจะเป็นตัวแทนของดินในพื้นที่ศึกษาต่อไป

3.3.1 การเก็บตัวอย่างดินแบบคงสภาพ

จากการศึกษาการเก็บตัวอย่างดินแบบคงสภาพของผู้วิจัยหลายท่าน ประกอบกับการสำรวจพื้นที่ศึกษาในการศึกษาครั้งนี้ จึงได้ทำการสร้างเครื่องมือที่มีลักษณะคล้ายกับการเก็บตัวอย่างด้วยกระบอกบาง (Thin wall tube) ที่เรียกว่า KU – Miniature Sampler (วรากรและคณะ, 2548) ของมหาวิทยาลัยเกษตรศาสตร์ ดังแสดงในรูปที่ 3.6 หลักการของเครื่องมือดังกล่าวคือ การใช้เหล็กทรงกระบอกแบบบางพอที่จะไม่ทำให้ดินสูญเสียสภาพและอยู่ในเกณฑ์ที่ยอมรับได้และมีความทนทานพอที่จะรับแรงกระแทกลงไปตัดดินท่ออยู่รอบๆ ให้ขาดได้ ในการเก็บตัวอย่างดินของดิน โดยขนาดของกระบอกสำหรับเก็บตัวอย่างต้องมีเส้นผ่านศูนย์กลางภายในพอดีกับขนาดเส้นผ่านศูนย์กลางของกล่องเมื่อแนบวงกลม (Circular shear box) ทั้งนี้เพื่อลดปัญหาตัวอย่างดินแตกในขณะแต่งตัวอย่างดินให้ได้ขนาด และในการเก็บ การบนส่งตัวอย่างนั้นมักจะมีปัญหาทำให้ตัวอย่างดินเสียรูปได้อีกเช่นกัน จึงต้องใช้กระบอก PVC ที่มีขนาดบางและสามารถบรรจุอยู่ในกระบอกเหล็กที่ตอกลงในดินได้ โดยจะต้องตอกกระบอกเหล็กลงไปในดินนั้นดินจะผ่านปลายกระบอกเหล็กและผ่านเข้าไปอยู่ในกระบอก PVC และสามารถดันกระบอก PVC ที่มีตัวอย่างดินอยู่ออกทางปลายอีกด้าน ในการเก็บตัวอย่างดินริมคลองอู่ตะเภาได้ทำการสร้างอุปกรณ์เสริมเพื่อที่จะนำมาเชื่อมต่อกับกระบอกเก็บตัวอย่างดิน ดังแสดงไว้ในรูปที่ 3.7 ซึ่งปลายอีกข้างหนึ่งที่เป็นเกลียวจะต่อ กับชุดท่อเหล็กที่มีแท่นสำหรับไว้ตอกลูกศุम

สำหรับการเก็บตัวอย่างดิน (รูปที่ 3.8) ในขั้นตอนแรกต้องทำการเจาะดินด้วย Hand auger ไปจนถึงระดับที่ต้องการเก็บตัวอย่างแบบคงสภาพ จากนั้นทำการต่อชุดเก็บตัวอย่างกับท่อเหล็กดังกล่าว และหยั่งลงไปในรูที่ได้ทำการเจาะไว้ ทำการตอกลูกศุમจนตัวอย่างดินเต็มกระบอกเหล็ก แล้วทำการบิดท่อเหล็กจนดินตัวอย่างขาดออกจากดินเดิม นำตัวอย่างดินออกจากปลายกระบอกเหล็กในส่วนท้าย แล้วห่อด้วยพลาสติกกันความชื้นและใส่ในถุงอีกชั้นเพื่อสะดวกในการเก็บรักษาและขนส่ง



รูปที่ 3.6 ระบบอุกเก็บตัวอย่าง KU – Miniature Sampler (วารากรและคณะ 2546, 2548)



รูปที่ 3.7 ชุดเก็บตัวอย่างดินที่ดัดแปลงมาใช้สำหรับการเก็บตัวอย่างดินบริเวณคลองอู่ตะเภา

3.3.2 การทดสอบคุณสมบัติทางวิศวกรรมของดิน

การทดสอบคุณสมบัติทางวิศวกรรมของดินเพื่อหาค่ากำลังเฉือนของดิน (Shear strength parameter) ของดินในสภาพต่างๆ เช่น ดินในสภาพความชื้นธรรมชาติและดินในสภาพความชื้นสูงสุดซึ่งเรียกว่า ดินอิ่มตัวด้วยน้ำ ในการทดสอบใช้วิธีการเฉือนโดยตรง (Direct shear test) โดยกล่องเฉือน (Shear box) ต้องมีขนาดเท่ากับตัวอย่างดินที่เก็บมา คือทรงกลมขนาดเส้นผ่านศูนย์กลาง 6.35 เซนติเมตร เนื่องจากการทดสอบนี้จะใช้ตัวอย่างดินอย่างน้อย 3 ตัวอย่าง เพื่อหาความสัมพันธ์ในรูปแบบ Mohr - Coulomb จึงจะได้ Shear strength parameter ของดิน ด้วยข้อจำกัดของวิธีการเก็บตัวอย่างดินทำให้ได้ตัวอย่างดินน้อย ดังนั้นจึงใช้การทดสอบแบบ Multi-stage direct shear test.



(a) ขณะหย่อนระบบบอกรเก็บตัวอย่างดิน



(b) ขณะตอกกลูกตุ้มเพื่อเก็บตัวอย่าง



(c) ตัวอย่างดินที่เก็บได้



(d) เก็บตัวอย่างดินด้วยพลาสติกกันความชื้น



(e) หลุมที่เกิดจากการเก็บตัวอย่างดิน



(f) ตัวอย่างดินที่บรรจุพร้อมขนย้าย

รูปที่ 3.8 การเก็บตัวอย่างดินแบบคงสภาพ

การทดสอบโดยวิธีนี้เหมาะสมกับตัวอย่างที่มีความแปรปรวนสูงซึ่งวิธีนี้ให้ค่า Shear strength parameter ที่น่าเชื่อถือกว่าในการณ์การทดสอบแบบปกติธรรมชาติ มีชื่อเรียกว่า Multi-stage direct shear test (วารสารและคณะ 2546, 2548) ซึ่งภาพการดำเนินการทดสอบได้แสดงไว้ในรูปที่ 3.9

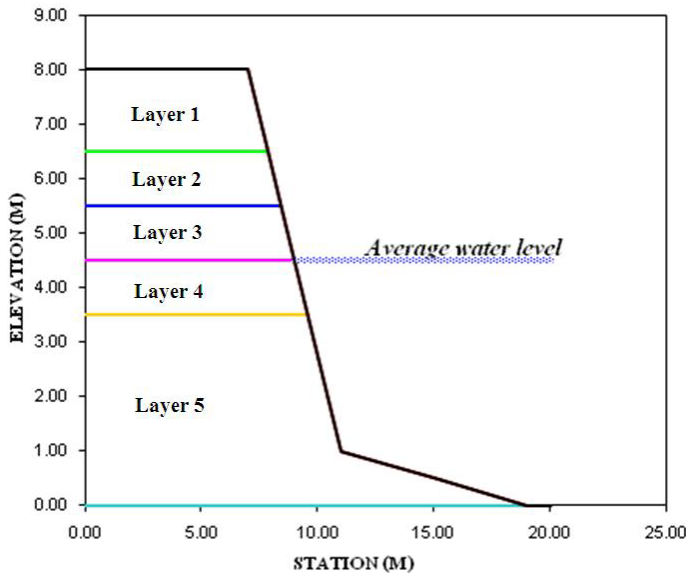
วิธีการทดสอบนี้ใช้ตัวอย่างดินเพียงตัวอย่างเดียว ทดสอบโดยเนื่องตัวอย่างจนเกือบถึงจุดวิกติของในแต่ละ Normal Load อย่างน้อย 3 - 4 Normal Load ใช้อัตราการเฉือนประมาณ 0.05 mm/min ก่อนการเฉือนตัวอย่าง ทำการ Consolidate ใน Normal load แรกประมาณ 1 วัน แล้วเนื่องตัวอย่างจนถึงจุดที่เกือบวิกติโดยสังเกตจากหน่วยแรงเฉือนที่คงที่ ก่อนทำการเฉือนตัวอย่างใน Normal load ต่อไปต้องทำการ Consolidate ตัวอย่างให้ทรุดตัวหมดแล้วทำการเฉือนต่อไป ทำซ้ำจนครบ 3 Normal load ก็จะได้ข้อมูลเพียงพอในการวิเคราะห์หาค่า Shear strength parameter ในตัวอย่างเดียว โดยใช้เวลาการทดสอบประมาณ 2 วันในการณ์เป็นตัวอย่างดินที่ความชื้นธรรมชาติและใช้เวลาประมาณ 3 วันในการณ์เป็นดินตัวอย่างที่อิ่มตัว รวมการทดสอบ Direct shear test ทั้งสิ้น 48 ตัวอย่าง

3.4 การจำลองการพิบัติของคลื่ง (Bank Failure Simulation)

การวิเคราะห์การพิบัติของคลื่งทำให้ทราบกระบวนการของการพิบัติและปัจจัยที่มีผลต่อเสถียรภาพของคลื่ง ซึ่งจะแตกต่างกับการพิบัติของลักษณะดินทั่วไป ในธรรมชาติของคลื่งจะมีการเปลี่ยนแปลงลักษณะทางกายภาพเนื่องจากการกัดเซาะเมื่อมีการไหลของน้ำ รวมไปถึงระดับน้ำที่เพิ่มขึ้นและลดลงทันทีทันใด (Rapid drawdown) ดังนั้นในการวิจัยนี้ได้ทำการวิเคราะห์การกัดเซาะของคลื่งในกรณีระดับน้ำเฉลี่ย (Base flow) และเสถียรภาพของคลื่งในกรณีที่ระดับน้ำเพิ่มขึ้น และลดลงอย่างรวดเร็วของคลื่ง Section 1 เพื่อเป็นแนวทางในการวิเคราะห์ผลกระทบด้านอื่นต่อไป การวิเคราะห์ผลทั้งสองรูปแบบใช้ข้อมูลภาพตัดขวางของคลื่งในปี พ.ศ 2549 ดังแสดงในรูปที่ 3.10 โดยได้ความอนุเคราะห์จากสำนักชลประทานที่ 16 และใช้คุณสมบัติทางวิศวกรรมของดินจากการทดสอบในห้องปฏิบัติการ



รูปที่ 3.9 การทดสอบการเนื้อนโดยตรง



รูปที่ 3.10 ภาพตัดขวางของคลิง Section 1 ในปี พ.ศ 2549

3.4.1 การวิเคราะห์การกัดเซาะของคลิงในการณีระดับน้ำเฉลี่ย

การวิเคราะห์การกัดเซาะของคลิงในการณีระดับน้ำเฉลี่ยของคลิง Section 1 พิจารณา การไหลของน้ำในปี พ.ศ 2549 คลิงมีระดับน้ำเฉลี่ยประมาณ 4.5 เมตร (2.9 ม.รทก) ก่อให้เกิดหน่วง แรงเฉือนเนื่องจากการไหลของน้ำซึ่งคำนวณได้โดยใช้สมการที่ 2.5 โดยใช้ค่าความลาดชันของท้อง น้ำ (S_0) คลองอู่ตะเภา 1:10,000 การกัดเซาะของคลิงสามารถคำนวณได้ตามสมการที่ 2.4 ซึ่ง โปรแกรม BSTEM 5.2 (รายละเอียดโปรแกรมดังภาคผนวก ข) ถูกใช้ในการคำนวณสมการที่ 2.4 และ 2.5 ดังกล่าว

ในการวิเคราะห์ค่าความต้านทานหน่วยแรงเฉือนวิกฤตของдин (χ_c) และสัมประสิทธิ์การกัดเซาะ (k_d) ใช้สมการที่ 2.6 ถึง 2.9 และ 2.12 การวิเคราะห์การกัดเซาะทำได้โดยการ จำลองการไหลของน้ำเป็นระยะเวลา 1 วัน, 1 สัปดาห์, 2 สัปดาห์, 1 เดือน, 2 เดือน, 3 เดือน, 4 เดือน, 5 เดือน และ 6 เดือน ตามลำดับ เพื่อทำการตรวจสอบค่าอัตราส่วนความปลดปล่อยของคลิงที่ถูกกัด เซาะในระยะเวลาต่างๆที่กำหนด

3.4.2 เสถียรภาพของคลิงในการณีระดับน้ำเพิ่มขึ้น-ลดลงทันทีทันใด

การวิเคราะห์เสถียรภาพของคลิงในการณี พิจารณาเฉพาะการเพิ่มขึ้น-ลดลงของ ระดับน้ำเท่านั้น ไม่พิจารณาการกัดเซาะเนื่องจากการไหลของน้ำจะที่ระดับน้ำเพิ่มขึ้น-ลดลง เนื่องจากไม่ทราบค่าความต้านทานหน่วยแรงเฉือนวิกฤตของдинที่แน่นอน การวิเคราะห์โดยทำการ

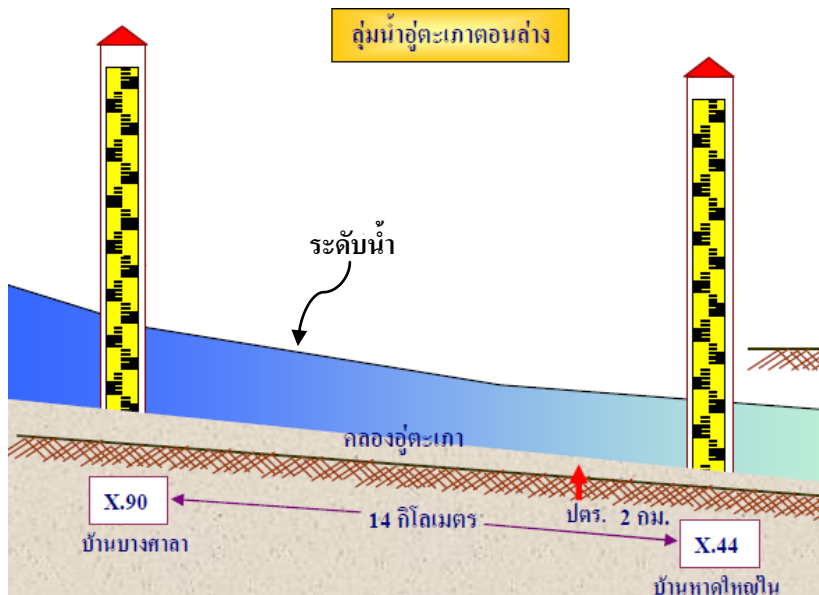
เพิ่มระดับน้ำจากระดับน้ำเฉลี่ยครั้งละ 0.5 เมตร ไปจนถึงระดับเต็มคลิง (Bankfull elevation) และทำการลดระดับน้ำครั้งละ 0.5 เมตร ไปจนถึงค่าระดับเฉลี่ยอีกครั้ง เพื่อทำการตรวจสอบค่าอัตราส่วนความปลดออกภัยของคลิง ในแต่ละกรณี โดยขณะที่มีการเพิ่มของระดับน้ำนั้น ค่ากำลังรับแรงเนื่องของดินในรูปของ Cohesion และ Internal friction angle มีค่าลดลงเนื่องจากมีการเพิ่มความชื้นจากความชื้นธรรมชาติเป็นความชื้นที่ดินอิ่มตัว และค่าหน่วยน้ำหนักของดินก็เพิ่มขึ้นอย่างสอดคล้องกัน จากปัจจัยทั้งสองอย่างที่เปลี่ยนไปดังกล่าว ทำให้เสถียรภาพของคลิง (ในรูปของ FS) ลดลงโดยเฉพาะอย่างยิ่งในกรณี Rapid Drawdown ซึ่งเป็นกรณีที่วิกฤตที่สุดเนื่องจากแรงภายนอกเนื่องจากระดับน้ำ (F_w) ที่เป็น Resisting Forces ลดลงด้วย

3.5 การวิเคราะห์ค่าระดับน้ำโดยวิธี Backwater analysis

ในการวิเคราะห์ Toe erosion จำเป็นต้องทราบค่าระดับน้ำในคลิงที่ทำการศึกษาอย่างไรก็ตาม เนื่องจากระดับน้ำในคลิงที่ศึกษาไม่สามารถวัดได้ ดังนั้นจึงใช้ข้อมูลระดับน้ำจากสถานีวัดระดับน้ำของกรมชลประทาน 2 สถานี มาคำนวณค่าระดับน้ำที่เกิดขึ้นจริงในคลิงที่ทำการศึกษา วิธีการคำนวณระดับน้ำนี้เรียกว่า Backwater analysis

การวิเคราะห์ค่าระดับน้ำโดยวิธี Backwater analysis ทำได้เมื่อทราบค่าระดับน้ำที่ปลายน้ำ 1 ตำแหน่ง แล้วคำนวณค่าระดับน้ำที่ตำแหน่งอื่นๆ กลับไปจนถึงต้นน้ำโดยใช้กฎของพลังงาน (สมการที่ 2.19) การแก้สมการต้องทำการคุณสมบัติ 2.19 โดยการ Trial ค่าระดับน้ำที่ต้องการทราบให้ได้ค่าพลังงานรวมของสมการทั้งสองข้างที่เท่ากัน (เมื่อ n คงที่) พื้นที่ศึกษาในการทำวิจัยครั้งนี้อยู่ระหว่างสถานีโทรมาตรบ้านบางศาลา (ต้นน้ำ) และประตูระบายน้ำอุตสาหกรรม (ปลายน้ำ) ดังแสดงในรูปที่ 3.11 ทำให้ทราบค่าระดับน้ำที่เวลาและอัตราการไหลต่างๆ ทั้งต้นน้ำและปลายน้ำ

เนื่องจากไม่ทราบค่า n ของคลองอุตสาหกรรม ดังนั้นการคำนวณค่าระดับน้ำจะคำนวณจากพื้นที่ศึกษาตำแหน่งที่ 1 (Section 1) ข้างอิงกับประตูระบายน้ำอุตสาหกรรม แล้วคำนวณໄหลไปจนถึงสถานีโทรมาตรบ้านบางศาลา โดยการ Trial ค่า n และค่าระดับน้ำของคลิงแต่ละตำแหน่ง จนได้ค่าระดับน้ำที่สถานีโทรมาตรบ้านบางศาลาเท่ากับที่เกิดขึ้นจริง ในการคำนวณจะใช้โปรแกรม Excel เป็นตัวช่วยในการคำนวณให้เร็วขึ้น จากการวิเคราะห์จะได้ค่าระดับน้ำและค่าความลาดชันพลังงาน (S_f) ที่ระยะเวลาและอัตราการไหลต่างๆ ตามที่เกิดขึ้นจริง



รูปที่ 3.11 ตำแหน่งของสถานีวัดระดับน้ำในพื้นที่ศึกษา

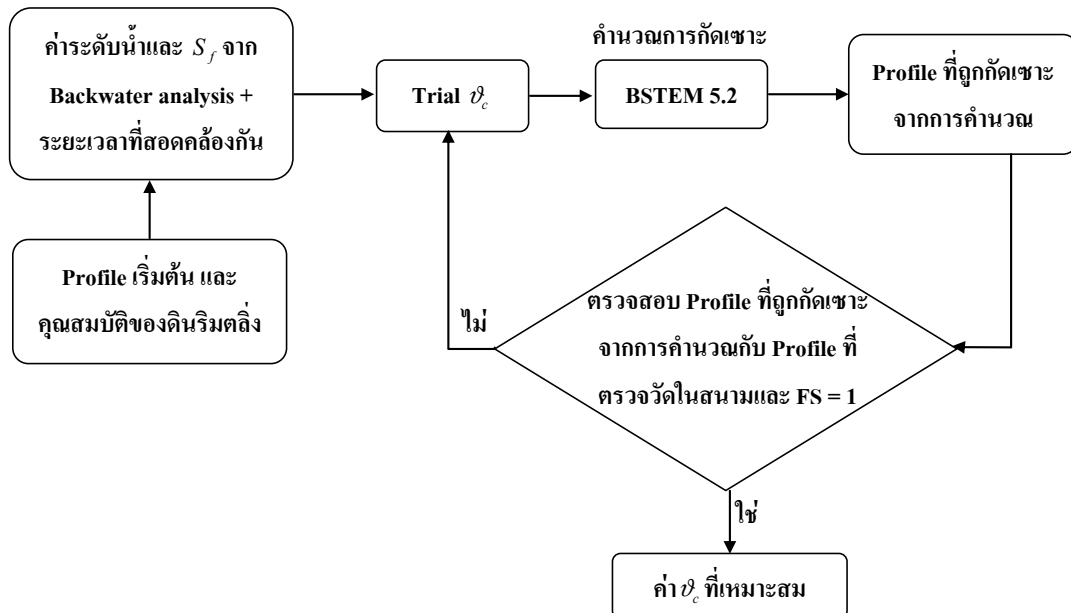
3.6 การประมาณค่าความต้านทานหน่วยแรงเฉือนวิกฤต (Critical shear stress) ของดิน โดย Back – Analysis Method

ค่าหน่วยแรงเฉือนวิกฤตของดิน (ϑ_c) เป็นพารามิเตอร์ที่สำคัญต่อการวิเคราะห์เสถียรภาพของตลิ่งที่มีการกัดเซาะ บ่งบอกถึงหน่วยแรงที่ยอมให้ของดินเมื่อมีน้ำหน่วยแรงเนื่องจากการไหลของน้ำ (Average boundary shear stress, ϑ_o) ทำการทำซึ่งคืนแต่ละชนิดจะมีค่า ϑ_c ที่แตกต่างกันขึ้นอยู่กับองค์ประกอบของดิน หมายเหตุว่า ϑ_c สำหรับดินที่มีแรงยึดเหนี่ยว (Cohesive soil) และดินที่ไม่มีแรงยึดเหนี่ยว (Cohesionless soil)

Cohesive soil มีองค์ประกอบที่เกี่ยวข้องกับค่า ϑ_c เช่น Plasticity index (PI), Percent clay (%Clay), Percent silt (%Silt), Dispersion ratio (D_s) ในส่วนของ Cohesionless soil มีองค์ประกอบที่เกี่ยวข้องกับค่า ϑ_c เช่น Mean diameter (D_{50}), Specific gravity (G_s), Unit weight (γ)

ในการวิจัยครั้งนี้ได้ทำการประมาณค่า ϑ_c โดยวิธี Back analysis อาศัยข้อมูลการพิบัติของตลิ่งจากการพิบัติจริงหลังฝนตกเดือนพฤษภาคม 2552 ที่ผ่านมา โดยทำการลองผิดลองถูก (Trial and error) ค่า ϑ_c จากสมการที่ 2.4 ให้ได้ค่าระยะการกัดเซาะตามที่เกิดขึ้นจริงในสนาม

และตลิ่งมีอัตราส่วนความปลอดภัย (FS) เท่ากับ 1 มีขั้นตอนในการประมาณค่าดังแสดงในรูปที่ 3.12 โดยมีรายละเอียดดังต่อไปนี้ (ตัวอย่างการประมาณค่า ϑ_c ดังแสดงในภาคผนวก ค)

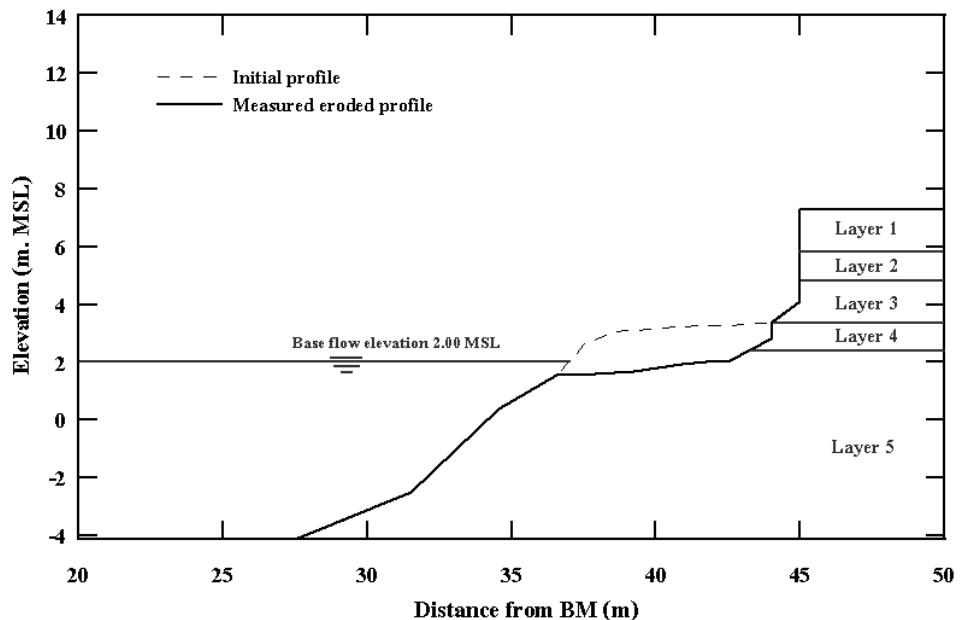


รูปที่ 3.12 ขั้นตอนการประเมินค่า ϑ_c และ k_d โดยวิธี Back-analysis

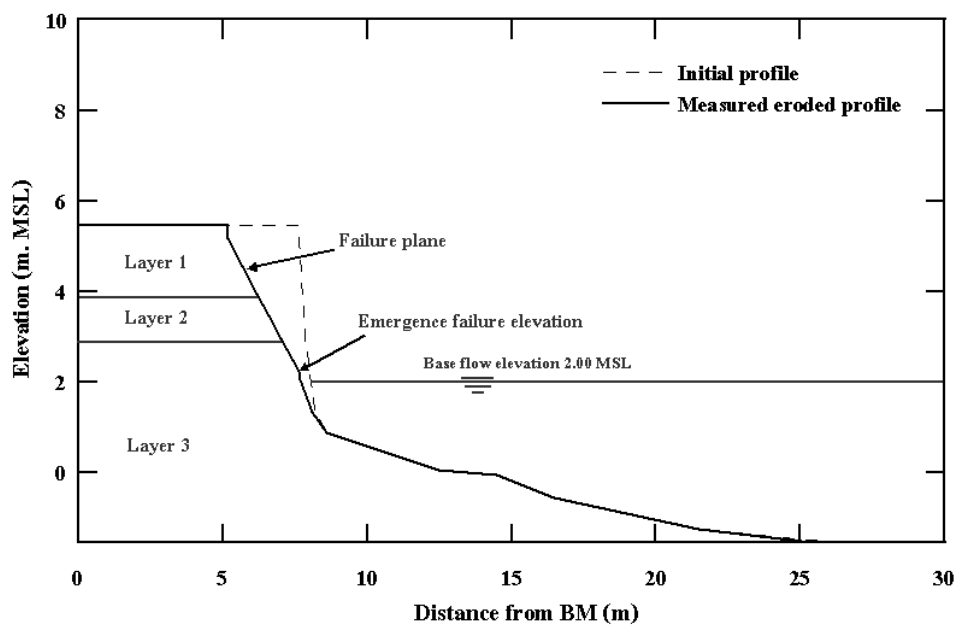
1. คำนวณค่า ϑ_c เริ่มต้นจากสมการที่ 2.7 และ 2.8 สำหรับ Cohesive soil และ Cohesionless soil ตามลำดับ โดยที่ค่า k_d คำนวณจากสมการที่ 2.12
2. คำนวณระบบการกัดเซาะจากภาพตัดขวางเริ่มต้น (Initial profile) ของตลิ่งดังสมการที่ 2.4 โดยใช้ข้อมูลที่ได้มาจากการ Backwater analysis คำนวณค่า ϑ_c โดยที่ระยะเวลาที่ใช้ในสมการที่ 2.4 สอดคล้องกับผลของการ Backwater analysis คำนวณการกัดเซาะดังกล่าวคำนวณโดยใช้โปรแกรม BSTEM 5.2 ซึ่งจะแสดงผลในรูปแบบภาพตัดของตลิ่งหลังการกัดเซาะ (Eroded profile)
3. ตรวจสอบภาพตัดของตลิ่งหลังการกัดเซาะที่คำนวณกับภาพตัดของตลิ่งหลังการกัดเซาะที่ตรวจวัดในสนาม (Measured eroded profile) ดังแสดงในรูปที่ 3.13 โดยอ้างอิงจากจุดที่เริ่มปรากฏการพิบัติ (Emergence failure elevation) พร้อมทั้งคำนวณอัตราส่วนความปลอดภัย (FS) ของตลิ่ง เป็นหลักเกณฑ์ในการพิจารณา
4. การพิจารณาความถูกต้องของค่า ϑ_c และ k_d เป็นไปตามหลักเกณฑ์ดังต่อไปนี้

- ถ้าการคำนวณเป็นไปตามเงื่อนไขทั้งสองดังกล่าว ค่า ϑ_c และ k_d จะเป็นค่าที่เหมาะสม

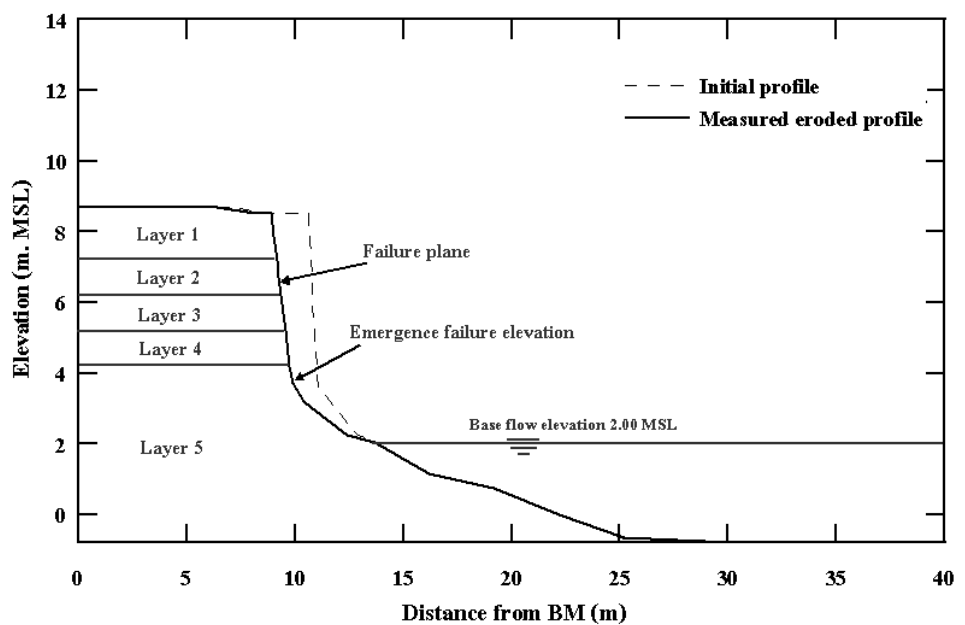
- ถ้าการคำนวณไม่เป็นไปตามเงื่อนไขทั้งสองดังกล่าว ทำการ Trial ค่า ϑ_c และทำการขั้นตอนที่ 2 ถึง 4 จนกระทั่งเป็นไปตามเงื่อน



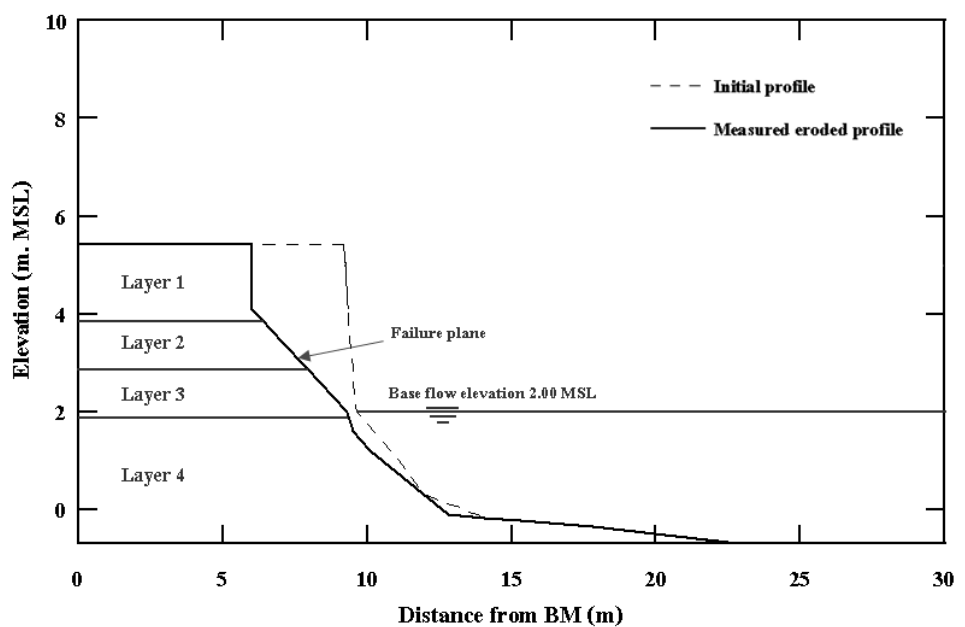
a) ภาพตัดขวางก่อนและหลังการกัดเซาะของคลื่น Section 1



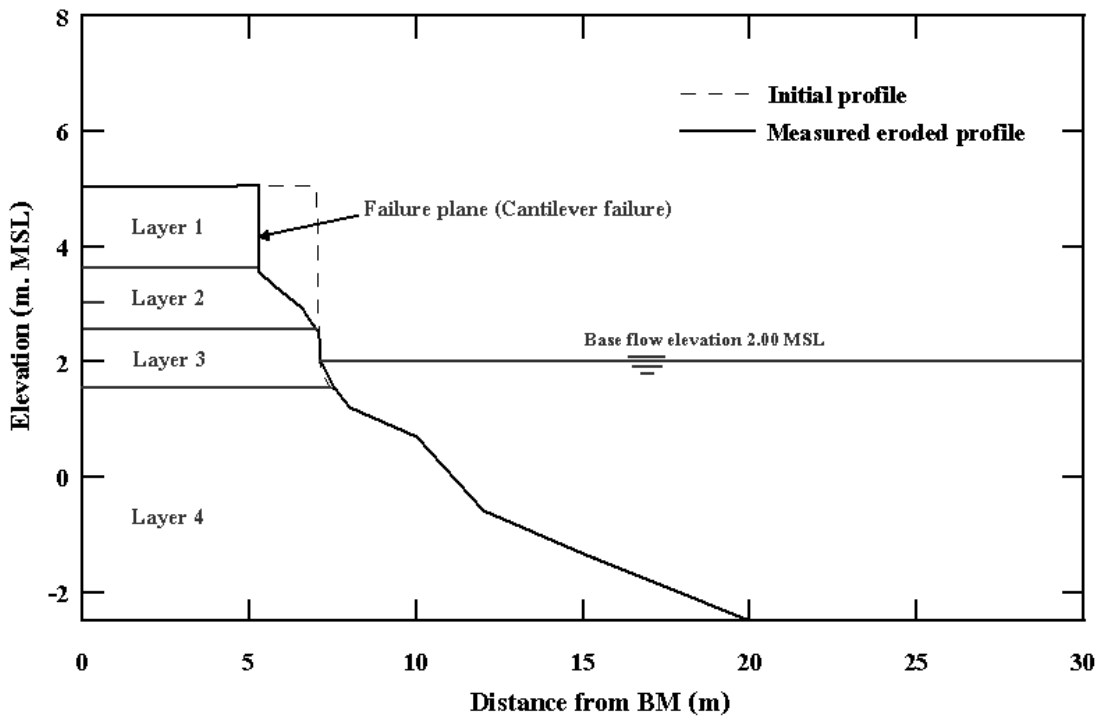
b) ภาพตัดขวางก่อนและหลังพิบัติของคลื่น Section 2



c) ภาพตัดขวางก่อนและหลังพิบัติของตลิ่ง Section 3



d) ภาพตัดขวางก่อนและหลังพิบัติของตลิ่ง Section 4



e) ภาพตัดขวางก่อนและหลังพิบัติของตลิ่ง Section 5

รูปที่ 3.13 ภาพตัดขวางก่อนและหลังพิบัติของตลิ่งเพื่อใช้ในการประมาณค่า ห์ โดยวิธี Back analysis, a) Section 1, b) Section 2, c) Section 3, d) Section 4, e) Section 5, ตามลำดับ

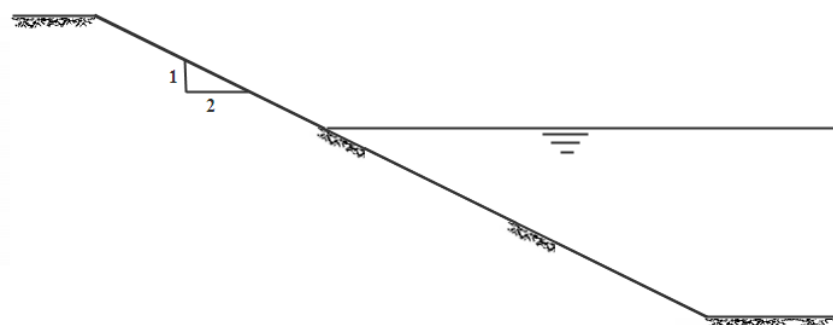
3.6 การกำหนดแนวทางการป้องกันตลิ่ง

วิธีการป้องกันตลิ่งยึดตามแนวทางของสำนักชลประทานที่ 16 ประกอบด้วย 3 วิธี คือ 1. การปรับความลาด 2. การปรับความลาด + การเรียงหินหน้าความลาด (Riprap) และ 3. คาดคอนกรีต ดังแสดงในรูปที่ 3.14 แต่ละวิธีมีราคาค่าก่อสร้างแตกต่างกัน (น้อย – มากตามลำดับ) ซึ่งในการเลือกใช้ต้องพิจารณาองค์ประกอบที่สำคัญหลายประการ เช่น ชนิดของดินริมตลิ่ง ราคาค่า ก่อสร้าง เป็นต้น ตำแหน่งของตลิ่งที่ทำการศึกษาอยู่บริเวณนอกตัวเมืองหาดใหญ่ เพราะจะน้ำท่วมที่ 1 และ 2 มีความเป็นไปได้สูงในการก่อสร้างจริงมากกว่าวิธีที่ 3 เนื่องจากค่าใช้จ่ายในการเวนคืน ที่ดินถูกกว่าในตัวเมืองหาดใหญ่ อีกทั้งวิธีที่ 3 มีค่าใช้จ่ายในการก่อสร้างแพงกว่าวิธีที่ 1 และ 2 เป็นอย่างมาก

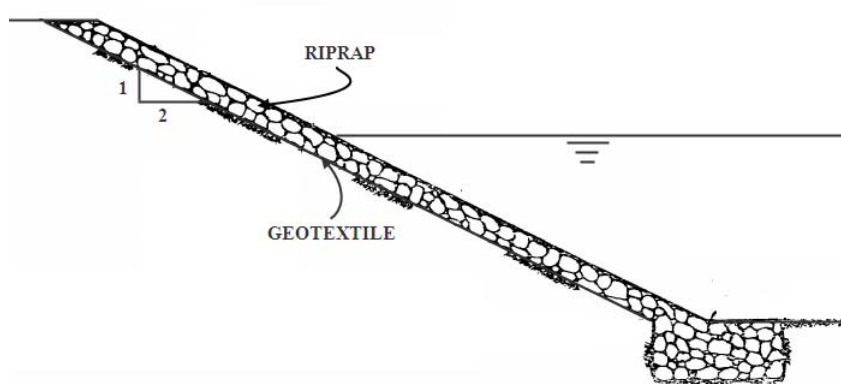
การพิจารณาความเหมาะสมของวิธีการป้องกันตลิ่งในพื้นที่ศึกษา ได้ทำการ วิเคราะห์อัตราส่วนความปลอดภัย (Factor of safety, FS) ของตลิ่งเมื่อทำการปรับความลาด (2H : 1

V) จำลองให้มีการไหลของน้ำผ่านตลิ่งที่ทำการปรับความลาดตลอด 1 ปี โดยใช้ค่าระดับน้ำเฉลี่ย และอัตราการไหลของน้ำในช่วงฤดูแล้งจากข้อมูลในช่วง 5 ปีที่ผ่านมา ช่วงฤดูฝน (ระดับน้ำเพิ่มสูงขึ้นมาก) ใช้ค่าระดับน้ำจากเดือนพฤษจิกายน 2552 ที่ผ่านมาเนื่องจากเป็นปีที่มีระดับน้ำสูงสุด ในช่วงหลายปีที่ผ่านมา พิจารณาค่าอัตราส่วนความปลอดภัยของตลิ่งที่เปลี่ยนแปลงไปเป็นระยะ 1 ปี โดยมีหลักเกณฑ์ในการพิจารณาดังนี้

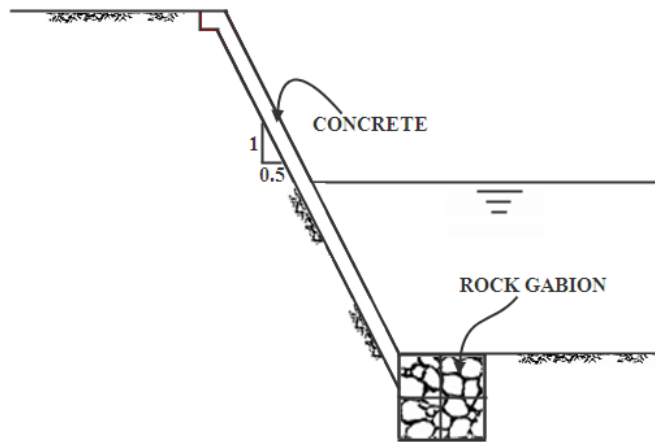
1. ถ้าตลิ่งมีอัตราส่วนความปลอดภัยมากกว่า 1 ($FS > 1$) ให้เลือกใช้วิธีการปรับความลาดเป็นแนวทางในการป้องกันตลิ่ง
2. ถ้าตลิ่งมีอัตราส่วนความปลอดภัยน้อยกว่า 1 ($FS < 1$) ให้เลือกใช้วิธีการเรียงหินหน้าความลาดเป็นแนวทางในการป้องกันตลิ่ง



a) การปรับปรุงเสถียรภาพของตลิ่ง โดยวิธีการปรับความลาด



b) การปรับปรุงเสถียรภาพของตลิ่ง โดยวิธีการปรับความลาด + การเรียงหินหน้าตลิ่ง



c) การปรับปรุงเสถียรภาพของคลื่นโดยวิธีคาดคอนกรีต

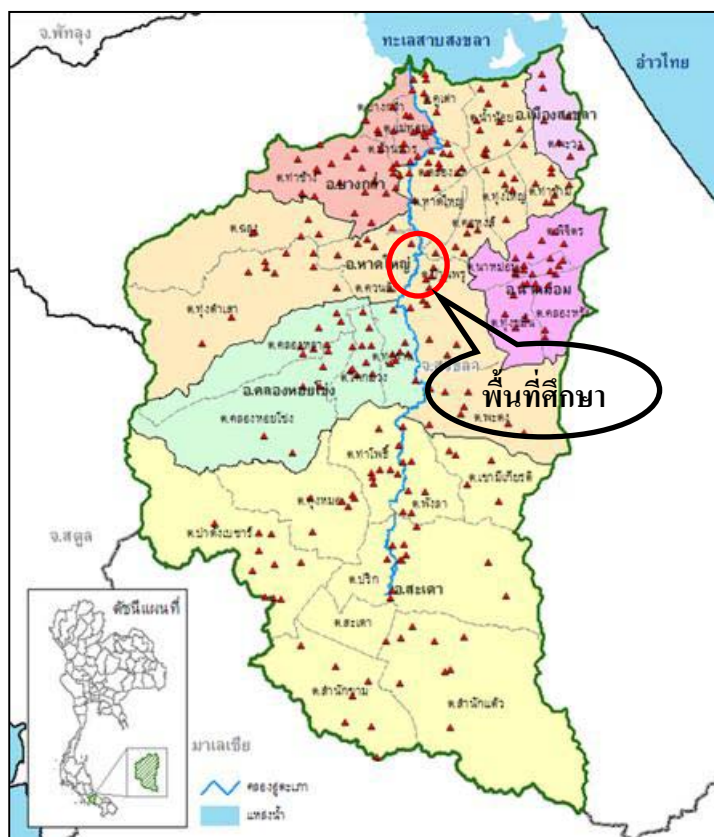
รูปที่ 3.14 การปรับปรุงคลื่นเพื่อเพิ่มเสถียรภาพ a) การปรับปรุงเสถียรภาพของคลื่นโดยวิธีการปรับความลาด b) การปรับปรุงเสถียรภาพของคลื่นโดยวิธีการเรียงหินหน้าคลื่น c) การปรับปรุงเสถียรภาพของคลื่นโดยวิธีคาดคอนกรีต

บทที่ 4

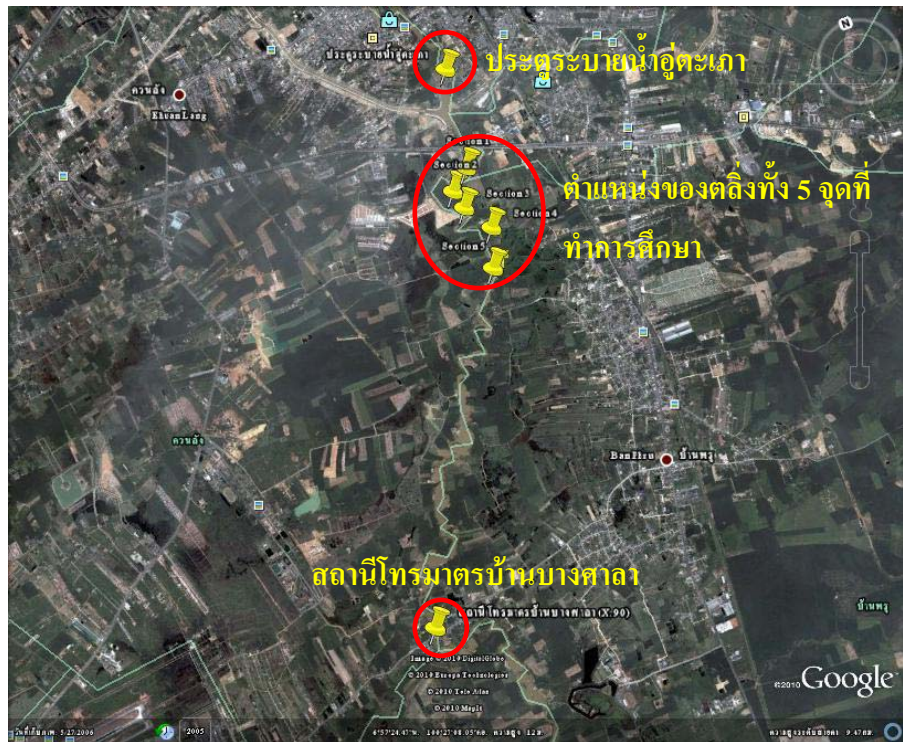
ผลการดำเนินการวิจัย

4.1 สภาพทั่วไปและภาพตัดขวางของคลื่นคลองอุ่ตະເກາໃນພື້ນທີ່ສຶກຍາ

ພື້ນທີ່ສຶກຍາອູ່ໃນບໍລິສັດຕອນລ່າງຂອງຄຸນນໍ້າອູ່ຕະເກາທີ່ພົກັດ $N 6^{\circ} 58' 22.91''$, $E 100^{\circ} 27' 33.89''$ ທີ່ສຶກຍາໄວ້ຢູ່ໃນບໍລິສັດຕອນລ່າງຂອງຄຸນນໍ້າອູ່ຕະເກາທີ່ພົກັດ $N 6^{\circ} 55' 50.74''$, $E 100^{\circ} 26' 21.57''$ ກັບປະຕູຮະບາຍນໍ້າອູ່ຕະເກາ ພົກັດ $N 6^{\circ} 59' 17.12''$, $E 100^{\circ} 27' 45''$ ດັ່ງແສດງໃນຮູບທີ່ 4.2 ຜຶ່ງຕຳແໜ່ງຂອງຄຸນທີ່ ທີ່ກັບປະຕູຮະບາຍນໍ້າອູ່ຕະເກາປະມາມ 3 ກິໂລມິຕຣ



ຮູບທີ່ 4.1 ແຜນທີ່ໃນພື້ນທີ່ສຶກຍາ



ຮູບທີ 4.2 ກາພຄ່າຍທາງອາກາສຂອງຕໍ່ແໜ່ນ່າງຕັ້ງ, ປະຕູຮະບາຍນໍາອຸ່ຕະເກາແລະສະຖະໂໂກຣມາຕຣບ້ານນາງຄາດ (X.90)

4.1.1 ສພາພທ້ວໄປຂອງຕັ້ງຄລອງອຸ່ຕະເກາທີ່ທຳການສຶກຍາ

จากการสำรวจพื้นที่ศึกษาพบว่า แนวคลื่นหลายแนวมีลักษณะที่เสื่อมต่อการเกิดการพินาศเป็นอย่างมาก กล่าวคือ ตั้งมีความลาดชันสูงถึง $85^{\circ} - 90^{\circ}$ ความสูงของตั้งประมาณ 6.00 – 11.00 เมตร (จากท้องคลองถึงขอบนนของตั้ง) โดยมีระดับน้ำขึ้นมาขณะทำการตรวจสอบตัวตั้งประมาณ 2.00 – 2.50 เมตร รถก. ซึ่งแนวคลื่นบางตำแหน่งไม่มีดินไม่มีหรือหินปักคลุม ส่งผลให้ถูกกัดเซาะได้จ่ายเมื่อมีอัตราการไหลของน้ำสูง ในการศึกษารั้งนี้ได้เลือกตั้งจำนวน 5 Sections ซึ่ง เป็นตั้งที่เคยเกิดการพินาศมาแล้วในอดีตดังแสดงตัวอย่างในรูปที่ 4.3 ในจำนวนตั้งทั้ง 5 Sections จะอยู่ในส่วนของคลองອຸ່ຕະເກາที่อยู่ในแนวตรงทั้งสิ้น

ค่าระดับน้ำบริเวณพื้นที่ศึกษาเป็นไปตามสภาพการรับน้ำของลุ่มน้ำອຸ່ຕະເກາ ซึ่ง ในช่วงฤดูร้อน ระดับน้ำเฉลี่ยประมาณ 2.66 เมตร รถก. (อ้างอิงจากປະຕູຮະບາຍນໍາອຸ່ຕະເກາ) และ ในช่วงเดือนพฤษจิกายนซึ่งเป็นช่วงฤดูฝน ระดับน้ำในคลองອຸ່ຕະເກາเพิ่มสูงถึงประมาณ 7.00 เมตร รถก. ทำให้อัตราการไหลของน้ำสูงถึง 800 ลบ.ม/วินาที (สำนักชลประทานที่ 16)

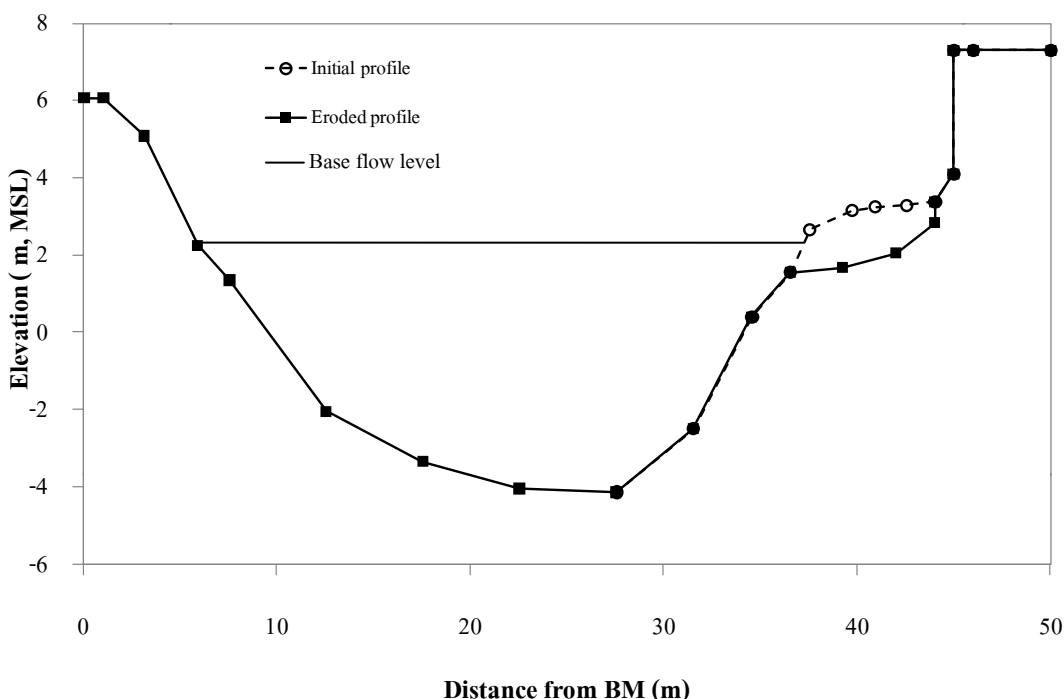


รูปที่ 4.3 สภาพทั่วไปของคลองอู่ตะเภาที่ทำการศึกษา

4.1.2 ภาพตัดขวางของคลึง

จากการสำรวจภาพตัดขวางของคลึง Section 1 ถึง 5 (ดังแสดงในรูปที่ 4.4 – 4.8) พบว่า ภาพตัดขวางของคลึงทุกตำแหน่งของพื้นที่ศึกษาไม่มีการเปลี่ยนแปลงในช่วงฤดูร้อน แต่จะมีการเปลี่ยนแปลงและเกิดการพิบัติในช่วงฤดูฝน ในช่วงเดือนพฤษภาคม 2552 ที่ผ่านมา มีการพิบัติของคลึงเป็นระยะประมาณ 1.70 – 3.20 เมตร จากแนวเดิม จากการสำรวจหลังฝนตกเดือนพฤษภาคม 2552 พบว่า คลึงถูกกัดเซาะเมื่อมีอัตราการ ไหลของน้ำสูง และจะพิบัติเมื่อระดับน้ำลดลง จากระดับเต็มคลึง (Drawdown) ซึ่งคลึงจะมีการกัดเซาะและพิบัติเพียงด้านเดียว เนื่องจากคลึงฝั่งตรงข้ามของทั้ง 5 Sections มีหินปูกลุม อย่างหนาแน่น ทำให้ทนต่อการกัดเซาะสูง

ผลการสำรวจภาพตัดขวางของคลึงก่อน-หลังพิบัติ ทำให้ทราบระยะการกัดเซาะของแนวคลึง โดยพบว่า Section 1 เป็นคลึงที่มีการกัดเซาะเพียงอย่างเดียวแต่ไม่พบร่องพิบัติ สำหรับคลึง Section 2, 3, 4, 5 พิบัติหลังน้ำลดในช่วงวันที่ 9 พฤษภาคม 2552

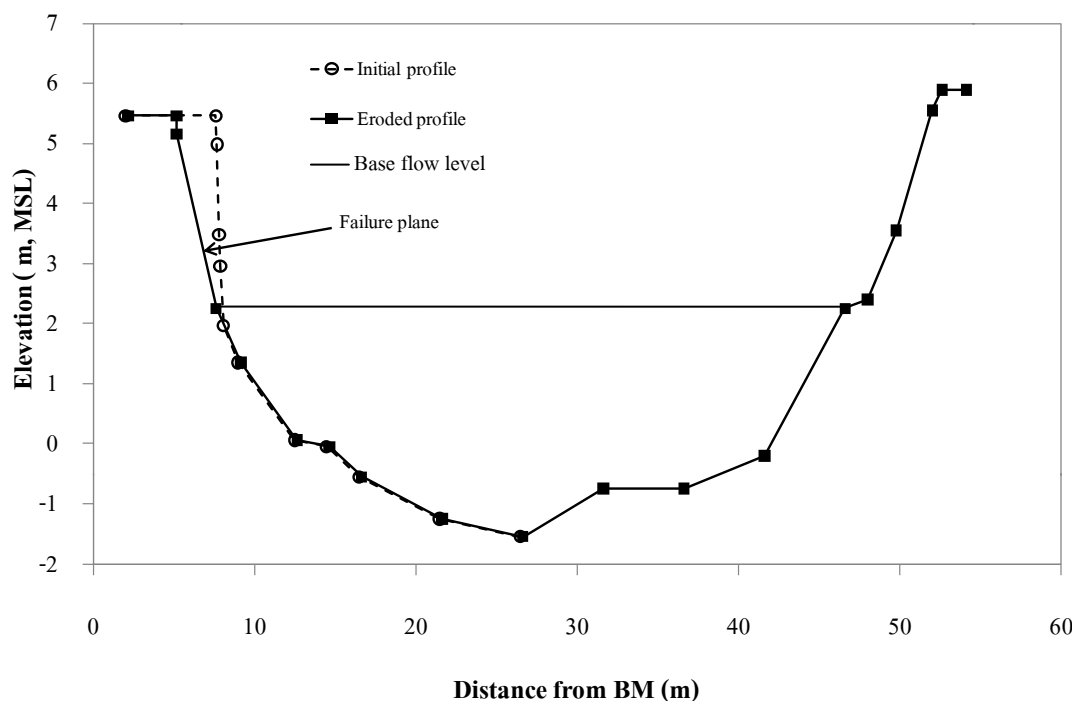


a) ภาพตัดขวางก่อน – หลังการกัดเซาะของคลื่ง Section 1



b) คลื่ง Section 1 หลังถูกกัดเซาะ

รูปที่ 4.4 ลักษณะของคลื่ง Section 1 a) ภาพตัดขวางก่อน – หลังพิบัติของคลื่ง, b) รูปคลื่งในสถาน
หลังถูกกัดเซาะ

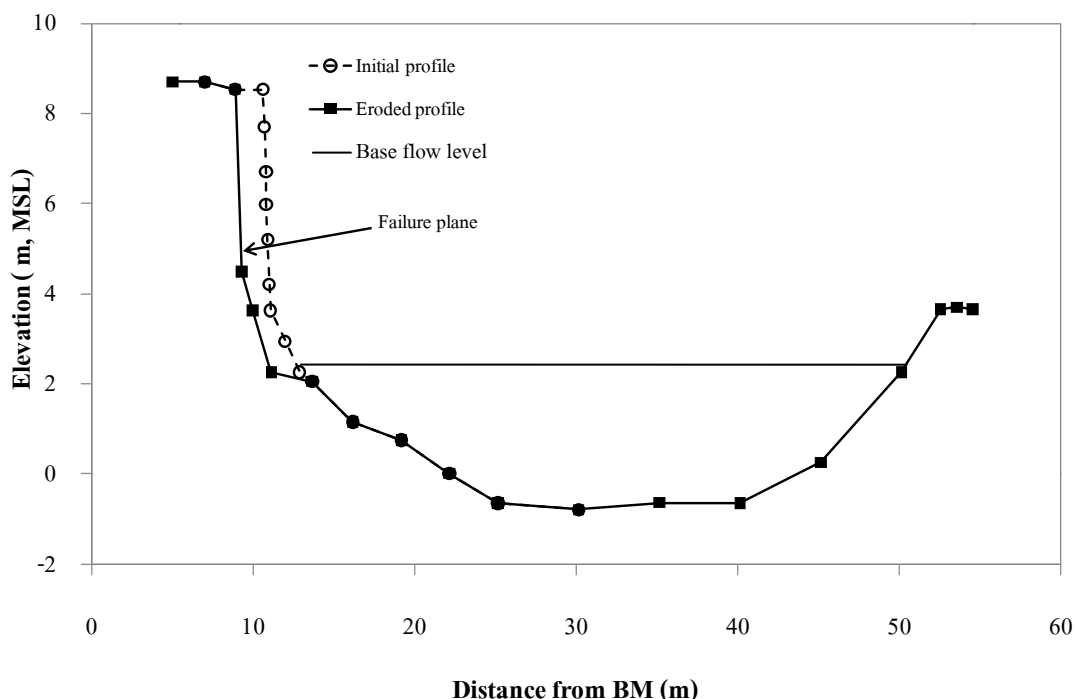


a) ภาพตัดขวางก่อน – หลังพิบัติของคลื่ง Section 2



b) คลื่ง Section 2 หลังถูกกัดเซาะ

รูปที่ 4.5 ลักษณะของคลื่ง Section 2 a) ภาพตัดขวางก่อน – หลังพิบัติของคลื่ง, b) รูปคลื่งในส่วนหลังถูกกัดเซาะและพิบัติ

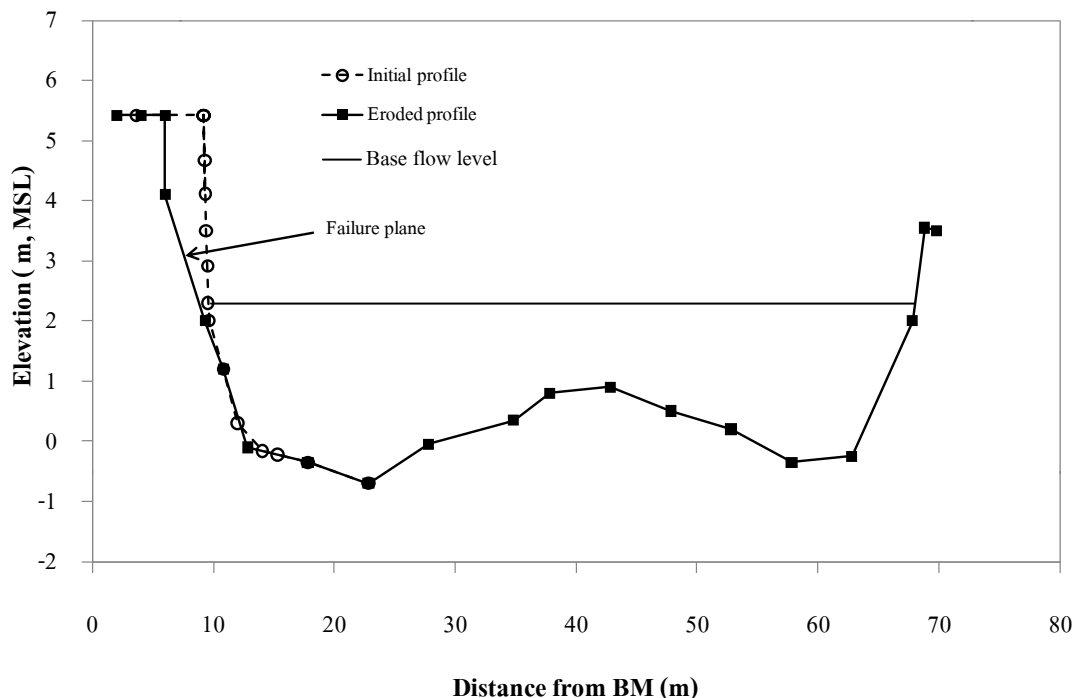


a) ภาพตัดขวางก่อน – หลังพิบัติของคลื่ง Section 3



b) คลื่ง Section 3 หลังถูกกัดเซาะ

รูปที่ 4.6 ลักษณะของคลื่ง Section 3 a) ภาพตัดขวางก่อน – หลังพิบัติของคลื่ง, b) รูปคลื่งในสถาน
หลังถูกกัดเซาะและพิบัติ

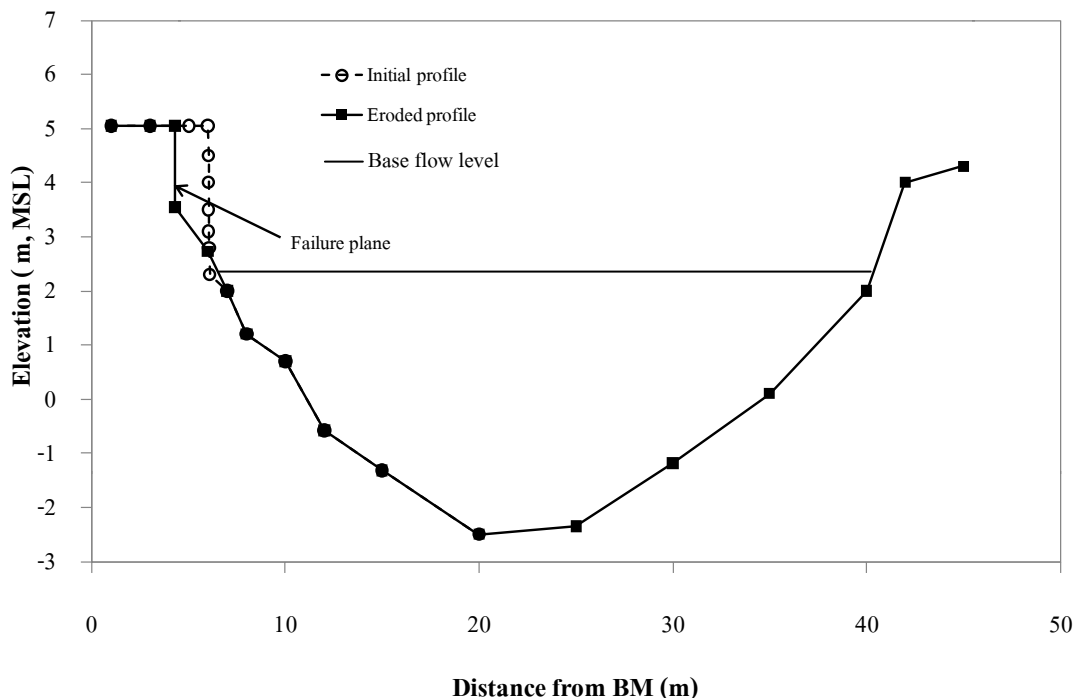


a) ภาพตัดขวางก่อน – หลังพิบัติของคลื่น Section 4



b) คลื่น Section 4 หลังถูกกัดเซาะ

รูปที่ 4.7 ลักษณะของคลื่น Section 4 a) ภาพตัดขวางก่อน – หลังพิบัติของคลื่น, b) รูปคลื่นในสถานะหลังถูกกัดเซาะและพิบัติ



a) ภาพตัดขวางก่อน – หลังพิบัติของตลิ่ง Section 6



b) ตลิ่ง Section 5 หลังถูกกัดเซาะ

รูปที่ 4.8 ลักษณะของตลิ่ง Section 5 a) ภาพตัดขวางก่อน – หลังพิบัติของตลิ่ง, b) รูปตลิ่งในสนามหลังถูกกัดเซาะและพิบัติ

4.2 ผลการทดสอบคุณสมบัติทางกายภาพของดินริมคลื่ง

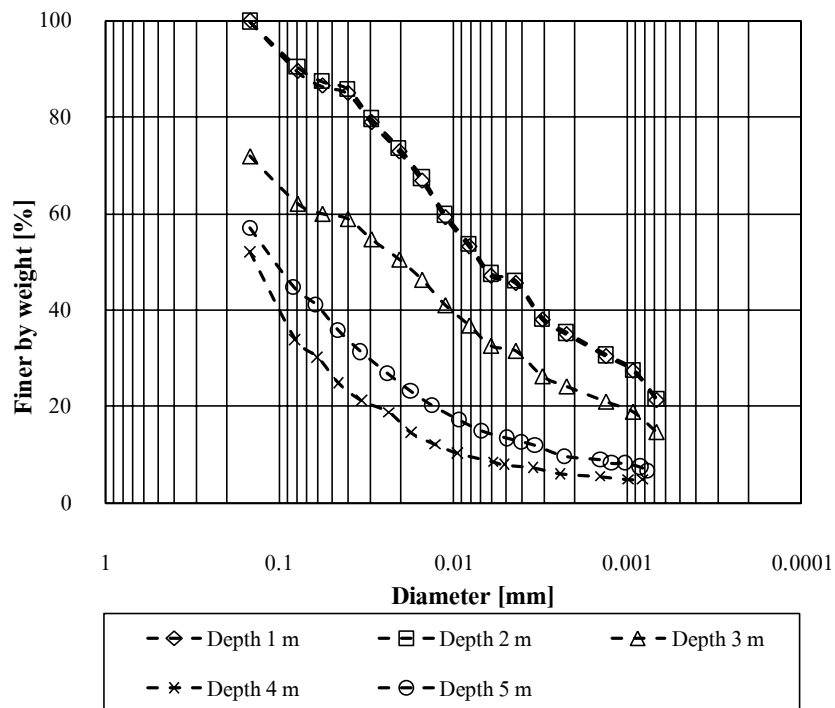
ผลการทดสอบคุณสมบัติทางกายภาพของตัวอย่างดินจากคลื่งในพื้นที่ศึกษาทั้งหมด 5 Sections สามารถแสดงได้ดังรูปที่ 4.9 – 4.18 โดยมีรายละเอียดของแต่ละคลื่งดังต่อไปนี้

4.2.1 คุณสมบัติทางกายภาพของดินริมคลื่ง Section 1

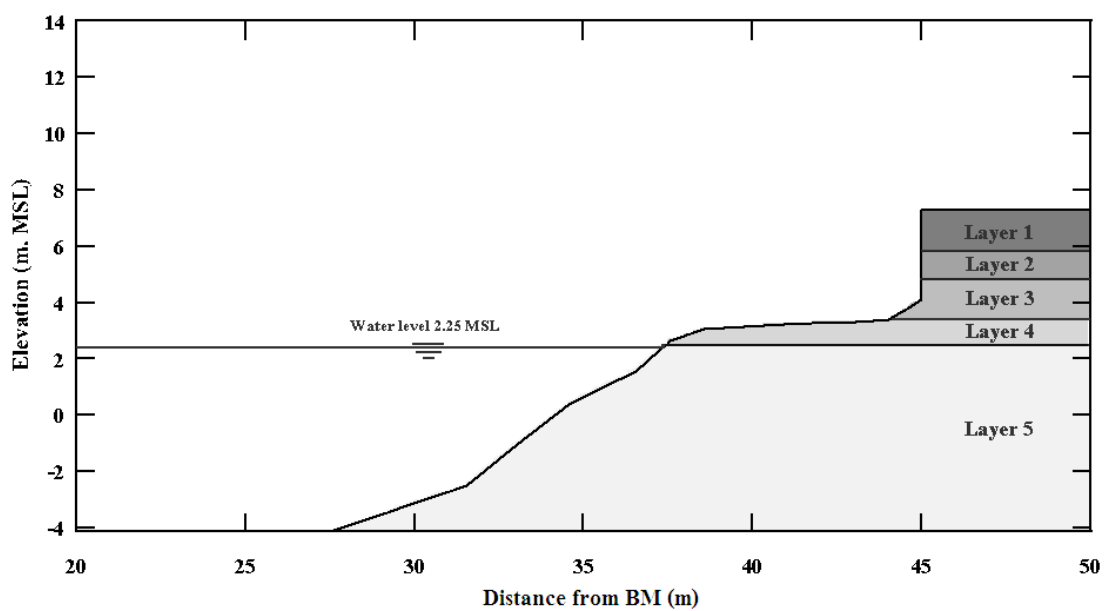
ลักษณะชั้นดินริมคลื่งของ Section 1 จำแนกตามวิธี USCS ประกอบไปด้วยดิน 3 ชนิดคือ 1) Low plasticity clay (CL) เป็นดินเหนียวสีน้ำตาลเหลือง อยู่ที่ชั้นดินชั้นที่ 1 – 3 ที่ระดับความลึก 0.00 – 3.92 เมตรจากขอบนของคลื่ง 2) Silty sand (SM) เป็นดินทรายเม็ดละเอียดปนตะกอนทรายสีน้ำตาลเหลือง อยู่ที่ชั้นดินชั้นที่ 4 ที่ระดับความลึก 3.92 – 4.92 เมตรจากขอบนของคลื่ง 3) Clayey sand (SC) เป็นดินทรายเม็ดละเอียดปนดินเหนียวสีน้ำตาลเหลืองปนเทา อยู่ที่ชั้นดินชั้นที่ 5 ที่ระดับความลึก 4.92 เมตรจากขอบนถึงฐานของคลื่ง ดังแสดงในตารางที่ 4.1 และรูปที่ 4.10 ชั้นดินแต่ละชั้นมีการกระจายตัวของเม็ดดินดังแสดงในรูปที่ 4.9 ซึ่งคลื่ง Section 1 นี้จำแนกเป็นคลื่งแบบผสม (Composite bank)

ตารางที่ 4.1 คุณสมบัติทางกายภาพของดินริมคลื่ง Section 1

Layer	Depth from top of bank (m)	P_{200}	G_S	% S_r	Atterberg's Limit			USCS
					LL	PL	PI	
1	0.00 - 1.50	95.56	2.68	68.84	46.52	22.74	23.78	CL
2	1.50 - 2.50	96.65	2.68	78.49	46.52	22.74	23.78	CL
3	2.50 - 3.92	66.26	2.67	88.27	29.21	15.19	14.02	CL
4	3.92 - 4.92	38.21	2.66	69.05	NP	NP	NP	SM
5	4.92 - 11.45	47.10	2.66	94.69	26.00	20.90	5.10	SC



รูปที่ 4.9 Grain size distribution ของตัวอย่างดินริมคลอง Section 1



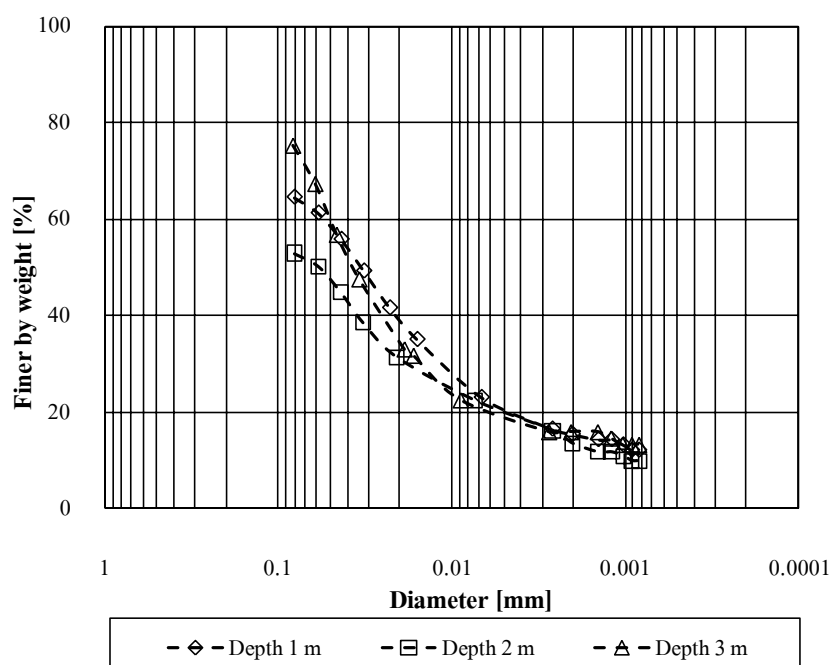
รูปที่ 4.10 ลักษณะชั้นดินริมคลอง Section 1

4.2.2 คุณสมบัติทางกายภาพของดินริมคลื่ง Section 2

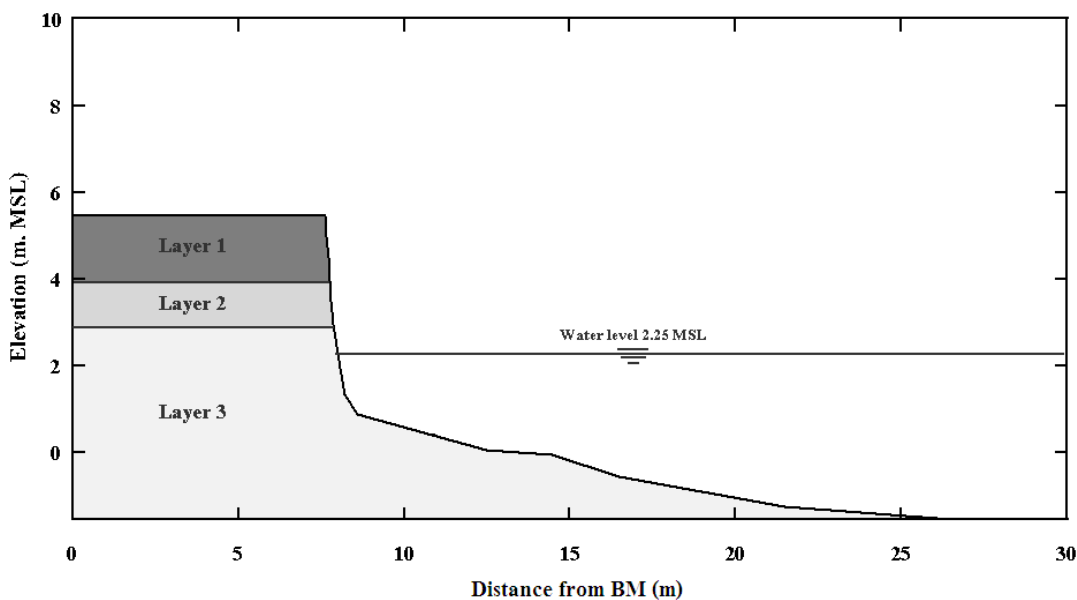
ลักษณะชั้นดินริมคลื่งของ Section 2 จำแนกตามวิธี USCS เป็นดิน Low plasticity clay (CL) มีสีน้ำตาลเหลืองตลอดชั้นดินดังแสดงในตารางที่ 4.2 และรูปที่ 4.12 ชั้นดินแต่ละชั้นมีการกระจายตัวของเม็ดดินดังแสดงในรูปที่ 4.11 ซึ่งคลื่ง Section 2 นี้จำแนกเป็นคลื่งที่มีความเชื่อมแน่น (Cohesive bank)

ตารางที่ 4.2 คุณสมบัติทางกายภาพของดินริมคลื่ง Section 2

Layer	Depth from top of bank (m)	P_{200}	G_S	% S_r	Atterberg's Limit			USCS
					LL	PL	PI	
1	0.00 - 1.50	68.33	2.67	72.18	26.26	18.57	7.69	CL
2	1.50 - 2.50	56.89	2.67	59.96	23.79	18.26	5.53	CL
3	2.50 - 7.01	82.23	2.67	68.06	36.00	22.59	13.41	CL



รูปที่ 4.11 Grain size distribution ของตัวอย่างดินริมคลื่ง Section 2



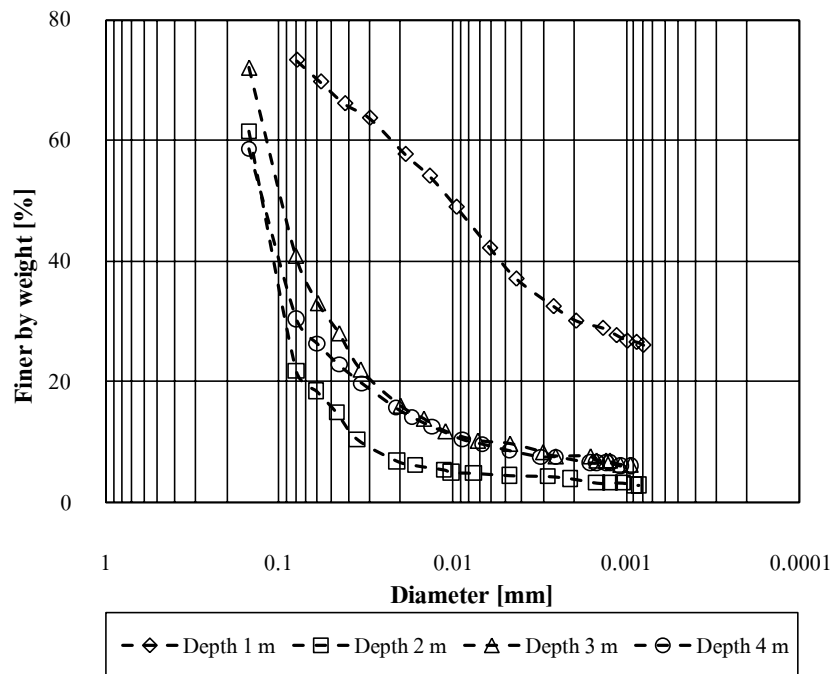
รูปที่ 4.12 ลักษณะชั้นดินริมคลอง Section 2

4.2.3 คุณสมบัติทางกายภาพของดินริมคลอง Section 3

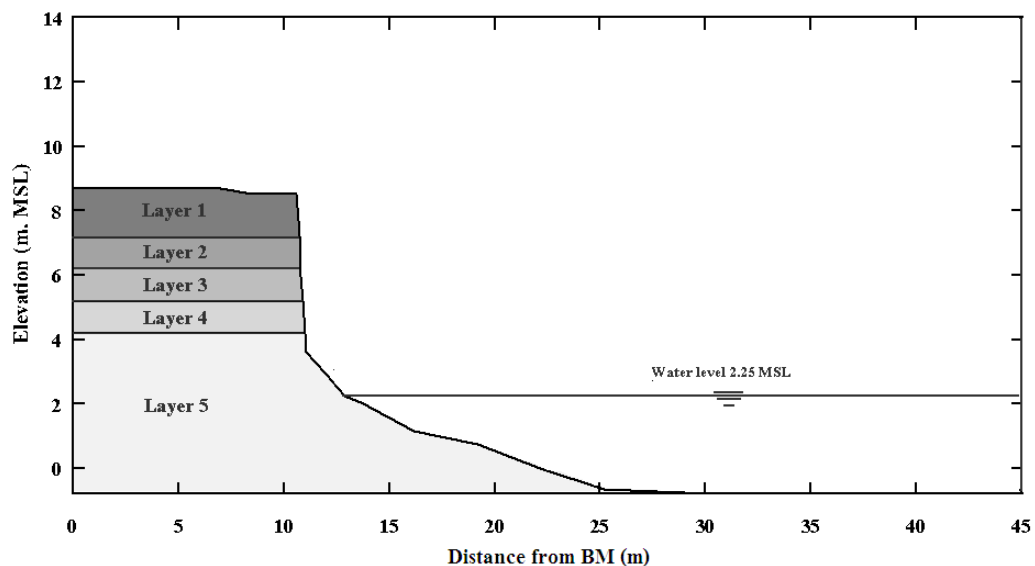
ลักษณะชั้นดินริมคลอง Section 3 จำแนกตามวิธี USCS ประกอบไปด้วยดิน 3 ชนิดคือ 1) Low plasticity clay (CL) เป็นดินเหนียวสีน้ำตาลเหลือง อุ่ยที่ชั้นดินชั้นที่ 1 ที่ระดับความลึก 0.00 – 1.50 เมตรจากขอบของคลอง 2) Silty sand (SM) เป็นดินทรายเม็ดละเอียดปนตะกอนทรายสีน้ำตาลเหลือง อุ่ยที่ชั้นดินชั้นที่ 2 -4 ที่ระดับความลึก 1.50 – 4.50 เมตรจากขอบของคลอง 3) Poorly graded sand (SP) เป็นดินทรายเม็ดละเอียด อุ่ยที่ชั้นดินชั้นที่ 5 ที่ระดับความลึก 4.50 เมตรจากขอบของคลองฐานของคลอง ดังแสดงในตารางที่ 4.3 และรูปที่ 4.14 ชั้นดินแต่ละชั้นมีการกระจายตัวของเม็ดดินดังแสดงในรูปที่ 4.13 ซึ่งคลอง Section 3 นี้จำแนกเป็นคลองผสม (Composite bank)

ตารางที่ 4.3 คุณสมบัติทางกายภาพของดินริมคลอง Section 3

Layer	Depth from top of bank (m)	P_{200}	G_s	% S_r	Atterberg's Limit			USCS
					LL	PL	PI	
1	0.00 - 1.50	76.01	2.68	56.63	49.30	26.70	22.60	CL
2	1.50 - 2.50	22.88	2.66	24.89	NP	NP	NP	SM
3	2.50 - 3.50	43.93	2.67	35.86	NP	NP	NP	SM
4	3.50 - 4.50	31.78	2.66	46.67	NP	NP	NP	SM
5	4.50 - 9.50	3.53	2.65	23.58	NP	NP	NP	SP



รูปที่ 4.13 Grain size distribution ของตัวอย่างดินริมคลื่ง Section 3



รูปที่ 4.14 ถักยักษะชั้นดินริมคลื่ง Section 3

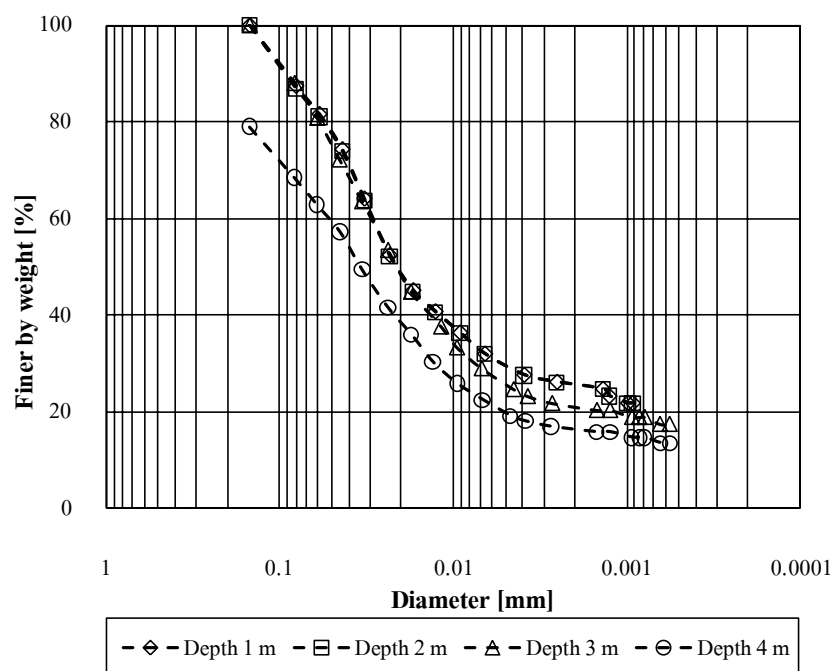
4.2.4 คุณสมบัติทางกายภาพของดินริมคลื่ง Section 4

ลักษณะชั้นดินริมคลื่งของ Section 4 จำแนกตามวิธี USCS ประกอบไปด้วยดิน 2 ชนิดคือ 1) Low plasticity clay (CL) เป็นดินเหนียวสีน้ำตาลเหลือง อยู่ที่ชั้นดินชั้นที่ 1, 3, 4 ที่ระดับความลึก 0.00 - 1.50 เมตรจากขอบนของคลื่ง, 2.50 เมตรจากขอบนถึงฐานของคลื่ง และดินชนิด

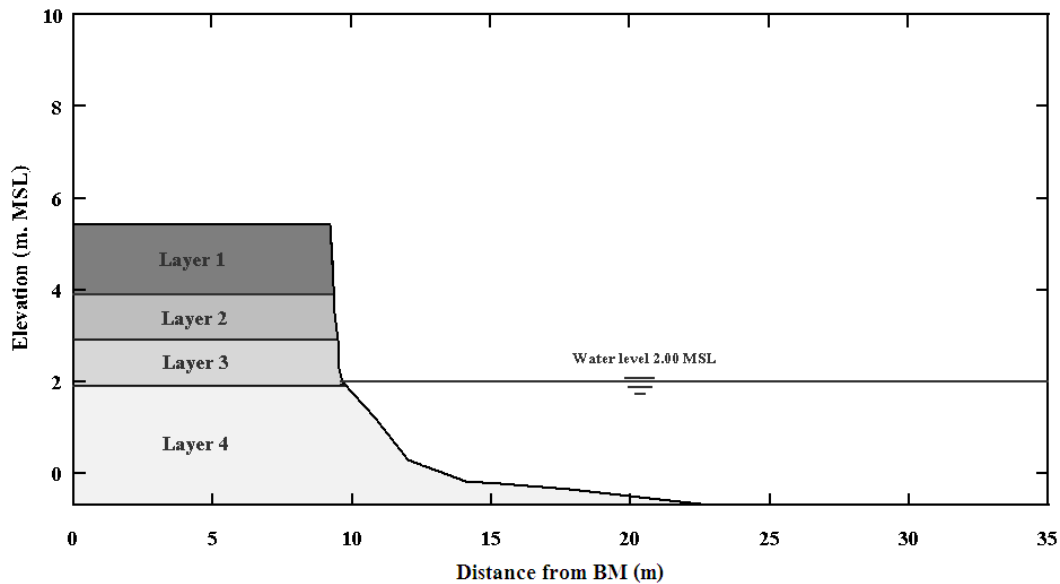
ที่ 2 คือ Low plasticity silt (ML) เป็นดินตะกอนทรายเม็ดละเอียดสีน้ำตาลเหลือง แทรกอยู่ที่ชั้นดินชั้นที่ 2 ที่ระดับความลึก 1.50 – 2.50 เมตรจากขอบบนของคลัง ดังแสดงในตารางที่ 4.4 และรูปที่ 4.16 ชั้นดินแต่ละชั้นมีการกระจายตัวของเม็ดดินดังแสดงในรูปที่ 4.15 ซึ่งคลัง Section 4 นี้จำแนกเป็นคลังที่มีความเชื่อมแน่น (Cohesive bank)

ตารางที่ 4.4 คุณสมบัติทางกายภาพของดินริมคลัง Section 4

Layer	Depth from top of bank (m)	P_{200}	G_S	% S_r	Atterberg's Limit			USCS
					LL	PL	PI	
1	0.00 - 1.50	92.5	2.71	70.21	40.88	21.01	19.87	CL
2	1.50 - 2.50	93.83	2.71	83.12	29.94	23.58	6.36	ML
3	2.50 - 3.50	79.71	2.69	88.45	38.00	23.25	14.75	CL
4	3.50 - 6.12	65.64	2.68	100.00	28.94	21.56	7.38	CL



รูปที่ 4.15 Grain size distribution ของตัวอย่างดินริมคลัง Section 4



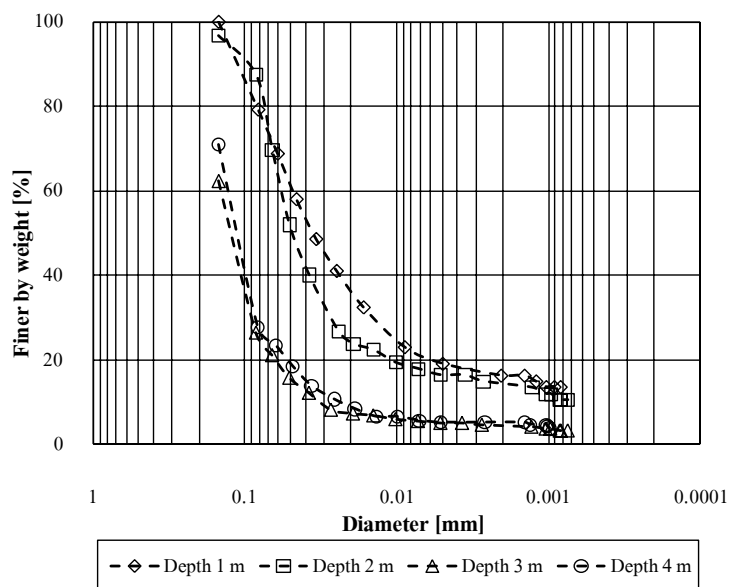
รูปที่ 4.16 ลักษณะชั้นดินริมคลอง Section 4

4.2.5 คุณสมบัติทางกายภาพของดินริมคลอง Section 5

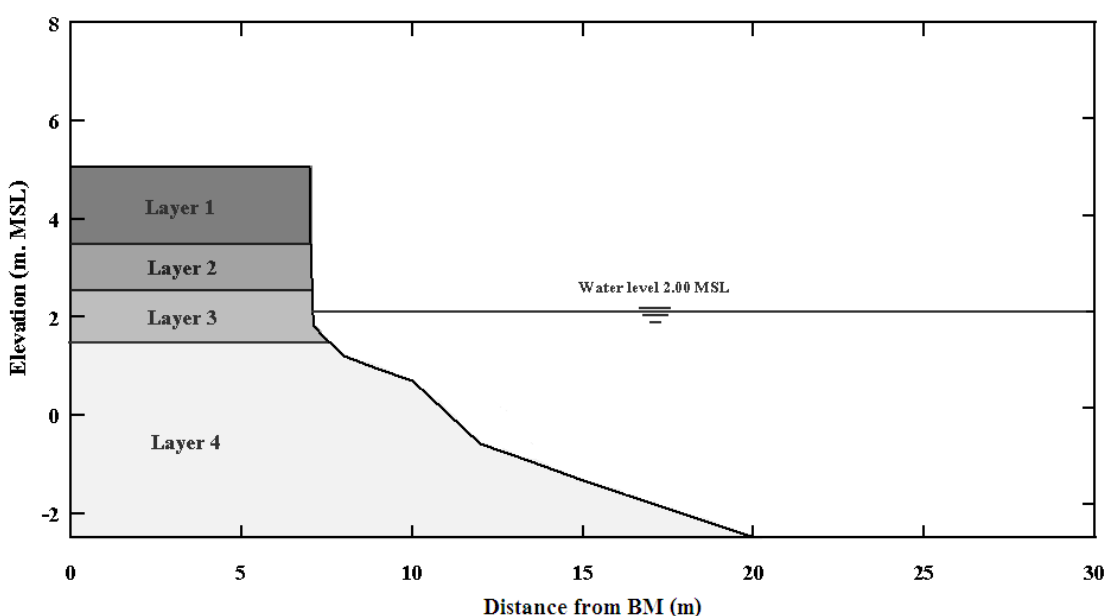
ลักษณะชั้นดินริมคลอง Section 5 จำแนกตามวิธี USCS ประกอบไปด้วยดิน 3 ชนิดคือ 1) Low plasticity clay (CL) เป็นดินเหนียวสีน้ำตาลอ่อน อุ่ย์ที่ชั้นดินชั้นที่ 1 ที่ระดับความลึก 0.00 – 1.50 เมตรจากขอบบนของคลอง 2) Silty sand (ML) เป็นดินตะกอนรายเม็ดละเอียดถี่น้ำตาลอ่อน แทรกอุ่ย์ที่ชั้นดินชั้นที่ 2 ที่ระดับความลึก 1.50 – 2.50 เมตรจากขอบบนของคลอง 3) Clayey sand (SC) เป็นดินรายเม็ดละเอียดปานดินเหนียวสีน้ำตาลอ่อน อุ่ย์ที่ชั้นดินชั้นที่ 3 – 4 ที่ระดับความลึก 2.50 เมตรจากขอบบนถึงฐานของคลอง ดังแสดงในตารางที่ 4.5 และรูปที่ 4.18 ชั้นดินแต่ละชั้นมีการกระจายตัวของเม็ดดินดังแสดงในรูปที่ 4.17 ซึ่งคลอง Section 5 นี้จำแนกเป็นคลองผสม (Composite bank)

ตารางที่ 4.5 คุณสมบัติทางกายภาพของดินริมคลอง Section 5

Layer	Depth from top of bank (m)	P_{200}	G_s	% S_r	Atterberg's Limit			USCS
					LL	PL	PI	
1	0.00 - 1.50	84.78	2.68	72.12	46.30	22.77	23.53	CL
2	1.50 - 2.50	93.49	2.68	78.32	27.47	23.19	4.28	ML
3	2.50 - 3.50	27.94	2.65	87.18	22.25	19.2	3.05	SC
4	3.50 - 7.55	28.76	2.65	100.00	23.76	18.91	4.85	SC



รูปที่ 4.17 Grain size distribution ของตัวอย่างดินริมคลอง Section 5



รูปที่ 4.18 ลักษณะชั้นดินริมคลอง Section 5

4.3 ผลการทดสอบคุณสมบัติทางวิศวกรรมของดินริมคลอง

การทดสอบคุณสมบัติทางวิศวกรรมของดินตัวอย่างจากตัวอย่างของกล่องญี่ปุ่นทั้ง 5 Section ใช้การทดสอบวิธี Multi – stage direct shear test (Drainage test) กำลังเฉือนของดิน (Shear strength parameter) ที่ได้เป็นแบบหน่วยแรงประสิทธิผล (Effective stress) ผลการทดสอบ

ทั้งสภาวะความชื้นธรรมชาติและสภาวะอิ่มตัวด้วยน้ำ ได้แสดงในตารางที่ 4.6 – 4.10 รายละเอียดผลการทดสอบเป็นกราฟความสัมพันธ์ระหว่าง Shear stress – Horizontal displacement, Vertical displacement – Horizontal displacement และเส้นขอบเขตการพิบัติ (Failure envelope) ได้แสดงในภาคผนวก ง ผลการทดสอบแยกตามตลิ่งทั้ง 5 มีรายละเอียดดังต่อไปนี้

4.3.1 คุณสมบัติทางวิศวกรรมของดินริมตลิ่ง Section 1

จากการทดสอบคุณสมบัติทางวิศวกรรมของดินเพื่อหาค่า Shear strength parameter Cohesion (c') และ Friction angle (λ') ของดินริมตลิ่ง Section 1 พบว่าในสภาวะความชื้นธรรมชาติมีค่า c'_n เท่ากับ 52.72, 23.53, 21.49, 9.69 และ 7.91 kPa ตามลำดับชั้นดิน ค่า λ'_n เท่ากับ 24.23, 19.59, 27.13, 28.98 และ 29.59 degree ตามลำดับชั้นดิน ดินในสภาวะอิ่มตัวด้วยน้ำมีค่า c'_{sat} เท่ากับ 11.41, 9.56, 5.24, 0.139 และ 7.91 kPa ตามลำดับชั้นดิน ค่า λ'_{sat} เท่ากับ 22.15, 26.89, 25.31, 28.81 และ 29.59 degree ตามลำดับชั้นดินดังแสดงในตารางที่ 4.6

ตารางที่ 4.6 คุณสมบัติทางวิศวกรรมของดินริมตลิ่ง Section 1

Layer	Depth from top of bank (m)	USCS	Natural water content*				Saturated water content			
			λ'_n (Degree)	c'_n (kPa)	V_n (kN/m ³)	% S _r	λ'_{sat} (Degree)	c'_{sat} (kPa)	V_{sat} (kN/m ³)	% S _r
1	0.00 - 1.50	CL	24.23	52.72	18.82	68.84	22.15	11.41	19.50	100.00
2	1.50 - 2.50	CL	19.59	23.53	19.22	78.49	26.89	9.56	19.64	100.00
3	2.50 - 3.92	CL	27.13	21.49	19.40	88.27	25.31	5.24	19.93	100.00
4	3.92 - 4.92	SM	28.98	9.69	17.99	69.05	28.81	0.139	19.97	100.00
5	4.92 - 11.45	SC	29.59	7.91	20.53	94.69	29.59	7.91	20.53	100.00

*เก็บตัวอย่างดินวันที่ 22 กรกฎาคม 2552

4.3.2 คุณสมบัติทางวิศวกรรมของดินริมตลิ่ง Section 2

จากการทดสอบคุณสมบัติทางวิศวกรรมของดินเพื่อหาค่า Shear strength parameter ของดินริมตลิ่ง Section 2 พบว่าในสภาวะความชื้นธรรมชาติมีค่า c'_n เท่ากับ 20.05, 7.86 และ 20.36 kPa ตามลำดับชั้นดิน ค่า λ'_n เท่ากับ 23.04, 27.36 และ 28.49 degree ตามลำดับชั้นดิน

ดินในสภาวะอิ่มตัวด้วยน้ำมีค่า c'_{sat} เท่ากับ 5.76, 4.29 และ 13.03 kPa ตามลำดับชั้นดิน ค่า λ'_{sat} เท่ากับ 22.59, 27.57 และ 24.68 degree ตามลำดับชั้นดินดังแสดงในตารางที่ 4.7

ตารางที่ 4.7 คุณสมบัติทางวิศวกรรมของดินริมคลอง Section 2

Layer	Depth from top of bank (m)	USCS	Natural water content*				Saturated water content			
			λ'_n (Degree)	c'_n (kPa)	V_n (kN/m ³)	% S _r	λ'_{sat} (Degree)	c'_{sat} (kPa)	V_{sat} (kN/m ³)	% S _r
1	0.00 - 1.50	CL	23.04	20.05	18.58	72.18	22.59	5.76	19.61	100.00
2	1.50 - 2.50	CL	27.36	7.86	17.26	59.96	27.57	4.29	18.97	100.00
3	2.50 - 7.01	CL	28.49	20.36	18.64	68.06	24.68	13.03	19.84	100.00

*เก็บตัวอย่างดินวันที่ 12 มีนาคม 2553

4.3.3 คุณสมบัติทางวิศวกรรมของดินริมคลอง Section 3

จากการทดสอบคุณสมบัติทางวิศวกรรมของดินเพื่อหาค่า Shear strength parameter ของดินริมคลอง Section 3 พบร่วมในสภาวะความชื้นธรรมชาติมีค่า c'_{n} เท่ากับ 61.13, 20.72, 16.60, 11.68 และ 2.12 kPa ตามลำดับชั้นดิน ค่า λ'_n เท่ากับ 28.76, 23.68, 29.19, 34.47 และ 28.67 degree ตามลำดับชั้นดิน ดินในสภาวะอิ่มตัวด้วยน้ำมีค่า c'_{sat} เท่ากับ 17.05, 1.925, 2.31, 1.796 และ 0.119 kPa ตามลำดับชั้นดิน ค่า λ'_{sat} เท่ากับ 22.61, 25.94, 26.84, 34.05 และ 27.37 degree ตามลำดับชั้นดินดังแสดงในตารางที่ 4.8

ตารางที่ 4.8 คุณสมบัติทางวิศวกรรมของดินริมคลอง Section 3

Layer	Depth from top of bank (m)	USCS	Natural water content*				Saturated water content			
			λ'_n (Degree)	c'_n (kPa)	V_n (kN/m ³)	% S _r	λ'_{sat} (Degree)	c'_{sat} (kPa)	V_{sat} (kN/m ³)	% S _r
1	0.00 - 1.50	CL	28.76	61.13	17.86	56.63	22.61	17.05	18.97	100.00
2	1.50 - 2.50	SM	23.68	20.72	15.83	24.89	25.94	1.925	19.03	100.00
3	2.50 - 3.50	SM	29.19	16.60	17.12	35.86	26.82	2.31	19.64	100.00
4	3.50 - 4.50	SM	34.47	2.12	18.14	46.67	34.05	1.796	20.07	100.00
5	4.50 - 9.50	SP	28.67	2.12	15.34	23.58	27.37	0.119	18.72	100.00

*เก็บตัวอย่างดินวันที่ 12 มีนาคม 2553

4.3.4 คุณสมบัติทางวิศวกรรมของดินริมคลื่ง Section 4

จากการทดสอบคุณสมบัติทางวิศวกรรมของดินเพื่อหาค่า Shear strength parameter ของดินริมคลื่ง Section 4 พบว่าในสภาวะความชื้นธรรมชาติมีค่า c'_n เท่ากับ 44.74, 6.59 และ 22.80 kPa ตามลำดับชั้นดิน ค่า λ'_n เท่ากับ 24.48, 28.53 และ 28.67 degree ตามลำดับชั้นดิน ดินในสภาวะอิ่มตัวด้วยน้ำมีค่า c'_{sat} เท่ากับ 4.03, 2.59, และ 7.04 kPa ตามลำดับชั้นดิน ค่า λ'_{sat} เท่ากับ 24.55, 15.53 และ 27.65 degree ตามลำดับชั้นดินดังแสดงในตารางที่ 4.9 ส่วนชั้นดินชั้นที่ไม่มีข้อมูล เนื่องจากเก็บตัวอย่างแบบคงสภาพไม่ได้

ตารางที่ 4.9 คุณสมบัติทางวิศวกรรมของดินริมคลื่ง Section 4

Layer	Depth from top of bank (m)	USCS	Natural water content*				Saturated water content			
			λ'_n (Degree)	c'_n (kPa)	V'_n (kN/m ³)	% S _r	λ'_{sat} (Degree)	c'_{sat} (kPa)	V'_{sat} (kN/m ³)	% S _r
1	0.00 - 1.50	CL	24.48	44.74	18.39	70.21	24.55	4.03	19.31	100.00
2	1.50 - 2.50	ML	28.53	6.59	19.09	83.12	15.53	2.59	19.76	100.00
3	2.50 - 3.50	CL	28.67	22.80	19.40	88.45	27.65	7.04	20.13	100.00
4	3.50 - 6.12	CL	NA	NA	NA	100.00	NA	NA	NA	NA

*เก็บตัวอย่างวันที่ 23 กรกฎาคม 2552

4.3.5 คุณสมบัติทางวิศวกรรมของดินริมคลื่ง Section 5

จากการทดสอบคุณสมบัติทางวิศวกรรมของดินเพื่อหาค่า Shear strength parameter ของดินริมคลื่ง Section 5 พบว่าในสภาวะความชื้นธรรมชาติมีค่า c'_n เท่ากับ 39.90, 4.66 และ 14.56 kPa ตามลำดับชั้นดิน ค่า λ'_n เท่ากับ 23.65, 29.33 และ 27.06 degree ตามลำดับชั้นดิน ดินในสภาวะอิ่มตัวด้วยน้ำมีค่า c'_{sat} เท่ากับ 12.48, 0.932, และ 1.259 kPa ตามลำดับชั้นดิน ค่า λ'_{sat} เท่ากับ 27.38, 16.01 และ 33.74 degree ตามลำดับชั้นดินดังแสดงในตารางที่ 4.10

Shear strength parameter ที่มีการเปลี่ยนแปลงอย่างเห็นได้ชัดเจนในสภาวะความชื้นธรรมชาติและอิ่มตัวด้วยน้ำคือ การยึดเกาะกันของเม็ดดิน (Cohesion) ดินในสภาวะอิ่มตัวด้วยน้ำจะให้ค่าการยึดเกาะกันน้อยกว่าดินในสภาวะความชื้นธรรมชาติ (นงลักษณ์ 2547) สอดคล้องกันกับทฤษฎีกำลังของดินที่ไม่อิ่มตัวที่ว่า ดินเม็ดละอิเดที่ไม่อิ่มตัวด้วยน้ำจะมีแรงดูดมากหรือน้อยขึ้นกับ

ขนาดของเม็ดดินและปริมาณความชื้นในมวลดิน ดินที่มีขนาดเม็ดดินเล็กกว่าและมีปริมาณความชื้นในมวลดินน้อยกว่า จะเกิดแรงดูดได้มากกว่า ส่งผลให้ค่าอึดเกาะกันของมวลดินสูงขึ้น ปริมาณความชื้นที่เพิ่มขึ้นจะเป็นตัวทำลายแรงตึงผิวหรือแรงดูดของอากาศในดิน ทำให้การอึดเกาะกันระหว่างเม็ดดินลดลง (สุทธิศักดิ์, 2550) ในขณะที่การเปลี่ยนแปลงของมูนเสียดทานระหว่างเม็ดดิน (λ') ระหว่างสภาพของดินที่ไม่อิ่มตัว (λ_n') และสภาพของดินที่อิ่มตัว (λ_{sat}') ของดินตัวอย่างจากตลิ่งคลองอู่ตะเภา ไม่มีแนวโน้มการเปลี่ยนแปลงที่ชัดเจน ก้าวคือ ค่า λ' มีค่าทั้งเพิ่มขึ้นและลดลง เมื่อดินเปลี่ยนสภาพ

ตารางที่ 4.10 คุณสมบัติทางวิศวกรรมของดินริมตลิ่ง Section 5

Layer	Depth from top of bank (m)	USCS	Natural water content*				Saturated water content			
			λ_n' (Degree)	C_n' (kPa)	V_n (kN/m ³)	% S _r	λ_{sat}' (Degree)	C_{sat}' (kPa)	V_{sat} (kN/m ³)	% S _r
1	0.00 - 1.50	CL	23.65	39.90	18.67	72.12	27.38	12.48	19.72	100.00
2	1.50 - 2.50	ML	29.33	4.66	18.70	78.32	16.01	0.932	1.99	100.00
3	2.50 - 3.50	SC	27.06	14.56	20.11	87.18	33.74	1.259	20.54	100.00
4	3.50 - 7.55	SC	NA	NA	NA	100	NA	NA	NA	NA

*เก็บตัวอย่างดินวันที่ 23 กรกฎาคม 2552

4.4 ผลการจำลองการพิบัติของตลิ่ง

การจำลองการพิบัติของตลิ่งเพื่อศึกษาการกัดเซาะและพิบัติของตลิ่งเบื้องต้นจากข้อมูล ϑ_c และ k_d เบื้องต้นที่ประมาณได้จากค่า Index properties การวิเคราะห์ทำให้ทราบกระบวนการของการพิบัติและปัจจัยที่มีผลต่อเสถียรภาพของตลิ่ง การจำลองประกอบไปด้วย 2 ลักษณะคือ 1) การจำลองการกัดเซาะของตลิ่งในกรณีระดับน้ำเฉลี่ย 2) วิเคราะห์เสถียรภาพของตลิ่งในกรณีระดับน้ำเพิ่มขึ้น – ลดลงอย่างรวดเร็ว (Rapid drawdown) โดยในการศึกษานี้ได้ทำการจำลองโดยใช้ตลิ่ง Section 1 เป็นตัวแทนในการวิเคราะห์ เนื่องจากเป็นตลิ่งแบบผสม (Composite bank) มีความอ่อนไหวต่อการสูญเสียเสถียรภาพมากกว่าตลิ่งที่มีความเชื่อมแน่น (Cohesive bank) ซึ่งได้ผลการวิเคราะห์ดังต่อไปนี้

4.4.1 ผลการวิเคราะห์การกัดเซาะของตลิ่ง Section 1 ในกรณีระดับน้ำเฉลี่ย

การวิเคราะห์การกัดเซาะของตลิ่ง โดยใช้สมการที่ 2.6 – 2.9 คำนวณค่าความต้านทานหน่วยแรงเฉือนวิกฤตของдинของแต่ละชั้น din ดังแสดงในตารางที่ 4.1 แล้วจำลองการไหลของน้ำเป็นระยะเวลา 1 วัน, 1 สัปดาห์, 2 สัปดาห์, 1 เดือน, 2 เดือน, 3 เดือน, 4 เดือน, 5 เดือน, 6 เดือน ซึ่งผลการวิเคราะห์ดังแสดงในรูปที่ 4.19 ผลการวิเคราะห์พบว่าระดับการกัดเซาะของตลิ่ง Section 1 ที่ใช้ค่าความต้านทานหน่วยแรงเฉือนวิกฤตของдинจากสมการที่ 2.8 และ 2.9 มีค่าสูงสุดและต่ำสุดตามลำดับ พิจารณาจะระดับการกัดเซาะที่ใช้ค่าความต้านทานหน่วยแรงเฉือนวิกฤตของдин จากสมการที่ 2.9 พนว่ามีค่าเท่ากับศูนย์เนื่องจากหน่วยแรงเฉือนวิกฤตของдинมากกว่าหน่วยแรงเฉือนเนื่องจากการไหลของน้ำ การกัดเซาะจึงไม่เกิดขึ้น ในส่วนของระดับการกัดเซาะที่ใช้ค่าความต้านทานหน่วยแรงเฉือนวิกฤตของдинจากสมการที่ 2.6 และ 2.7 ระดับการกัดเซาะที่คำนวณมีค่าใกล้เคียงกัน

เมื่อนำระดับการกัดเซาะดังรูปที่ 4.19 มาคำนวณหาค่าอัตราส่วนความปลดภัยจะได้ค่าดังแสดงในรูปที่ 4.20 โดยยึดหลักการที่ว่า ตลิ่งจะเกิดการพิบัติเมื่อค่าอัตราส่วนความปลดภัยที่คำนวณได้น้อยกว่า 1 ผลการคำนวณพบว่าอัตราส่วนความปลดภัยของตลิ่งที่ใช้ค่าความต้านทานหน่วยแรงวิกฤตของдинจากสมการที่ 2.6, 2.7, 2.8 ในการคำนวณจะระดับการกัดเซาะมีค่าลดลงตามระดับการกัดเซาะที่เกิดขึ้น

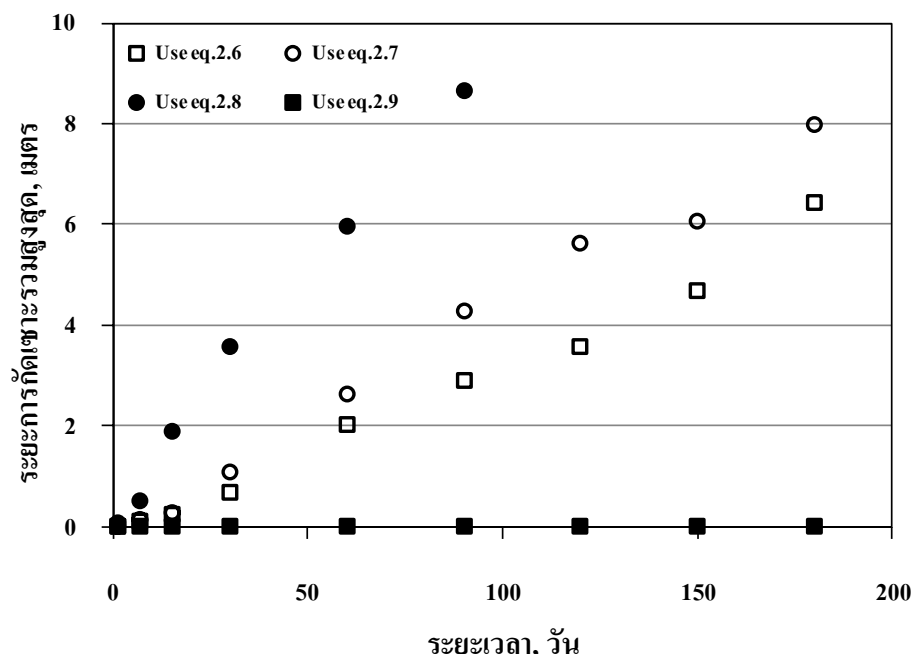
ตารางที่ 4.11 ค่า Critical shear stress ใช้ในการวิเคราะห์การกัดเซาะของตลิ่ง

Section 1

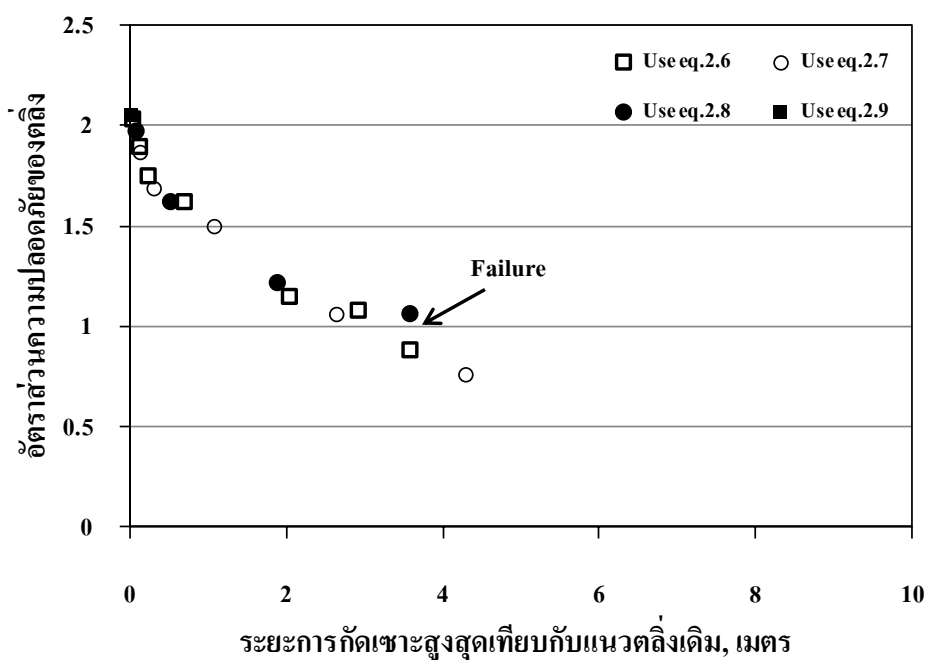
Equation No.	Critical shear stress, Pa				
	Layer 1	Layer 2	Layer 3	Layer 4	Layer 5
2.6	2.29	2.23	1.47	1.14	1.14
2.7	3.02	3.69	1.81	0.69	0.84
2.8	0.0041	0.0041	0.0112	0.0584	0.0988
2.9	21.49	21.49	15.80	7.64	10.28

นอกจากนี้ผลการวิเคราะห์พบว่าตลิ่งเริ่มสูญเสียสภาพเมื่อมีระดับการกัดที่ตื้นตลิ่งจะประมาณ 2.0 – 3.5 m จากแนวตลิ่งเดิม โดยใช้ระยะเวลาอยู่ที่สุดจากเริ่มต้นจนถึงช่วงที่ตลิ่งพิบัติประมาณ 1 เดือน (ที่_c มีค่าน้อยสุดจากทั้ง 4 สมการดังกล่าว) ภาพตัดของตลิ่งที่ถูกกัด

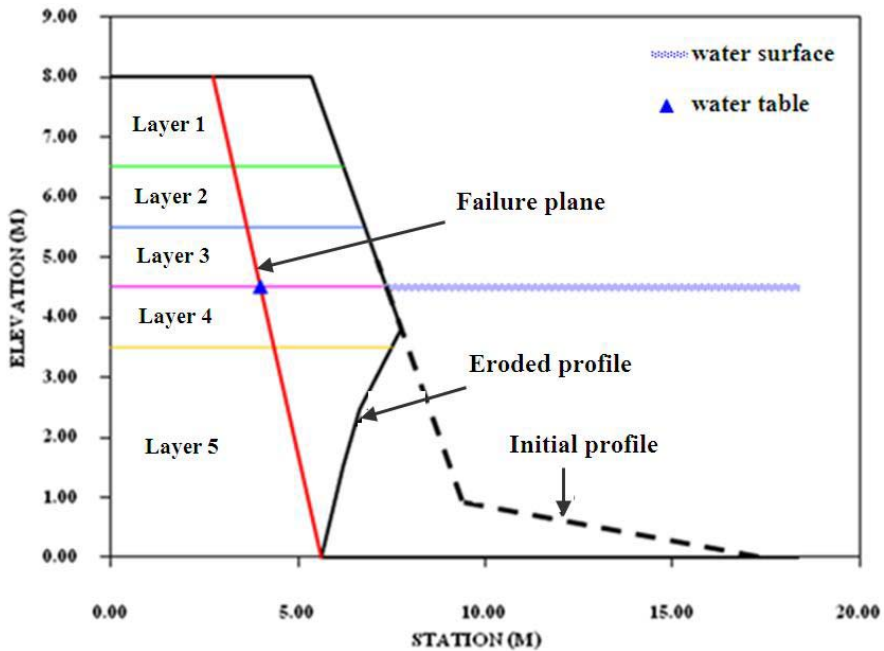
เข้าดังแสดงในรูปที่ 4.21 สำหรับตั้ง Section 1 นี้พบว่าการพิบัติเป็นแบบ Planar failure ซึ่งมีค่ามุนพิบัติประมาณ 70 องศาจากแนวราบ



รูปที่ 4.19 ระยการกัดเข้าของตั้งที่ระยะเวลาต่างๆ เมื่อค่า Critical shear stress คำนวณจาสมการที่ 2.6 – 2.9



รูปที่ 4.20 อัตราส่วนความปลดภัยของตั้งนี้องจากการกัดเข้า

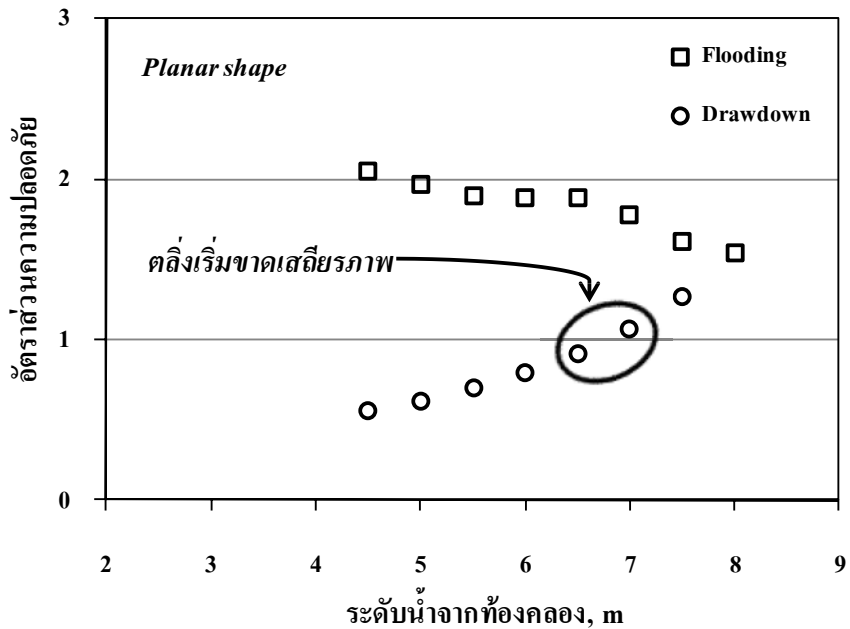


รูปที่ 4.21 ภาพตัดของตลิ่ง Section 1 ที่สูญเสียเสถียรภาพเนื่องจากการกัดเซาะของตลิ่งที่ระดับน้ำเฉลี่ยจากการจำลองการพิบัติของตลิ่ง

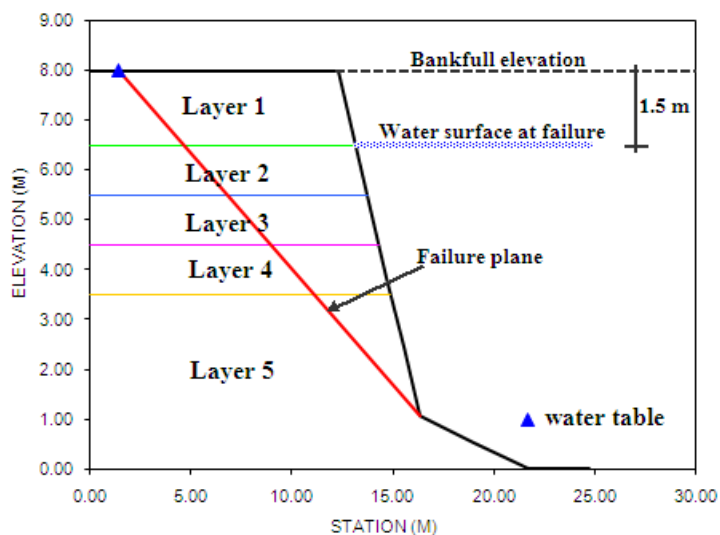
4.4.2 เสถียรภาพตลิ่งของกรณีน้ำท่วมและระดับน้ำลดลงทันทีทันใด

ผลการวิเคราะห์เสถียรภาพตลิ่งกรณีระดับน้ำเพิ่มขึ้นจากระดับน้ำเฉลี่ย (น้ำท่วม) และระดับน้ำลดลงอย่างรวดเร็วได้แสดงดังรูปที่ 4.22 พบว่าเมื่อระดับน้ำเพิ่มขึ้น อัตราส่วนความปลดออกภัยลดลง เนื่องจากชั้นดินที่อยู่ใต้ระดับน้ำอิ่มตัวด้วยน้ำ ทำให้กำลังเนื้อนของดินลดลง เมื่อระดับเพิ่มขึ้นจนเต็มตลิ่ง ชั้นดินทุกชั้นของตลิ่งอิ่มตัวด้วยน้ำ แต่ตลิ่งยังอยู่ในเสถียรภาพ เพราะมีแรงภายนอกเนื่องจากระดับน้ำ (F_w , ดังรูปที่ 2.10a) ค่อยช่วยรักษาเสถียรภาพอยู่

การลดลงของระดับน้ำทันทีทันใด (Rapid drawdown) จากระดับน้ำเต็มตลิ่ง เนื่องจากการเปิดประตูระบายน้ำคลองอู่ตะเภาถูกใช้ในการวิเคราะห์ในกรณีเลวร้ายที่สุด (Worst case scenario) ระดับน้ำได้ดินอยู่ที่ระดับผิวน้ำของตลิ่ง ผลการวิเคราะห์พบว่าการลดลงของระดับน้ำอย่างรวดเร็วทำให้เสถียรภาพของตลิ่งลดลง เนื่องจากหน่วยน้ำหนักของดินเพิ่มขึ้น ขณะที่ Shear strength parameter ของดินลดลง (ดินอิ่มตัวด้วยน้ำ) อิกทึ้งแรงภายนอกจากระดับน้ำ (F_w) ที่เป็นส่วนรักษาเสถียรภาพของตลิ่งลดลง ผลการวิเคราะห์พบว่าตลิ่งเริ่มขาดเสถียรภาพเมื่อระดับน้ำลดลงประมาณ 1.5 m จากระดับน้ำเต็มตลิ่งดังแสดงในรูปที่ 4.23



รูปที่ 4.22 อัตราส่วนความปอดดังของตลิ่ง Section 1 กรณีนำท่อมและระดับน้ำลดลงทันทีทันใดจากการจำลองการพิบัติของตลิ่ง



รูปที่ 4.23 ลักษณะการพิบัติของตลิ่ง Section 1 ในกรณี Rapid drawdown

4.5. ผลการวิเคราะห์ค่าระดับน้ำคลองอุตสาหกรรมโดยวิธี Backwater analysis

การวิเคราะห์ค่าระดับน้ำโดยวิธี Backwater analysis (Standard step method) ทำให้ทราบค่าระดับน้ำข่องแต่ละตลิ่งและค่าความลาดชันเนื่องจากการสูญเสียพลังงาน (S_f) ของลำน้ำที่ค่าอัตราการไหลต่างๆ เนื่องจากระดับน้ำที่เพิ่มขึ้นและลดลงทำให้อัตราการไหลของน้ำมีค่าที่

ຕາງ່າງທີ 4.12 ຜົດກາຮວິຄອງໄຂ້ຮຽນດັບປຳນໍາໄຕຍົກີ Backwater analysis

ວັນ	ເວລາ	Q (m^3/s)	ຮະຕັບນໍາ (ແມຕຣ ຮກາ.)						n	S_f
			ປັດ. ອຸຕະເກມ	Sec1	Sec2	Sec3	Sec4	Sec5	ມາຈາດາ	
1/11/2552	21:00-22:00	50.45	2.780	2.802	2.879	2.909	2.953	2.989	3.700	0.0354
2/11/2552	07:00	52.70	3.400	3.431	3.440	3.457	3.468	3.790	0.0255	0.000030
3/11/2552	7:00-16:00	46.53	3.270	3.273	3.290	3.295	3.307	3.314	3.540	0.0221
4/11/2552	7:00-16:00	42.60	3.050	3.054	3.075	3.082	3.098	3.108	3.385	0.0227
5/11/2552	7:00-16:00	36.00	2.845	2.849	2.866	2.871	2.884	2.892	3.120	0.0236
	2:00-3:00	65.85	4.250	4.247	4.246	4.252	4.249	4.265	4.265	0.0074
	6:00-7:00	107.35	4.600	4.614	4.688	4.717	4.755	4.816	5.505	0.0332
	9:00-11:00	164.13	4.620	4.669	4.889	4.973	5.069	5.161	6.640	0.0384
6/11/2552	13:00-14:00	281.05	4.925	4.998	5.373	5.556	5.714	5.846	7.895	0.0333
	15:00-17:00	347.43	5.370	5.477	5.799	6.001	6.163	6.287	8.350	0.036
	18:00-20:00	457.23	5.920	5.932	6.295	6.340	6.643	6.749	8.860	0.0356
	21:00-23:00	524.33	6.360	6.334	6.642	6.769	6.915	7.272	9.060	0.0317
										0.000240

Note: Q = ອຸຕະເກມ ພົດບໍລິມູນ, n = Manning's roughness coefficient, S_f = ຄວາມຄາດຫຼັມພື້ນງານ

ตารางที่ 4.12 ผลการวิเคราะห์ระดับน้ำโดยวิธี Backwater analysis (ต่อ)

วัน	เวลา	Q (m^3/s)	ระดับน้ำ (เมตร ราก.)					n	S_f
			1 ตร. อัตตะภาก	Sec1	Sec2	Sec3	Sec4		
7/11/2552	0:00	577.00	6.850	7.057	7.362	7.426	9.957	0.0288	0.000215
	1:00-3:00	641.20	6.640	6.560	6.862	7.075	7.235	7.426	0.0274 0.000235
	4:00-11:00	727.54	6.950	6.842	7.166	7.171	7.285	7.403	10.210 0.0253 0.000215
	12:00-6:00	800.10	7.157	7.105	7.126	7.147	7.207	7.284	10.297 0.0235 0.000190
	7:00-8:00	625.10	6.925	6.850	7.106	7.357	7.513	7.659	10.048 0.027 0.000210
	9:00-11:00	573.33	6.830	6.777	7.031	7.264	7.416	7.574	9.945 0.0287 0.000210
	12:00-14:00	518.23	6.543	6.570	7.007	7.316	7.539	7.867	9.804 0.0344 0.000260
	15:00-17:00	468.00	6.397	6.387	6.664	6.823	6.967	7.237	9.655 0.0315 0.000195
	18:00-19:00	433.20	6.190	6.194	6.485	6.616	6.761	7.076	9.528 0.034 0.000200
	20:00-23:00	403.65	6.003	6.060	6.319	6.439	6.580	6.921	9.392 0.0392 0.000245
8/11/2552	0:00	381.30	5.750	5.820	6.116	6.282	6.437	6.767	9.107 0.0327 0.000210
	8:00-13:00	303.10	4.950	5.025	5.427	5.621	5.790	5.929	8.815 0.0323 0.000235
	14:00-19:00	271.63	4.592	4.683	5.106	5.311	5.487	5.634	8.569 0.0337 0.000250
	21:00-1:00	244.35	4.328	4.523	4.856	5.061	5.237	5.388	8.322 0.0349 0.000250

ตารางที่ 4.12 ผลการวิเคราะห์ระดับน้ำ โดยวิธี Backwater analysis (ต่อ)

วัน	เวลา	Q (m^3/s)	ระดับน้ำ (เมตร ราก.)					n	S_f	
			1ตร. อุ่น	1ตร. ตื้อเย็น	Sec1	Sec2	Sec3	Sec4	Sec5	
10/11/2552	7:00-13:00	194.21	3.873	3.989	4.405	4.606	4.779	4.932	7.811	0.0376 0.000255
	15:00-20:00	164.46	3.776	3.878	4.238	4.406	4.560	4.698	7.409	0.0392 0.000240
11/11/2552	0:00-16:00	124.25	3.650	3.719	3.974	4.087	4.203	4.309	6.657	0.0401 0.000170
	11-12/11/2552	17:00-18:00	96.25	2.970	3.032	3.238	3.313	3.418	3.500	5.577 0.0352 0.000156
13-15/11/2552	19:00-7:00	53.93	2.590	2.628	2.745	2.791	2.856	2.909	4.584	0.0381 0.000100
	16/11/2552	7:00-9:00	70.30	3.600	3.614	3.678	3.703	3.738	3.790	5.167 0.0329 0.000060
17/11/2552	7:00-12:00	82.77	3.847	3.865	3.946	3.978	4.020	4.085	5.577	0.0343 0.000070
	18/11/2552	9:00-15:00	78.82	3.493	3.519	3.628	3.671	3.727	3.811	5.453 0.0372 0.000090
19/11/2552	7:00-18:00	97.08	3.696	3.734	3.886	3.944	4.017	4.133	5.985	0.0402 0.000120
	20/11/2552	8:00-21:00	117.82	4.169	4.206	4.365	4.425	4.499	4.622	6.520 0.0387 0.000120
21/11/2552	8:00-11:00	172.70	5.048	5.089	5.286	5.355	5.439	5.524	7.655	0.0388 0.000135
	12:00-14:00	220.40	5.173	5.220	5.464	5.551	5.657	5.756	8.094	0.0355 0.000160
	15:00-18:00	260.60	5.440	5.515	5.744	5.842	5.957	6.059	8.472	0.039 0.000180
	19:00-23:00	302.95	5.723	5.794	6.028	6.137	6.259	6.361	8.817	0.0369 0.000180

ตารางที่ 4.12 ผลการวิเคราะห์ระดับน้ำ โดยวิธี Backwater analysis (ต่อ)

แต่ก่อตั้งกันไป ดังนั้นในก่อนทำการคำนวณระดับน้ำ จำเป็นต้องหาค่าเฉลี่ยของระดับน้ำและอัตราการไหลของน้ำ เพื่อเป็นตัวแทนในการคำนวณระดับน้ำที่อัตราการไหลต่างๆ การคำนวณค่าระดับน้ำและค่าความลาดชันเนื่องจากการสูญเสียพลังงาน โดยวิธี Backwater analysis ทำได้โดยคำนวณพลังงานรวมจากหน้าประตูระบายน้ำอุ่ตະເກາ ແລ້ວคำนวณค่าระดับน้ำของคลื่งตามแน่งต่อไปโดยอ้างอิงค่าพลังงานรวมจากหน้าประตูระบายน้ำอุ่ตະເກາ ดังแสดงตัวอย่างการคำนวณในภาคผนวก ก ผลที่ได้ Backwater analysis นี้ นำไปคำนวณค่าหน่วยแรงเฉือนเนื่องจากการไหลของน้ำ (Boundary shear stress or apply shear stress, τ_c) ต่อไป

ผลการวิเคราะห์ค่าระดับน้ำโดยวิธี Backwater analysis ได้แสดงในตารางที่ 4.12 พบว่า อัตราการไหลของน้ำเพิ่มจาก $36.00 \text{ m}^3/\text{s}$ (ระดับ Base flow) เป็น $800.1 \text{ m}^3/\text{s}$ (ระดับผนวกหนัก) ส่งผลให้ค่าความลาดชันเนื่องจากการสูญเสียพลังงาน, S_f มีค่าเพิ่มขึ้นจาก 0.00002 เป็น 0.00027 ซึ่งมากกว่าค่าความลาดชันของห้องคลอง ($S_o = 0.0001$) เนื่องจากขณะนี้เกิดผนวกหนักทำให้น้ำในคลื่งเพิ่มระดับอย่างรวดเร็ว โดยใช้เวลาประมาณ 1 วันทำให้ระดับน้ำเต็มคลื่ง

4.6 ผลการประเมินค่าความต้านทานหน่วยแรงเฉือนวิกฤต (Critical shear stress, τ_c) ของดิน โดยวิธีการคำนวณย้อนกลับ (Back analysis)

จากคำแนะนำของ Lyle and Smerdon (1965); Hollick (1976) และ Briaud et al. (2001) ที่ระบุว่า Plasticity index (PI) และ Clay content (P_c) เป็นคุณสมบัติของดินที่สำคัญต่อการประมาณค่า τ_c ของ Cohesive soil ในทำงานเดียวกัน Simon (2006) ระบุว่า ค่า Mean diameter (D_{50}) จะมีผลมากที่สุดต่อค่า τ_c ของ Cohesionless soil ดังนั้นค่า τ_c เริ่มต้นในการวิเคราะห์ได้คำนวณโดยใช้สมการที่ 2.7 และ 2.8 สำหรับ Cohesive soil และ Cohesionless soil ตามลำดับดังแสดงในตารางที่ 4.16 – 4.20 ในส่วนของค่า k_d คำนวณจากสมการที่ 2.12 สำหรับดินทั้งสองชนิด

ผลการประมาณค่า τ_c ของดินริมคลองอุ่ตະເກาทั้ง 5 Sections โดยใช้ Back analysis ได้แสดงในตารางที่ 4.13 – 4.17 จากการวิเคราะห์พบว่า ค่า τ_c ของดิน CL ในทุก Sections มีค่ามากกว่า τ_c เริ่มต้นทั้งหมด โดยมีค่าอยู่ในช่วงประมาณ $3.241 – 11.055 \text{ Pa}$ ค่า τ_c ของดิน CL ที่ได้สอดคล้องกับผลการวิจัยของ Thoman and Niezgoda (2008) ที่ระบุว่า ค่า τ_c ของดิน CL อยู่ในช่วงประมาณ $3.16 – 14.84 \text{ Pa}$ ในทางตรงกันข้าม สำหรับดินประเภท SM มีค่า τ_c ที่ประมาณโดยวิธี Back analysis มีค่าน้อยกว่าค่าเริ่มต้นที่คำนวณจากสมการ 2.7 โดยมีค่า τ_c ระหว่าง 0.027 ถึง 0.110 Pa

ตารางที่ 4.13 ค่า ϑ_c และ k_d ของดินริมคลัง Section 1 จากผลของ Back analysis

Layer	USCS	Critical shear stress, ϑ_c (Pa)		Erodibility coefficient, k_d ($\text{cm}^3/\text{N.s}$)	
		Initial value from Eq. 2.7 or 2.8	Obtained using back - analysis	Initial value from Eq. 2.12	Obtained using back-analysis
1	CL	3.025	9.075	0.057	0.033
2	CL	3.685	11.055	0.052	0.030
3	CL	1.807	4.980	0.074	0.045
4	SM	0.058	0.070	0.415	0.378
5	SC	0.099	0.110	0.318	0.302

ตารางที่ 4.14 ค่า ϑ_c และ k_d ของดินริมคลัง Section 2 จากผลของ Back analysis

Layer	USCS	Critical shear stress, ϑ_c (Pa)		Erodibility coefficient, k_d ($\text{cm}^3/\text{N.s}$)	
		Initial value from Eq. 2.7	Obtained using back - analysis	Initial value from Eq. 2.12	Obtained using back-analysis
1	CL	1.132	3.397	0.094	0.054
2	CL	1.106	3.319	0.095	0.055
3	CL	1.080	3.241	0.096	0.056

ตารางที่ 4.15 ค่า ϑ_c และ k_d ของดินริมคลัง Section 3 จากผลของ Back analysis

Layer	USCS	Critical shear stress, ϑ_c (Pa)		Erodibility coefficient, k_d ($\text{cm}^3/\text{N.s}$)	
		Initial value from Eq. 2.7 or 2.8	Obtained using back - analysis	Initial value from Eq. 2.12	Obtained using back-analysis
1	CL	2.502	7.506	0.063	0.037
2	SM	0.093	0.046	0.328	0.466
3	SM	0.055	0.027	0.426	0.609
4	SM	0.077	0.039	0.360	0.506
5	SP	0.088	0.044	0.337	0.477

ตารางที่ 4.16 ค่า ϑ_c และ k_d ของดินริมคลื่ง Section 4 จากผลของ Back analysis

Layer	USCS	Critical shear stress, ϑ_c (Pa)		Erodibility coefficient, k_d ($\text{cm}^3/\text{N.s}$)	
		Initial value from Eq. 2.7	Obtained using back - analysis	Initial value from Eq. 2.12	Obtained using back-analysis
1	CL	1.662	4.98	0.071	0.045
2	ML	1.677	0.76	0.115	0.115
3	CL	1.459	4.38	0.083	0.048
4	CL	1.148	3.44	0.093	0.054

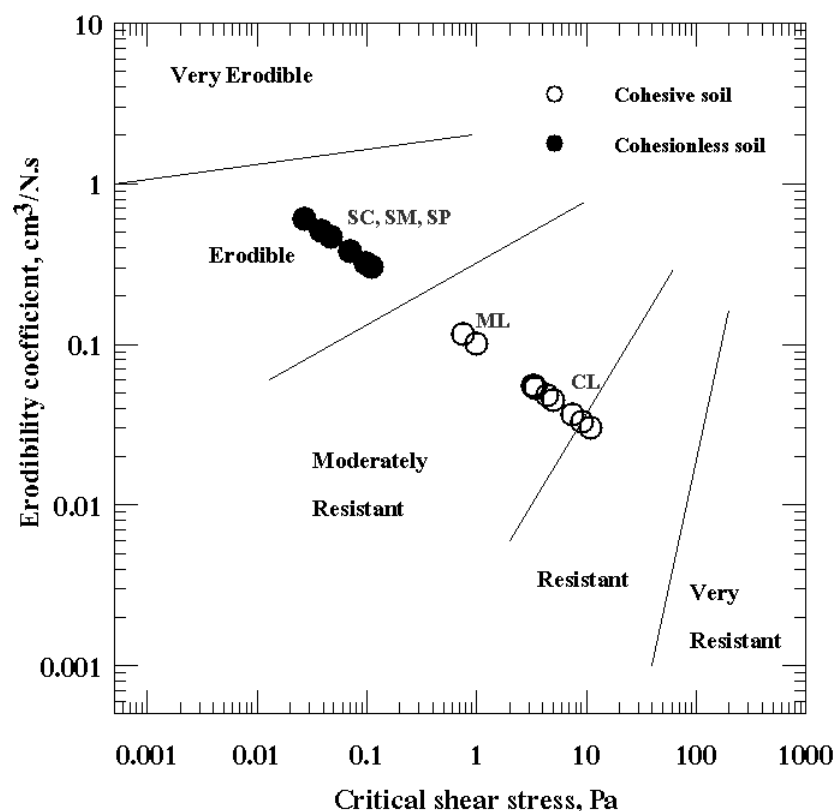
ตารางที่ 4.17 ค่า ϑ_c และ k_d ของดินริมคลื่ง Section 5 จากผลของ Back analysis

Layer	USCS	Critical shear stress, ϑ_c (Pa)		Erodibility coefficient, k_d ($\text{cm}^3/\text{N.s}$)	
		Initial value from Eq. 2.7 or 2.8	Obtained using back - analysis	Initial value from Eq. 2.12	Obtained using back-analysis
1	CL	1.099	3.288	0.095	0.055
2	ML	0.983	0.983	0.101	0.101
3	SC	0.084	0.098	0.345	0.319
4	SC	0.078	0.105	0.358	0.309

จากการวิเคราะห์ในครั้งนี้ทำให้ทราบลักษณะการพิบัติของคลื่ง ซึ่งพบว่าคลื่งทั้ง 4 (Section 2, 3, 4, 5) พิบัติหลังน้ำลด ซึ่งสอดคล้องกับคำอธิบายของ Rinaldi and Casagli (1999) ที่ระบุอย่างชัดเจนว่า คลื่งส่วนใหญ่จะพิบัติหลังน้ำลด (Rapid drawdown) ซึ่งในระหว่างฝนตก กำลังของดินริมคลื่งจะลดลงและคลื่งเริ่มสูญเสียเสถียรภาพ ทั้งนี้คลื่งยังไม่พิบัติเป็นผลมาจากการแรงดันจากระดับน้ำ (F_w) เป็นตัวช่วยรักษาเสถียรภาพ ระหว่างที่ระดับน้ำลดลงจากระดับเต็มคลื่ง เสถียรภาพของคลื่งจะลดลงอย่างรวดเร็วเนื่องจากกำลังของดินลดลงและที่สำคัญค่าแรงดันเนื้อจากกระดับน้ำ ในคลื่งลดลงด้วย ส่งผลให้คลื่งเกิดการพิบัติ จากการวิเคราะห์พบว่าคลื่งเกิดการพิบัติเมื่อระดับน้ำในคลื่งลดระดับลงจากระดับเต็มคลื่ง (Bankfull elevation) หรือระดับน้ำสูงสุดประมาณ 0.381 – 0.655 m ซึ่งการลดลงของระดับน้ำที่ระดับเต็มคลื่งถึงระดับน้ำที่ทำให้คลื่งพิบัติใช้เวลาประมาณ 10 ชั่วโมง

4.6.1 Classification of erodibility

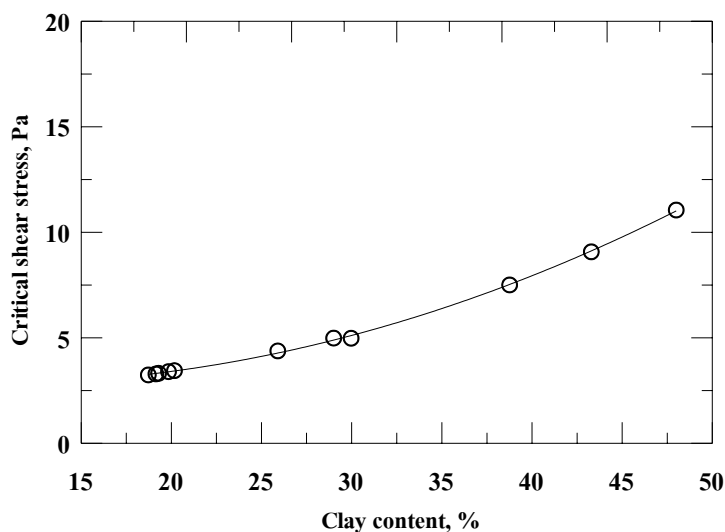
ค่า ϑ_c และ k_d บ่งบอกถึงความสามารถในการต้านการกัดเซาะของดิน ทั้งนี้ขึ้นอยู่ กับความสัมพันธ์ระหว่างค่าทั้งสองตามคำแนะนำของ Hanson and Simon (2001) ที่ได้ทำการจำแนกประเภทของดินที่เกี่ยวข้องกับการกัดเซาะ โดยพิจารณาจากค่า ϑ_c และ k_d แบ่งออกเป็น 5 ประเภท ได้แก่ Very erodible, Erodible, Moderately resistant, Resistant และ Very resistant ดัง แสดงในรูปที่ 2.14 ผลการจำแนกประเภทของดินที่เกี่ยวข้องกับการกัดเซาะของดินริมคลองอุ่ ตะเกาในพื้นที่ศึกษาทั้ง 5 Sections พบว่าดิน SC, SM และ SP เป็นดินประเภทที่มีความต้านทานต่อ การกัดเซาะน้อย (Erodible) ในส่วนของดิน ML เป็นดินประเภทที่มีความต้านทานต่อการกัดเซาะ ปานกลาง (Moderately resistant) และดิน CL เป็นดินประเภทที่มีความต้านทานต่อการกัดเซาะปาน กลาง – ต้านทานต่อการกัดเซาะ (Moderately resistant – Resistant) ดังแสดงในรูปที่ 4.24



รูปที่ 4.24 Classification of soil erodibility ของดินริมคลองอุ่ ตะเกา (ตาม Hanson and Simon, 2001)

4.6.2 ความสัมพันธ์ระหว่าง ϑ_c และ ปริมาณดินเหนี่ยวและดัชนีความเหนี่ยว

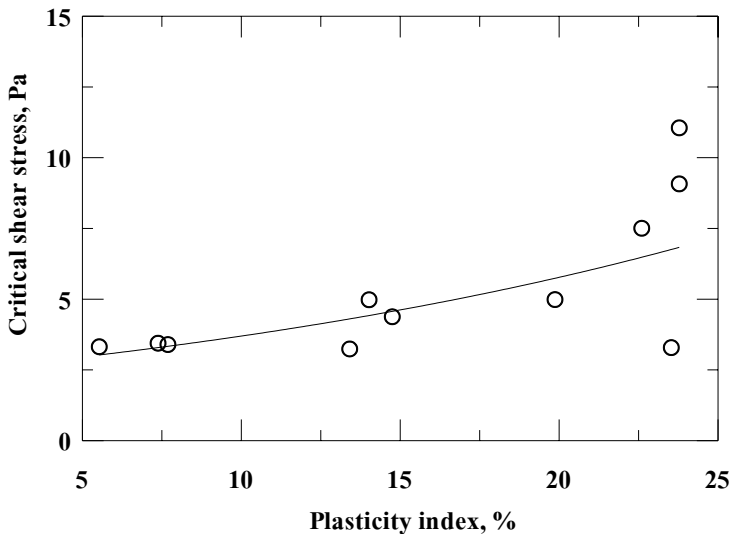
ผลการประเมินค่าความต้านทานหน่วยแรงเฉือนวิกฤตของดินในส่วนของ Cohesive soil เมื่อนำมาพิจารณาร่วมกับคุณสมบัติที่เกี่ยวข้อง เช่น ปริมาณดินเหนี่ยวโดยน้ำหนัก (Clay content, P_c) และ ดัชนีพลาสติก (Plasticity index, PI) ตามคำแนะนำของ Thoman and Niezgoda (2008) ที่ระบุว่าคุณสมบัติทางกายภาพทั้งสองมีความสำคัญต่อการวิเคราะห์การกัดเซาะของดินประเภท Cohesive soil ความสัมพันธ์ระหว่างคุณสมบัติทางกายภาพของดินทั้งสองกับค่าความต้านทานหน่วยแรงเฉือนวิกฤตของดินได้แสดงไว้ในรูปที่ 4.25 – 4.26 และสมการ 4.1 และ 4.2 พบว่าค่าความต้านทานหน่วยแรงเฉือนวิกฤตของดิน CL สัมพันธ์กับค่า P_c และ PI ในรูปของสมการ Exponential ซึ่งถ้าพิจารณาความน่าเชื่อถือในรูปแบบของ R^2 พบว่าสมการความสัมพันธ์ระหว่าง ϑ_c และ Clay content มีค่า $R^2 = 0.9992$ ซึ่งมีความน่าเชื่อถือมากกว่าความสัมพันธ์ระหว่าง ϑ_c และ Plasticity index ($R^2 = 0.5043$) ซึ่งใกล้เคียงกับผลการทดสอบของ Kamphuis and Hall (1983)



รูปที่ 4.25 ความสัมพันธ์ระหว่างความต้านทานหน่วยแรงเฉือนวิกฤตของดินและปริมาณดินเหนี่ยวของดิน CL

$$\vartheta_c \mid 1.474 e^{0.042 P_c} \quad (4.1)$$

$$\vartheta_c \mid 2.367 e^{0.044 PI} \quad (4.2)$$



รูปที่ 4.26 ความสัมพันธ์ระหว่างความต้านทานหน่วยแรงเฉือนวิกฤตของดินและค่าพลาสติกของดิน CL

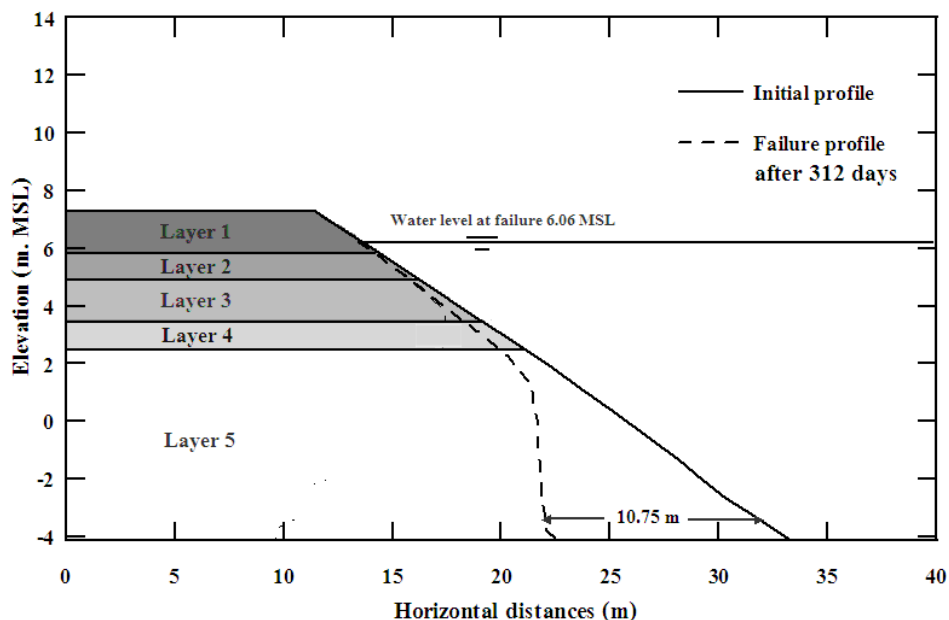
4.7. แนวทางป้องกันคลื่นจากการพิบัติและการกัดเซาะ

จากการประมาณค่าความต้านทานหน่วยแรงเฉือนวิกฤตของดิน พบว่าต่ำงบางตำแหน่งมีความต้านทานต่อการกัดเซาะต่ำมาก ซึ่งดินจะถูกกัดเซาะได้ง่าย โดยเฉพาะต่ำงประเภท Composite bank ซึ่งจะถูกกัดเซาะที่ชั้นทราย ดังนั้นในการปรับปรุงเส้นทางของคลื่นต้องทำการป้องกันการกัดเซาะที่ชั้นทราย เช่น การเรียงหินหน้าต่ำลึ่ง ซึ่งคล้ายคลึงกับแนวทางการป้องกันคลื่นของสำนักชลประทานที่ 16

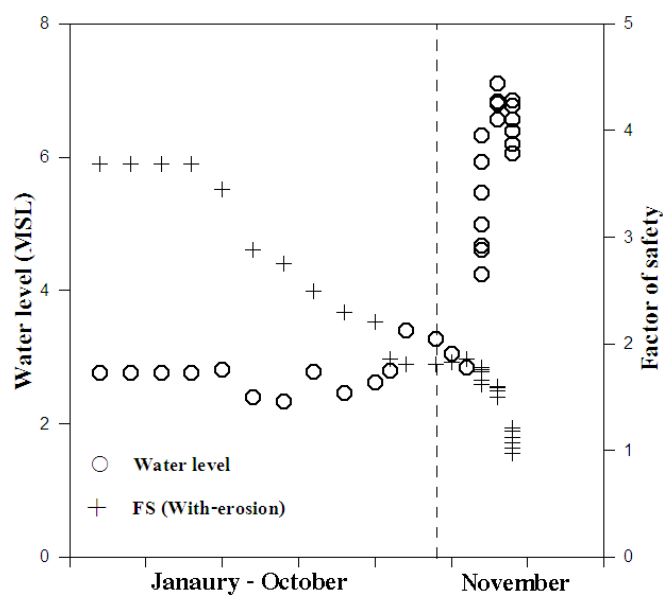
แนวทางการป้องกันคลื่น พิจารณาตามแนวทางของสำนักชลประทานที่ 16 ประกอบไปด้วย 3 แบบดังนี้ 1) การปรับความลาดของคลื่น 2) การเรียงหินหน้าต่ำลึ่ง (Riprap) และ 3) การปรับปรุงเส้นทางโดยวิธีคาดคะเนกรีต ซึ่งแต่ละวิธีเหมาะสมกับคลื่นที่แตกต่างกัน ดังนี้ในการวิจัยครั้งนี้ได้เลือกวิธีปรับความลาดและวิธีเรียงหินหน้าต่ำลึ่ง เนื่องจากเป็นวิธีที่เหมาะสมกับคลื่นในพื้นที่ศึกษามากที่สุด ใน การวิเคราะห์เริ่มจากการปรับความลาดของคลื่นเป็น $2H : 1V$ โดยจำลองให้มีการไหลของน้ำตลอด 1 ปีตามสภาพจริงที่อาจจะเกิดขึ้นในอนาคต

พิจารณาการเปลี่ยนแปลงสภาพตัวของคลื่น แสดงในรูปที่ 4.27– 4.36 พบว่า Section 1, 3 และ 5 ซึ่งเป็น Composite bank มีการเปลี่ยนแปลงสภาพตัวของคลื่นมาก ระยะการกัดเซาะมากสุดประมาณ $6.96 – 10.75$ เมตร จากแนวต่ำสุด

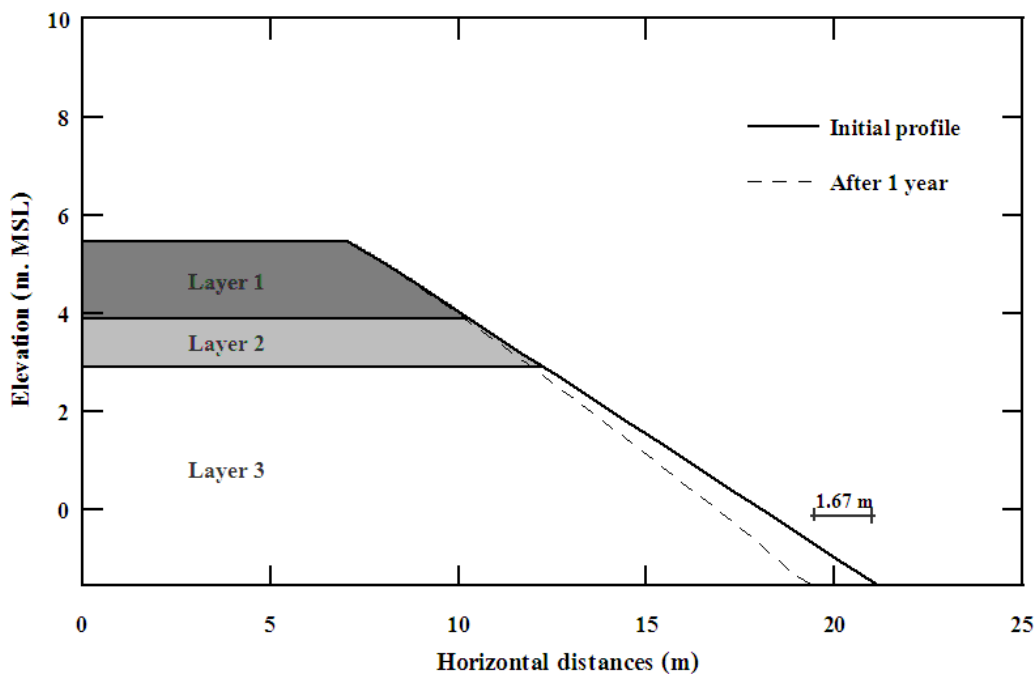
(ตารางที่ 4.18) ส่งผลให้อัตราส่วนความปลอดภัยลดลงจนเกิดการพิบัติ ซึ่งต่อไปจะเกิดการพิบัติ ในช่วงเดือนพฤษภาคม (ระดับน้ำสูง) แต่ในทางกลับกัน Section 2 และ 4 ซึ่งเป็น Cohesive bank มีการเปลี่ยนแปลงภาพตัดขวางของตลิ่งน้อย โดยมีระยะภารกัดเช่าสูงสุดประมาณ 1.35 – 1.67 เมตร จากแนวตั้งเดิม ซึ่งทั้งสอง Sections นี้ยังมีเสถียรภาพเมื่อระยะเวลาผ่านไป 1 ปี



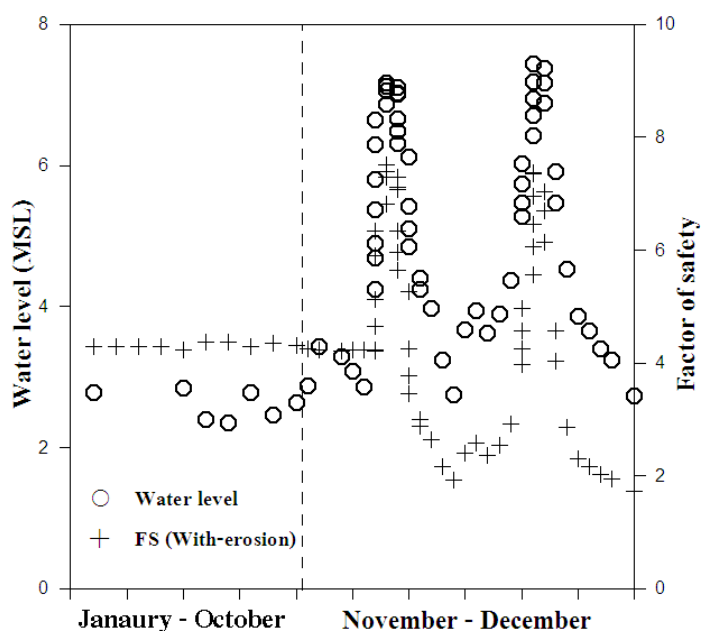
รูปที่ 4.27 การเปลี่ยนแปลงภาพตัดขวางของตลิ่ง Section 1 เมื่อระยะเวลาผ่านไปจนเกิดการพิบัติ



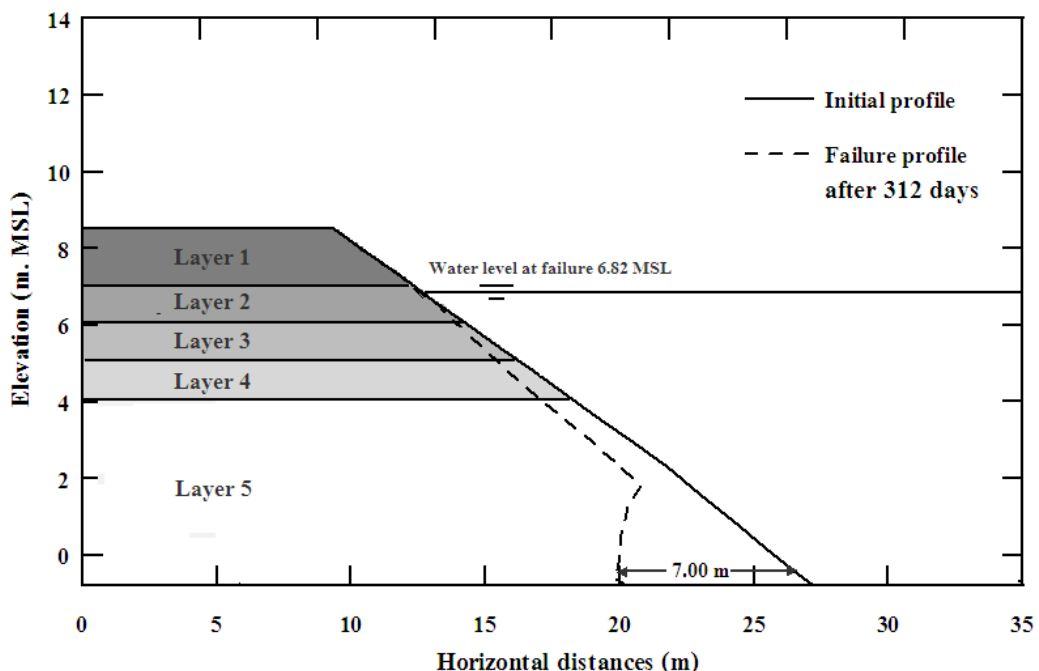
รูปที่ 4.28 อัตราส่วนความปลอดภัยของตลิ่ง Section 1 ที่ทำการปรับความลาด
เมื่อระยะเวลาผ่านไปจนเกิดการพิบัติ



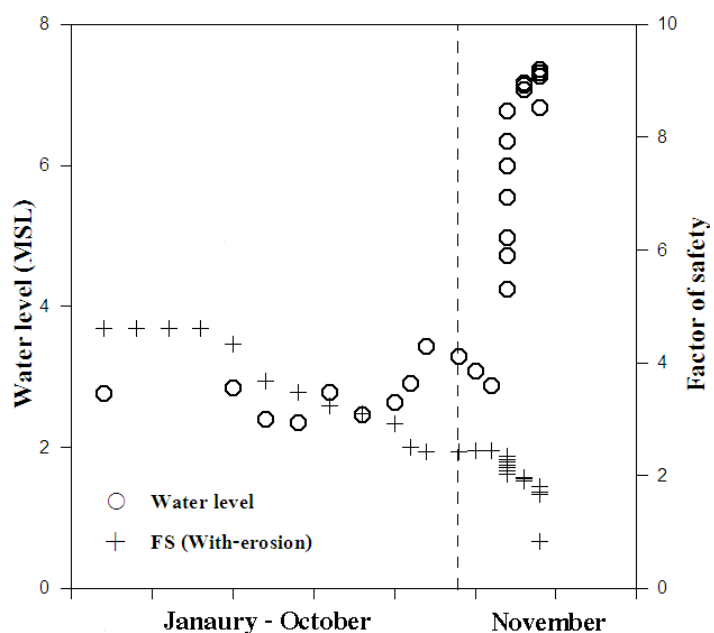
รูปที่ 4.29 การเปลี่ยนแปลงสภาพตัดขวางของตลิ่ง Section 2 เมื่อระยะเวลาผ่านไป 1 ปี



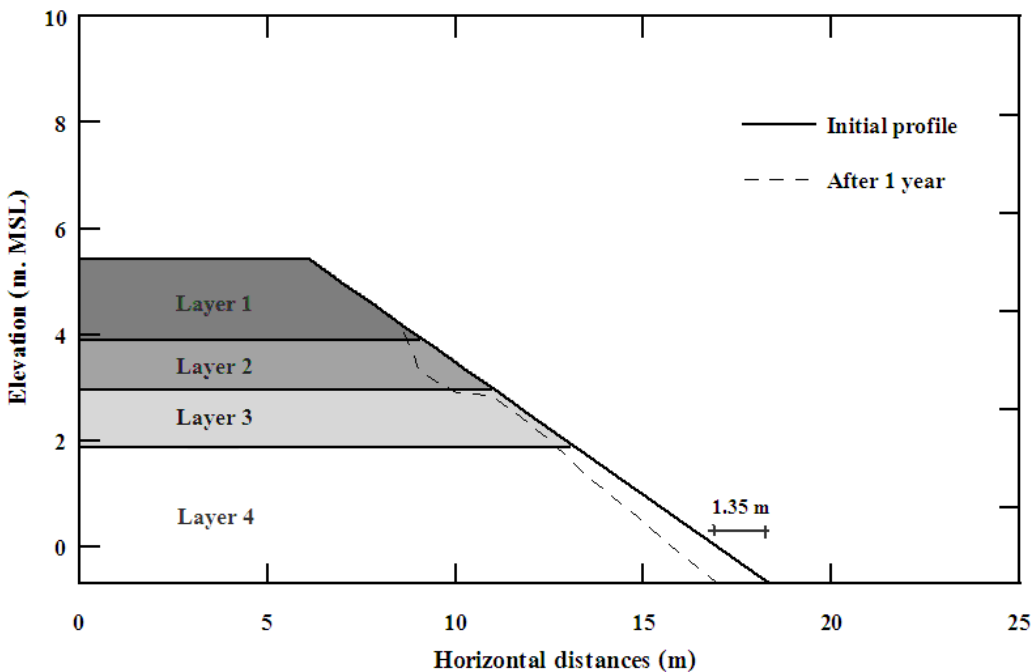
รูปที่ 4.30 อัตราส่วนความปลอดภัยของตลิ่ง Section 2 ที่ทำการปรับความลาด
เมื่อระยะเวลาผ่านไป 1 ปี



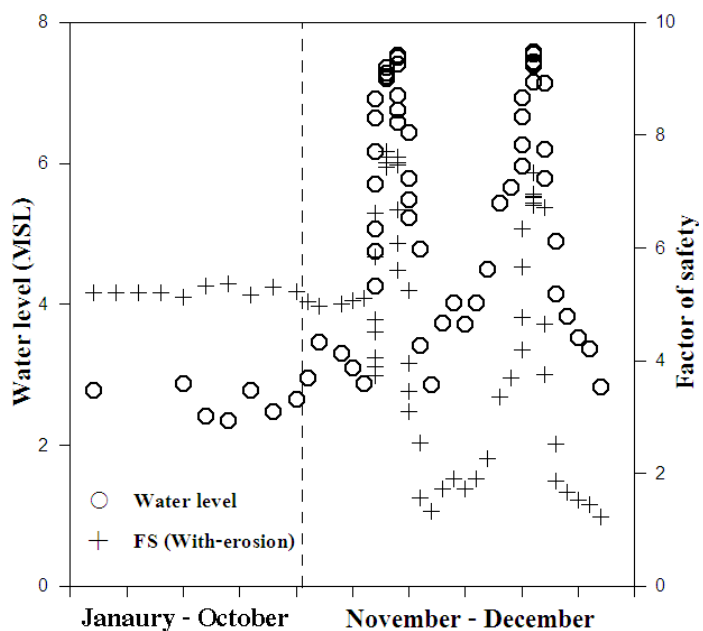
รูปที่ 4.31 การเปลี่ยนแปลงสภาพด้วยของตลิ่ง Section 3 เมื่อระยะเวลาผ่านไปจนเกิดการพิบัติ



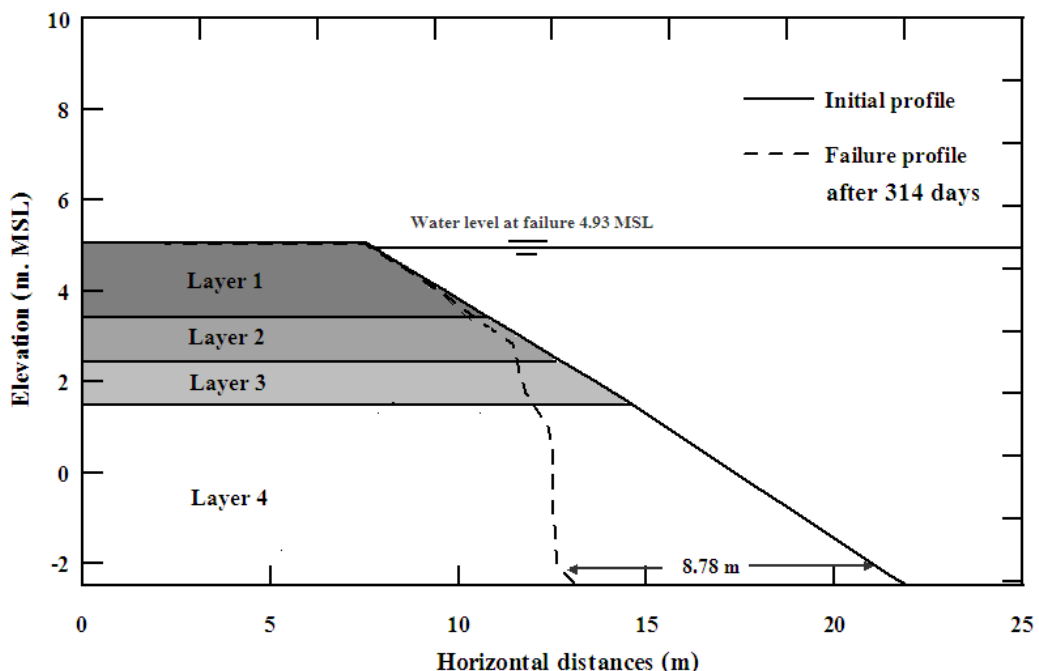
รูปที่ 4.32 อัตราส่วนความปลอดภัยของตลิ่ง Section 3 ที่ทำการปรับความลาด
เมื่อระยะเวลาผ่านไปจนเกิดการพิบัติ



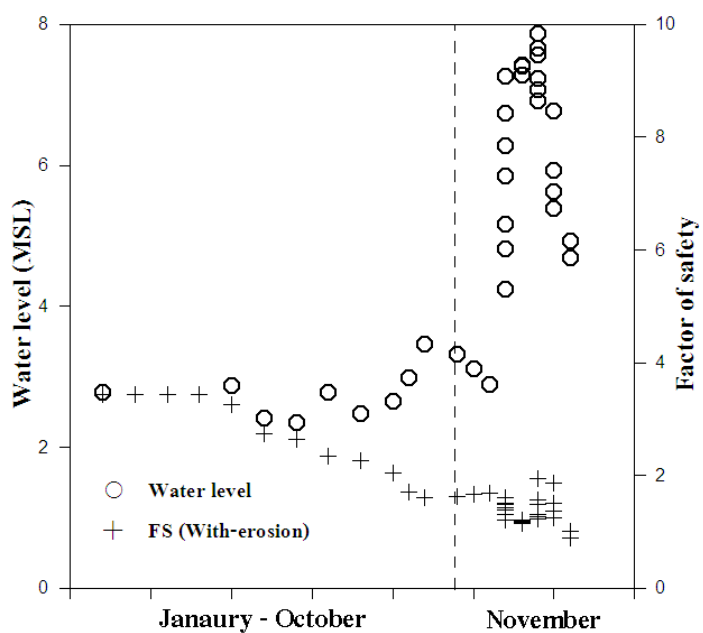
รูปที่ 4.33 การเปลี่ยนแปลงสภาพตัดขวางของตลิ่ง Section 4 เมื่อระยะเวลาผ่านไป 1 ปี



รูปที่ 4.34 อัตราส่วนความปลอดภัยของตลิ่ง Section 4 ที่ทำการปรับความลาด
เมื่อระยะเวลาผ่านไป 1 ปี



รูปที่ 4.35 การเปลี่ยนแปลงสภาพดักขวางของตลิ่ง Section 5 เมื่อระยะเวลาผ่านไปจนเกิดการพิบัติ



รูปที่ 4.36 อัตราส่วนความปลอดภัยของตลิ่ง Section 5 ที่ทำการปรับความลาด
เมื่อระยะเวลาผ่านไปจนเกิดการพิบัติ

ตาราง 4.18 แนวทางการเพิ่มเสถียรภาพและการป้องกันการกัดเซาะของคลื่น

Section	วิธีการป้องกันคลื่น	ระยะการกัดเซาะ มากสุด, เมตร	ช่วงเวลาที่เกิด การพิบัติ (เดือน)	วิธีการป้องกันคลื่นที่เลือกใช้
1	ปรับความลาด 2H : 1V	10.75	พฤษภาคม	การปรับความลาด + การเรียงหินหน้าคลื่น
2	ปรับความลาด 2H : 1V	1.67	ไม่เกิดการพิบัติ	ปรับความลาด 2H : 1V
3	ปรับความลาด 2H : 1V	7	พฤษภาคม	การปรับความลาด + การเรียงหินหน้าคลื่น
4	ปรับความลาด 2H : 1V	1.35	ไม่เกิดการพิบัติ	ปรับความลาด 2H : 1V
5	ปรับความลาด 2H : 1V	8.78	พฤษภาคม	การปรับความลาด + การเรียงหินหน้าคลื่น

จากการวิเคราะห์และสรุปผลการเพิ่มเสถียรภาพและการป้องกันการกัดเซาะของคลื่นอยู่ทั้ง 5 Sections ดังแสดงในตารางที่ 4.18 พบว่า Cohesive riverbanks (Section 2 และ 4) ไม่เกิดการพิบัติในช่วงระยะเวลา 1 ปี จึงใช้การปรับความลาดของคลื่นเป็นแนวทางในการเพิ่มเสถียรภาพของคลื่น ได้ อย่างไรก็ตามพบว่า Composite riverbanks (Section 1, 3, 5) มีการพิบัติช่วงเดือนพฤษภาคม (ระดับน้ำสูง) จึงไม่สามารถใช้การปรับความลาดในการป้องกันคลื่นได้ ดังนั้นการป้องกันคลื่นของ Composite riverbanks คือการปรับความลาดร่วมกับการเรียงหินหน้าคลื่น เพื่อเพิ่มเสถียรภาพของคลื่นและป้องกันการกัดเซาะในชั้นทราย

บทที่ 5

สรุปผลการศึกษาและข้อเสนอแนะ

5.1 สรุปผลการศึกษา

การศึกษาคุณสมบัติทางกายภาพและวิศวกรรมของ, การศึกษาเสถียรภาพของคลังรวมไปถึงการประมาณค่าหน่วงแรงเนื้อนวิกฤตของดินริมคลองอู่ตะเภาในพื้นที่ศึกษาทั้ง 5 Sections มีข้อสรุปดังต่อไปนี้

5.1.1 ดินตัวอย่างจากคลองอู่ตะเภาประกอบไปด้วยดินประเภท CL, ML, SC, SM และ SP มีค่ากำลังของดินในสภาพความชื้นธรรมชาติดังตารางต่อไปนี้

Soil types	Effective cohesion, c' (kPa)	Effective internal friction angle, λ' (Degree)
Low plasticity clay (CL)	7.86 – 61.13	19.59 – 28.76
Low plasticity silt (ML)	4.66 – 6.59	28.53 – 29.33
Clayey sand (SC)	7.91 – 14.56	27.06 – 29.59
Silty sand (SM)	9.69 – 20.72	28.98 - 34.47
Poorly graded sand (SP)	2.12	28.67°

5.1.2 ผลการทดสอบ Direct shear test ในกรณีที่ดินอิ่มตัวด้วยน้ำของตัวอย่างดินทั้งหมดที่ทำการศึกษา พบว่าค่า Effective cohesion ของดินตัวอย่างลดลงจากสภาพความชื้นธรรมชาติประมาณ 36.00 – 98.56%

5.1.3 ผลการจำลองการพิบัติของคลองอู่ตะเภา พบว่าคลังเกิดการพิบัติสูบเนื่องมาจากปัจจัย 2 ประการคือ การกัดเซาะเนื่องจากการไหลของน้ำและการลดลงของระดับน้ำทันทีทันใด (Rapid drawdown)

5.1.4 ผลการวิเคราะห์ระดับโดยวิธี Backwater analysis พบว่าค่าความลาดชันเนื่องจากการสูญเสียพลังงาน (S_f) เพิ่มขึ้นจาก 0.00002 ถึง 0.00027 ในขณะที่ค่าระดับน้ำในตลิ่งเพิ่มขึ้นจาก 2.00 เมตร ราก. ถึงระดับน้ำที่ลินตลิ่ง

5.1.5 ผลการวิเคราะห์การกัดเซาะและเสถียรภาพของตลิ่งทั้ง 5 Sections พบว่า ตลิ่งเกิดการพิบัติเนื่องจากระดับน้ำลดลงทันทีทันใด (Rapid drawdown) โดยที่ระดับน้ำลดลงประมาณ 0.381 ถึง 0.655 เมตร จากระดับน้ำที่เต็มคลิ่งหรือระดับน้ำสูงสุด ทำให้ตลิ่งเกิดการพิบัติ

5.1.6 ผลการประมาณค่า Critical shear stress และค่า Erodibility coefficient โดยวิธี Back analysis พบว่า ค่า Critical shear stress และค่า Erodibility coefficient ของ Cohesive soil มีค่าอยู่ในช่วง $0.758 - 11.055 \text{ Pa}$ และ $0.045 - 0.115 \text{ cm}^3/\text{N.s}$ ตามลำดับ ซึ่งจำแนกอยู่ในจำพวกดินประเภทที่มีความต้านทานต่อการกัดเซาะปานกลาง – ต้านทานต่อการกัดเซาะ (Moderately resistant – Resistant) ในส่วนของ Cohesionless soil มีค่า Critical shear stress และค่า Erodibility coefficient อยู่ในช่วง $0.027 - 0.110 \text{ Pa}$ และ $0.302 - 0.609 \text{ cm}^3/\text{N.s}$ ซึ่งจำแนกอยู่ในจำพวกดินประเภทที่มีความต้านทานต่อการกัดเซาะน้อย (Erodible)

5.1.7 ความสัมพันธ์ระหว่างค่า Critical shear stress และปริมาณดินเหนียว (Clay content, P_c) และดัชนีความเหนียว (Plasticity index, PI) ของดินริมคลองอุ่ตະເກາ พบว่า สัมพันธ์กันในรูปของสมการ Exponential โดยค่า Critical shear stress (Pa) ที่คำนวณจากค่า Clay content (%) มีความน่าเชื่อถือมากกว่า ดังแสดงในสมการดังต่อไปนี้

$$\vartheta_c | 1.474 e^{0.042 P_c}, R^2 = 0.999$$

5.1.8 การกำหนดแนวทางการป้องกันการพิบัติและการกัดเซาะของตลิ่งคลองอุ่ตະເກາ พบว่า สำหรับ Composite riverbanks (Section 1, 3, 5) ควรใช้การปรับความลาดร่วมกับการเรียงหินหน้าตลิ่งเพื่อป้องกันการกัดเซาะในชั้นทรายเป็นแนวทางในการป้องกันตลิ่ง ในส่วนของ Cohesive riverbanks (Section 2, 4) ควรใช้การปรับความลาด เนื่องจากชั้นดินของตลิ่งมีความต้านทานต่อการกัดเซาะมากถ้าเทียบกับ Composite riverbanks

5.2 ข้อเสนอแนะ

5.2.1 การทดสอบตัวอย่างดินโดยวิธี Direct shear test ควรดัดแปลงให้ใช้ร่วมกับกับเครื่องมือตรวจวัด (Instrument) ต่างๆ เช่น Load cell และ Displacement transducer เป็นต้น

รวมทั้งการเก็บข้อมูลความมีอุปกรณ์ประเภทตัวช่วยบันทึกข้อมูล (Data logger) ช่วยในการเก็บบันทึกข้อมูล

5.2.2 การตรวจวัดภาพตัดของตลิ่งก่อนและหลังพิบบัดิ ควรใช้อุปกรณ์ในการตรวจการกัดเซาะในสนาમ เช่น Erosion pin และ Erosion frame เป็นต้น เพื่อความแม่นยำในการวิเคราะห์เสถียรภาพของตลิ่ง

5.2.3 การวิเคราะห์เสถียรภาพของตลิ่งควรใช้โน้มเดลการไอลซึมของน้ำใต้ดินร่วมกับการวิเคราะห์เสถียรภาพ โดยเฉพาะช่วงระยะเวลาที่ระดับน้ำในตลิ่งลดลงทันทีทันใด (Rapid drawdown)

5.2.4 ผลของค่าระดับน้ำที่ลดลงทันทีทันใด (Rapid drawdown) ที่ได้มาจากการวิเคราะห์ซึ่งนำมากำหนดเป็นแนวทางในการลดระดับน้ำ มีความน่าเชื่อถือในระดับหนึ่ง ควรมีการตรวจสอบความถูกต้องในสนาમประกอบกันไปด้วย เพื่อเพิ่มความน่าเชื่อถือของผลการวิจัย

5.2.5 สมการความสัมพันธ์ระหว่างค่า χ_c และปริมาณดินเหนียว ที่ประมาณได้จากวิธี Back analysis เป็นค่าที่เหมาะสมสำหรับดินริมคลองอู่ตะเภาเท่านั้น ซึ่งการนำไปใช้กับดินสำหรับตลิ่งตำแหน่งอื่นควรคำนึงถึงเงื่อนไขเฉพาะ (Site – specific condition) ของตลิ่งแต่ละพื้นที่ด้วย

5.2.6 การพิจารณาเลือกใช้วิธีการใดๆ ในการป้องกันการพิบบัดิและการกัดเซาะของตลิ่ง จะต้องมีการศึกษาวิเคราะห์ทั้งข้อมูลทางวิศวกรรม ความคุ้มค่าทางเศรษฐกิจและสิ่งแวดล้อม ต่างๆ รวมถึงความเห็นของประชาชนในพื้นที่ด้วย ว่าแนวทางเลือกวิธีใดจะสามารถทำให้ลาดคินเกิดเสถียรภาพ คุ้มค่า ถูกต้องตามหลักวิชาการ เหมาะสมและเป็นไปได้ในทางปฏิบัติมากที่สุด

บรรณานุกรม

นงลักษณ์ ไทรเจียมอารีย์ (2547). เสถียรภาพของลาดดินในพื้นที่ลุ่มน้ำก่อโดยใช้คุณสมบัติทางวิศวกรรม. วิทยานิพนธ์วิศวกรรมศาสตร์มหาบัณฑิต, สาขาวิศวกรรมโยธา ภาควิชาวิศวกรรมโยธา, มหาวิทยาลัยเกษตรศาสตร์.

บรรพต กุลสุวรรณ (2548). การศึกษาภูติกรรมการพิบัติของลาดดินในพื้นที่ต้นน้ำของลุ่มน้ำย่อยแม่น้ำจันทบุรี. วิทยานิพนธ์วิศวกรรมศาสตร์มหาบัณฑิต, สาขาวิศวกรรมโยธา ภาควิชาวิศวกรรมโยธา, มหาวิทยาลัยเกษตรศาสตร์.

มานะ อภิพัฒนวนตรี (2541). วิศวกรรมปฐพีและฐานราก. สมาคมส่งเสริมเทคโนโลยี (ไทย-ญี่ปุ่น). กรุงเทพมหานคร.

สุทธิศักดิ์ ศรลัมพ์, วรวชร์ ตอวิวัฒน์ และ บรรพต กุลสุวรรณ (2550). การทดสอบกำลังรับแรงเฉือนของดินเพื่อสนับสนุนการเตือนภัยดินถล่มจากฝันตอกหนัก. การประชุมวิชาการวิศวกรรมโยธาแห่งชาติครั้งที่ 12. 2 - 4 พฤษภาคม 2550. โรงแรมอมรินทร์ลากูน จังหวัดพิษณุโลก.

สันติ ไวยน่วงษ์ (2550). การวิเคราะห์โอกาสเกิดแผ่นดินถล่มเนื่องจากปัจจัยที่ไม่คงที่ในจังหวัดภูเก็ต. การประชุมวิชาการวิศวกรรมโยธาแห่งชาติครั้งที่ 12. 2 - 4 พฤษภาคม 2550. โรงแรมอมรินทร์ลากูน จังหวัดพิษณุโลก.

สุทธิศักดิ์ ศรลัมพ์, บรรพต กุลสุวรรณ และ วรวชร์ ตอวิวัฒน์ (2550). การวิเคราะห์ค่า API วิกฤติเพื่อใช้ในการเตือนภัยดินถล่มจากฝันตอกหนัก. การประชุมวิชาการวิศวกรรมโยธาแห่งชาติครั้งที่ 12. 2 – 4 พฤษภาคม 2550. โรงแรมอมรินทร์ลากูน จังหวัดพิษณุโลก.

Abramson, L.W., Lee, T.S., Sharma S. and Boyce, G.M. (2001). *Slope Stability and Stabilization Method*. John Wiley & Sons. U.S.A.

Aitchison, G.D. (1965). Soil Properties Shear Strength and Consolidation. *Proceedings of the sixth International conference on Soil Mechanics. and Foundation Engineering* 3: 318-321

Arulanandan, K., Gillogley, E. and Trulley, R. (1980). Development of a quantitative method to predict critical shear stress and rate of erosion of natural undisturbed cohesive soils. Rep. No GL-80-5 . U.S. Army Engineer Waterways Experiment Station. Vicksburg. Miss.

Bishop, A. W. (1955). The use of the slip circle in the stability analysis of slopes. *Geotechnique* 5: 7-17.

- Brain, D. and Dobroslave, Z. (2004). Stability Analyses of Rainfall Induced Landslides. *Journal of Geotechnical and Geoenvironmental Engineering* 130(4): 362-372.
- Briaud, J.L., Ting, F., Chen, H. C., Cao, Y., Han, S.W., and Kwak, K. (2001). Erosion function apparatus for scour rate predictions. *Journal of Geotechnical and Geoenvironmental Engineering* 127(2): 105-113.
- Dillaha, T. A. and D. B. Beasley. (1983). Distributed parameter modeling of sediment movement and particle size distribution. *Transactions of the ASAE* 26(6): 1716-1722.
- Foster, G. R., Meyer, L. D. and Onstad, C. A. (1977). An erosion equation derived from basic erosion principles. *Transactions of the ASAE* 20(4): 678-682.
- Fredlund, D. G. and Krahn, J. (1977). Compaction of slope stability methods of analysis. *Canadian Geotechnical* 14: 429-439.
- Fredlund, D.G. and Rahardjo, H. (1993). *Soil Mechanics for Unsaturated Soils*. John Wiley & Son. New York 515 p.
- Fukuoka, M. (1979). Causes of Landslides - Earthquakes, Rains and Pore Water Pressures. *Proceedings of the sixth Asian regional conference on Soil Mechanics. and Foundation Engineering* Vol.1. Toppan Printing Co. Singapore: 221-224.
- Graf, W. H. (1984). Hydraulics of sediment transport. *Water Resources Publications*. LLC. Highlands Ranch. Colo.
- Hagerty, D., Sharifounnasab, M. and Spoor, M. (1983). River bank erosion - A case study. *Bulletin of the Association of Engineering Geologists*, vol. 20, No 4: 411-437.
- Hanson, G. J. (1989). Channel erosion study of two compacted soils. *Transactions of the ASAE* 32(2): 485-490.
- Hanson, G. J. (1991). Development of a jet index to characterize erosion resistance of soils in earthen spillways. *Transactions of the ASAE* 34(5): 2015-2020.
- Hanson, G. J. and Cook, K. R. (1997). Development of excess shear stress parameters for circular jet testing. *ASAE*. Paper No. 972227. St. Joseph. Mich.: ASAE.
- Hanson, G. J. and Cook, K. R. (1999). Determining erosion resistance of cohesive materials. *Proceedings of ASCE International Water Resources Engineering Conference*. CD-ROM. Seattle. Wash. ASCE.

- Hanson, G. J. and Simon, A. (2001). Erodibility of cohesive streambeds in the loess area of the Midwestern USA. *Hydrological Processes* 15(1): 23-38.
- Hanson, G. J. and Cook, K. R. (2004). Apparatus, test procedures, and analytical methods to measure soil erodibility in situ. *Applied Engineering in Agriculture* 20(4): 455-462.
- Hollick, M (1976). Towards a routine test for the assessment of critical tractive forces of cohesive soils. *Transactions of the ASAE* 19 (6): 1076-1081.
- Ho, D.Y.F. and Fredlund, D.G. (1982). Increase in Strength Due to Suction for Two Hong Kong Soils. *Proceedings of the ASCE Specialty Conference on Engineering and Construction in Tropical and Residual Soils*. Honolulu, Hawaii: 263-295.
- Hutchinson, D. L. (1972) Physics of erosion of cohesive soils. Ph.D. thesis. University of Auckland, New Zealand.
- Julian, J. P. and Torres, R. (2006). Hydraulic erosion of cohesive riverbanks. *Geomorphology* 76: 193-206.
- Kamphuis, J. W. and Hall, K.R. (1983). Cohesive material erosion by unidirectional current. *Journal of Hydraulic Engineering* 109(1): 49-61.
- Karmaker, T. and Dutta, S. (2011). Erodibility of fine soil from the composite river bank of Brahmaputra in India. *Hydrological Processes* 25: 104-111.
- Kasim, F., Fredlund, D.G. and Gen, J.K.-M. (1998). The Effect of Steady State Rainfall on Long Term Matric Suction Conditions in Soil. *Proceedings of the Annual Seminar on Slope Engineering in Hong Kong*. Hong Kong, 2 May 1997: 75-82.
- Langendoen, E. J. (2000). CONCEPTS-CONservation Channel Evolution and Pollutant Transport System. *Research Report 16*. US Department of Agriculture Agricultural Research Service National Sedimentation Laboratory, Oxford, MS.
- Morgenstern, N. R. and Price, V. E. (1965). The analysis of the stability of general slip surfaces. *Geotechnique* 15: 79-83.
- Olson, R.E. and Langfelder, L.J. (1965). Pore-Water Pressure in Unsaturated Soils. *Journal of the Soil Mechanics and Foundations Division, ASCE* 91 SM4.
- Osman, A. M. and Thorne, C. R. (1998). Riverbank stability analysis: I. Theory. *Journal of Hydraulic Engineering* 114 (2) : 134-150.

- Pollen-Bankhead, N and Simon, A. (2009). Enhanced application of root-reinforcement algorithms for bank-stability modeling. *Earth Surface Processes and Landforms* 34(4): 471-480.
- Price, T. (2006). Warwick University Available source : <http://fbe.uwe.ac.uk/public/geocal/SLOPES/SLOPES.HTML> as retrieved on 3 Oct 2006.
- Rinaldi, M. and Casagli, N. (1999). Stability of streambanks in partially saturated soils and effects of negative pore water pressures: the Sieve River. *Geomorphology* 26: 253-277.
- Simon, A., Curini, A., Darby, S.E. and Langendoen, E.J. (1999). Streambank mechanics and the role of bank and near bank processes in incised channels. *Incised River Channels*. John Wiley & Sons. NY.
- Simon A., Curini A., Darby S.E., Langendoen E.J. (2000). Bank and near-bank processes in an incised channel. *Geomorphology* 35: 183-217.
- Simon, A (2006). A model of streambank stability incorporating hydraulic erosion and the effects of riparian vegetation. *Proceeding of the eighth federal interagency sedimentation conference*. Reno, NV, USA, April 2-6, 2006.
- Smerdon, E. T., and R. P. Beasley. (1959). The tractive force theory applied to stability of open channels in cohesive soil. Research Bulletin 715. University of Missouri. Ag. Exp. Station. Columbia, Mo.
- Springer, F. Jr. (1981). Influence of rapid drawdown events on river bank stability. Unpublished Master's of Engineering thesis. Department of Civil Engineering. University of Louisville. 108p.
- Stein, O. R., and D. D. Nett. (1997). Impinging jet calibration of excess shear sediment detachment parameters. *Transactions of the ASAE* 40(6): 1573-1580.
- Temple, D. M. (1985). Stability of grass-lined channels following mowing. *Transactions of the ASAE* 28(3): 750-754.
- Terzaghi, K. (1950). Mechanism of Landslide. *Application of Geology to Engineering Practice*. Barkey Volumn. Sidney Paige. Chairman. Geol. Soc. Am: 83-123.
- Terzaghi, K. And Peck, R. B. (1967). *Soil Mechanics and Engineering Practice*. John Wiley & Sons. New York. NY.

- Thoman, R. W. and Niezgoda, S L. (2008). Determining Erodibility, Critical Shear Stress, and Allowable Discharge Estimates for Cohesive Channels: Case Study in the Powder River Basin of Wyoming. *Journal of Hydraulic Engineering* 134(12): 1677-1687.
- Timothy D. Stark, Hangseok Choi and Sean McCone (2005). Drained Shear Strength Parameters for Analysis of Landslides. *Journal of Geotechnical and Geoenvironmental Engineering. ASCE*: 575-588.
- Wan, C.F. and Fell, R. (2004). Investigation of rate of erosion of soils in embankment dams. *Journal of Geotechnical and Geoenvironmental Engineering* 130(4): 373-380.
- Wynn, T. M., Henderson, T. M. and Vaughan, D. H. (2008). Changes in streambank erodibility and critical shear stress due to subaerial processes along a headwater stream southwestern Virginia, USA. *Geomorphology* 97(1): 260-273.

ภาคผนวก ก

ตัวอย่างการคำนวณค่าระดับน้ำโดยวิธีการคำนวณขอนกลัน (Backwater analysis)

การคำนวณค่าระดับน้ำที่จะแสดงเป็นตัวอย่างดังต่อไปนี้เป็นการคำนวณจากคลิงหน้าประตูรัฐบาลน้ำอุ่ตตะเกา ซึ่งทราบค่าระดับน้ำที่แน่นอนของคลิงตำแหน่งนี้แล้ว คำนวณกลับไปจนถึงคลิง Section 2 ในการคำนวณต้องทราบพื้นที่หน้าตัดที่ระดับน้ำต่างๆ $A(y)$, เส้นขอบเปลี่ยนที่ระดับน้ำต่างๆ $P(y)$ ซึ่งคลิงแต่ละตำแหน่งมีข้อมูลดังต่อไปนี้

$$\text{ptr. อุ่ตตะเกา } A(y) = 7.3755 y^2 + 74.194 y + 25.818, R^2 | 0.9995$$

$$P(y) = 1.0855 y^3 + 7.6642 y^2 + 22.662 y + 88.387, R^2 | 0.978$$

$$\text{Section 1 } A(y) = 1.7623 y^2 + 10.664 y + 3.1786, R^2 | 0.9999$$

$$P(y) = 40.0209 y^3 + 0.3613 y^2 + 2.4402 y + 11.945, R^2 | 0.9767$$

$$\text{Section 2 } A(y) = 1.4578 y^2 + 26.641 y + 19.437, R^2 | 0.9997$$

$$P(y) = 0.3459 y^3 + 5.5951 y^2 + 33.387 y + 16.134, R^2 | 0.998$$

จากการตรวจภาพตัดขวางของคลิงพบว่า ค่าระดับห้องคลองของคลิงแต่ละตำแหน่งอยู่ที่ระดับ 0.64, -4.15, -1.55 เมตร รถก. ตามลำดับ พิจารณาคลิงหน้าptr. อุ่ตตะเกา – Section 1, ที่อัตราการไหล $36 \text{ m}^3/\text{s}$ ให้จาก Section 2 ไปสู่ptr. อุ่ตตะเกา ในขณะนั้นคลิงหน้าptr. อุ่ตตะเกามีระดับน้ำ (y) เท่ากับ 2.205 เมตรจากห้องคลอง ดังนั้นค่า h_L สมการที่ 2.19 จะอยู่ในส่วนของพลังงานในตำแหน่งที่ 1

$$\text{จากสมการที่ 2.19 } H_1 | H_2, z_1 + y_1 + \frac{V_1^2}{2g} + h_L | z_2 + y_2 + \frac{V_2^2}{2g}$$

$$\text{ptr. อุ่ตตะเกา } z_1 | 0.64 \text{ m}, y_1 | 2.205 \text{ m}, A_1 | 225.27 \text{ m}^2, P_1 | 112.73 \text{ m}$$

$$R_1 | \frac{A_1}{P_1} | 1.998 \text{ m}, V_1 | \frac{Q}{A_1} | \frac{36}{225.27} | 0.16 \text{ m/s}$$

$$\text{Section 1 } \text{สมมุติให้ } y_2 | 6.25 \text{ m}$$

$$z_2 | 44.15 \text{ m}, A_2 | 132.22 \text{ m}^2, P_2 | 36.21 \text{ m}, R_2 | \frac{A_2}{P_2} | 3.652 \text{ m}$$

$$V_2 | \frac{Q}{A_2} | \frac{36}{132.22} | 0.272 \text{ m/s}$$

$$\text{จากสมการที่ 2.2 } S_{f_i} | \left. \frac{\frac{nV_i}{R_i^{2/3}}}{\frac{Q}{R_i^{2/3}}} \right|^2, \text{ โดยสมมุติให้ } n | 0.03$$

$$S_{f_1} | \left. \frac{0.03 \Delta 0.16}{1.998^{2/3}} \right|^2 | 0.00001, S_{f_1} | \left. \frac{0.03 \Delta 0.272}{3.652^{2/3}} \right|^2 | 0.00001$$

$$S_{f_1} | \frac{0.000012 0.00001}{2} | 0.00001$$

$$h_L | S_f \div x, \div x | 1020 \text{ m}, h_L | 0.00001 \Delta 1020 | 0.01 \text{ m}$$

$$H_1 | 0.64 2 2.205 2 \frac{0.16^2}{2\Delta 9.81} 2 0.01 | 2.856 \text{ m}$$

$$H_2 | 44.15 2 6.25 2 \frac{0.272^2}{2\Delta 9.81} | 2.104 \text{ m},$$

$$\div H | 2.8564 2.104 | 0.752$$

จากการคำนวณโดยการสมมุติค่าระดับน้ำ (y_2) ต่อไปจนได้ค่าพลังงานของทั้งสองจุดเท่ากันและคำนวณต่อไปจนถึงสถานีบ้านบางคล้า พบว่าค่าระดับน้ำที่ต่อไปถึงสถานีบ้านบางคล้าไม่เท่ากันที่เกิดขึ้นจริง ดังนั้นจึงสรุปได้ว่าค่า n ที่สมมุติไว้ข้างต้นจึงไม่ถูกต้อง จากการลองสมมุติค่า n ต่อไปพบว่าค่า $n | 0.0236$ เป็นค่าที่ทำให้ระดับน้ำที่ต่อไปถึงสถานีบ้านบางคล้าเท่ากันกับที่เกิดขึ้นจริง

Section 1 สมมุติให้ $y_2 | 6.99 \text{ m}$

$$z_2 | 44.15 \text{ m}, A_2 | 157.68 \text{ m}^2, P_2 | 39.56 \text{ m}, R_2 | \frac{A_2}{P_2} | 3.986 \text{ m}$$

$$V_2 | \frac{Q}{A_2} | \frac{36}{157.68} | 0.228 \text{ m/s}$$

$$S_{f_1} | \left[\frac{0.0236 \Delta 0.16}{1.998^{2/3}} \right]^2 | 0.0000056$$

$$S_{f_2} | \left[\frac{0.0236 \Delta 0.228}{3.986^{2/3}} \right]^2 | 0.0000046$$

$$S_f | \frac{0.00000562 0.0000046}{2} | 0.0000051$$

$$h_L | 0.0000051 \Delta 1020 | 0.0052 \text{ m}$$

$$H_1 | 0.64 2 2.205 2 \frac{0.16^2}{2\Delta 9.81} 2 0.0052 | 2.851 \text{ m}$$

$$H_2 | 44.15 2 6.999 2 \frac{0.228^2}{2\Delta 9.81} | 2.852 \text{ m}$$

$$\div H | 2.8524 2.851 | 0.001 \text{ OK}$$

Section 2 สมมุติให้ $y_3 | 4.416 \text{ m}$

$$z_3 | 41.55 \text{ m}, A_3 | 126.62 \text{ m}^2, P_3 | 84.246 \text{ m}, R_3 | \frac{A_3}{P_3} | 1.503 \text{ m}$$

$$V_3 | \frac{Q}{A_3} | \frac{36}{126.62} | 0.248 \text{ m/s}$$

$$S_{f_3} | \left[\frac{0.0236 \Delta 0.248}{1.503^{2/3}} \right]^2 | 0.000026$$

$$S_f | \frac{0.00000512 0.000026}{2} | 0.000015$$

$$\begin{aligned}
 h_L & | \ 0.000015 \ \Delta 1178 | \ 0.018 \text{ m} \\
 H_2 & | \ 2.851 \ 2 \ 0.018 | \ 2.869 \text{ m} \\
 H_3 & | \ 41.55 \ 2 \ 4.416 \ 2 \frac{0.248^2}{2\Delta 9.81} | \ 2.869 \text{ m} \\
 \div H & | \ 2.869 \ 4 \ 2.869 | \ 0 \text{ OK}
 \end{aligned}$$

จากการคำนวณไปจนถึงตั้งสถานีบ้านบางคล้าพบว่า ค่าระดับน้ำของคลังแต่ละตำแหน่งจากปัตร อุตสาหกรรม ไปจนถึงตั้งสถานีบ้านบางคล้าที่อัตราการไหลของน้ำเท่ากับ $36 \text{ m}^3/\text{s}$ มีค่าเท่ากับ 2.205, 6.999, 4.416, 3.671, 3.584, 5.392, 3.877 เมตรจากห้องคล่อง หรือ 2.845, 2.849, 2.866, 2.871, 2.884, 2.892, 3.120 เมตร แรก และมีค่า $S_f | 0.00002$ ดังแสดงในตารางที่ 4.12

ภาคผนวก. ข

รายละเอียดโปรแกรม BSTEM Static Version 5.2

โปรแกรม BSTEM 5.2 เป็นโปรแกรม Excel เวอร์ชันล่าสุดของ BSTEM program ที่พัฒนาโดย Andew Simon, USDA ตั้งแต่ปี ก.ศ 2000 ถึงปัจจุบัน เป็นโปรแกรมที่วิเคราะห์ได้ทั้งการกัดเซาะ (Erosion analysis) และเสถียรภาพของตลิ่ง (Bank stability) ซึ่งมีส่วนประกอบที่สำคัญแบ่งออกเป็น 5 ส่วนหลักๆ ดังแสดงในรูปที่ได้แก่

1. Input Geometry sheet
2. Bank Material sheet
3. Bank Vegetation and Protection sheet
4. Bank Model Output sheet
5. Toe Model Output sheet มีรายละเอียดดังต่อไปนี้

1. Input Geometry sheet

Input bank geometry and flow conditions

Work through all 4 sections then hit the "Run Bank Geometry Macro" button.

(a) Select EITHER Option A or Option B for Bank Profile and enter the data in the relevant box- cells alternative option are ignored in the simulation and may be left blank if desired.

(b) Enter bank material layer thicknesses (If bank is all one material it helps to divide it into several layers)

(c) If bank is submerged then select the appropriate channel flow elevation to include confining pressures and calculate erosion amount; otherwise set to an elevation below the bank toe.

To ensure bank profile is correct you can view it by clicking the View Bank Geometry button.

Option A - Draw a detailed bank profile using the boxes below		Option B - Enter a bank height and angle, the model will generate a bank profile	
<input checked="" type="radio"/> Option A	Station (m)	Elevation (m)	<input type="radio"/> Option B
A	0.00	7.01	a) Input bank height (m)
B	2.00	7.01	b) Input bank angle (°)
C	3.00	7.01	c) Input bank toe length (m)
D	4.00	7.01	d) Input bank toe angle (°)
E	5.00	7.01	
F	6.00	7.01	
G	7.00	7.01	
H	7.66	6.53	
I	7.71	6.05	
J	7.76	5.51	
K	7.80	5.03	
L	7.85	4.55	
M	7.88	4.51	
N	7.98	4.01	
O	8.07	3.51	
P	8.21	2.89	
Q	8.59	2.43	
R	12.47	1.61	
S	14.47	1.50	
T	16.47	1.00	
U	18.97	0.65	
V	21.47	0.30	
W	26.47	0.00	

Shear emergence elev 3.89
Shear surface angle 50.00

(a) (b)

Definition of points used in bank profile

A - bank toe place beyond start of shear surface
B - bank edge
C-P - breaks of slope on bank
(if no breaks of slope place as intermediary points)
Q - top of bank toe
R-U - breaks of slope on bank toe
(if no breaks of slope then insert as intermediary points)
V - base of bank toe
W - end point (typically mid point of channel)

Bank material

Layer	Elevation of layer base (m)	Thickness (m)
Layer 1	5.51	1.50
Layer 2	4.51	1.00
Layer 3	3.51	1.00
Layer 4	2.51	1.00
Layer 5	0.00	2.51

Notes:
Bank profile may overhang.
If the bank profile is fully populated, the shear surface emergence point should be anywhere between points B and Q.
The shear surface emergence point must not be on a horizontal section - the elevation of this point must be unique or an error message will display.

(c) (d) (e)

Channel and flow parameters

1	Input reach length (m)
0.0001	Input reach slope (mm)
6.00	Input elevation of flow (m)
100	Input duration of flow (hrs)

View Bank Geometry

Run Bank Geometry Macro

รูปที่ ๔ – 1 Input Geometry sheet

Input Geometry sheet เป็นหน้าต่างในการป้อนข้อมูลลักษณะทั่วไปของตัวลิ้งชีร์ Geometry ของตัวลิ้ง ความหนาของชั้นดิน ระดับน้ำในตัวลิ้งรวมไปถึงความลาดชันของลำน้ำ มีรายละเอียดดังต่อไปนี้ (รูปที่ ๔ – 1)

a) ข้อมูล Geometry ของตัวลิ้ง แบ่งออกเป็น 2 รูปแบบประกอบไปด้วย

Option A – เป็นการรัวด Geometry ของตัวลิ้ง โดยใช้พิกัด (Coordinate)

Option B – เป็นการวัด Geometry ของตลิ่งโดยใช้ความสูงและความชันของตลิ่ง

- b) ข้อมูลความหนาของชั้นดินแต่ละชั้น พิจารณาจากขอบของตลิ่ง (Top of bank)
- c) ข้อมูลการไหลของลำน้ำเพื่อคำนวณหน่วยแรงเฉือนเนื่องจากการไหลของน้ำ ประกอบ

ไปด้วย

1. ความกว้างของตลิ่ง (Reach length)
2. ความลาดชันของลำน้ำ (Reach slope)
3. ระดับน้ำ (Elevation of flow)
4. ระยะเวลาการไหลของน้ำ (Duration of flow)

d) View Bank Geometry เป็นคำสั่งแสดง Profile ของตลิ่งจากการวัดใน a.

e) Run Bank Geometry Macro เป็นคำสั่งในการเปลี่ยน Sheet ไปยัง Bank Material sheet

เพื่อทำการป้อนข้อมูลคุณสมบัติของดินต่อไป

2. Bank Material sheet

Select material types (or select "own data" and add values below)

Bank Material					Bank Toe Mater				
Layer 1	Layer 2	Layer 3	Layer 4	Layer 5					
Own data	Own data	Own data	Own data	Own data	Own data				
Boulders	Cobbles	Gravel							
Coarse angular sand	Fine angular sand	Coarse rounded sand	Fine rounded sand						
Erodible silt	Moderate silt	Resistant silt							
Erodible soft clay	Moderate soft clay	Resistant soft clay							
Erodible stiff clay	Moderate stiff clay	Resistant stiff clay							
Own data									
4a and 4b	Angular sand	0.00035	36.0	0.0	18.0	15.0	-	498	0.004
5a and 5b	Rounded sand	0.00035	27.0	0.0	18.0	15.0	-	124	0.009
6a, 6b and 6c	Silt	-	30.0	3.0	18.0	15.0	-		
7a, 7b and 7c	Soft clay	-	25.0	10.0	18.0	15.0	-		
8a, 8b and 8c	Stiff clay	-	20.0	15.0	18.0	15.0	-		
9	Own data layer 1		22.6	5.8	19.6	15.0		0.10	0.316
	Own data layer 2		27.6	4.3	19.0	15.0		0.10	0.316
	Own data layer 3		24.7	13.0	19.8	15.0		0.10	0.316
	Own data layer 4		24.7	13.0	19.8	15.0		0.10	0.316
	Own data layer 5		24.7	13.0	19.8	15.0		0.10	0.316
	Own data Bank Toe							0.10	0.316

a) **b)**

รูปที่ ๒ – 2 Bank Material sheet

Bank Material sheet เป็นหน้าต่างในการป้อนค่าคุณสมบัติของดินริมตลิ่งประกอบไปด้วย คุณสมบัติทางวิศวกรรมของดิน (Engineering properties) และคุณสมบัติทางด้านการกัดเซาะของดิน (Erosional properties) มีรายละเอียดดังต่อไปนี้ (รูปที่ ๒ – 2)

- a) ข้อมูลคุณสมบัติทางวิศวกรรมของดินประกอบไปด้วย มุมเสียดทานของเม็ดดิน (Friction angle, λ') และรีดหนึ่งวะระห่วงเม็ดดิน (Cohesion, c') หน่วยน้ำหนักของดิน (Unit weight, V) และมูนที่ปั่งบอกถึงการเพิ่มน้ำของหน่วยแรงเรียกว่า Matrix suction, λ^b
- b) ข้อมูลคุณสมบัติทางด้านการกัดเซาะของดินประกอบไปด้วยความต้านทานหน่วยแรงเรียกว่า วิกฤตของดิน (Critical shear stress, ϑ_c) และสัมประสิทธิ์การกัดเซาะ (Erodibility coefficient, k_d)

3. Bank Vegetation and Protection sheet

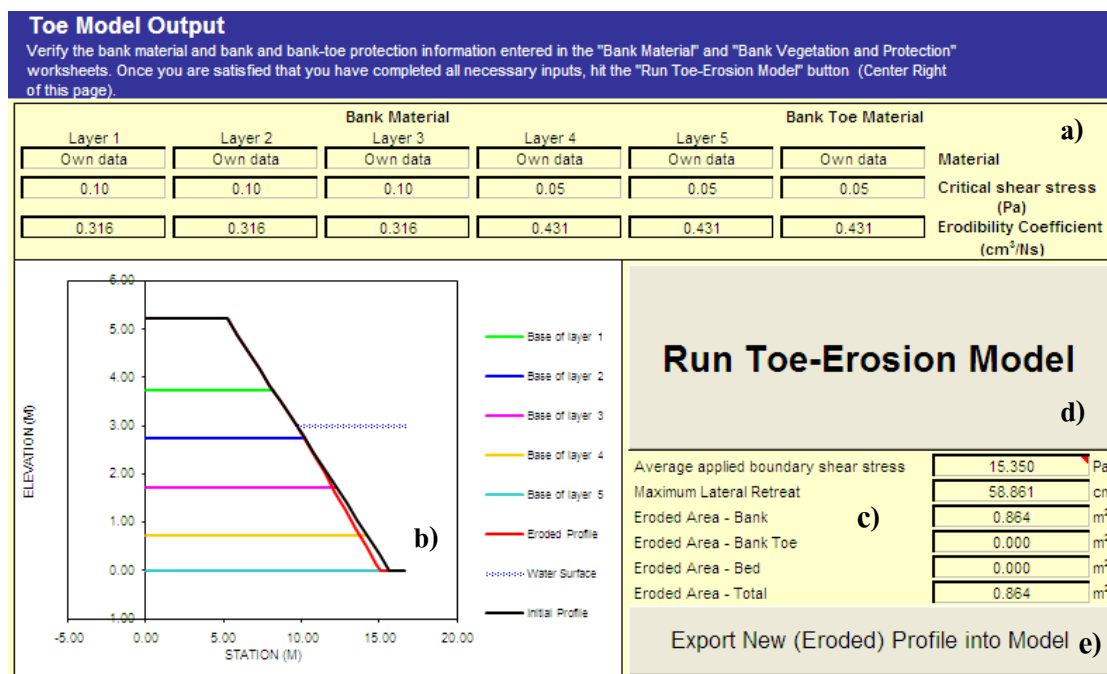
<p>Simulate the mechanical effects of bank top vegetation on bank stability using a root-reinforcement model</p> <p>RipRoot (Pollen and Simon, 2005) is a global load-sharing fiber-bundle model. It explicitly simulates both the snapping of roots and the slipping of roots through the soil matrix, by determining the minimum applied load required to either break each root or pull each root out of the soil matrix. As the strength of each root is removed from the fiber bundle, the load is redistributed to the remaining roots according to the ratio of the diameter of each root to the sum of the diameters of all the intact roots. RipRoot builds on earlier work by Waldron (1977), Wu et al. (1979) and Waldron and Dakessian (1981).</p> <p>Run Root-Reinforcement Model</p> <p>Root-Reinforcement Model Output</p> <p>List of Species Percent of Assemblage Added cohesion due to roots, c_r <input type="text"/> kPa</p>	<p>Protect the bank and/or bank-toe against hydraulic erosion by adding treatments (or select "own data" and add values below)</p> <p>Protection</p> <table border="1" style="margin-bottom: 10px;"> <tr> <td>Bank Protection</td> <td>Bank Toe Protection</td> </tr> <tr> <td><input type="button" value="No protection"/></td> <td><input type="button" value="No protection"/></td> </tr> </table> <p>Bank and bank-toe protection data table</p> <p>These are the default parameters used in the model. Changing the values or descriptions will change the values used when selecting soil types from the list boxes above. Add your own data using the white box.</p> <table border="1" style="width: 100%; border-collapse: collapse;"> <thead> <tr> <th style="text-align: left;">Bank and Bank-Toe Protection Descriptors</th> <th style="text-align: right;">Permissible shear stress (ϑ_a)</th> </tr> </thead> <tbody> <tr> <td>1 No protection</td> <td style="text-align: right;">-</td> </tr> <tr> <td>2 Coir fiber</td> <td style="text-align: right;">108</td> </tr> <tr> <td>3 Geotextile (synthetic)</td> <td style="text-align: right;">144</td> </tr> <tr> <td>4 Jute net</td> <td style="text-align: right;">22</td> </tr> <tr> <td>5 Large Woody Debris</td> <td style="text-align: right;">192</td> </tr> <tr> <td>6 Live fascine</td> <td style="text-align: right;">100</td> </tr> <tr> <td>7 Plant cuttings</td> <td style="text-align: right;">17</td> </tr> <tr> <td>8 Rip Rap (D_{50}: 0.256 m)</td> <td style="text-align: right;">204</td> </tr> <tr> <td>9</td> <td style="text-align: right;">-</td> </tr> <tr> <td>10</td> <td style="text-align: right;">-</td> </tr> <tr> <td>11</td> <td style="text-align: right;">-</td> </tr> <tr> <td>12</td> <td style="text-align: right;">-</td> </tr> <tr> <td>13 Own Data</td> <td style="text-align: right;"><input type="text"/></td> </tr> </tbody> </table>	Bank Protection	Bank Toe Protection	<input type="button" value="No protection"/>	<input type="button" value="No protection"/>	Bank and Bank-Toe Protection Descriptors	Permissible shear stress (ϑ_a)	1 No protection	-	2 Coir fiber	108	3 Geotextile (synthetic)	144	4 Jute net	22	5 Large Woody Debris	192	6 Live fascine	100	7 Plant cuttings	17	8 Rip Rap (D_{50} : 0.256 m)	204	9	-	10	-	11	-	12	-	13 Own Data	<input type="text"/>
Bank Protection	Bank Toe Protection																																
<input type="button" value="No protection"/>	<input type="button" value="No protection"/>																																
Bank and Bank-Toe Protection Descriptors	Permissible shear stress (ϑ_a)																																
1 No protection	-																																
2 Coir fiber	108																																
3 Geotextile (synthetic)	144																																
4 Jute net	22																																
5 Large Woody Debris	192																																
6 Live fascine	100																																
7 Plant cuttings	17																																
8 Rip Rap (D_{50} : 0.256 m)	204																																
9	-																																
10	-																																
11	-																																
12	-																																
13 Own Data	<input type="text"/>																																

รูปที่ ๑ – 3 Bank Vegetation and Protection sheet

Bank Vegetation and Protection sheet เป็นหน้าต่างในการป้อนข้อมูลเกี่ยวกับการใช้พืชในการเพิ่มเต็มยรภาพของตลิ่ง แบ่งออกเป็น 2 องค์ประกอบหลักๆ ได้แก่ การเพิ่มเต็มยรภาพของตลิ่งด้วยรากพืชและ การเพิ่มความต้านทานการกัดเซาะเนื่องจากการไหลของน้ำ มีรายละเอียดดังนี้ (รูปที่ ๑ – 3)

- a) การเพิ่มเต็มยรภาพของตลิ่งด้วยรากพืช เป็นการเพิ่มกำลังของดินที่ขอบบนของตลิ่ง โดยใช้โมเดลของรากพืช (Root-reinforcement model) ขึ้นอยู่กับพืชแต่ละชนิด
- b) การเพิ่มความต้านทานการกัดเซาะเนื่องจากการไหลของน้ำ เป็นการป้องกันการกัดเซาะที่ผิวน้ำ

4. Toe Model Output sheet

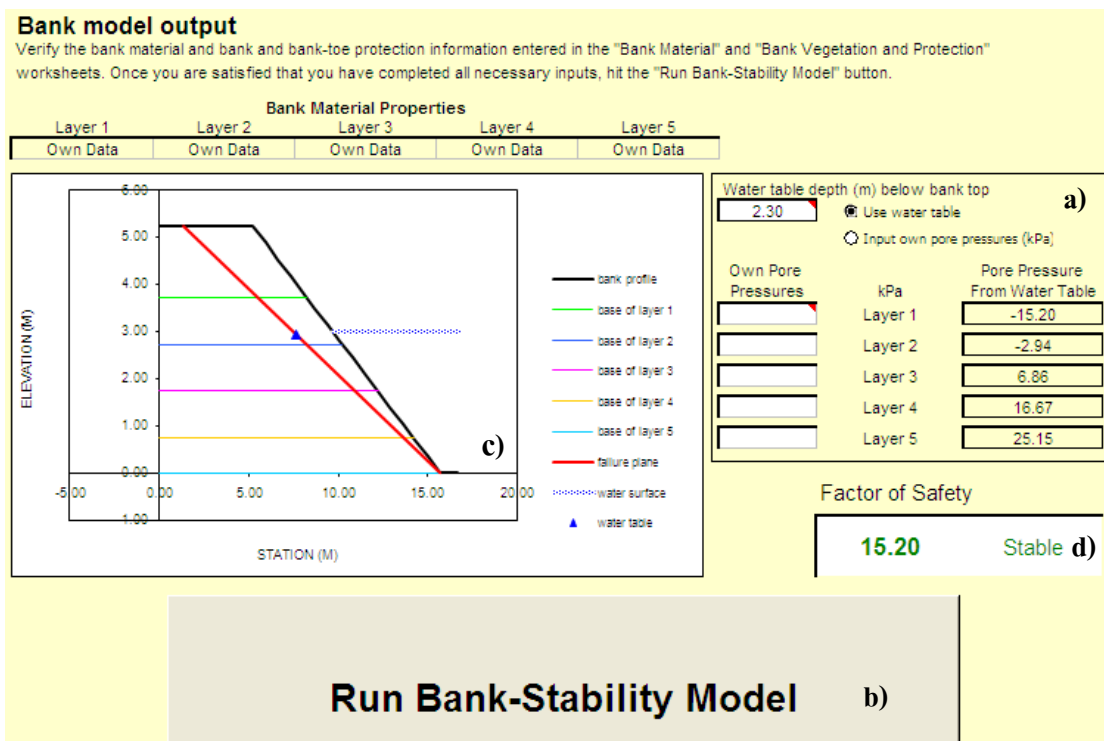


รูปที่ ข – 4 Toe Model Output sheet

Toe Model Output sheet เป็นหน้าต่างที่แสดงผลจากการวิเคราะห์การกัดเซาะ มีรายละเอียดดังต่อไปนี้ (รูปที่ ข – 4)

- แสดงข้อมูลคุณสมบัติของดินทางด้านการกัดเซาะ จาก Bank Material sheet
- แสดงผลการวิเคราะห์การกัดเซาะ อยู่ในรูปแบบของภาพตัดขวางของคลื่นทึ่งก่อนและหลังการวิเคราะห์การกัดเซาะ
- แสดงผลการวิเคราะห์การกัดเซาะ อยู่ในรูปแบบของตัวเลข ประกอบไปด้วย
 - ค่าเฉลี่ยของหน่วยแรงเนื้อนี่ของการไหลของน้ำ (Average applied boundary shear stress)
 - ระยะการกัดเซาะสูงสุด (Maximum Lateral Retreat)
 - พื้นที่ของคลื่นทึ่งที่ถูกกัดเซาะ (Eroded Area – Bank)
 - พื้นที่ของตีนคลื่นทึ่งที่ถูกกัดเซาะ (Eroded Area – Bank Toe)
 - พื้นที่ของฐานคลื่นทึ่งที่ถูกกัดเซาะ (Eroded Area – Bed)
 - พื้นที่ของคลื่นทึ่งหมดที่ถูกกัดเซาะ (Eroded Area – Total)
- Run Toe-Erosion Model เป็นคำสั่งในการวิเคราะห์การกัดเซาะ
- Export New (Eroded) Profile into Model เป็นคำสั่งในการ Update profile ที่ถูกกัดเซาะไปยัง Model เพื่อทำการวิเคราะห์เสถียรภาพต่อไป

5. Bank Model Output sheet



รูปที่ ข – 5 Bank Model Output sheet

Bank Model Output sheet เป็นหน้าต่างที่ใช้แสดงผลจากการวิเคราะห์เสถียรภาพของคลัง มีรายละเอียดดังต่อไปนี้ (รูปที่ ข – 5)

- ข้อมูลของแรงดันน้ำในการวิเคราะห์เสถียรภาพของคลัง แบ่งเป็น 2 ลักษณะคือ
 - การใช้ระดับน้ำใต้ดิน (Water table) ในการคำนวณแรงดันน้ำ ซึ่งแรงดันน้ำจะเป็นแบบ Hydrostatic
 - การใช้ข้อมูลจากการตรวจวัดในสนาม
- Run Bank-Stability Model เป็นคำสั่งในการวิเคราะห์เสถียรภาพของคลัง
- แสดงลักษณะการพิบัติของคลัง
- แสดงผลการวิเคราะห์ในรูปของอัตราส่วนความปลอดภัย (Factor of safety)

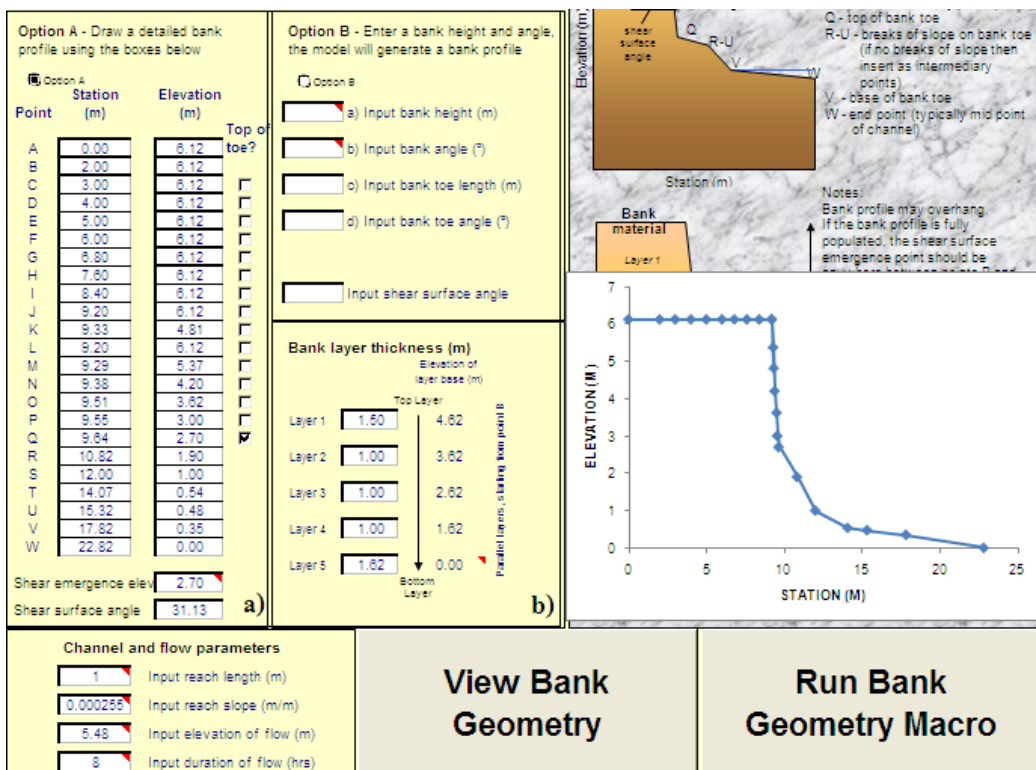
ภาคผนวก ค

ตัวอย่างการประเมินค่าความต้านทานหน่วยแรงเฉือนวิกฤตของดิน (Critical shear stress, ϑ_c) โดยวิธี Back analysis ร่วมกับโปรแกรม BSTEM 5.2

ตัวอย่างการประเมินค่า ϑ_c ในภาคผนวกนี้ แสดงเฉพาะการประเมินค่า ϑ_c ของ Section 4 จากการสำรวจในสนามพบว่าตลิ่ง Section 2 มีการพิบัติแบบ Planar failure ระยะพิบัติเท่ากับ 3.2 เมตร จากขอบตลิ่งเดิม มุมพิบัติเท่ากับ 31.13 องศา จุดที่เริ่มปรากฏการพิบัติอยู่ที่ระดับ 2.7 เมตร จากห้องคลอง (2.00 เมตร รถก.) ความลึกของ Tension crack เท่ากับ 1.30 เมตร

เพื่อให้ผู้อ่านเข้าใจได้ง่ายขึ้น ผู้เขียนขอเริ่มต้นจากผลการวิเคราะห์บางส่วนคือ การวิเคราะห์พบว่า คลิ่ง Section 4 จะเกิดการพิบัติเมื่อระดับน้ำลดลงจากระดับน้ำเต็มคลิ่ง 0.641 เมตร หรือระดับ 5.48 เมตร จากท้องคลอง (4.78 m. MSL) ดังนั้นในการประเมินค่า θ_c ต้องทำการวิเคราะห์การกัดเซาะของคลิ่ง ให้ได้ Eroded profile ที่ตรงกับ Profile ของคลิ่งที่สำรวจในสนาม (Measured eroded profile) ซึ่งการประเมินค่า θ_c โดยวิธี Back analysis ร่วมกับโปรแกรม BSTEM 5.2 มีขั้นตอนดังต่อไปนี้

- ป้อนค่าข้อมูล Geometry ของคลิ่งพร้อมทั้งระบุความหนาของชั้นดิน (a และ b ตามลำดับ) ใน Input Geometry sheet ดังแสดงในรูปที่ ค – 1 และใช้คำสั่ง Run Bank Geometry Macro เพื่อไปยัง Bank Material sheet ต่อไป



รูปที่ ค – 1 ข้อมูล Geometry ของคลิ่ง

- ป้อนค่า θ_c และ k_d เริ่มต้นโดยชั้นดินใน Bank Material sheet (Toe Model Input data) ดังแสดงในรูปที่ ค – 2 พร้อมทั้งกลับไปยัง Input Geometry sheet เพื่อป้อนค่าอื่นๆต่อไป

Material Descriptors			Toe Model Input Data	
Bank material type	Description	Mean grain size, D_{50} (m)	τ_c (Pa)	k (cm^3/Ns)
1	Boulders	0.512	498	0.004
2	Cobbles	0.128	124	0.009
3	Gravel	0.0113	11.0	0.030
4a and 4b	Angular sand	0.00035	Coarse (0.71 mm) or Fine (0.18 mm)	
5a and 5b	Rounded sand	0.00035		
6a, 6b and 6c	Silt	-	Erodible (0.100 Pa), Moderate (5.00 Pa), or Resistant (50.0 Pa)	
7a, 7b and 7c	Soft clay	-		
8a, 8b and 8c	Stiff clay	-		
9	Own data layer 1		1.66	0.078
	Own data layer 2		1.68	0.077
	Own data layer 3		1.46	0.083
	Own data layer 4		1.15	0.093
	Own data layer 5		1.15	0.093
	Own data Bank Toe		1.15	0.093

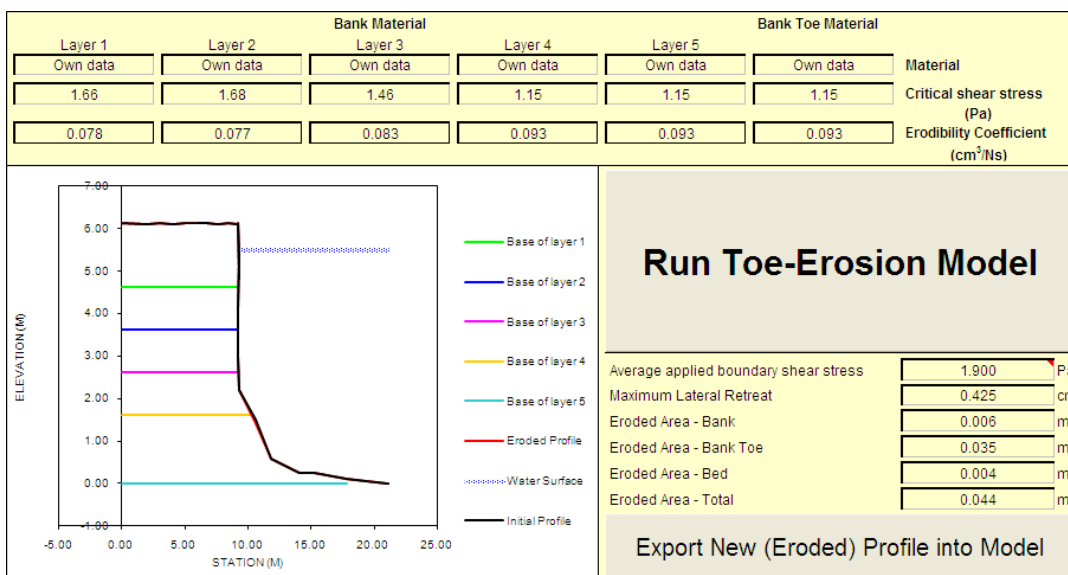
รูปที่ ก – 2 ค่า ϑ_c และ k_d ของชั้นดิน

3. ป้อนข้อมูลเกี่ยวกับการไหลของน้ำเพื่อกำนัณวณ ϑ_c เช่น ค่าความลาดชันท้องคลอง ค่าระดับน้ำ และระยะเวลาการไหลของน้ำ ใน Input Geometry sheet (Channel and flow parameters) ดังแสดงในรูปที่ ก – 3 พร้อมทั้งใช้คำสั่ง Run Bank Geometry Macro เพื่อ Update ข้อมูลและไปยัง Toe Model Output sheet ต่อไป

Channel and flow parameters	
1	Input reach length (m)
0.00007	Input reach slope (m/m)
5.48	Input elevation of flow (m)
8	Input duration of flow (hrs)

รูปที่ ก – 3 ข้อมูลการไหลของน้ำ

4. ใช้คำสั่ง Run Toe – Erosion Model เพื่อทำการวิเคราะห์การกัดเซาะ หลังจากนั้นทำการ Update ข้อมูล Eroded profile ที่ได้จากการคำนวณนำไปแทนที่ Initial profile เพื่อทำการวิเคราะห์การกัดเซาะต่อไป จากการวิเคราะห์จะกระทั้งถึงค่าระดับน้ำที่ทำให้ตลิ่งพิบัติ ทำให้ได้ Profile ของตลิ่งดังแสดงในภาพรูปที่ ก – 4



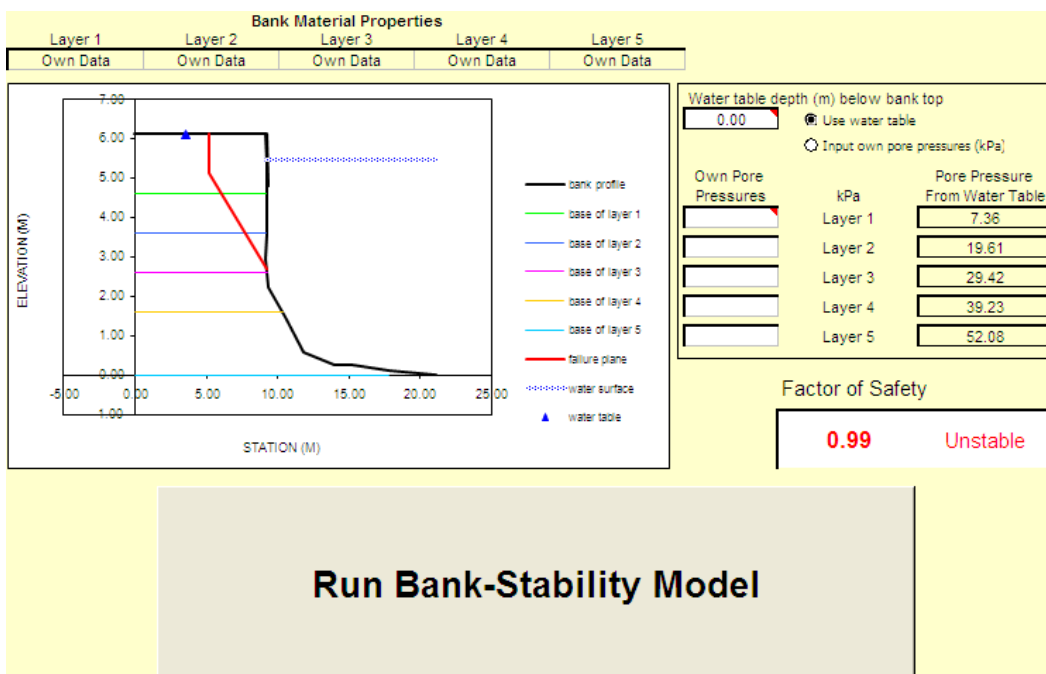
รูปที่ ก – 4 ผลการวิเคราะห์การกัดเซาะ

5. เมื่อได้ Profile ที่ระดับน้ำขั้นต่ำพิบัติแล้ว ทำการป้อนข้อมูล Engineering properties ของชั้นดินแต่ละชั้นเพื่อตรวจสอบเสถียรภาพ ดังแสดงในรูปที่ ก – 5

Material Descriptors		Bank Model Input Data					
Bank material type	Description	Mean grain size, D_{50} (m)	Friction angle ϕ' (degrees)	Cohesion c' (kPa)	Saturated unit weight (kN/m^3)	ϕ'' (degrees)	Chemical concentration (kg/kg)
1	Boulders	0.512	42.0	0.0	20.0	15.0	-
2	Cobbles	0.128	42.0	0.0	20.0	15.0	-
3	Gravel	0.0113	36.0	0.0	20.0	15.0	-
4a and 4b	Angular sand	0.00035	36.0	0.0	18.0	15.0	-
5a and 5b	Rounded sand	0.00035	27.0	0.0	18.0	15.0	-
6a, 6b and 6c	Silt	-	30.0	3.0	18.0	15.0	-
7a, 7b and 7c	Soft clay	-	25.0	10.0	18.0	15.0	-
8a, 8b and 8c	Stiff clay	-	20.0	15.0	18.0	15.0	-
9	Own data layer 1		24.6	4.0	19.3		
	Own data layer 2		15.5	2.6	19.1		
	Own data layer 3		27.7	7.0	20.1		
	Own data layer 4		27.7	7.0	20.1		
	Own data layer 5		27.7	7.0	20.1		
Own data Bank Toe							

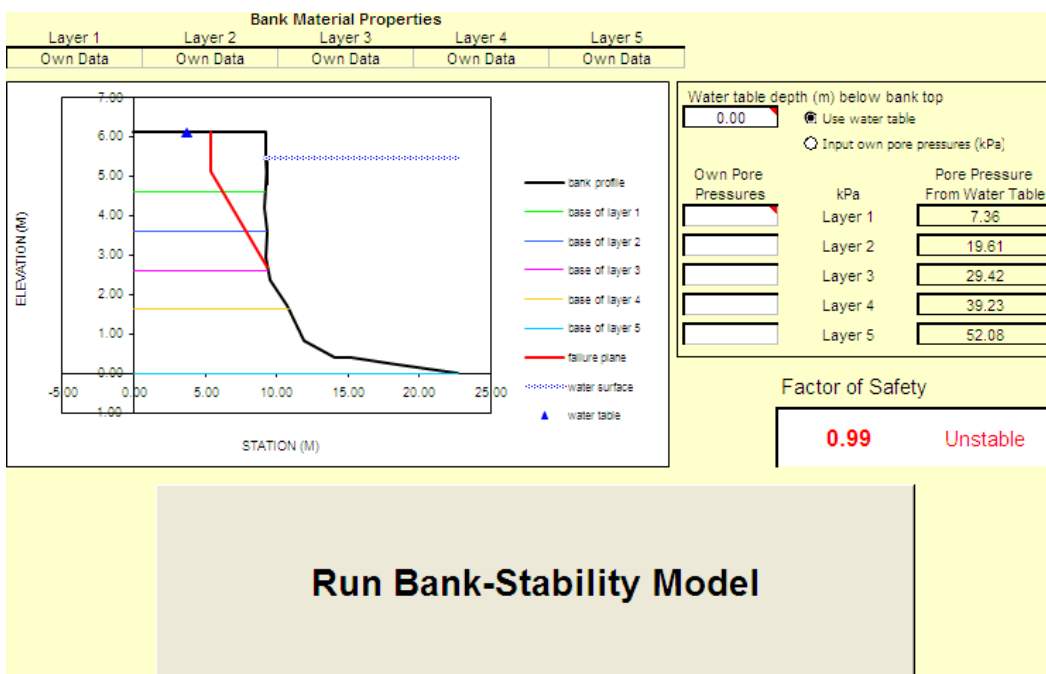
รูปที่ ก – 5 ข้อมูล Engineering properties ของชั้นดิน

6. ใช้คำสั่ง Run Bank – Stability Model เพื่อทำการตรวจสอบเสถียรภาพ ดังแสดงในรูปที่ ก – 6 จากรูป อตราส่วนความปลดภัยของตั้งประمام 1 แต่จะการกัดเซาะในกรณีที่ใช้ค่า ϑ_c และ k_d เริ่มต้นพบว่าไม่เท่ากับระยะที่เกิดขึ้นในสนาม (Eroded profile Π Measured eroded profile) ดังนั้น ต้องทำการ Trial ϑ_c และ k_d ใหม่เพื่อให้ได้ตามเงื่อนไขที่กำหนด



รูปที่ ก – 6 ผลการตรวจสอบเสถียรภาพของตลิ่งเมื่อใช้ค่า ϑ_c และ k_d เริ่มต้นคำนวณการกัดเซาะ

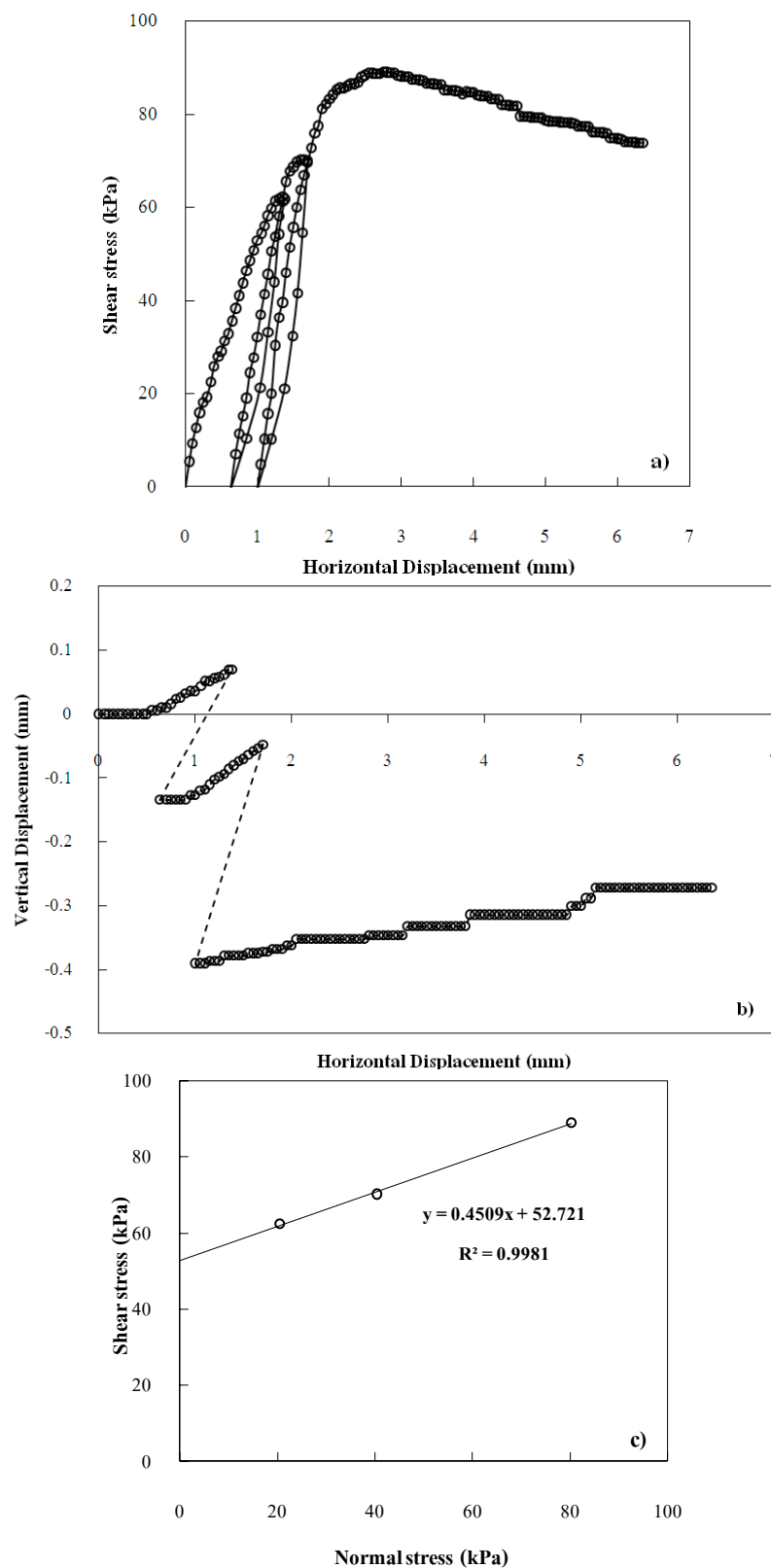
ผลการ Trial ϑ_c และ k_d ได้ผลดังแสดงในตารางที่ 4.19 ซึ่งตลิ่งมีลักษณะดังแสดงในรูปที่ ก – 7



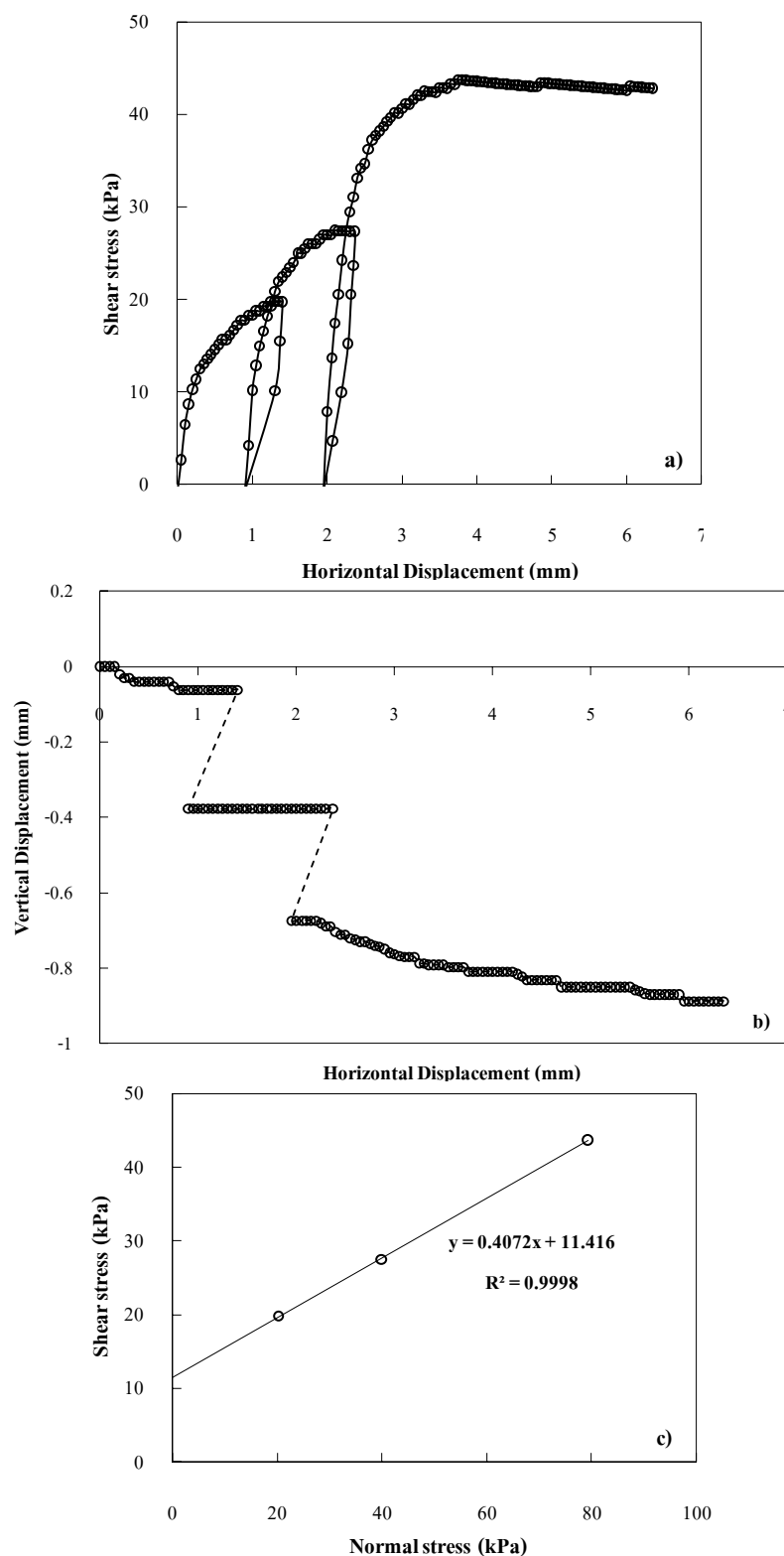
รูปที่ ก – 7 ผลการตรวจสอบเสถียรภาพของตลิ่งเมื่อใช้ค่า ϑ_c และ k_d ที่เหมาะสม คำนวณการกัดเซาะ

ภาคผนวก จ

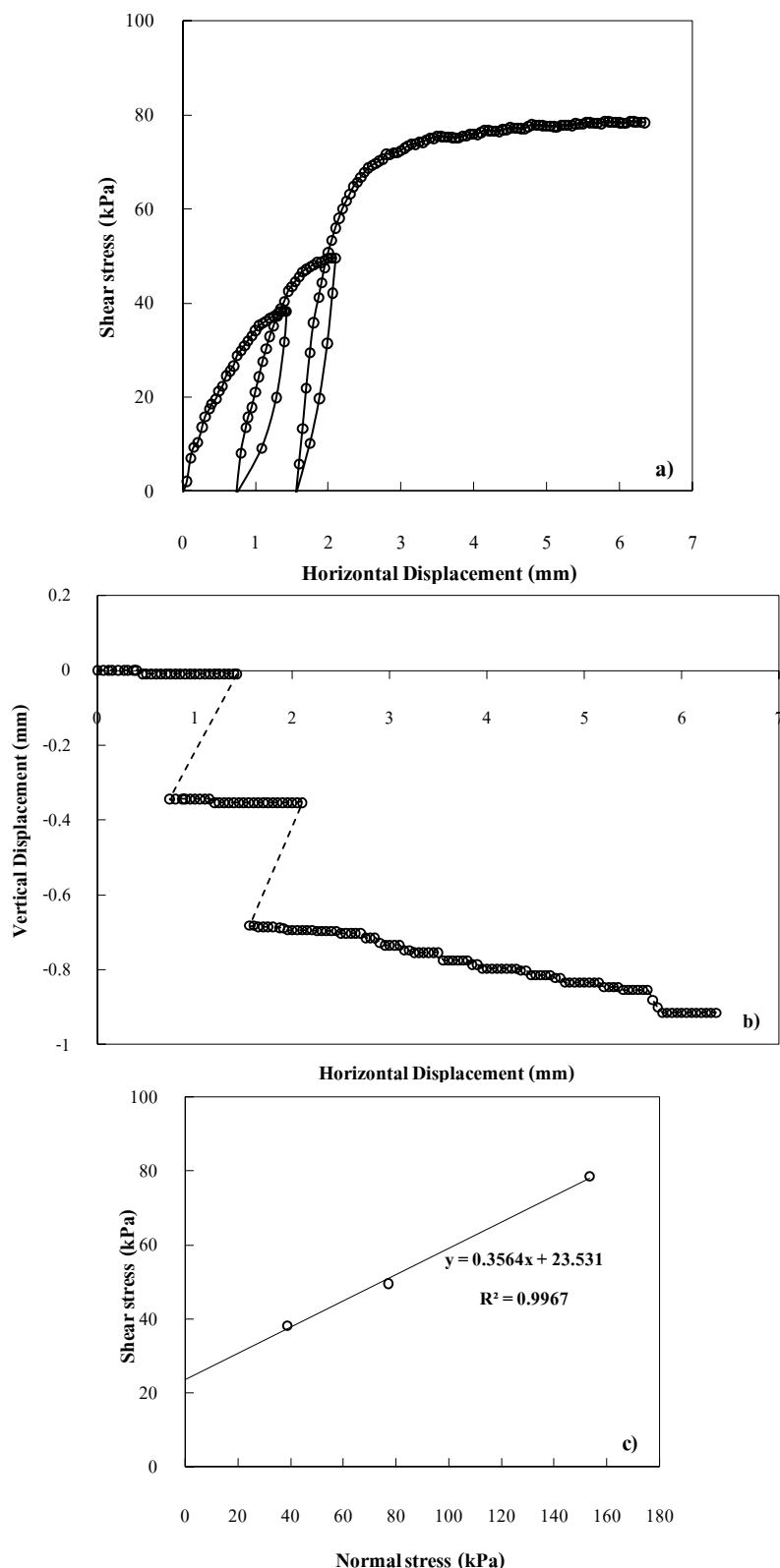
กราฟแสดงความสัมพันธ์ระหว่าง Shear stress – Horizontal displacement, Vertical displacement – Horizontal displacement, Shear stress – Normal stress จากการทดสอบ Multi – stage direct shear test. ของตัวอย่างดินริมคลัง 5 Sections



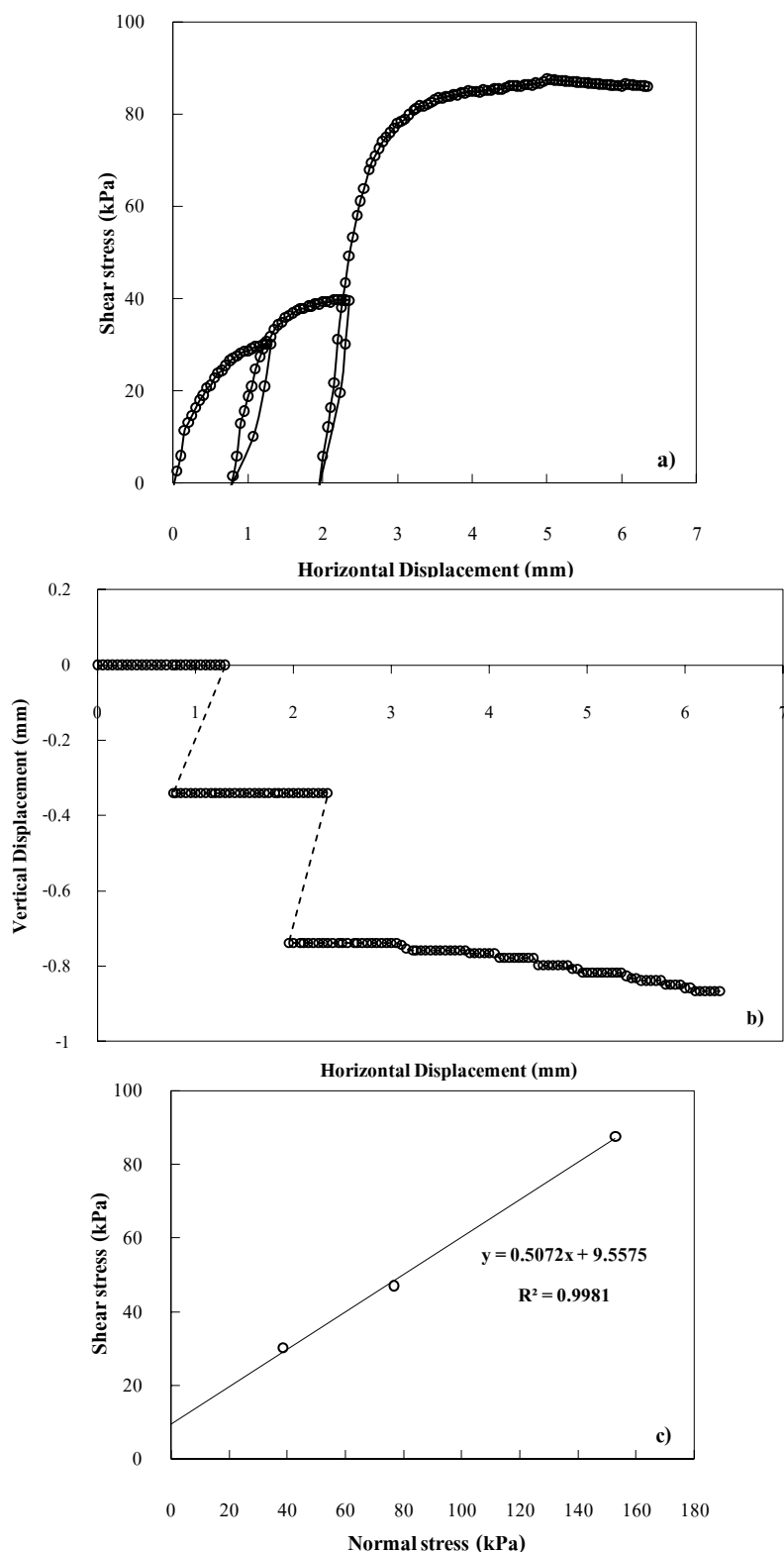
รูปที่ ๑ – 1 กราฟแสดงความสัมพันธ์ระหว่าง a) Shear stress – Horizontal displacement, b) Vertical displacement – Horizontal displacement, c) Shear stress – Normal stress ของตัวอย่างดิน Section 1 ความลึก 1 เมตร จากขอบตั้ง ความชื้นชาร์มชาติ



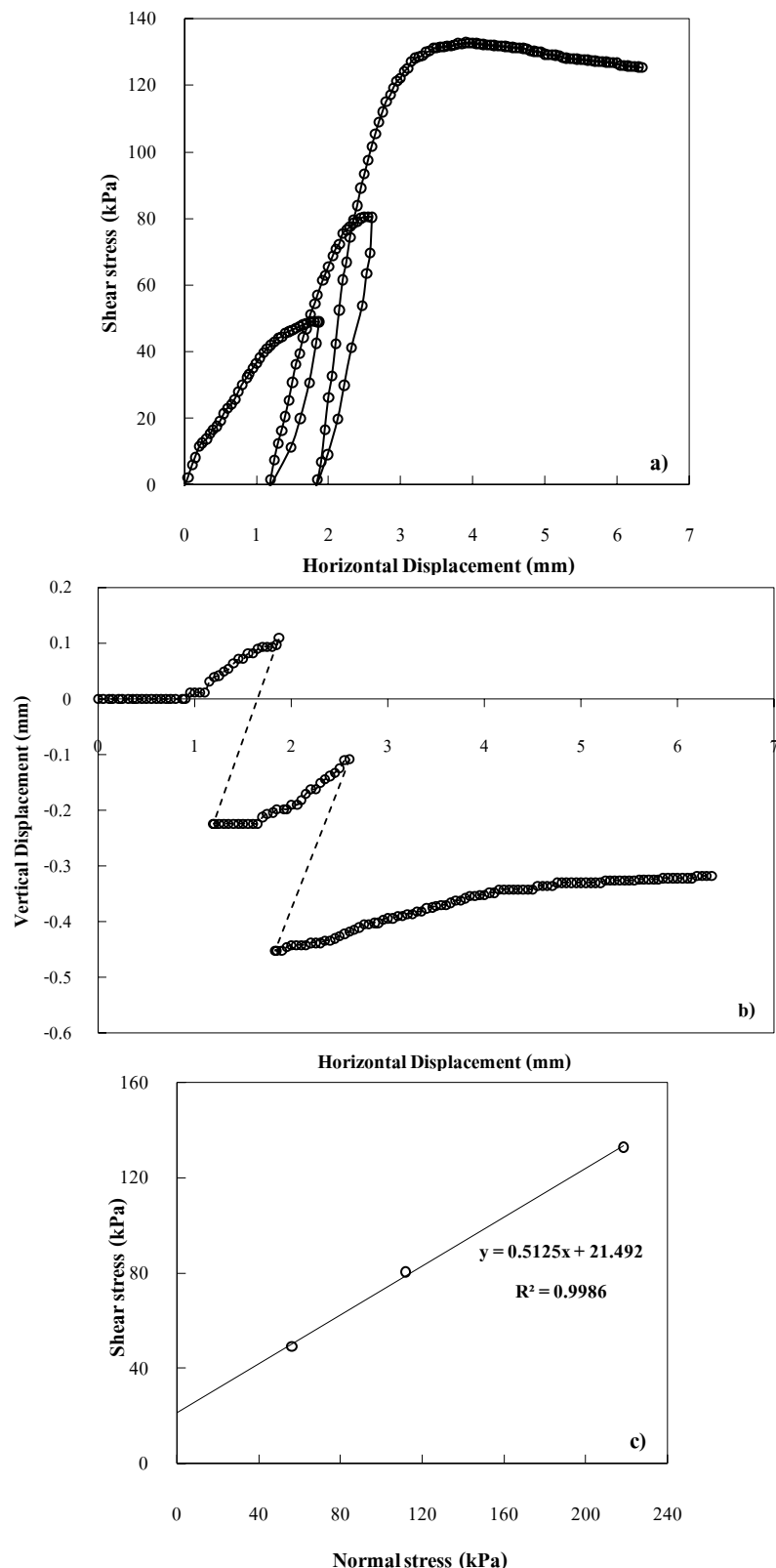
รูปที่ 2 กราฟแสดงความสัมพันธ์ระหว่าง a) Shear stress – Horizontal displacement, b) Vertical displacement – Horizontal displacement, c) Shear stress – Normal stress ของตัวอย่างดิน Section 1 ความลึก 1 เมตร จากขอบตลิ่ง ความชื้นอิ่มตัวด้วยน้ำ



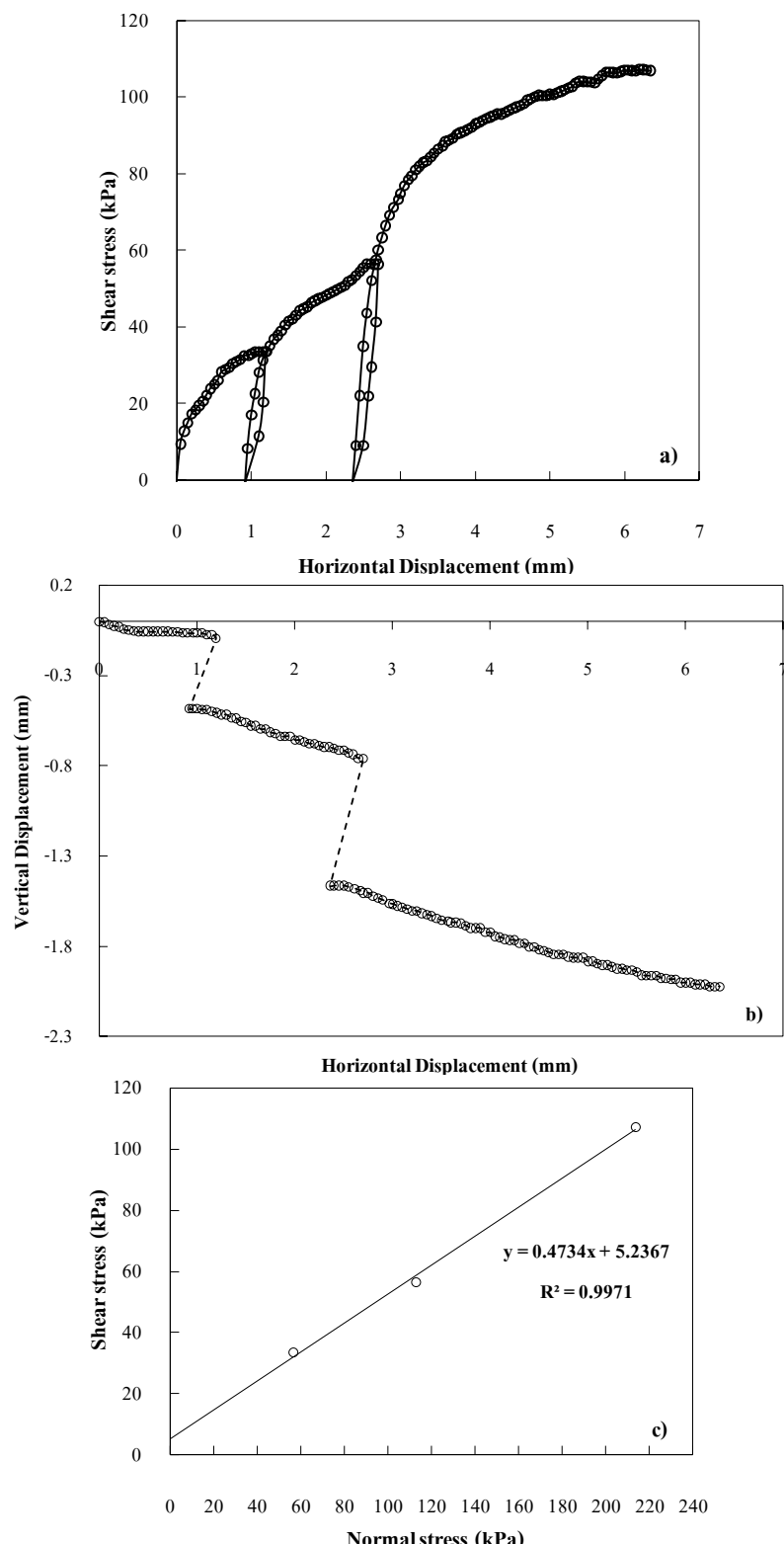
รูปที่ 4 – 3 กราฟแสดงความสัมพันธ์ระหว่าง a) Shear stress – Horizontal displacement, b) Vertical displacement – Horizontal displacement, c) Shear stress – Normal stress ของตัวอย่างดิน Section 1 ความลึก 2 เมตร จากขอบตั้ง ความชื้นธารน้ำติด



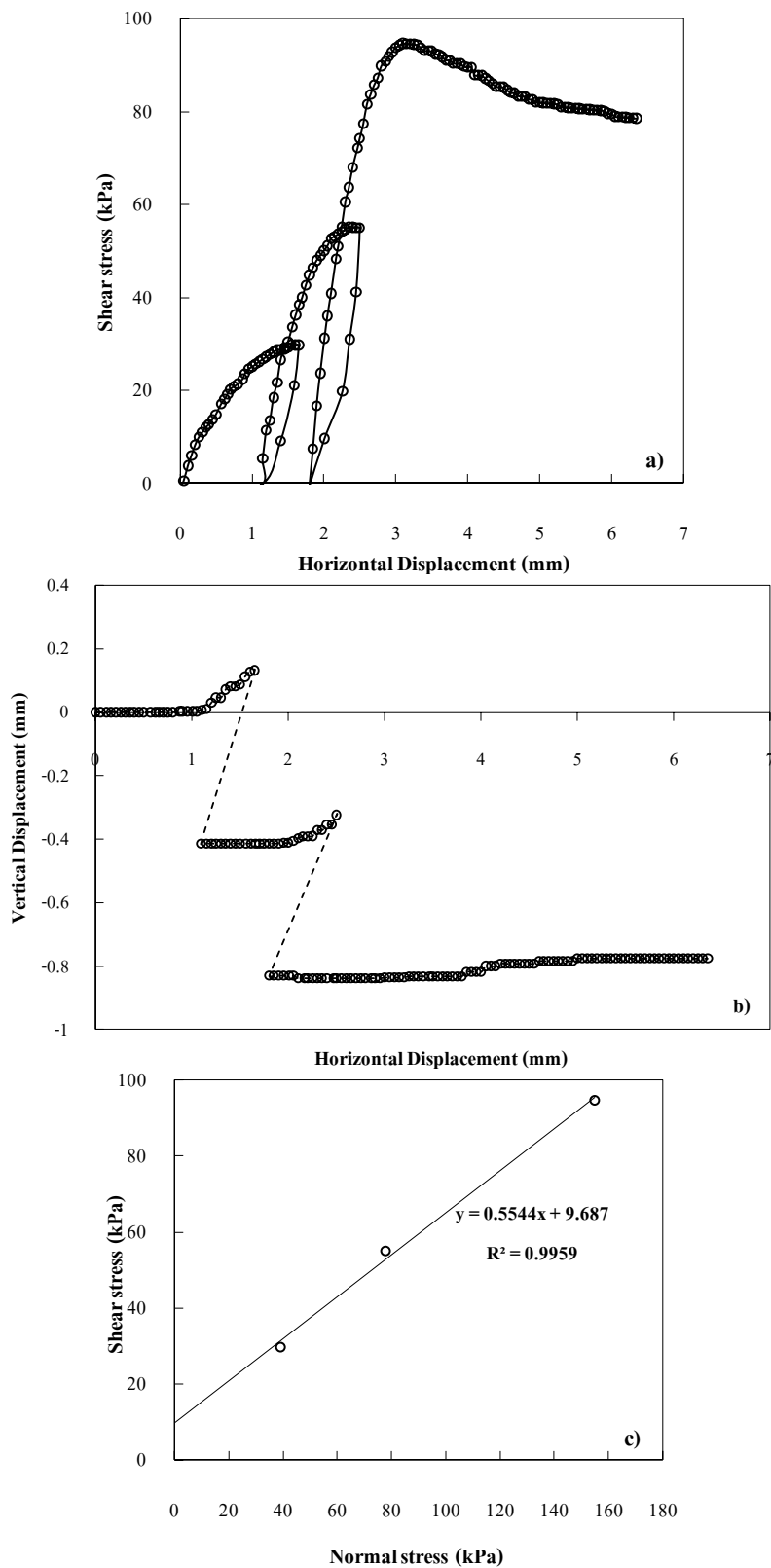
รูปที่ ๔ – 4 กราฟแสดงความสัมพันธ์ระหว่าง a) Shear stress – Horizontal displacement, b) Vertical displacement – Horizontal displacement, c) Shear stress – Normal stress ของตัวอย่างดิน Section 1 ความลึก 2 เมตร จากขอบตลิ่ง ความชื้นอิ่มตัวด้วยน้ำ



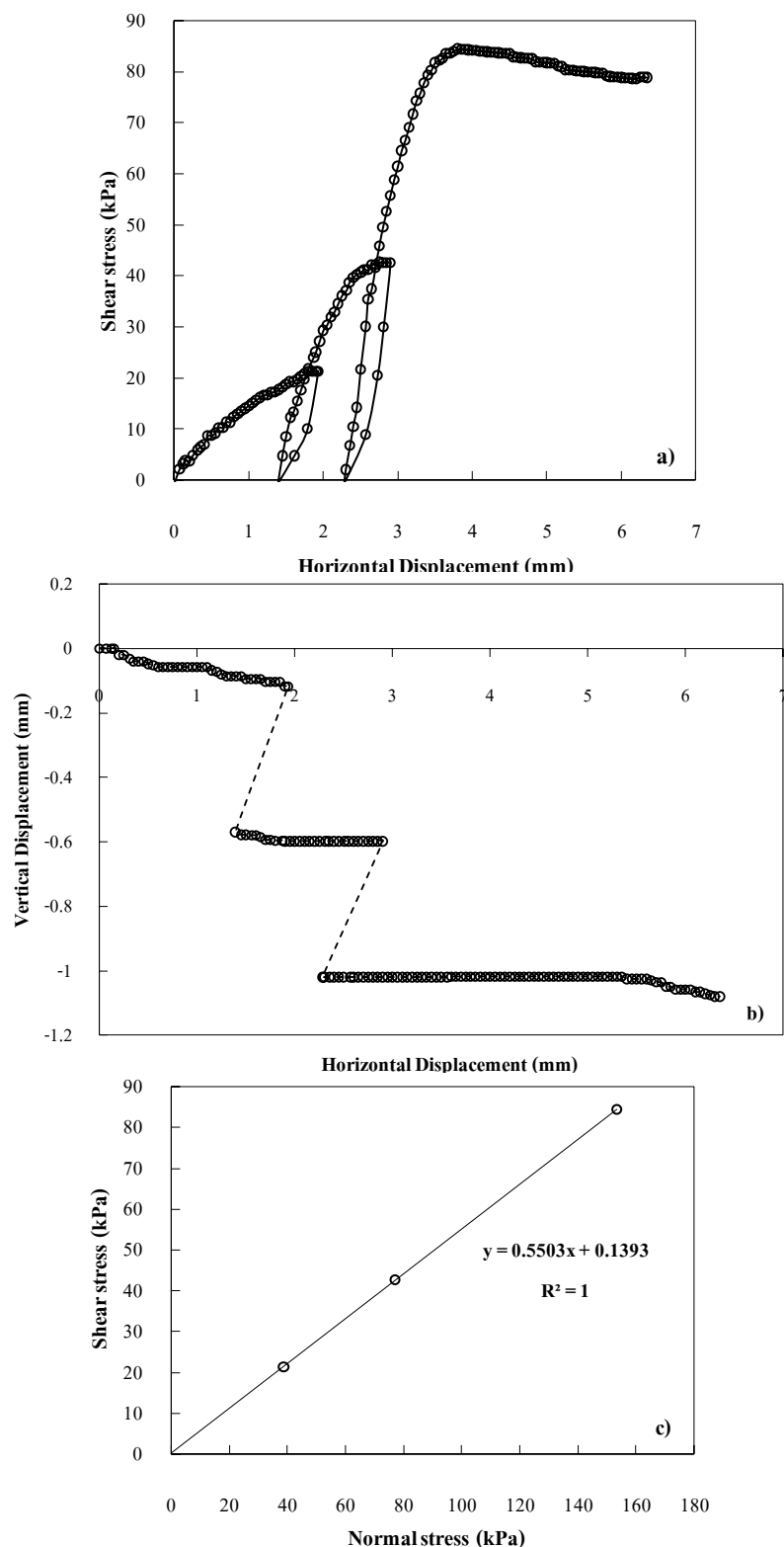
รูปที่ 4 – 5 กราฟแสดงความสัมพันธ์ระหว่าง a) Shear stress – Horizontal displacement, b) Vertical displacement – Horizontal displacement, c) Shear stress – Normal stress ของตัวอย่างดิน Section 1 ความลึก 3 เมตร จากขอบต่ำ ความชื้นชาร์มชาติ



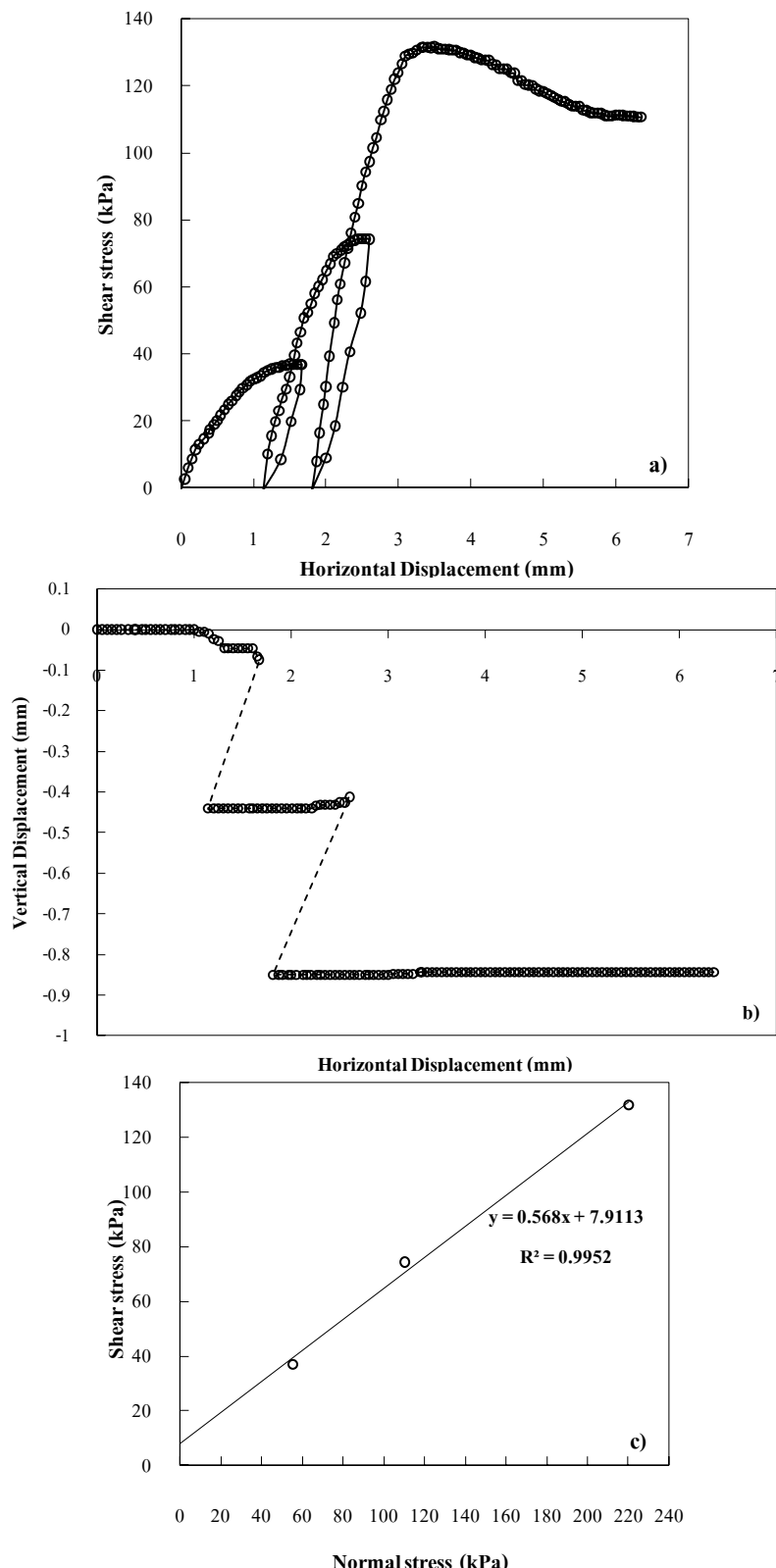
รูปที่ 4 – 6 กราฟแสดงความสัมพันธ์ระหว่าง a) Shear stress – Horizontal displacement, b) Vertical displacement – Horizontal displacement, c) Shear stress – Normal stress ของตัวอย่างดิน Section 1 ความลึก 3 เมตร จากขอบตัด ความชื้นอิ่มตัวด้วยน้ำ



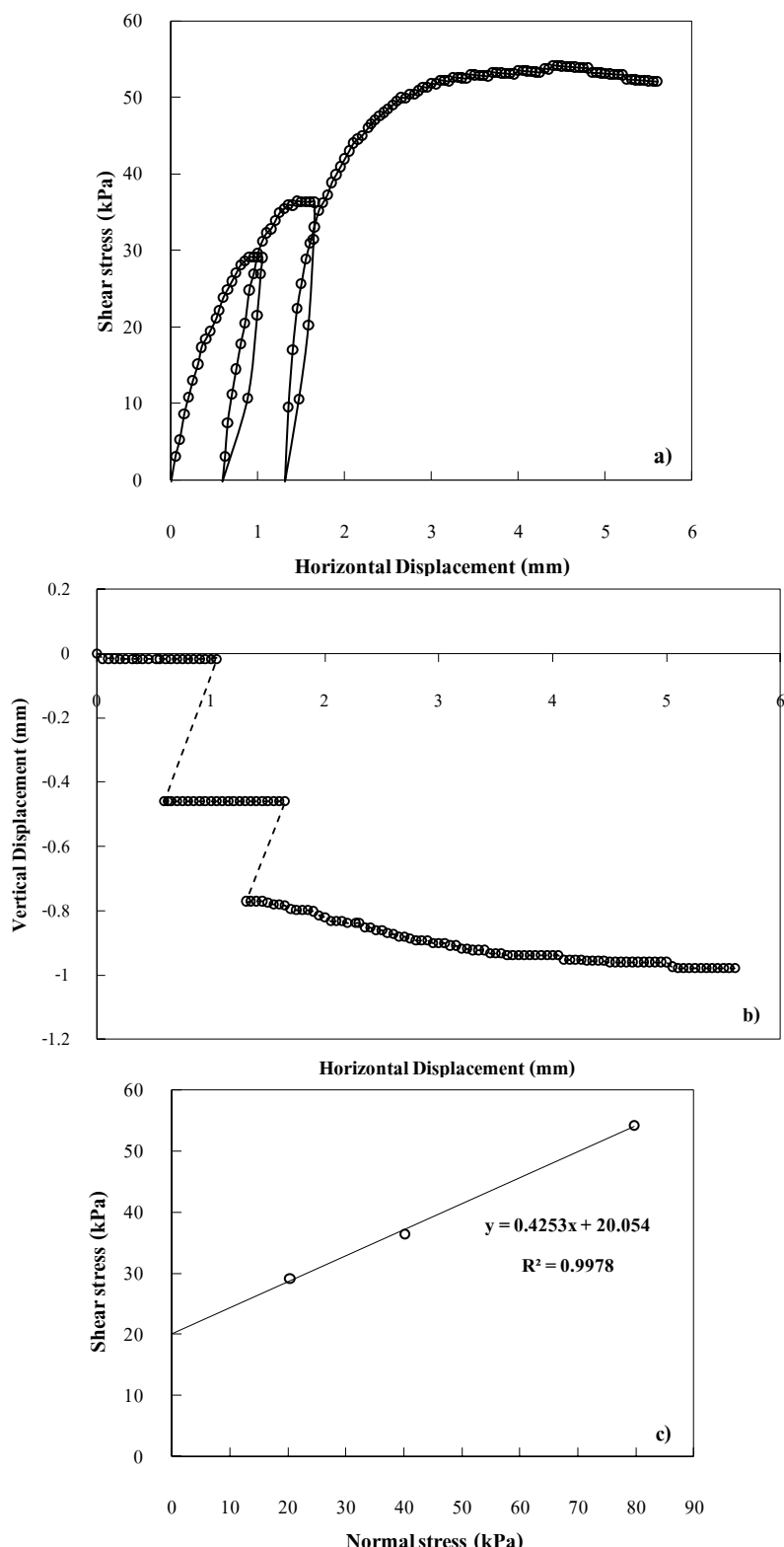
รูปที่ ๗ – 7 กราฟแสดงความสัมพันธ์ระหว่าง a) Shear stress – Horizontal displacement, b) Vertical displacement – Horizontal displacement, c) Shear stress – Normal stress ของตัวอย่าง ดิน Section 1 ความลึก 4 เมตร จากขอบต่ำ ความชื้นชาร์มชาติ



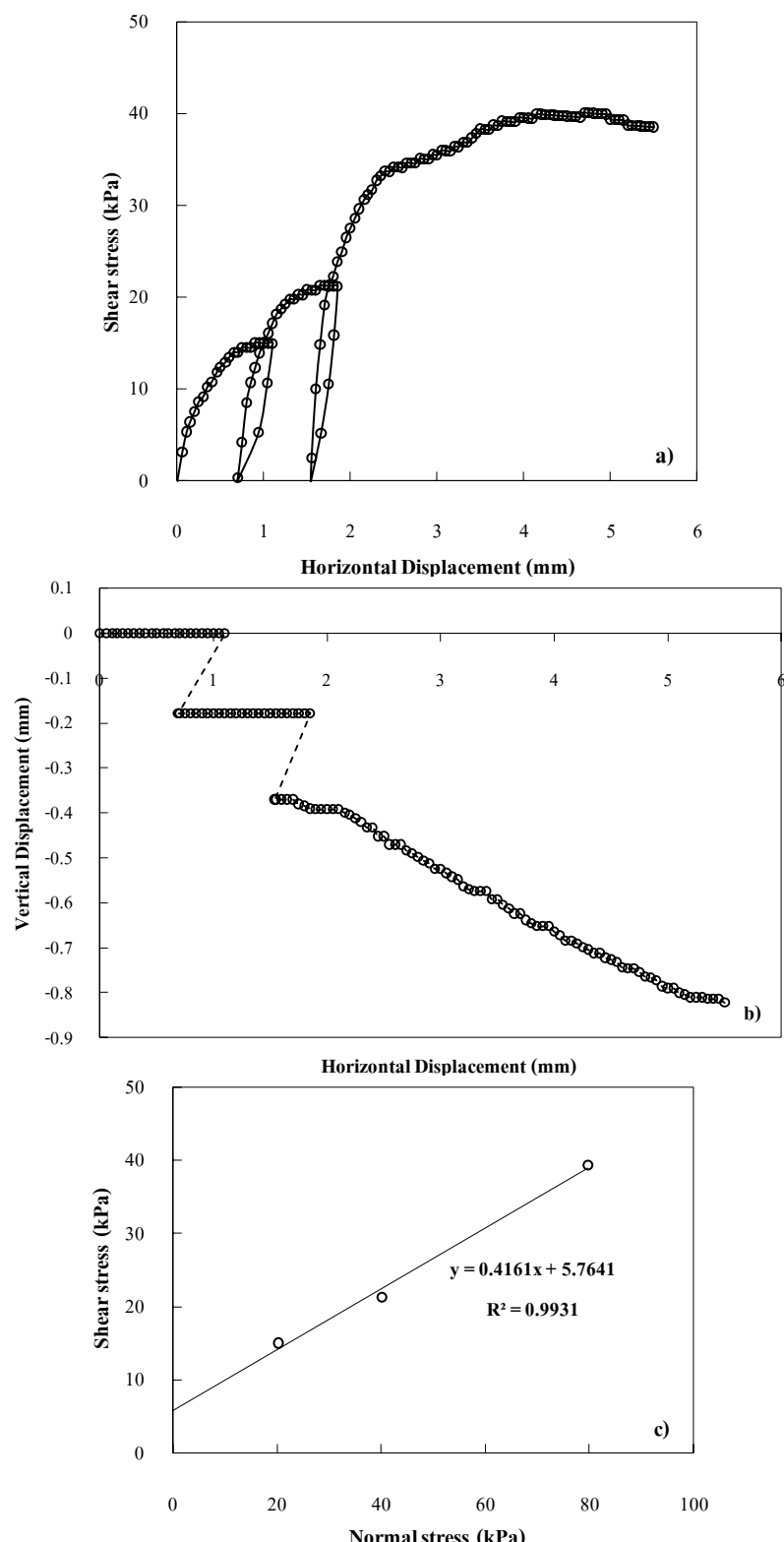
รูปที่ ๘ – 8 กราฟแสดงความสัมพันธ์ระหว่าง a) Shear stress – Horizontal displacement, b) Vertical displacement – Horizontal displacement, c) Shear stress – Normal stress ของตัวอย่างดิน Section 1 ความลึก 4 เมตร จากขอบตลิ่ง ความชื้นอิ่มตัวด้วยน้ำ



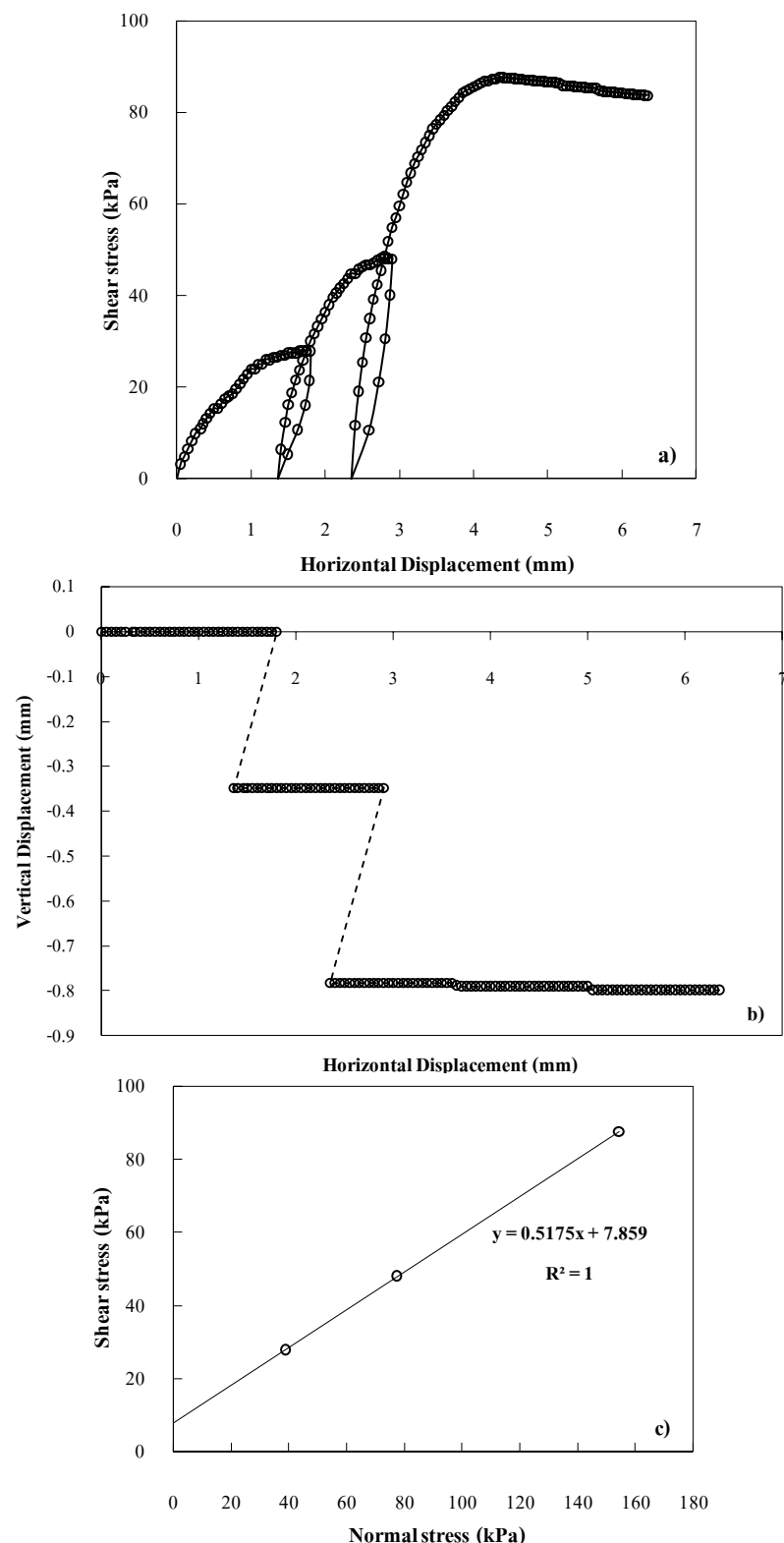
รูปที่ 9 กราฟแสดงความสัมพันธ์ระหว่าง a) Shear stress – Horizontal displacement, b) Vertical displacement – Horizontal displacement, c) Shear stress – Normal stress ของตัวอย่างดิน Section 1 ความลึก 5 เมตร จากขอบตลิ่ง ความชื้นชาร์มชาติ (อิมตัวด้วยน้ำ)



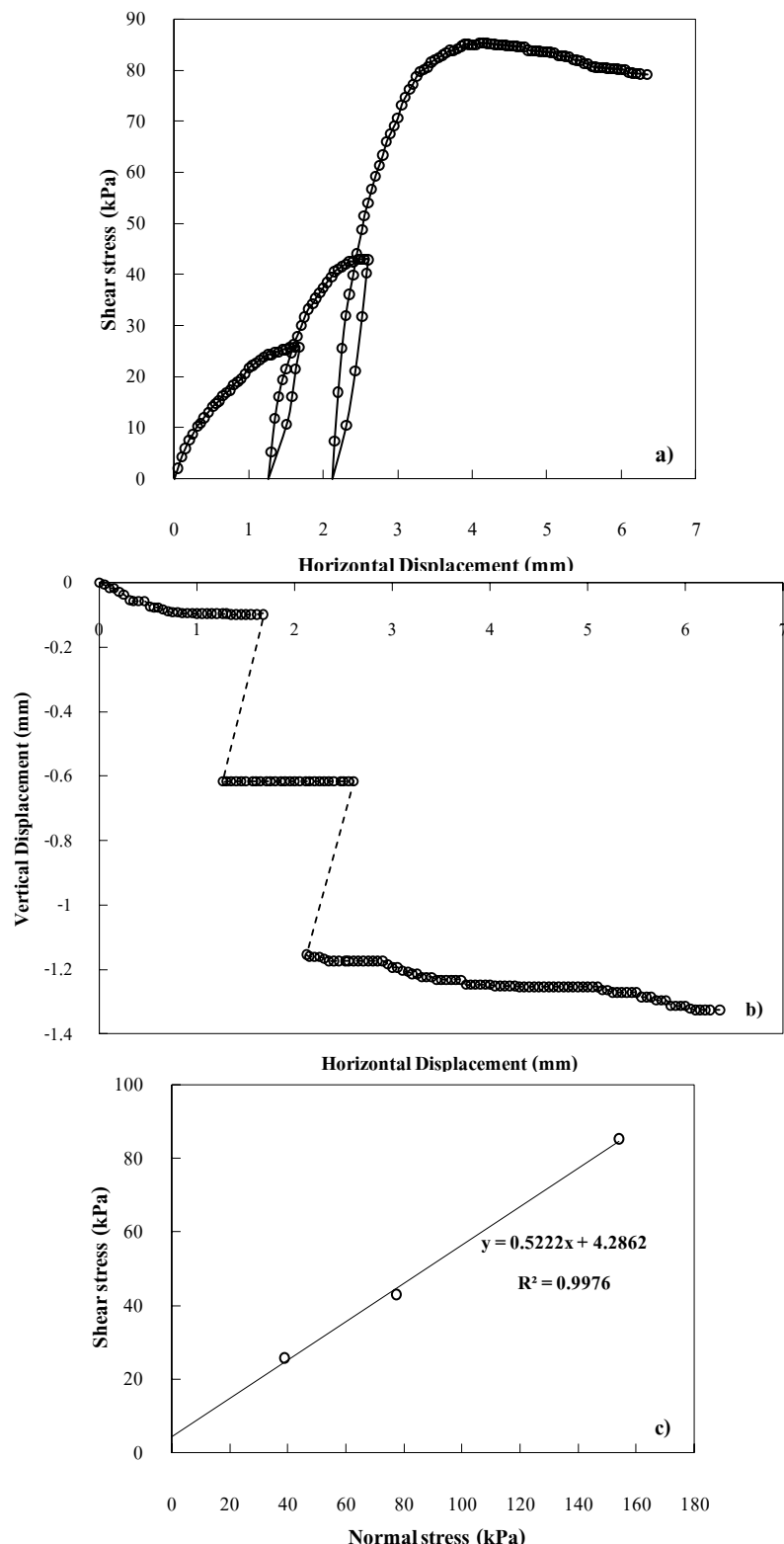
รูปที่ 4 – 10 กราฟแสดงความสัมพันธ์ระหว่าง a) Shear stress – Horizontal displacement, b) Vertical displacement – Horizontal displacement, c) Shear stress – Normal stress ของตัวอย่างดิน Section 2 ความลึก 1 เมตร จากขอบตั้ง ความชื้นธรรมชาติ



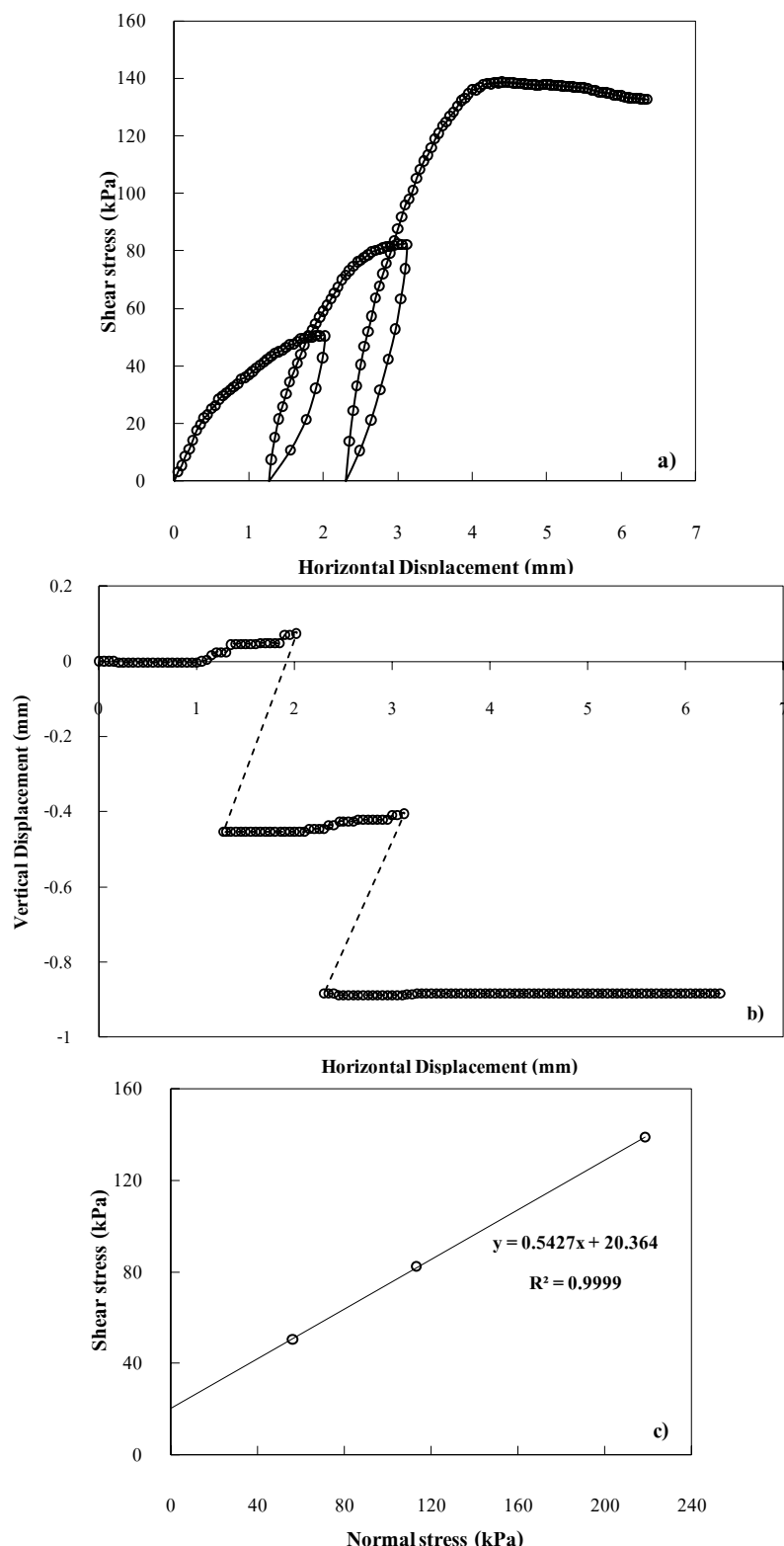
รูปที่ 4 – 11 กราฟแสดงความสัมพันธ์ระหว่าง a) Shear stress – Horizontal displacement, b) Vertical displacement – Horizontal displacement, c) Shear stress – Normal stress ของตัวอย่างดิน Section 2 ความลึก 1 เมตร จากขอบตั้ง ความชื้นอิ่มตัวด้วยน้ำ



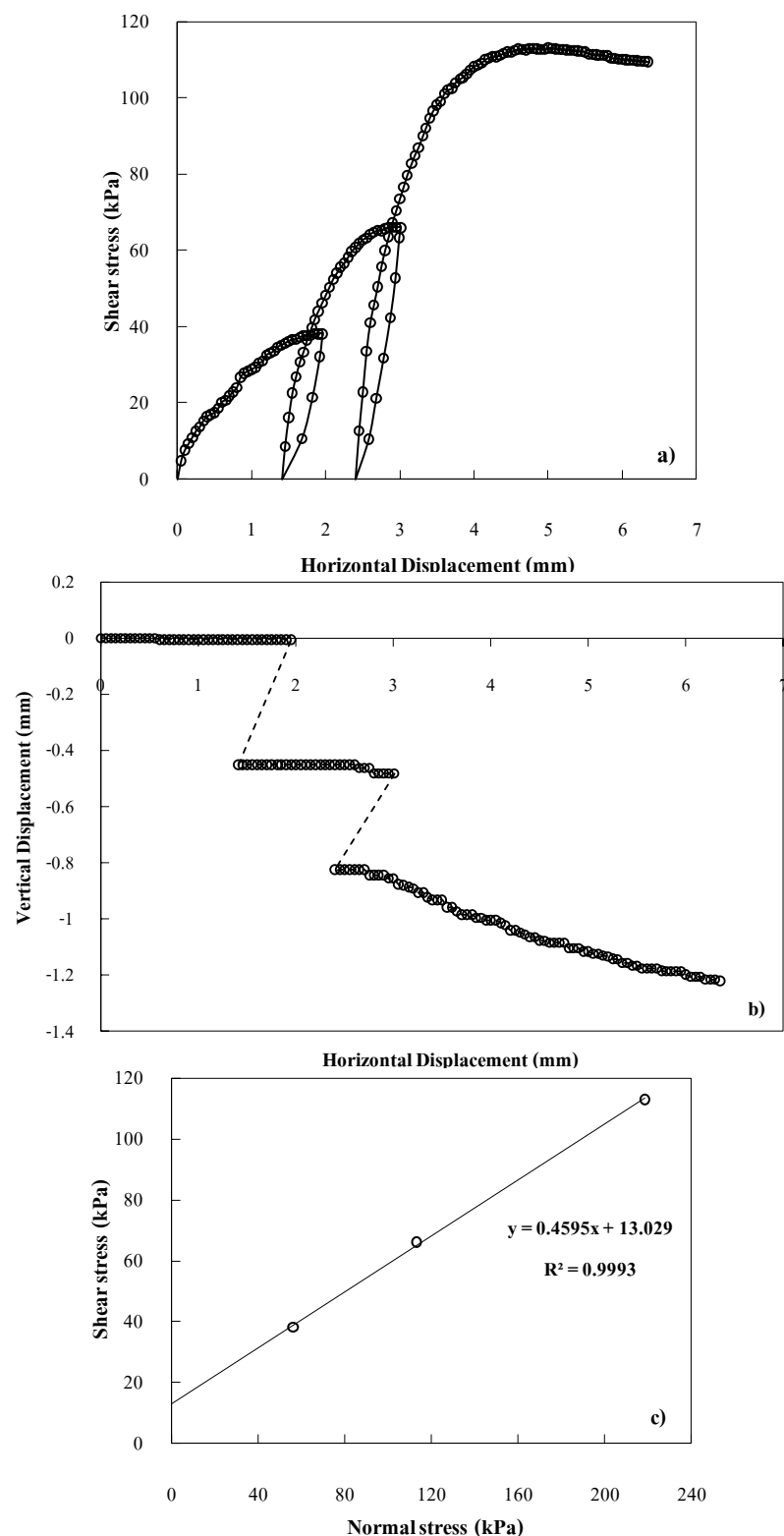
รูปที่ 4 – 12 กราฟแสดงความสัมพันธ์ระหว่าง a) Shear stress – Horizontal displacement, b) Vertical displacement – Horizontal displacement, c) Shear stress – Normal stress ของตัวอย่างดิน Section 2 ความลึก 2 เมตร จากขอบตั้ง ความชื้นธรรมชาติ



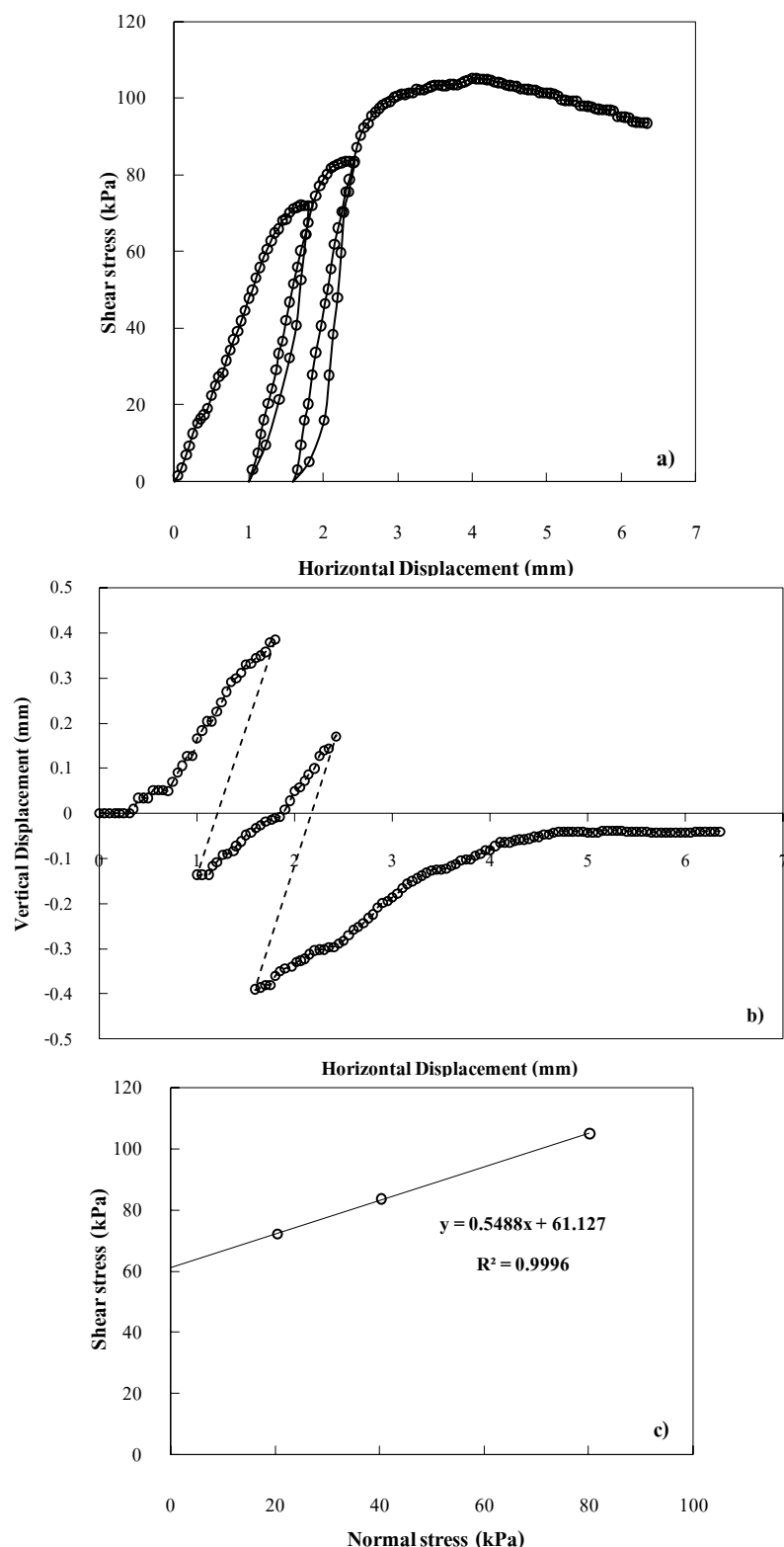
รูปที่ 4 – 13 กราฟแสดงความสัมพันธ์ระหว่าง a) Shear stress – Horizontal displacement, b) Vertical displacement – Horizontal displacement, c) Shear stress – Normal stress ของตัวอย่างดิน Section 2 ความลึก 2 เมตร จากขอบตัด ความชื้นอิ่มตัวค่อนข้างมาก



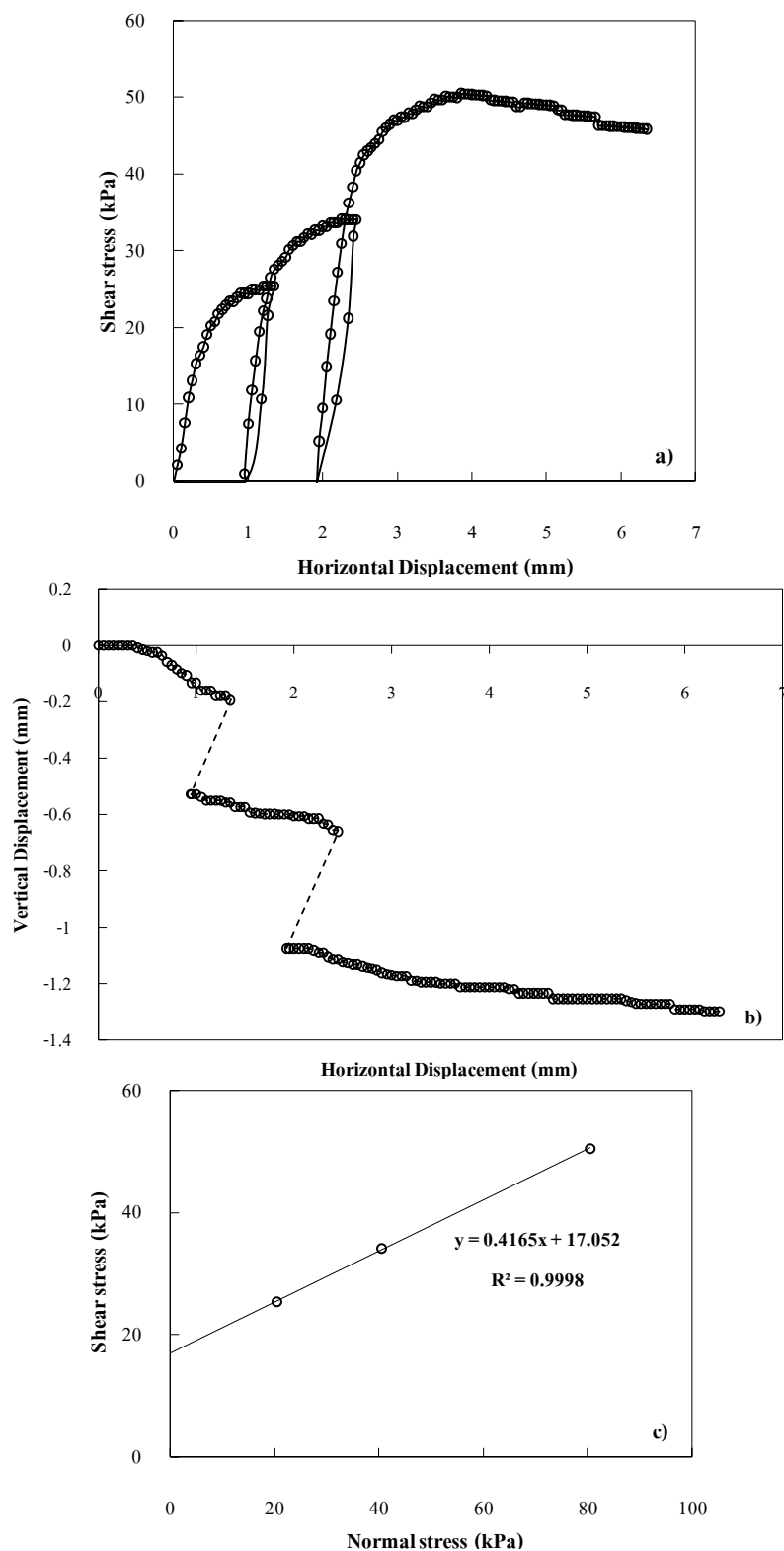
รูปที่ ๑ – ๑๔ กราฟแสดงความสัมพันธ์ระหว่าง a) Shear stress – Horizontal displacement, b) Vertical displacement – Horizontal displacement, c) Shear stress – Normal stress ของตัวอย่างดิน Section 2 ความลึก 3 เมตร จากขอบตั้ง ความชื้นธรรมชาติ



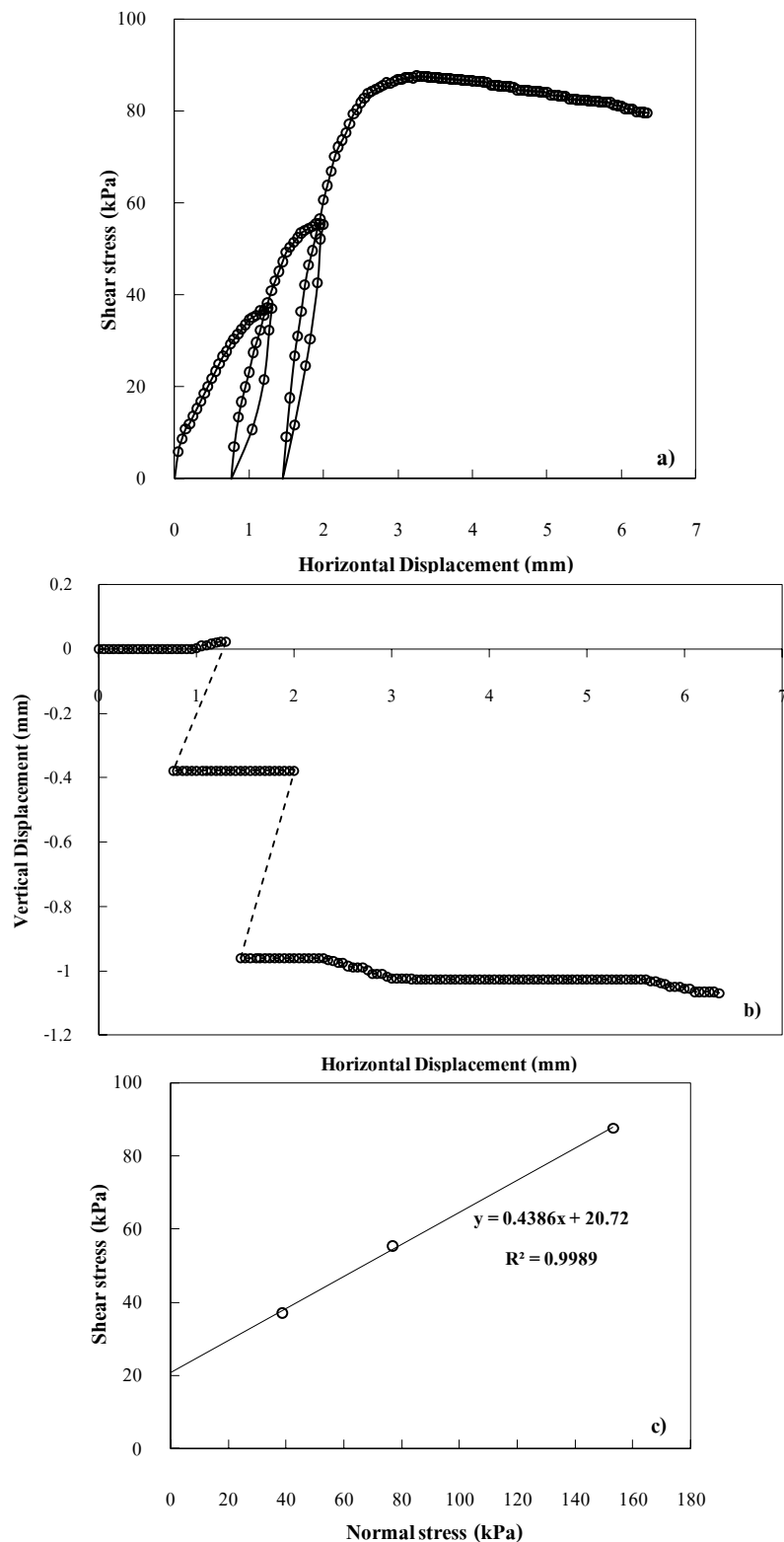
รูปที่ ๑ – ๕ กราฟแสดงความสัมพันธ์ระหว่าง a) Shear stress – Horizontal displacement, b) Vertical displacement – Horizontal displacement, c) Shear stress – Normal stress ของตัวอย่างดิน Section 2 ความลึก 3 เมตร จากขอบต่ำสุด ความชื้นอิ่มตัวด้วยน้ำ



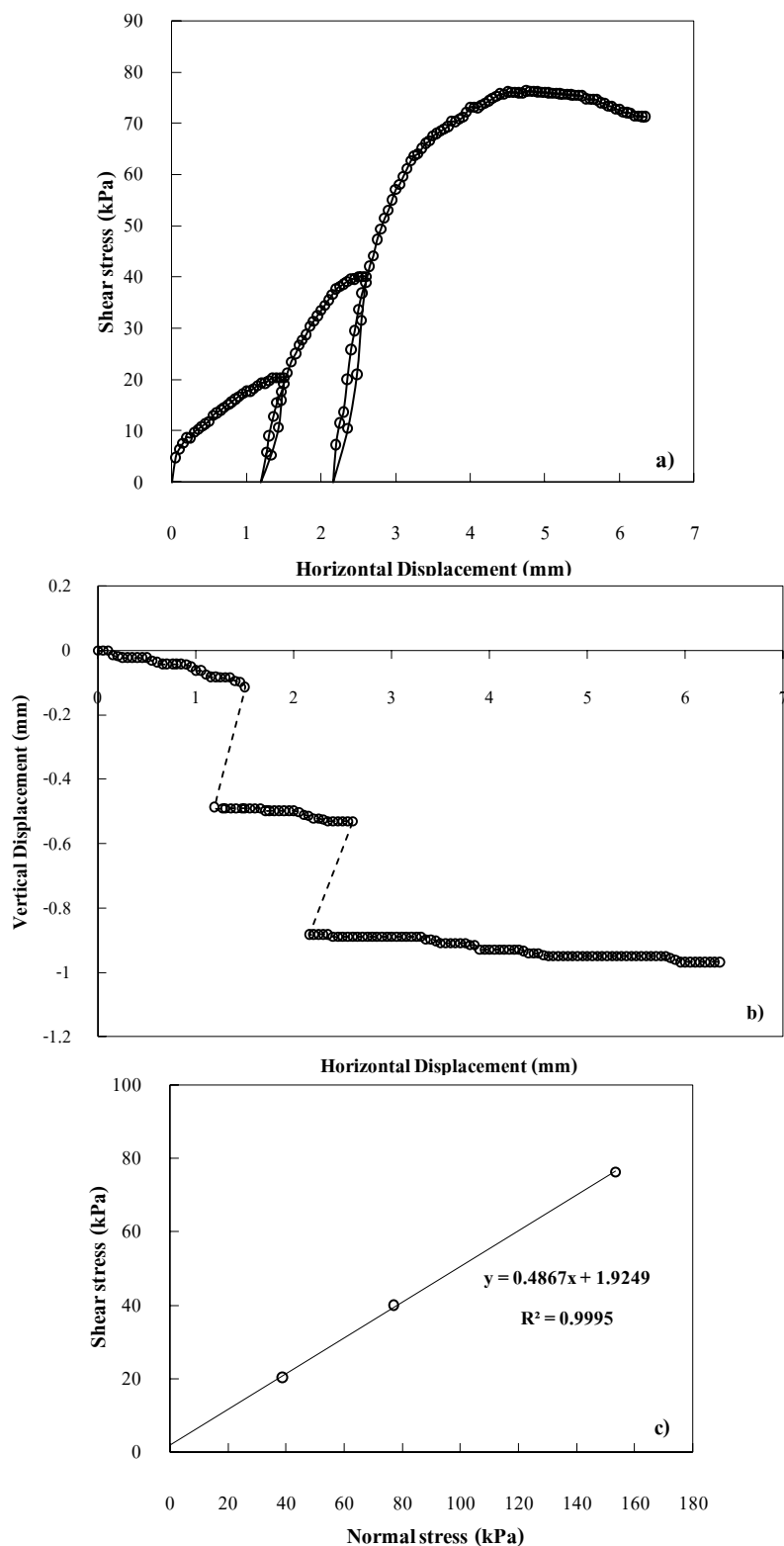
รูปที่ ๑๖ กราฟแสดงความสัมพันธ์ระหว่าง a) Shear stress – Horizontal displacement, b) Vertical displacement – Horizontal displacement, c) Shear stress – Normal stress ของตัวอย่างดิน Section 3 ความลึก 1 เมตร จากขอบต่อ ความชื้นธรรมชาติ



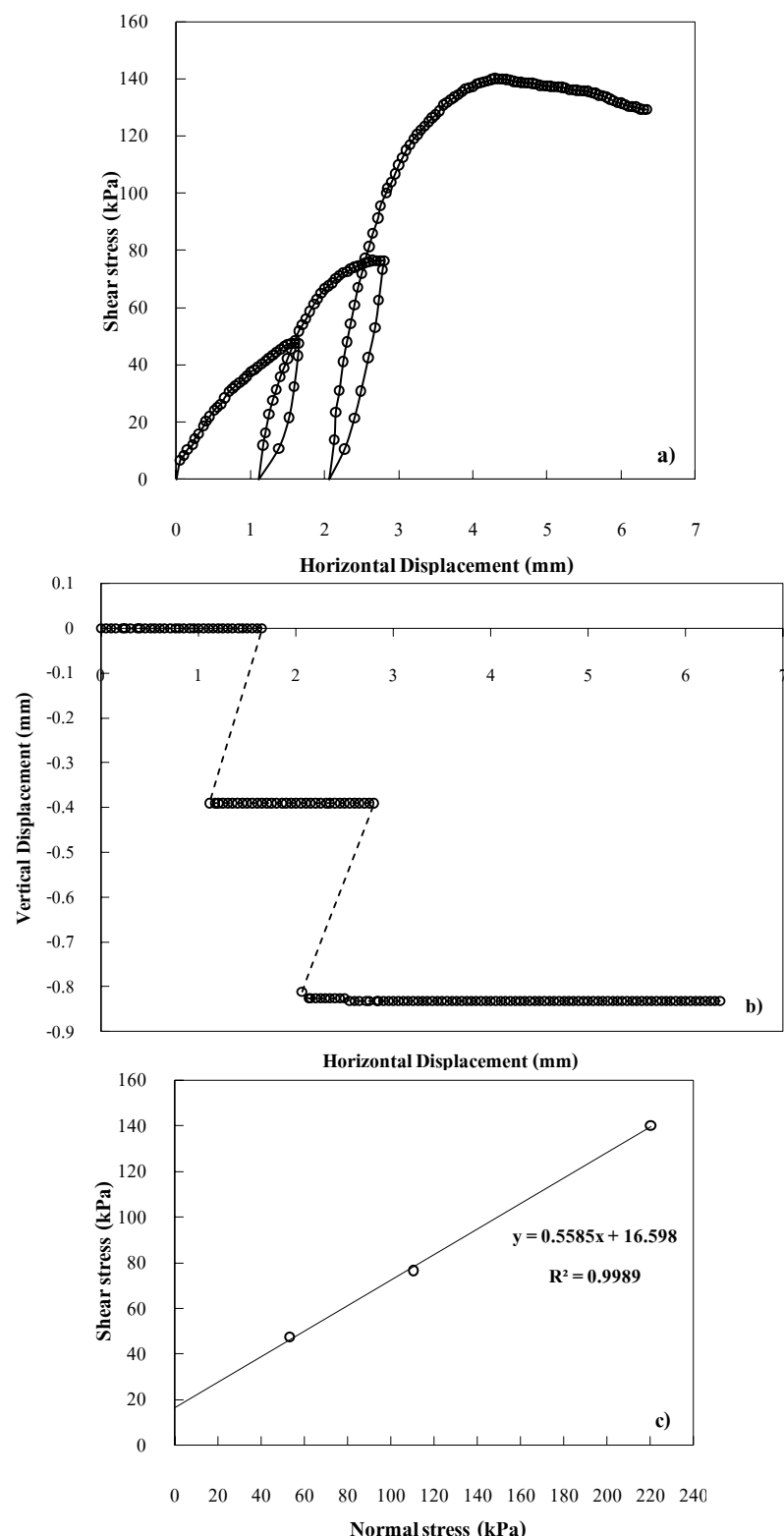
รูปที่ ๑ – ๑๗ กราฟแสดงความสัมพันธ์ระหว่าง a) Shear stress – Horizontal displacement, b) Vertical displacement – Horizontal displacement, c) Shear stress – Normal stress ของตัวอย่างดิน Section 3 ความลึก 1 เมตร จากขอบตั้ง ความชื้นอิ่มตัวด้วยน้ำ



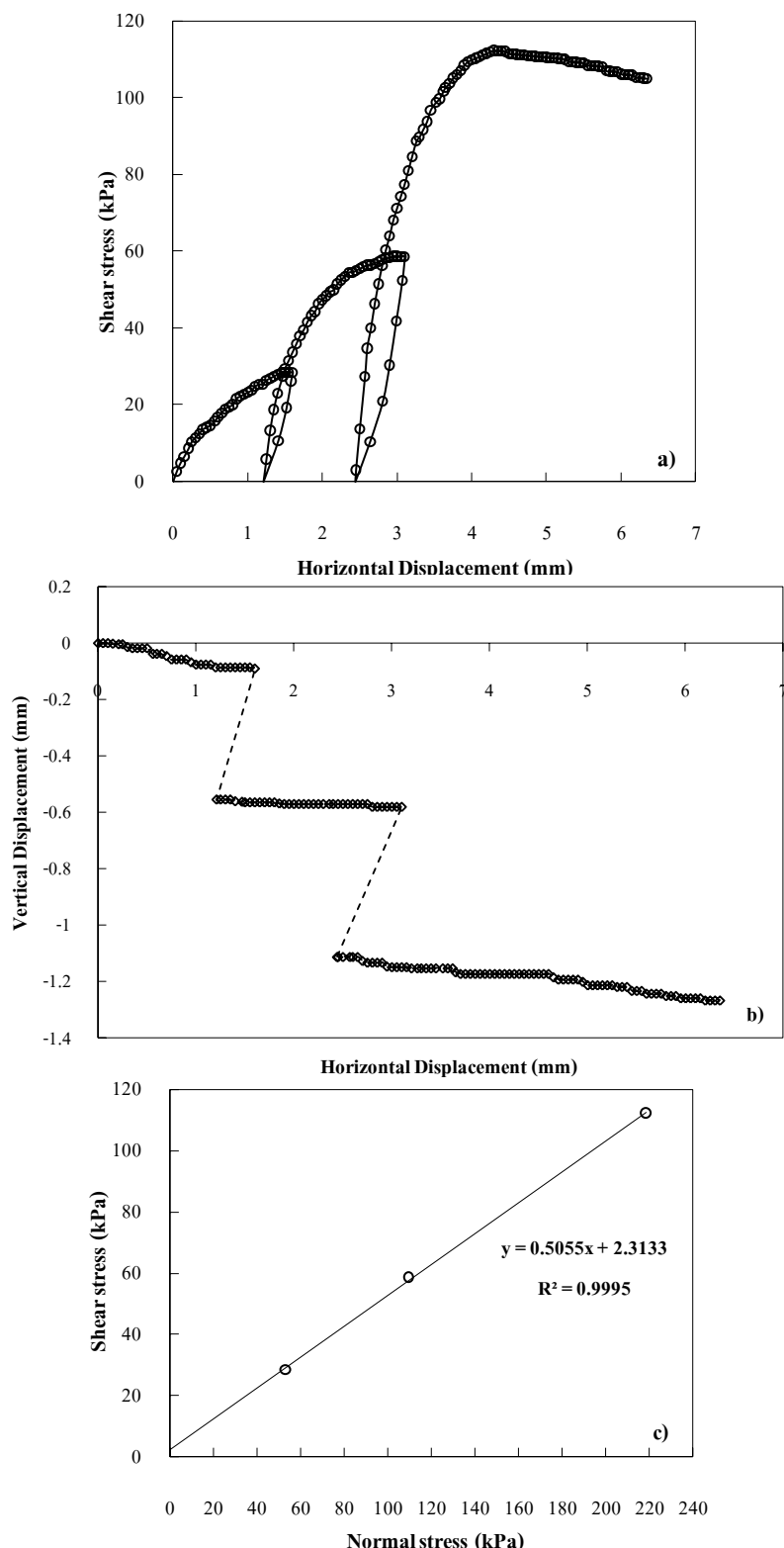
รูปที่ ๔ – ๑๘ กราฟแสดงความสัมพันธ์ระหว่าง a) Shear stress – Horizontal displacement, b) Vertical displacement – Horizontal displacement, c) Shear stress – Normal stress ของตัวอย่างดิน Section 3 ความลึก 2 เมตร จากขอบตลิ่ง ความชื้นชาร์มชาติ



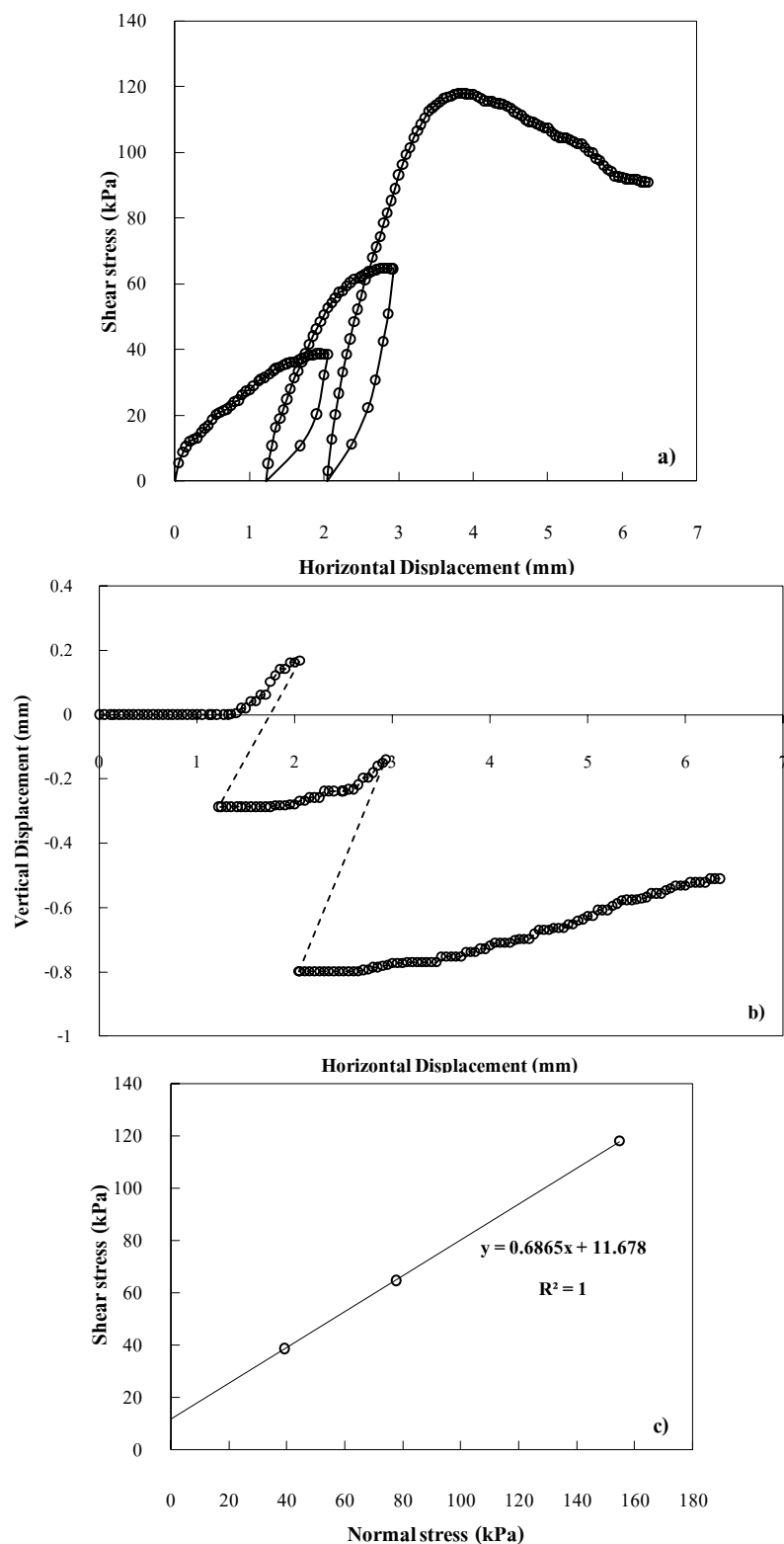
รูปที่ ๔ – 19 กราฟแสดงความสัมพันธ์ระหว่าง a) Shear stress – Horizontal displacement, b) Vertical displacement – Horizontal displacement, c) Shear stress – Normal stress ของตัวอย่างดิน Section 3 ความลึก 2 เมตร จากขอบตลิ่ง ความชื้นอิ่มตัวด้วยน้ำ



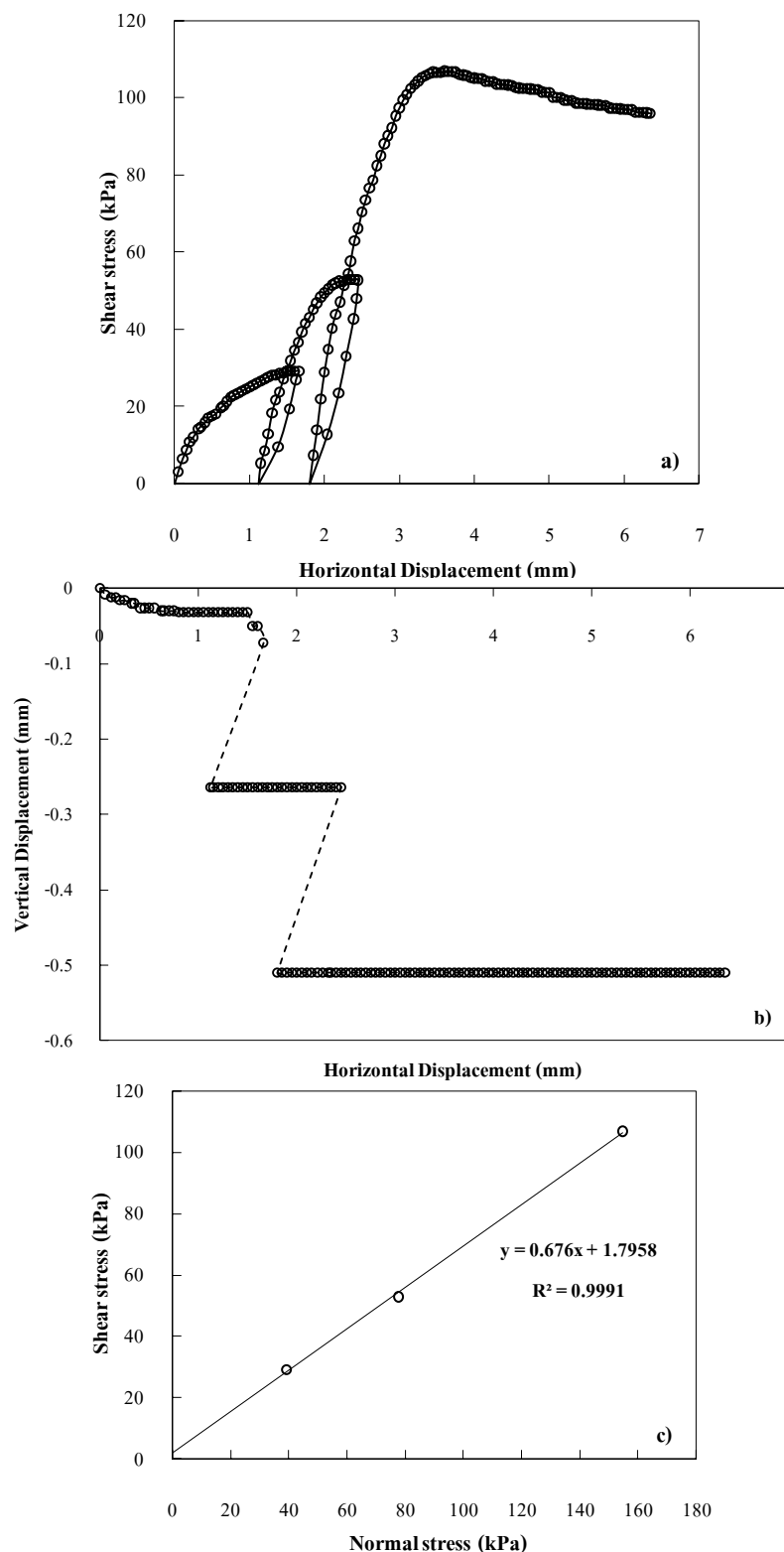
รูปที่ 20 กราฟแสดงความสัมพันธ์ระหว่าง a) Shear stress – Horizontal displacement, b) Vertical displacement – Horizontal displacement, c) Shear stress – Normal stress ของตัวอย่างดิน Section 3 ความลึก 3 เมตร จากขอบตลิ่ง ความชื้นธรรมชาติ



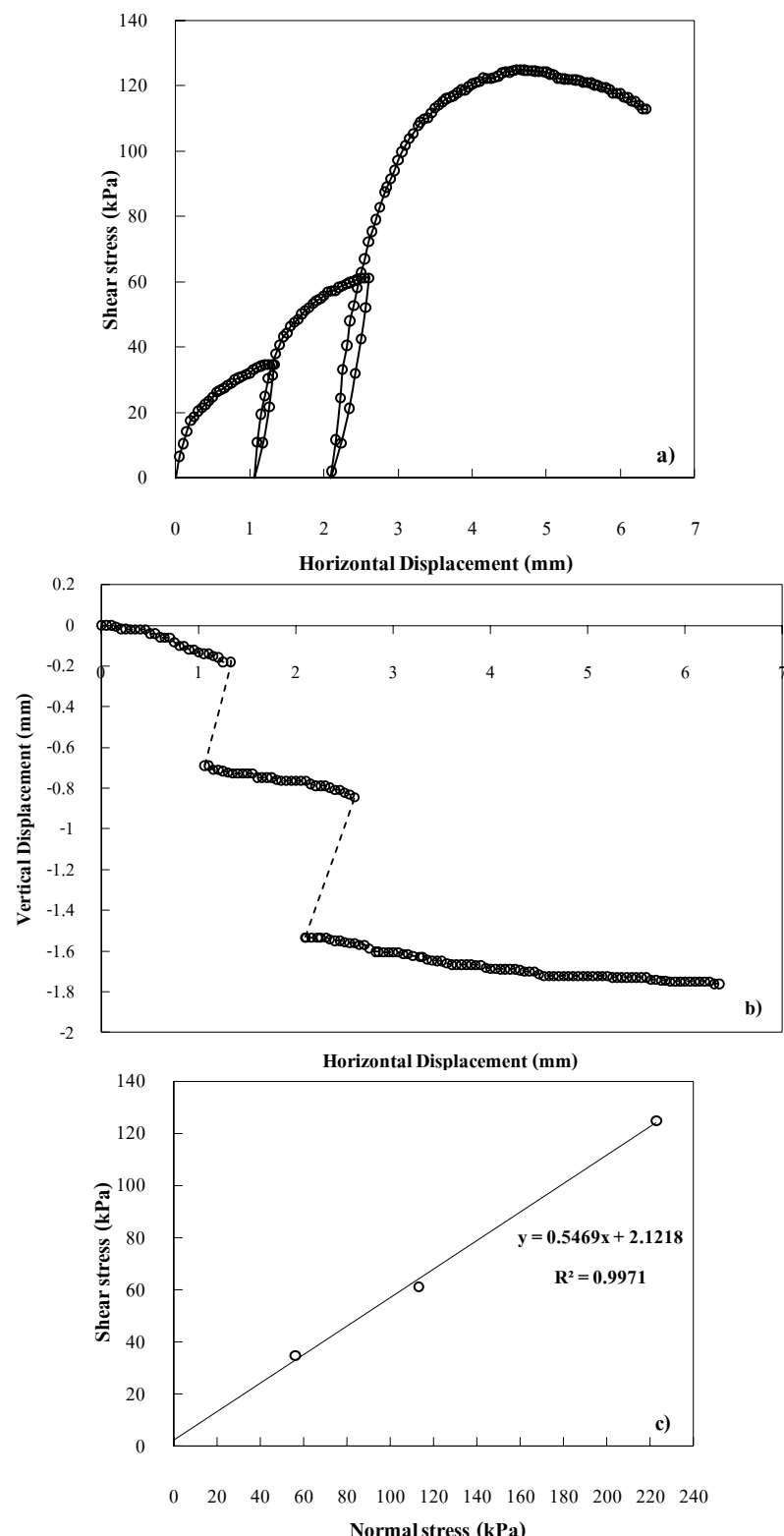
รูปที่ 3 – 21 กราฟแสดงความสัมพันธ์ระหว่าง a) Shear stress – Horizontal displacement, b) Vertical displacement – Horizontal displacement, c) Shear stress – Normal stress ของตัวอย่างดิน Section 3 ความลึก 3 เมตร จากขอบตั้ง ความชื้นอิ่มตัวด้วยน้ำ



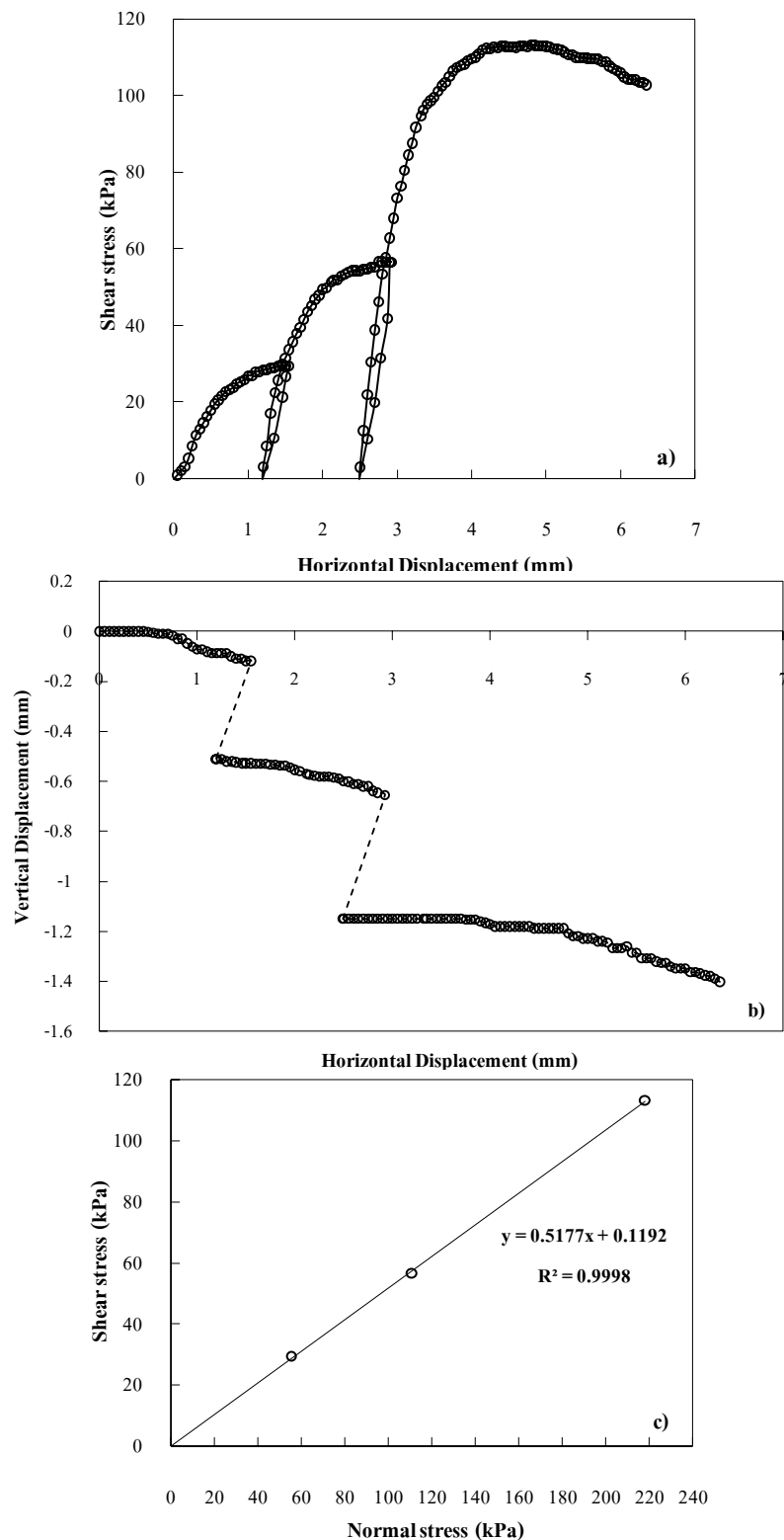
รูปที่ ๒ – ๒๒ กราฟแสดงความสัมพันธ์ระหว่าง a) Shear stress – Horizontal displacement, b) Vertical displacement – Horizontal displacement, c) Shear stress – Normal stress ของตัวอย่างดิน Section 3 ความลึก 4 เมตร จากขอบตลิง ความชื้นธรรมชาติ



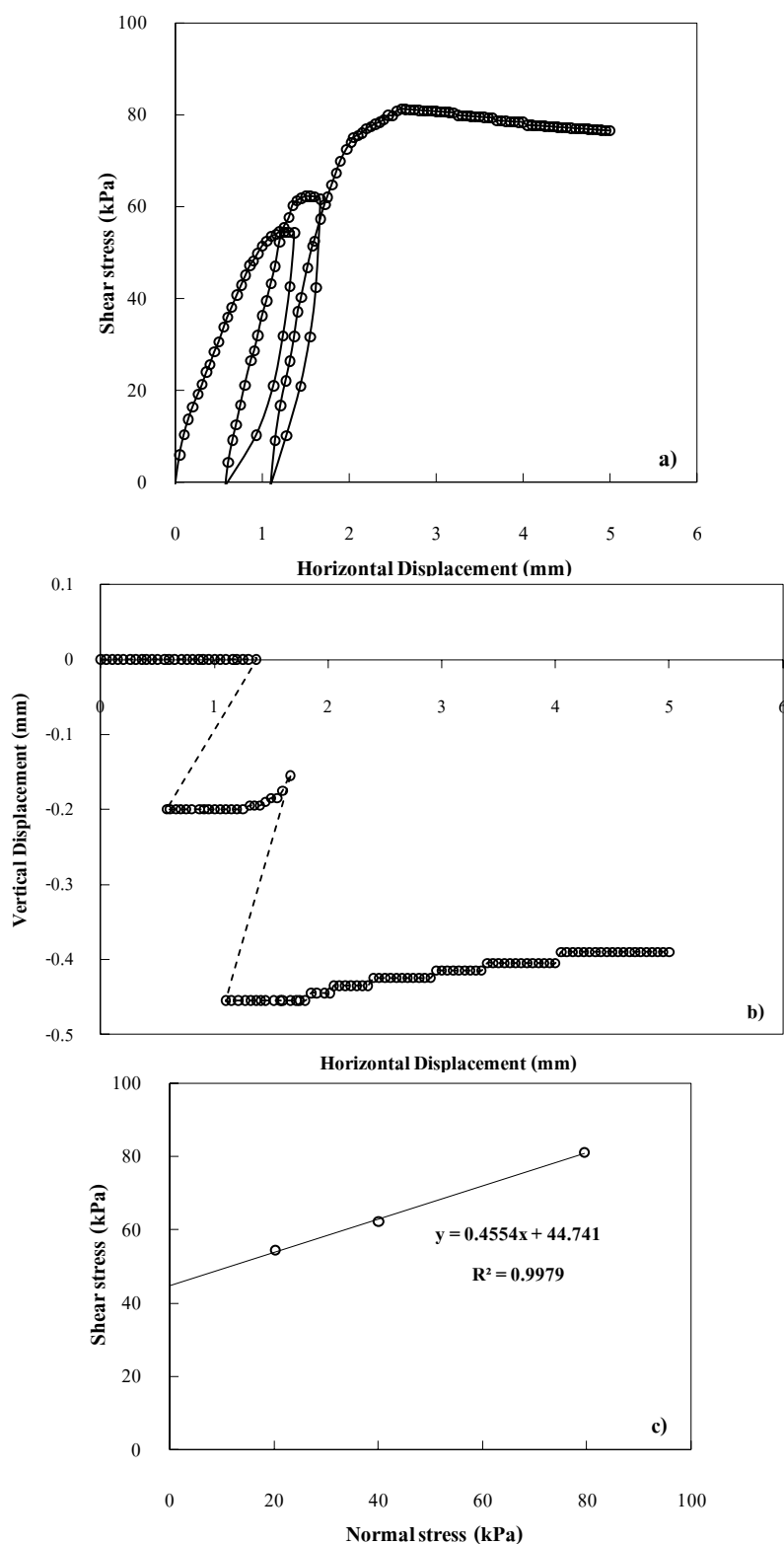
รูปที่ 4 – 23 กราฟแสดงความสัมพันธ์ระหว่าง a) Shear stress – Horizontal displacement, b) Vertical displacement – Horizontal displacement, c) Shear stress – Normal stress ของตัวอย่างดิน Section 3 ความลึก 4 เมตร จากขอบตลิง ความชื้นอิ่มตัวด้วยน้ำ



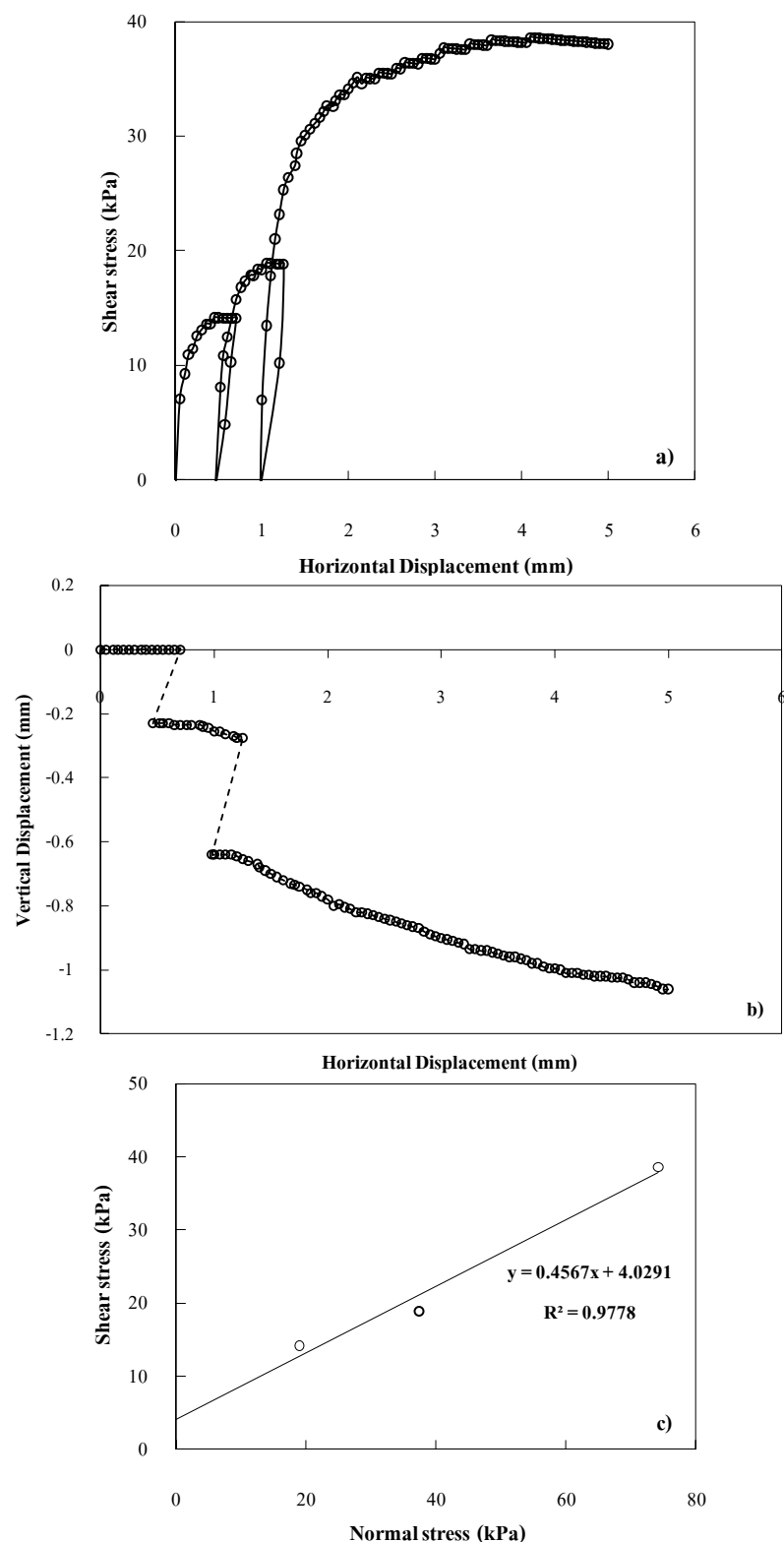
รูปที่ ๔ – 24 กราฟแสดงความสัมพันธ์ระหว่าง a) Shear stress – Horizontal displacement, b) Vertical displacement – Horizontal displacement, c) Shear stress – Normal stress ของตัวอย่างดิน Section 3 ความลึก 5 เมตร จากขอบติ่ง ความชื้นชาร์มชาติ



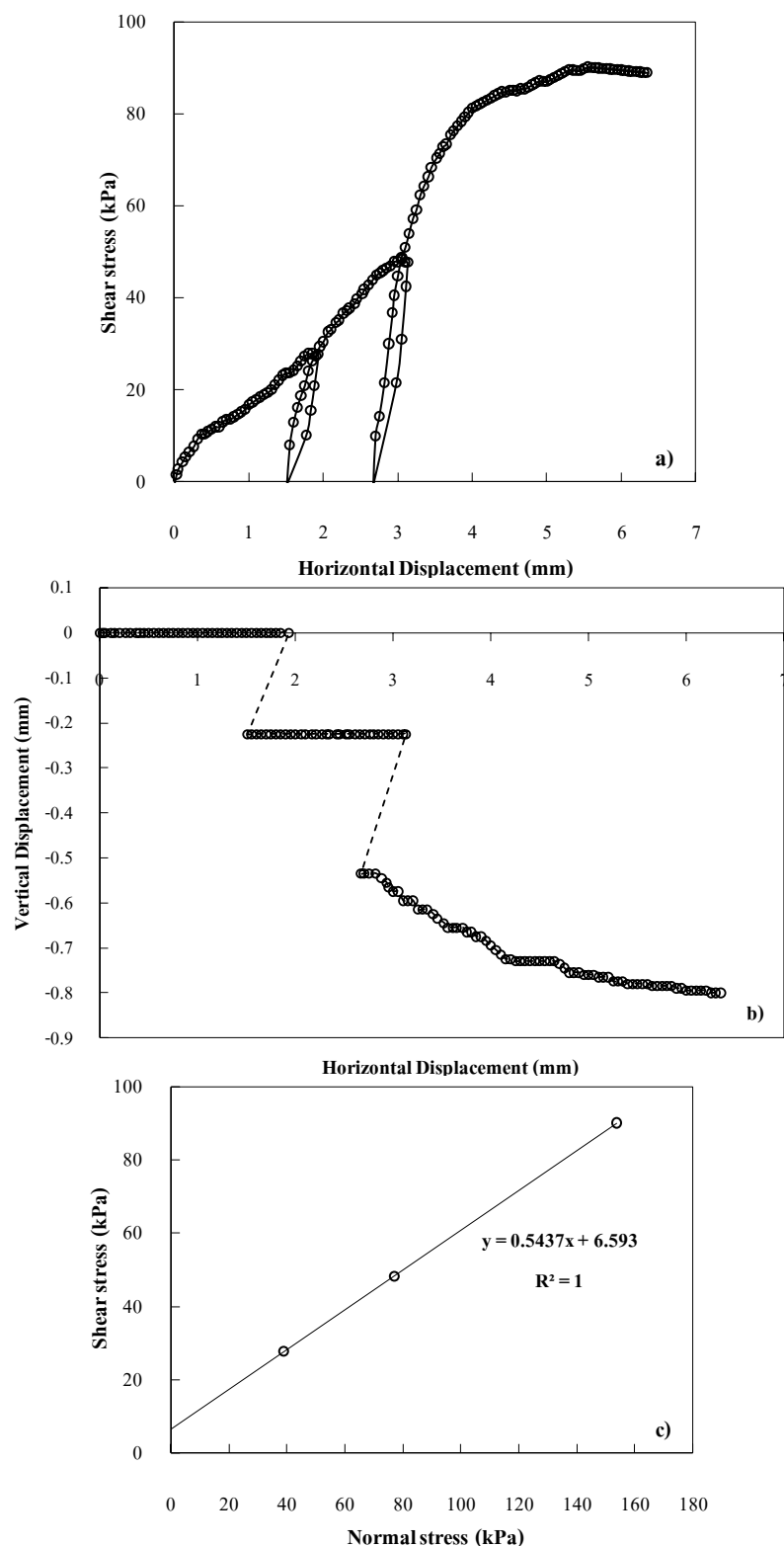
รูปที่ ๔ – ๒๕ กราฟแสดงความสัมพันธ์ระหว่าง a) Shear stress – Horizontal displacement, b) Vertical displacement – Horizontal displacement, c) Shear stress – Normal stress ของตัวอย่างดิน Section 3 ความลึก ๕ เมตร จากขอบคลัง ความชื้นอิ่มตัวด้วยน้ำ



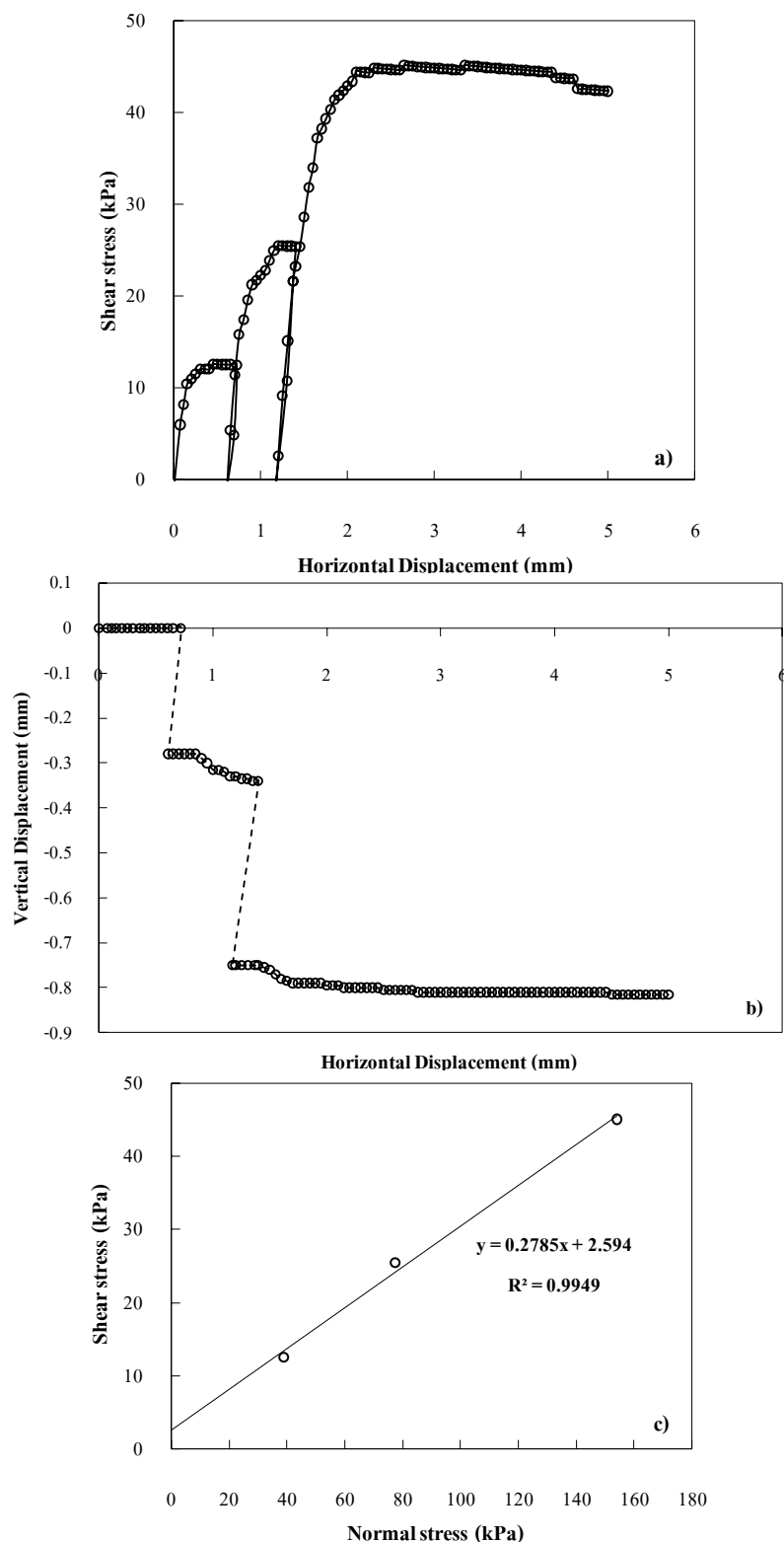
รูปที่ ๒๖ กราฟแสดงความสัมพันธ์ระหว่าง a) Shear stress – Horizontal displacement, b) Vertical displacement – Horizontal displacement, c) Shear stress – Normal stress ของตัวอย่างดิน Section 4 ความลึก 1 เมตร จากขอบต่ำสุด ความชื้นธรรมชาติ



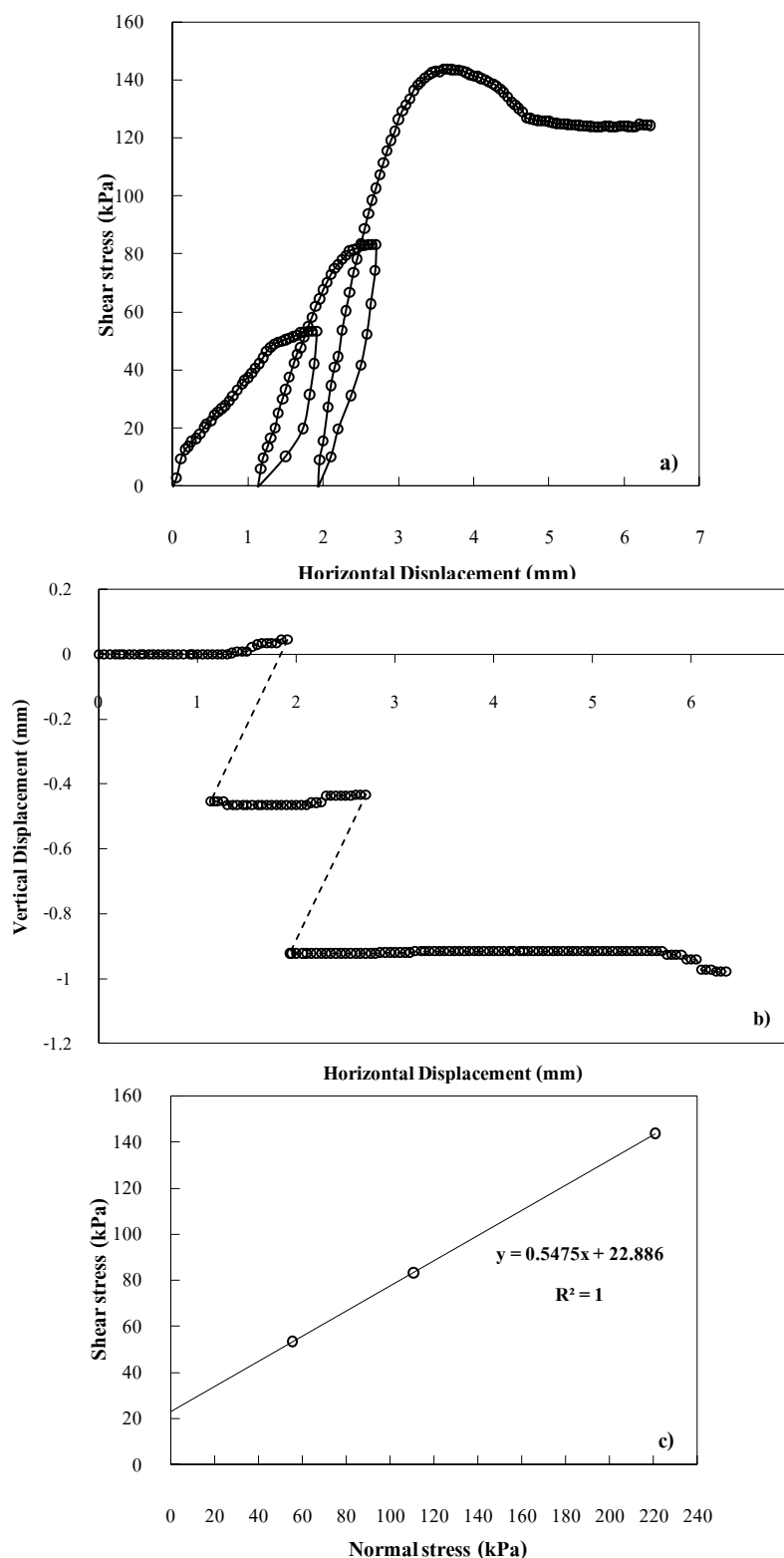
รูปที่ ง – 27 กราฟแสดงความสัมพันธ์ระหว่าง a) Shear stress – Horizontal displacement, b) Vertical displacement – Horizontal displacement, c) Shear stress – Normal stress ของตัวอย่างดิน Section 4 ความลึก 1 เมตร จากขอบตลิ่ง ความชื้นอิ่มตัวด้วยน้ำ



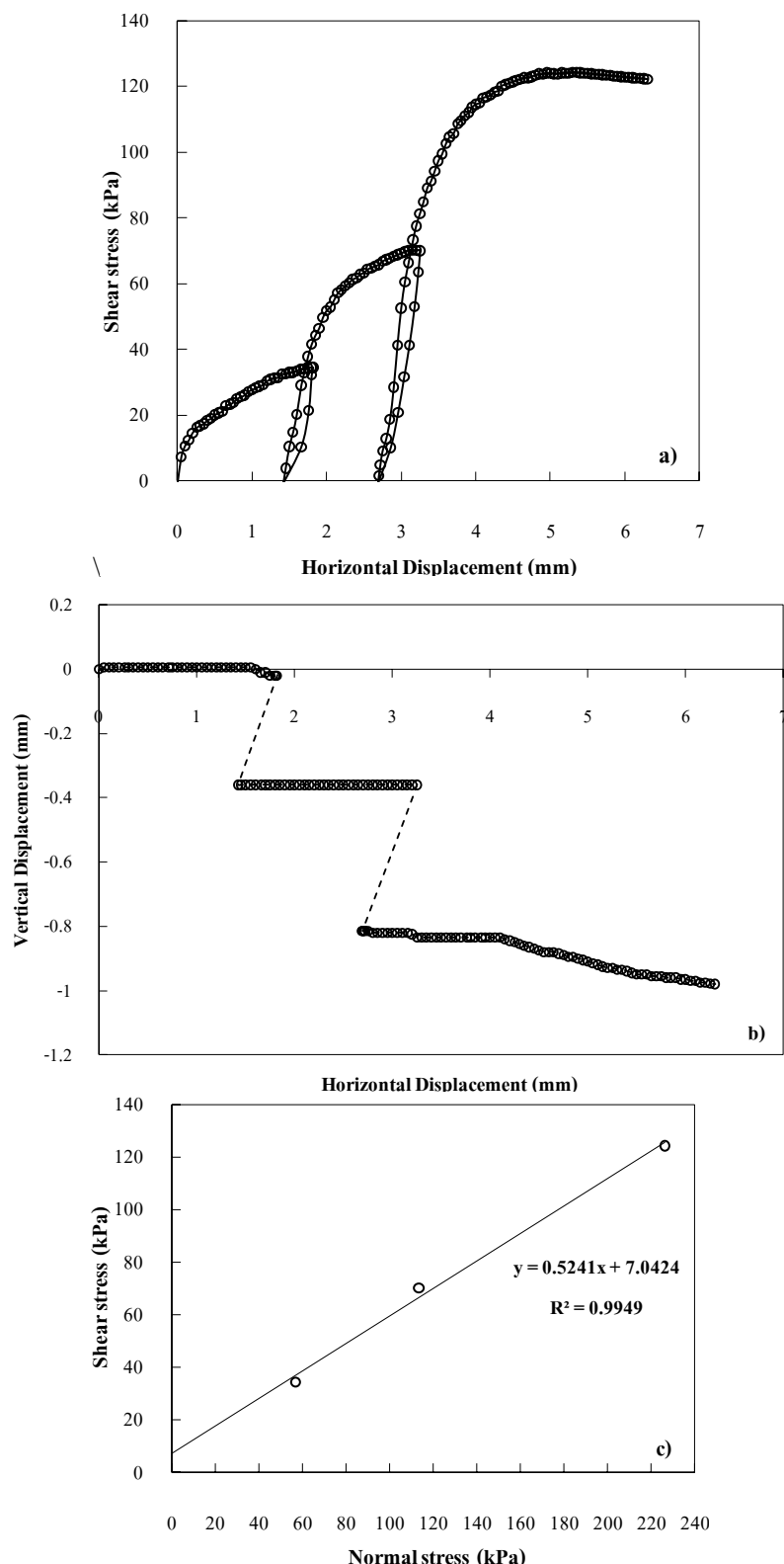
รูปที่ 28 กราฟแสดงความสัมพันธ์ระหว่าง a) Shear stress – Horizontal displacement, b) Vertical displacement – Horizontal displacement, c) Shear stress – Normal stress ของตัวอย่างดิน Section 4 ความลึก 2 เมตร จากขอบตั้ง ความชื้นธรรมชาติ



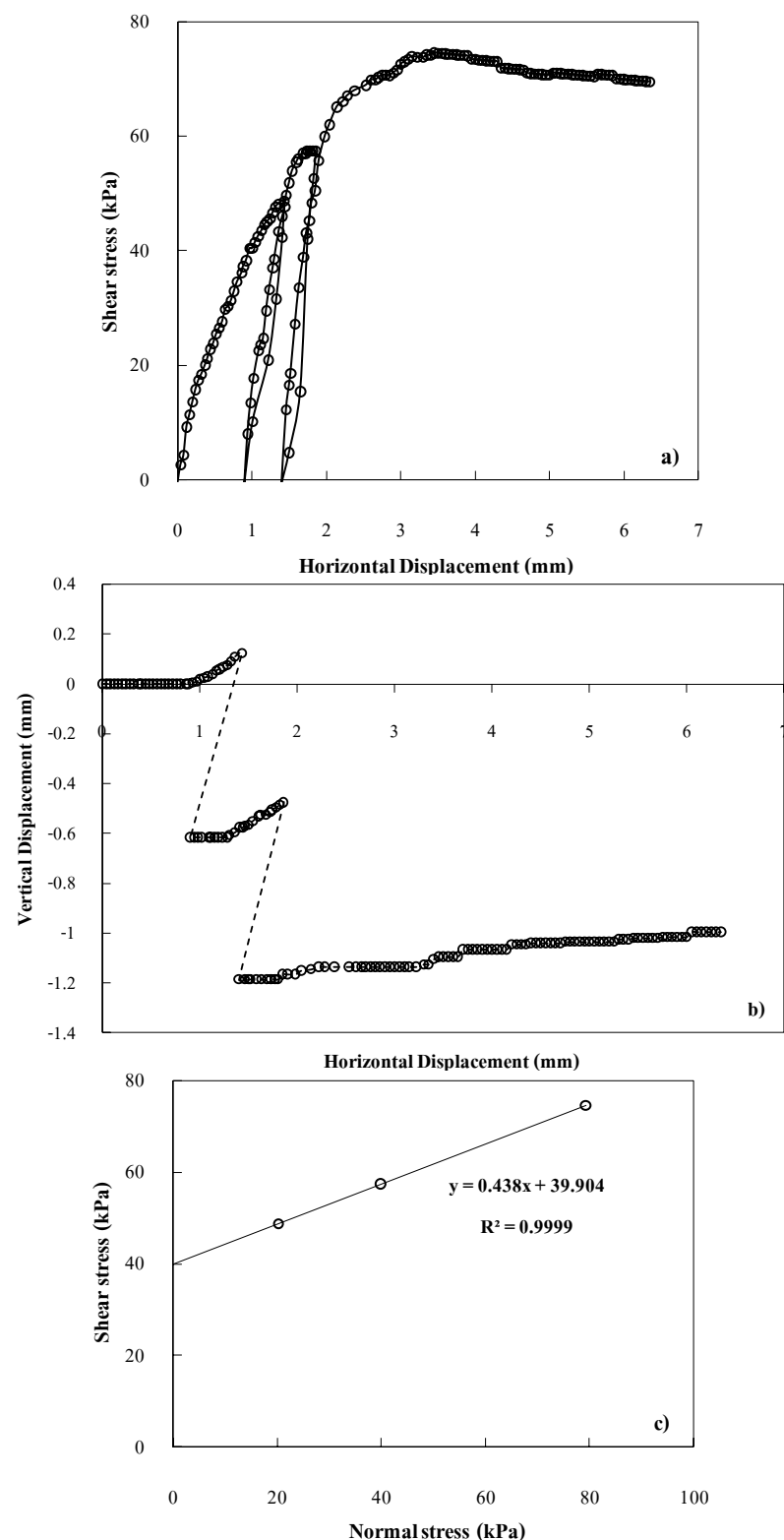
รูปที่ ง – 29 กราฟแสดงความสัมพันธ์ระหว่าง a) Shear stress – Horizontal displacement, b) Vertical displacement – Horizontal displacement, c) Shear stress – Normal stress ของตัวอย่างดิน Section 4 ความลึก 2 เมตร จากขอบตลิ่ง ความชื้นอิ่มตัวด้วยน้ำ



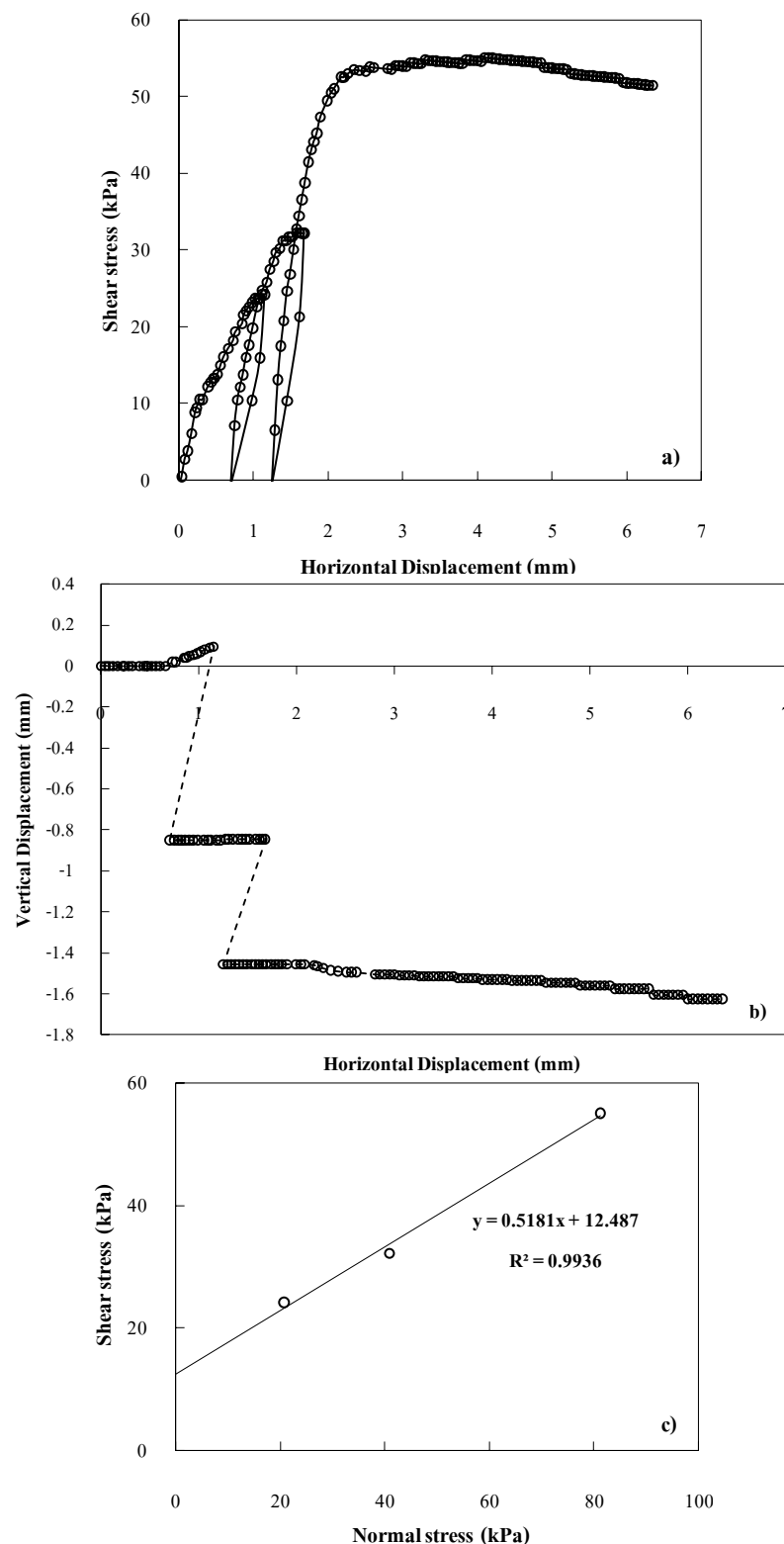
รูปที่ ง – 30 กราฟแสดงความสัมพันธ์ระหว่าง a) Shear stress – Horizontal displacement, b) Vertical displacement – Horizontal displacement, c) Shear stress – Normal stress ของตัวอย่างดิน Section 4 ความลึก 3 เมตร จากขอบตลิ่ง ความชื้นธรรมชาติ



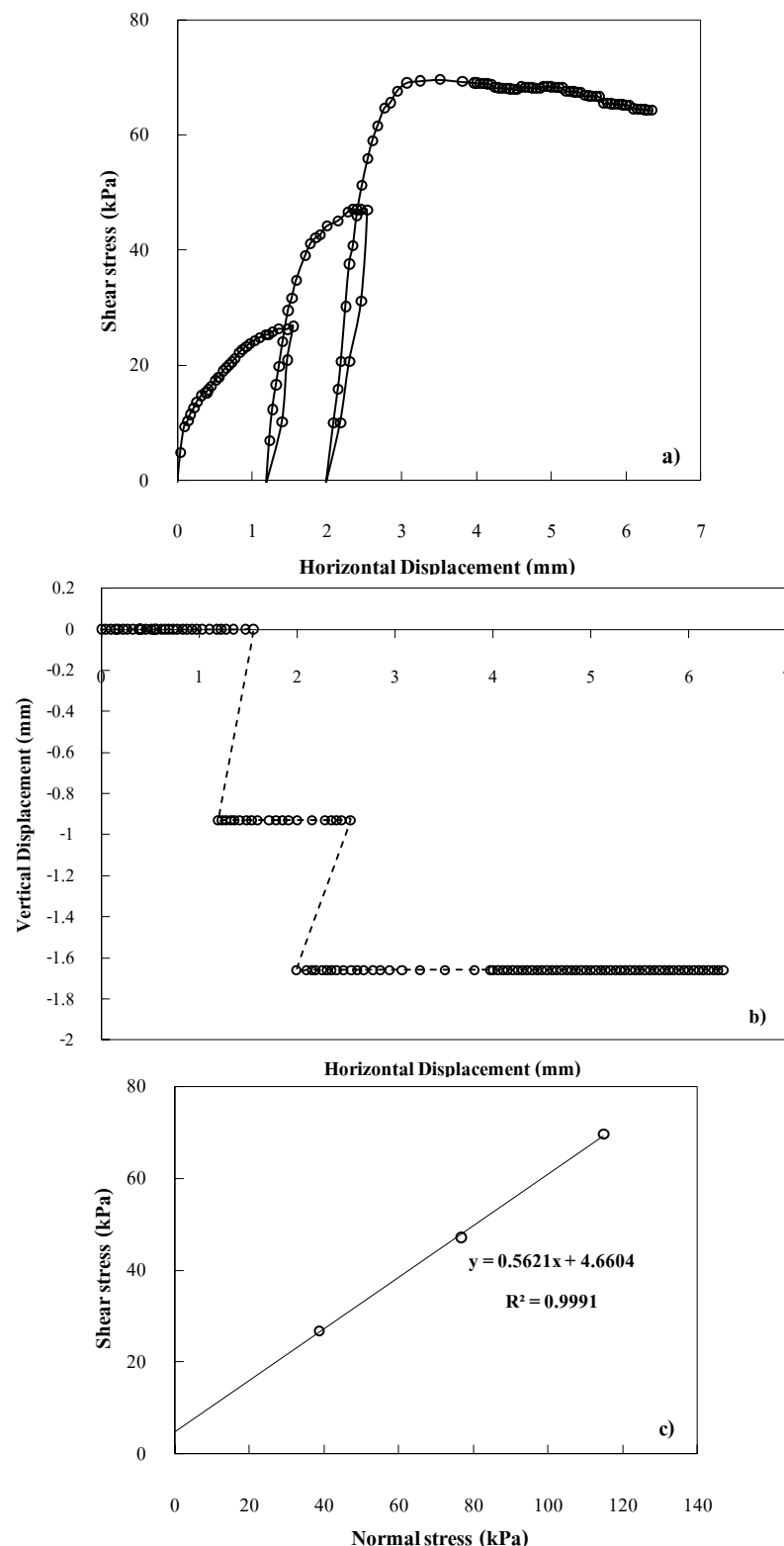
รูปที่ 4 – 31 กราฟแสดงความสัมพันธ์ระหว่าง a) Shear stress – Horizontal displacement, b) Vertical displacement – Horizontal displacement, c) Shear stress – Normal stress ของตัวอย่างดิน Section 4 ความลึก 3 เมตร จากขอบตลิ่ง ความชื้นอิ่มตัวคือ $\theta = 60^\circ$



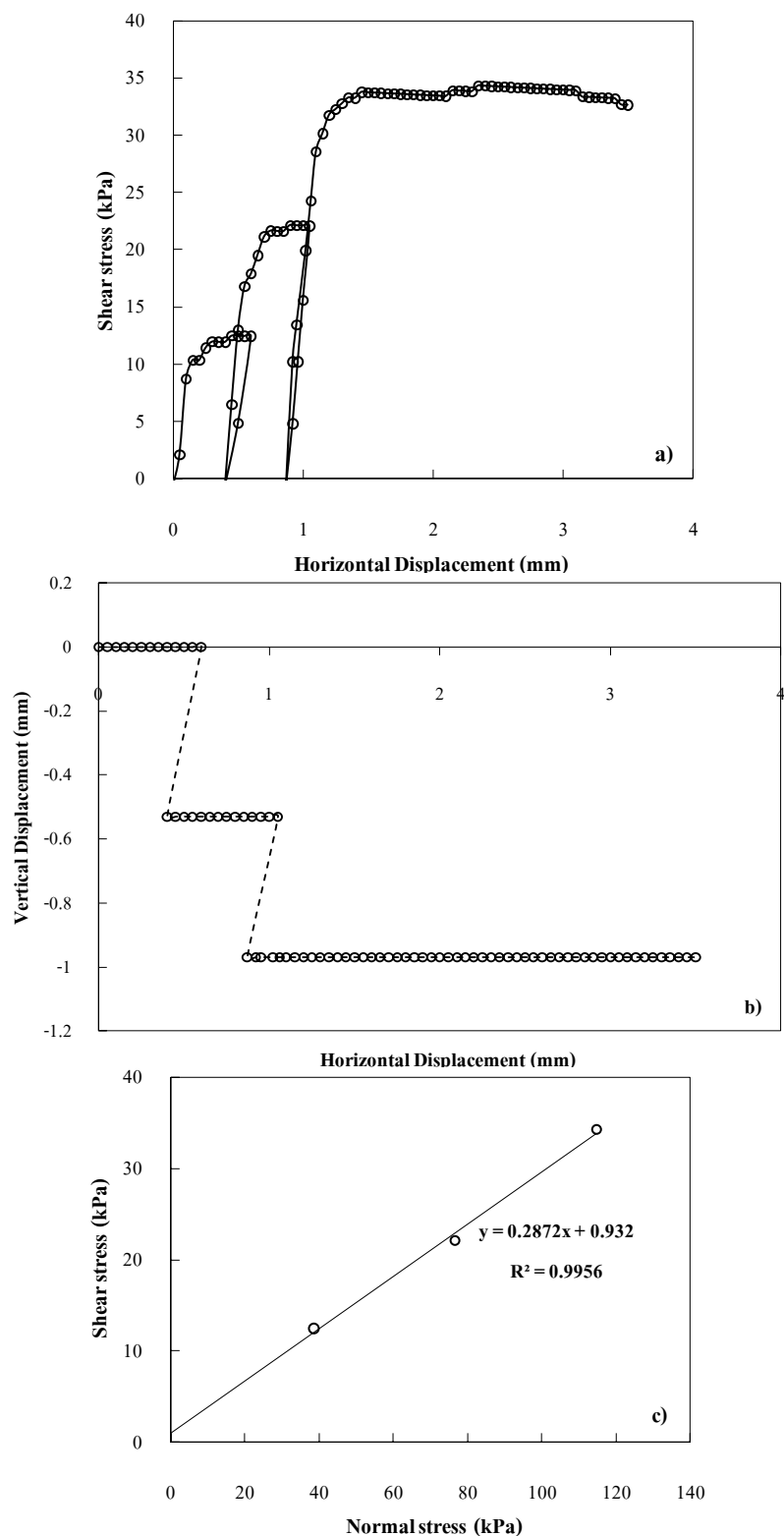
รูปที่ ง – 32 กราฟแสดงความสัมพันธ์ระหว่าง a) Shear stress – Horizontal displacement, b) Vertical displacement – Horizontal displacement, c) Shear stress – Normal stress ของตัวอย่างดิน Section 5 ความลึก 1 เมตร จากขอบตลิ่ง ความชื้นชาร์มชาติ



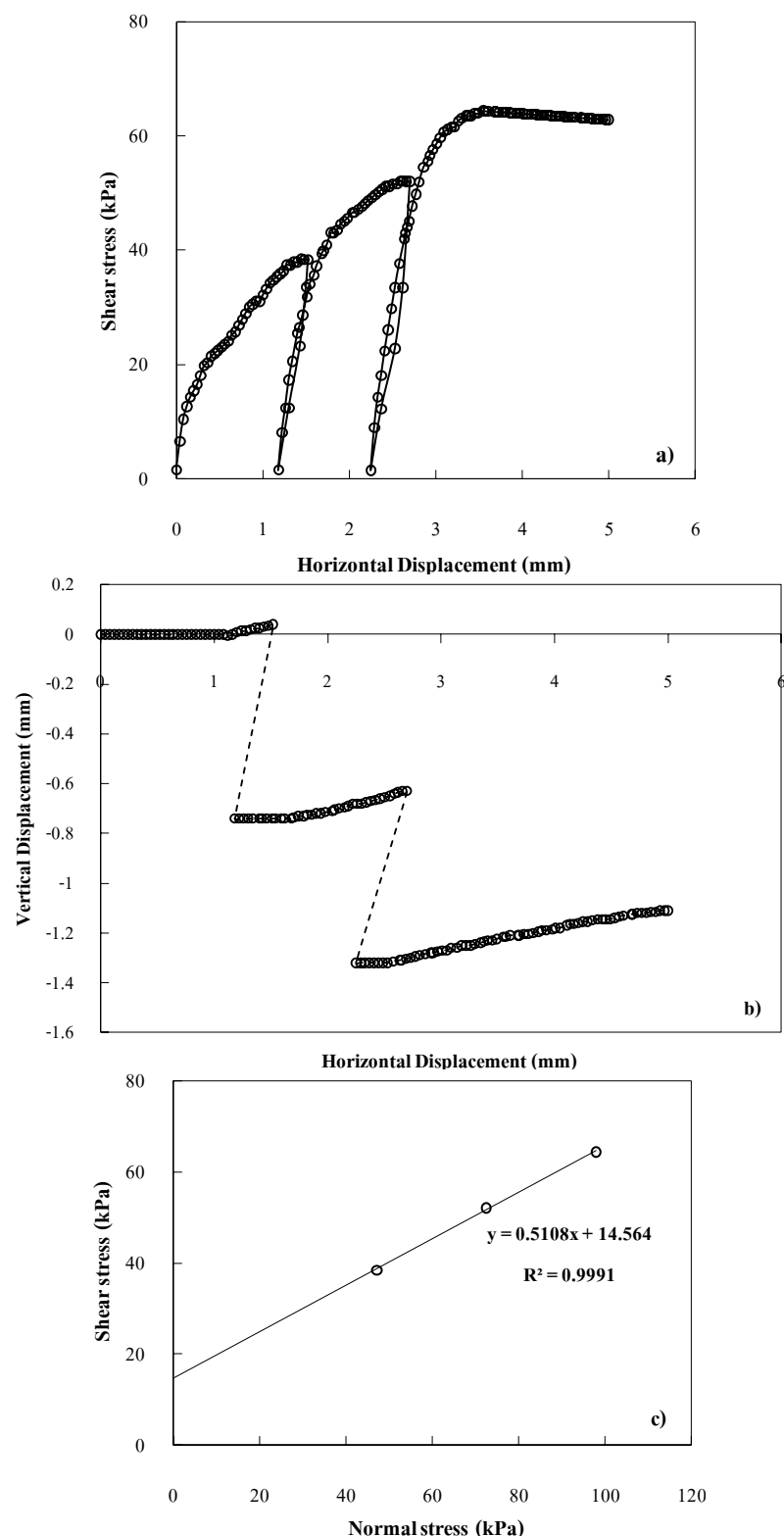
รูปที่ ๓ – ๓๓ กราฟแสดงความสัมพันธ์ระหว่าง a) Shear stress – Horizontal displacement, b) Vertical displacement – Horizontal displacement, c) Shear stress – Normal stress ของตัวอย่างดิน Section 5 ความลึก 1 เมตร จากขอบตลิ่ง ความชื้นอิ่มตัวด้วยน้ำ



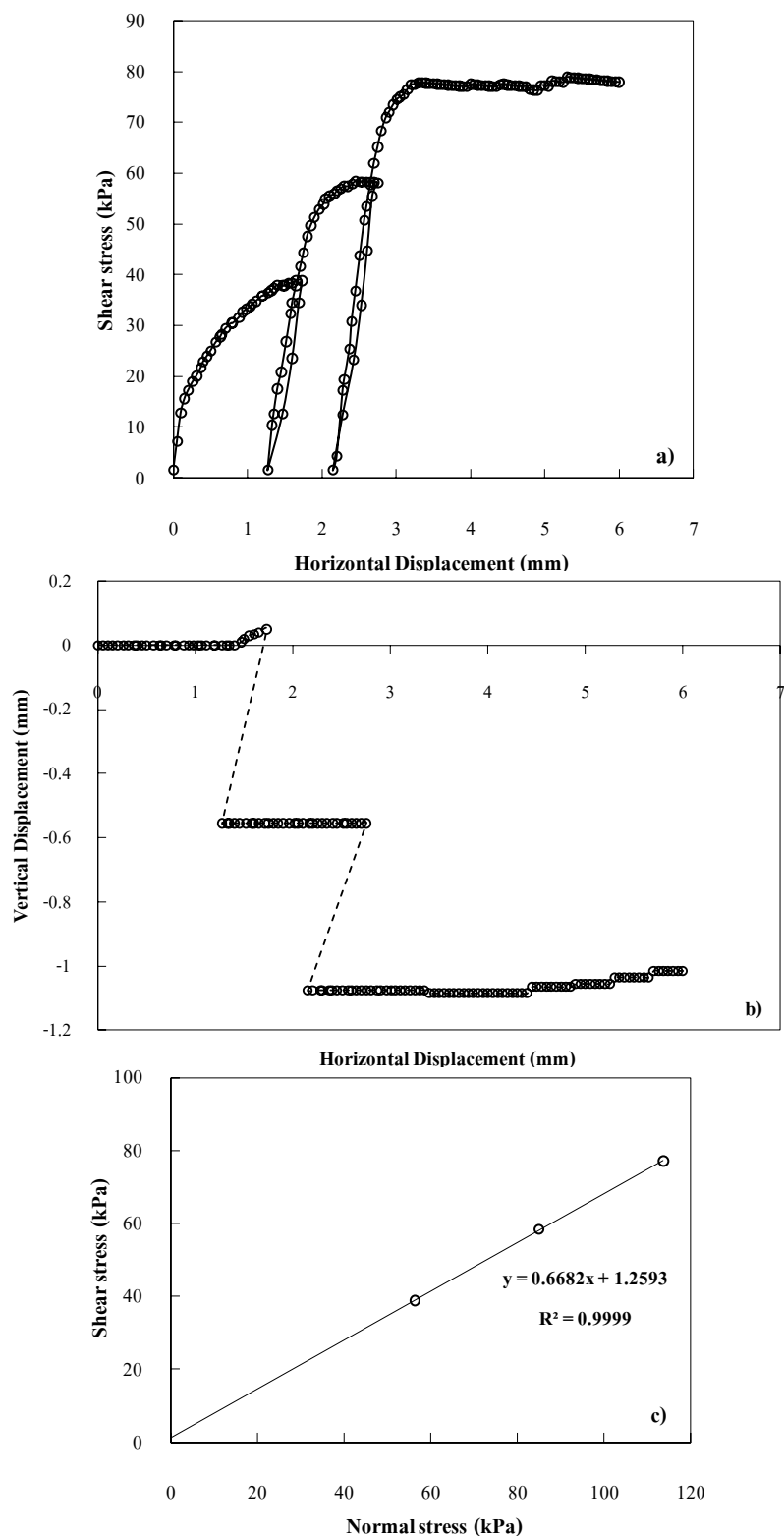
รูปที่ ๙ – ๓๔ กราฟแสดงความสัมพันธ์ระหว่าง a) Shear stress – Horizontal displacement, b) Vertical displacement – Horizontal displacement, c) Shear stress – Normal stress ของตัวอย่างดิน Section 5 ความลึก 2 เมตร จากขอบตั้ง ความชื้นธรรมชาติ



รูปที่ ง – 35 กราฟแสดงความสัมพันธ์ระหว่าง a) Shear stress – Horizontal displacement, b) Vertical displacement – Horizontal displacement, c) Shear stress – Normal stress ของตัวอย่างดิน Section 5 ความลึก 2 เมตร จากขอบตลิ่ง ความชื้นอิ่มตัวด้วยน้ำ



รูปที่ ๓ – ๓๖ กราฟแสดงความสัมพันธ์ระหว่าง a) Shear stress – Horizontal displacement, b) Vertical displacement – Horizontal displacement, c) Shear stress – Normal stress ของตัวอย่างดิน Section ๕ ความลึก ๓ เมตร จากขอบตั้ง ความชื้นชาร์มชาติ



รูปที่ ๔ – ๓๗ กราฟแสดงความสัมพันธ์ระหว่าง a) Shear stress – Horizontal displacement, b) Vertical displacement – Horizontal displacement, c) Shear stress – Normal stress ของตัวอย่างดิน Section ๕ ความถูก ๓ เมตร จากขอบคลัง ความชื้นอิ่มตัวคุณภาพ

ประวัติผู้เขียน

ชื่อ สกุล	นายสุรศิล เสื้อมนัค	
รหัสประจำตัวนักศึกษา	5110120055	
วุฒิการศึกษา		
วุฒิ	ชื่อสถาบัน	ปีที่สำเร็จการศึกษา
วิศวกรรมศาสตรบัณฑิต (วิศวกรรมโยธา)	มหาวิทยาลัยสงขลานครินทร์	2550

ทุนการศึกษา (ที่ได้รับในระหว่างการศึกษา)

ทุนศิษย์กันกู้ยืม คณะวิศวกรรมศาสตร์ มหาวิทยาลัยสงขลานครินทร์ ปีการศึกษา 2551 – 2553

การตีพิมพ์เผยแพร่ผลงาน

การเผยแพร่ในการประชุมวิชาการ

สุรศิล เสื้อมนัค และ ชนิต เกเดมยานนท์ (2553). การศึกษาสถิติบรรยายของคลิป: กรณีศึกษาคลองคู่ ตะเก่า จังหวัดสงขลา การประชุมวิชาการวิศวกรรมโยธาแห่งชาติครั้งที่ 15, วันที่ 12 – 14 พฤษภาคม 2553 ที่นี่ย์ แกรนด์ แอนด์ คอนเวนชั่น เซ็นเตอร์ อุบลราชธานี มหาวิทยาลัย อุบลราชธานี. จังหวัดอุบลราชธานี

สุรศิล เสื้อมนัค, ชนิต เกเดมยานนท์ และ ชนันท์ ชูบุปการ (2553). การศึกษาสถิติบรรยายของคลิป คลองคู่ ตะเก่า: ผลการศึกษาเบื้องต้น การประชุมวิชาการทางวิศวกรรมศาสตร์ มหาวิทยาลัยสงขลานครินทร์ ครั้งที่ 8, 22 – 23 เมษายน 2553 มหาวิทยาลัยสงขลานครินทร์, จังหวัดสงขลา